

الكيمياء النووية والمشعة

الأستاذ الدكتور

فواز عزت الخليلي

الجامعة الأردنية



الكيمياء النووية والمشعة

NUCLEAR AND RADIOCHEMISTRY

تأليف

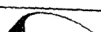
أ.د. فواز عزت الخليلي

أستاذ الكيمياء النووية وغير العضوية

قسم الكيمياء

الجامعة الأردنية


BIBLIOTHECA ALEXANDRINA
مكتبة الإسكندرية


BIBLIOTHECA ALEXANDRINA
مكتبة الإسكندرية
كتب عربي
(شراء)

رقم التسجيل ٩٥٩٥٠



ردمك (ISBN 9957-05-091-5)

بِسْمِ اللَّهِ الرَّحْمَنِ الرَّحِيمِ



دار الأرض للنشر والتوزيع

عمان - الأردن

صندوق بريد : ٩٢٥٧٩٨ - الرمز : ١١١٩٠

هاتف وفاكس : ٠٠٩٦٢ ١٥٦٧٨٥٠٢

البريد الإلكتروني : info@daraldia.com

الموقع على الإنترنت : www.daraldia.com

رقم الإيداع لدى دائرة المكتبة الوطنية ٢٠٠١/١٢/٢٥٠٩

٥٤١,٢٨

القطبي ، فواز عزت
الكيمياء النووية والكثمة -
NUCLEAR AND RADIOCHEMISTRY
/ فواز عزت القطبي - عمان : دار الأرض للنشر والتوزيع ، ٢٠٠١
(٢٣٦ ص)
و.إ. (٢٠٠١/١٢/٢٥٠٩)
الواصفات : / الكيمياء الإشعاعية // الكيمياء /

تم إعداد بيانات الفهرسة والتصنيف الأولية من قبل دائرة المكتبة الوطنية

رقم الإجازة المتصل ٢٠٠١/١٢/٢٣٦٦

جميع الحقوق محفوظة

١٤٢٩ هـ / ٢٠٠٨ م

صمم الغلاف أنس أحمد الجدد

إهداء

إلى ذكرى والدي عزت حمدي الخليلي العطرة .

أ.د فواز عزت الخليلي

تم بعون الله إنجاز هذا الكتاب في إجازة التفرغ العلمي .
راجياً من الله تعالى أن يكون مفيداً للدارسين والمهتمين في هذا
الموضوع . كما أشكر الجامعة الأردنية على إتاحة الفرصة لتأليف
هذا الكتاب .

والسلام عليكم ورحمة الله .

أ.د. فواز عزت الخليلي

المحتويات

| الصفحة | الموضوع |
|--------|---|
| 7 | 1 - الفصل الأول : المقدمة |
| 19 | 2 - الفصل الثاني : بنية النواة وطاقة الربط النووي |
| 53 | 3 - الفصل الثالث : طرق التحلل الإشعاعي النووي |
| 81 | 4 - الفصل الرابع : معادلات تحلل وغو النشاط الإشعاعي .. |
| 101 | 5 - الفصل الخامس : تفاعلات الإشعاعات مع المادة |
| 147 | 6 - الفصل السادس : أجهزة كشف وقياس الإشعاع النووي . |
| 177 | 7 - الفصل السابع : استخدامات النظائر المشعة في الكيمياء . |
| 223 | 8 - الفصل الثامن : الطاقة النووية |
| 281 | 9 - ملحق - أ - : TABLE OF NUCLIDES |
| 322 | 10 - ملحق - ب - : Chart of the Nuclides |

الفصل الأول

مقدمة

INTRODUCTION

اكتشف العالم رونتينج في عام 1895 أشعة أكس (X) ووجد أنها تتكون باصطدام الإلكترونات ذات الطاقة العالية بالمصعد في أنبوب التفريغ وقد أطلق عليها اسم أشعة إكس ، وسميت أحياناً بأشعة رونتينج . وهي ذات قدرة عالية على الاختراق . وبعد ذلك بعام اكتشف العالم الفرنسي هنري بيكورييل أن ملح اليورانيوم المزدوج $K_2UO_2(SO_4)_2 \cdot 2H_2O$ يطلق إشعاعات تسود اللوحات الفوتوغرافية . وقد أثار هذا التأثير فضوله وقرر أن يقيم بعدة تجارب لمعرفة طبيعة ما يجري . فوجد أن هذا التأثير لا يتغير إذا تعرض ملح اليورانيوم لضوء خافت أو لضوء الشمس أو إذا تم تحضيره في الظلام وأجريت عليه التجربة في الظلام . كما وجد أن لهذا الإشعاع قدرة على اختراق الورق الأسود والزجاج . ثم قام بعد ذلك بدراسة أملاح اليورانيوم الأخرى ومحايله فوجد نفس الظاهرة وأن شدة التأثير تتناسب طردياً مع كمية عنصر اليورانيوم الموجودة في العينة المدروسة .

ولاحظ العالم بيكورييل أن هذه الإشعاعات قدرة على إزالة الشحنة من كشاف كهربائي مشحون سابقاً . بعد ذلك تابع العلماء دراساتهم لفهم ما يحدث وفي عام 1898 توصل العالمان ماري وبيركوري إلى أن إشعاعات اليورانيوم هي ظاهرة نووية خاصة بعنصر اليورانيوم ولا تتأثر بالطبيعة الكيميائية والفيزيائية له . وسمى هذه الظاهرة بظاهرة النشاط الإشعاعي .

1-1-1 النشاط الإشعاعي Radioactivity

بعد ذلك توصل العالمان كوري وشمث إلى أن الثوريوم Th يطلق إشعاعات شبيهة بالتي يطلقها اليورانيوم . وأن لبعض خامات اليورانيوم الطبيعية نشاط إشعاعي

أعلى من اليورانيوم النقي ومن عينات محضرة مخبرياً لها نفس المكونات الكيميائية .
 إن التحليل الكيميائي لخامات اليورانيوم الطبيعية قد شكل بداية لعلم الكيمياء المشعة والذي أدى إلى اكتشاف عنصر البولونيوم المشع وعنصر الراديوم المشع . وتركز الراديوم مع الباريوم المقصول كيميائياً من خام البتشي بلند (يحتوي هذا الخام الأسود المظهر على 75٪ U_3O_8) ومن ثم تبين لهم أنه بالإمكان تركيز الراديوم من الباريوم بواسطة عملية البلورة الجزئية للكلوريدات والتي تبقى ملح الراديوم في المحلول .
 في عام 1902 تمكنت مدام كوري من فصل 100 ملغم من كلوريد الراديوم النقي وقلرت الوزن النزي للرادايوم بـ 225 . بعد ذلك أعادة تحديد الوزن النزي بـ 226.5 وحضرت عنصر الراديوم بواسطة التحليل الكهربائي لمصهور كلوريد الراديوم .
 بين العالم بيكوريل أن اليورانيوم يطلق إشعاعاته إذا كان في الظلام ولم يتعرض إلى أي مصدر طاقة لسنوات طويلة دون أي نقصان في شدة الإشعاعات . وقدر العالم رذرفورد طاقة هذه الإشعاعات . أما مدام كوري وزوجها فلقد قاسوا التأثير الحراري للرادايوم والذي يساوي 100 كالوري/ساعة غم راديوم . وهذه الحقيقة دفعت بالعلماء إلى الاهتمام بالرادايوم ونشاطه الإشعاعي (حتى أن جريدة سانت لويس في 1903/10/4 توقعت استخدام هذه الحقيقة (الظاهرة) في الحروب كوسيلة دمار للعالم) .

2-1- خصائص الإشعاعات Radiation Properties

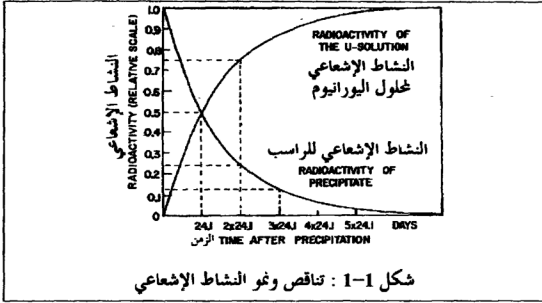
فسر العلماء اختفاء الشحنة من الكشاف الكهربائي نتيجة تعرضه لإشعاعات اليورانيوم بقدرة هذه الإشعاعات على تأيين جزيئات الهواء كما تفعل أشعة إكس في تجربة تومسون . ولقد دفع هذا التفكير العلماء إلى الربط بين شدة الإشعاعات وكمية التأين في الهواء ولاستخدام كمية التأين كوسيلة قياس لشدة

الإشعاعات . وتم قياس تيار التأين في مختبر كوري بواسطة الإلكروميتر .
 في عام 1899 قام العالم رذرفورد بدراسة خواص الإشعاعات ، ولاحظ أن
 هناك نوعان من الإشعاعات ، النوع الأول يتم امتصاصه في أجزاء من الألف من
 سم من الألمنيوم وسماه بأشعة ألفا (α) والنوع الثاني يمتص من قبل سمك يقدر بمئة
 ضعف السمك الأول وسماه بيتا (β) .
 أدت تجارب الانحراف في المجال المغناطيسي والكهربائي على أشعة ألفا وبيتا
 إلى أنها عبارة عن دقائق تسير بسرعة عالية .
 فدقائق ألفا عبارة عن نوى ذرة ${}^4\text{He}^{2+}$ ودقائق بيتا عبارة عن إلكترونات .
 وربط العلماء بين طبيعة دقائق ألفا وغاز الهيليوم الموجود في خامات اليورانيوم
 والثوريوم ، وللتأكد من هذا قام العلماء بالتجربة التالية : سمح لدقائق ألفا باخراق
 وعاء زجاجه رقيق ومفرغ من الهواء وبعد أيام وجد في الوعاء غاز الهيليوم . كما تم
 اكتشاف أشعة لها خواص الموجات الكهرومغناطيسية وقدرة عالية جداً على
 الاختراق و طاقة أعلى من أشعة إكس ، سميت بأشعة جاما (γ) .

1-2 التحلل (التفكك) الإشعاعي النووي

Radioactive Decay

توصل العالمان كروكس وبيكورييل من خلال دراستهم للخواص الكيميائية
 والمشعة لليورانيوم إلى اكتشاف مهم . فعندما تم ترسيب ملح الكربونات من محلول
 يحتوي على أيونات اليورانيوم UO_2^{2+} بقيت كربونات اليورانييل ذائبة في المحلول إلا
 أن الراسب كان له نشاط إشعاعي . والأهم من هذا أن النشاط الإشعاعي للراسب
 تناقص تدريجياً مع الزمن وتزايد للمحلول مع نفس الزمن (الشكل 1-1).



ونحن نعرف الآن أن النشاط الإشعاعي المقاس كان ناجماً عن إشعاعات بيتا وجاما وليس ألفا التي تنطلق مباشرة من اليورانيوم . بعد ذلك توصل العالمان رذرفورد وسودي إلى نفس النتيجة السابقة من خلال دراستهم لخلول الثوريوم ولاحقاً وجد رذرفورد ودورن أنه بالإمكان فصل غازات مشعة من أملاح اليورانيوم والثوريوم . يتناقص النشاط الإشعاعي مع الزمن لهذه الغازات بعد فصلها بينما ينمو نشاط إشعاعي جديد للملح بنفس الطريقة المبينة في شكل (1-1) كما أن سرعة النمو في الملح لا تعتمد على طريقة العمل الكيميائي أو درجة الحرارة ... إلخ . توصل هذان العالمان من خلال هذه الملاحظات إلى أن سبب النشاط الإشعاعي تغيرات في داخل الذرات نفسها وأن ذرات العناصر الأصلية (مثل اليورانيوم U والثوريوم Th) تتحول بسبب التحلل بالنشاط الإشعاعي إلى ذرات لعناصر جديدة .

وسميت العناصر ذات النشاط الإشعاعي بالعناصر المشعة . وللدلالة على العناصر المشعة الناتجة من اليورانيوم والثوريوم استعملت الأحرف X, Y, Z, A, B مع رمز العنصر الأب ، فمثلاً UX عبارة عن عنصر مشع نتج عن تحلل اليورانيوم بالإشعاع أما ThX فيمثل عنصر مشع نتج عن تحلل الثوريوم المشع . UX و ThX عبارة عن

عنصرين لهما خواص كيميائية مختلفة عن العناصر الأصلية ويمكن فصلهم عنهم بواسطة الطرق الكيميائية مثل الترسيب والتطاير .. إلخ . وتحلل النظائر المشعة الابنة أيضاً مكونة عناصر جديدة يرمز لها UY و ThA . تكتب سلسلة التحلل كالآتي :



دلت الدراسات الدقيقة على وجود أنواع الإشعاعات الثلاثة المعروفة بألفا (α) وبيتا (β) وجاما (γ) في الإشعاعات المنطلقة من تحلل العناصر المشعة السابقة الذكر . كما أن سرعة التحلل الإشعاعي لكل وحدة كتلة ثابتة لذلك العنصر المشع مهما كانت طبيعته (حالته) الكيميائية أو الفيزيائية . ويتم التعبير عن سرعة التحلل بفترة نصف العمر والتي تعرف على أنها الفترة الزمنية اللازمة لتحلل نصف عدد ذرات النظير المشع ، ومهما كان عدد الذرات الموجودة منه في البدء ويرمز لها بـ $t_{1/2}$. وتتراوح فترة نصف العمر للنظائر المشعة المختلفة من أجزاء من الثانية إلى ملايين السنين فمثلاً لـ ThA نصف عمر يساوي 0.1 ثانية و لـ UX $t_{1/2} = 2401$ يوم ولليورانيوم $t_{1/2} = 4.47 \times 10^9$ سنة .

3-1 اكتشاف النظائر والعناصر المشعة الموجودة في الطبيعة

Naturally Occurring Radioactive Substances

تم التعرف بحلول 1910 على 40 مادة كيميائية مختلفة من خلال طبيعتها الكيميائية وخواصها الإشعاعية وفترة نصف العمر الخاصة بكل منها . وبينت العلاقات الجينية الموجودة في تحلل المواد المشعة أنه بالإمكان تقسيم العناصر المشعة إلى ثلاث سلاسل . اثنتان منها تأتي من اليورانيوم والثالثة من الثوريوم . وأثبت العالم بولتدود أن السلاسل الثلاثة تنتهي بعنصر الرصاص Pb .

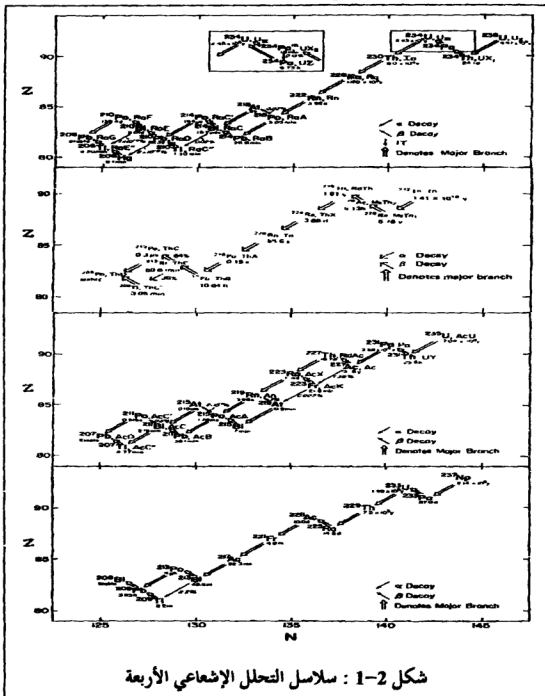
وجد العلماء عند الرجوع إلى الجدول الدوري أن هناك 11 (أحد عشر فراغاً)

ما بين الرصاص واليورانيوم بينما هناك 40 عنصر مشع في سلسلة التحلل من اليورانيوم إلى الرصاص . وما زاد في تعقيد الأمور صعوبة فصل بعض العناصر المشعة عن بعضها البعض بالطرق الكيميائية المعروفة . فعلى سبيل المثال وجد أن للعنصر المشع RaD نفس خواص Pb الكيميائية . وفي عام 1913 فسر العالمان فاجان ومودي ما سبق بقولهم أن التحلل الإشعاعي بواسطة دقائق ألفا يؤدي إلى عنصر جديد يقع إلى يسار العنصر الأب بفراغين (نقص بمقدار بروتونين) ، أما التحلل بواسطة دقائق بيتا فيؤدي إلى عنصر جديد يقع إلى يمين العنصر الأب بفراغ واحد (شكل 2-1) أي بزيادة بروتون واحد . إن العناصر المشعة التي تقع في نفس المكان في الجدول الدوري (نفس عدد البروتونات) تتمتع بصفات كيميائية مماثلة . أطلق العالم سودي اسم النظائر على العناصر المشعة التي لها نفس الشخصية الكيميائية . ومن ثم أثبت العالم ثومسون وجود النظائر مستخدماً نفس الجهاز الذي استخدمه في قياس $\frac{e}{m}$ للإلكترون وأيونات غاز النيون الموجبة . وتبين له من خلال التجربة أن هناك نوعان من أيونات النيون الموجبة لكل منهما كتلة ذرية خاصة به . فالأحدهم عدد كتلي 20 وللآخر 22 . وإن نسبة وجود النظير 20 حوالي 90٪ أما النظير 22 فنسبته 10٪ .

ويمكننا القول بأن العناصر الكيميائية قد تتكون من أكثر من نوع من الذرات المختلفة عن بعضها في الكتلة الذرية ولكن لها نفس الصفات الكيميائية (نفس عدد البروتونات) . ومن هنا نقول أن العناصر المشعة 40 هي عبارة عن نظائر لإحدى عشر عنصراً كيميائياً مختلفاً . ويكتب النظير كالأتي A_ZX ، حيث أن X ترمز للعنصر بينما A هو العدد الكتلي و Z هو العدد الذري .

وإذا دققنا النظر في السلاسل المشعة ، نجد أن أحدها يأتي من نظير اليورانيوم 238 U الذي عمر ب 14 تحلل (8 منها بإطلاق دقائق α و 6 منها بإطلاق دقائق بيتا) إلى أن

تنتهي السلسلة بتظير الرصاص ^{206}Pb المستقر ويمرر هذه السلسلة بـ $4n+2$ (حيث أن حاصل قسمة 238 على 4 يعطي رقماً صحيحاً ويتبقى 2) (شكل 1-2) .



أما السلسلة الثانية فهي سلسلة الثوريوم ^{232}Th 232 ، ويرمز لها بـ $4n$ ، وتنتهي هذه السلسلة بنظير الرصاص ^{208}Pb المستقر . والسلسلة الأخيرة هي سلسلة اليورانيوم - ^{235}U 235 التي تعرف بسلسلة $4n+3$. كما أنها تنتهي بنظير الرصاص المستقر ^{207}Pb .

لاحظ العلماء في السلاسل الثلاثة وجود ما يسمى بالتحلل المتفرع نتيجة التقدم العلمي في أجهزة القياس والكشف ، مما سهل على العلماء إمكانية قياس التحللات الفرعية بدقة أعلى . فعلى سبيل المثال اكتشف في عام 1953 في سلسلة ^{235}U تحلل الفرانسيوم ^{223}Fr 223 إلى راديوم 223 بنسبة 99.995% وإلى أستانين ^{219}At 219 بنسبة 0.005% .

كما وجد في كل سلسلة من السلاسل الثلاث نظير لعنصر الرادون ($Z=86$) وهم ^{219}Rn , ^{220}Rn , ^{222}Rn . والرادون أحد العناصر الثقيلة وقد ساعد وجوده في السلاسل على فهم ظاهرة النشاط الإشعاعي ، وذلك من خلال طبيعته الغازية التي أتاحت للعلماء إمكانية فصله ومن ثم الحصول منه على باقي عناصر السلسلة .

4-1 عناصر مشعة أخرى موجودة في الطبيعة .

Other Naturally Occuring Radioactivities

منذ اكتشاف النشاط الإشعاعي تم فحص جميع العناصر الموجودة في الطبيعة لمعرفة إذا كان لديها نشاط إشعاعي أم لا .

فاكتشف العالمان لمبل و وود عام 1906 نشاطاً إشعاعياً ضعيفاً في البوتاسيوم والروبيديوم وبعد ذلك بست وعشرين عاماً اكتشف العالمان هفزي وباهل عام 1932 أن هناك نشاطاً إشعاعياً في السماريوم واكتشف حديثاً عدد من النظائر

المشعة الموجودة في الطبيعة (جدول 1-1) . نرى من الجدول السابق أن النظير المشع لبعض العناصر موجود بنسبة ضئيلة في الطبيعة وفي حالات أخرى تكون فترة نصف العمر للنظير المشع طويلة جداً . هذان العاملان يؤديان إلى نشاط ضعيف للعينات المدروسة مما يصعب عملية الكشف عن هذا النشاط ، ويتوقع العلماء أنه بالإمكان اكتشاف نظائر مشعة أخرى في الطبيعة كلما تقدمت أجهزة الكشف عند النشاط الإشعاعي . ويواجه العلماء مشكلة الإشعاع الطبيعي العام الذي يصعب على العلماء قياس النشاط الإشعاعي الضعيف لبعض العينات .

| المادة المشعة Active Substance | نوع التحلل Type of Disintegration | نصف العمر بالسنة Half Life (y) | نسبة النظير Isotopic Abundance(%) | نواتج التحلل المستقرة Stable Disintegration Products |
|-----------------------------------|--------------------------------------|-----------------------------------|--------------------------------------|---|
| ⁴⁰ K | β^- , EC, β^+ | 1.28×10^9 | 0.0117 | ⁴⁰ Ca, ⁴⁰ Ar |
| ⁸⁷ Rb | β^- | 4.8×10^{10} | 27.83 | ⁸⁷ Sr |
| ¹¹³ Cd | β^- | 9×10^{15} | 12.2 | ¹¹³ In |
| ¹¹⁵ In | β^- | 5.1×10^{14} | 95.7 | ¹¹⁵ Sn |
| ¹³⁸ La | EC, β^- | 1.1×10^{11} | 0.089 | ¹³⁸ Ba, ¹³⁸ Ce |
| ¹⁴⁴ Nd | α | 2.1×10^{15} | 23.8 | ¹⁴⁰ Ce |
| ¹⁴⁷ Sm | α | 1.06×10^{11} | 15.1 | ¹⁴³ Nd |
| ¹⁴⁸ Sm | α | 8×10^{15} | 11.3 | ¹⁴⁴ Nd |
| ¹⁵² Gd | α | 1.1×10^{14} | 0.20 | ¹⁴⁸ Sm |
| ¹⁷⁶ Lu | β^- | 3.6×10^{10} | 2.61 | ¹⁷⁶ Hf |
| ¹⁷⁴ Hf | α | 2.0×10^{15} | 0.16 | ¹⁷⁰ Yb |
| ¹⁸⁷ Re | β^- | 4×10^{10} | 62.60 | ¹⁸⁷ Os |
| ¹⁹⁰ Pt | α | 6×10^{11} | 0.013 | ¹⁸⁶ Os |

جدول 1-1 : عناصر مشعة أخرى موجودة في الطبيعة .

ويستج الإشعاع الطبيعي عن وجود اليورانيوم والثوريوم والپوتاسيوم ... إلخ وعن وجود الأشعة الكونية بشكل أكبر . تصل الأشعة الكونية إلى جميع أنحاء الكرة

الأرضية وتزداد شدتها كلما ارتفعنا إلى أعلى وتقل في الكهوف والمناجم . وفي السنين الأخيرة ازداد الإشعاع الطبيعي العام نتيجة التفجيرات النووية وتسرب الإشعاعات من المخطات النووية مثل تشرنوبل (أوكرانيا) وجزيرة الأميال الثلاثة (الولايات المتحدة) .

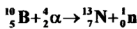
5-1 العناصر المشعة المصنعة

Artificially Produced Radioactive Substances

أعلن العالمان أي كوري (أبنة ماري كوري) وف. جوليوت في عام 1934 أنه بالإمكان إكساب البورون والألمنيوم المستقرين نشاطاً إشعاعياً وذلك بقذفهم بدقائق α المنبعثة من البولونيوم المشع .

شكل هذا الاكتشاف بداية لتصنيع النظائر المشعة . كان الهدف الأول من تجربتهم هو إنتاج البوزترون في المختبر وذلك بعد أن اكتشف في الأشعة الكونية من قبل العالم س. أندرسون . ومما أثار دهشتهم أن البورون والألمنيوم المقذوفان بدقائق α استمررا في إطلاق البوزترونات حتى بعد إبعاد مصدر دقائق α (البولونيوم) عنهم، وأن النشاط الإشعاعي المكتسب يتناقص مع الزمن وينصف عمر $t_{1/2}$ خاص لكل منهما (14 دقيقة للبورون و 3.25 دقيقة للألمنيوم) .

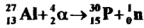
بينت الأبحاث في ما بعد أنه قد حصل تفاعل نووي لكل من البورون والألمنيوم ففي البورون حدث ما يلي :



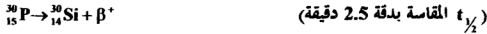
ويتحلل نظير $^{13}_7\text{N}$ المشع مطلقاً بوزترونات β^+ كما يلي :



أما في الألمنيوم فحدث الآتي :



ويتحلل نظير $^{30}_{15}\text{P}$ المشع مطلقاً بوزترونات β^+ حسب المعادلة التالية :



بعد ذلك سارعت العديد من المختبرات إلى القيام بتجارب مشابهة وذلك بتصميم أجهزة جديدة تهدف إلى تسريع أيونات الهيدروجين والهيليوم الموجبة وإكسابها طاقة كافية لإحداث التفاعلات النووية . وساعد في هذا اكتشاف النيوترون عام 1932 والديتريوم 1933 مما وفر دقيقتان جديدتان ، فاستخدما كمقذوفات بعد ذلك . ففي غضون 3 سنين ارتفع عدد النظائر المشعة المصنعة إلى 200 وفي غضون 20 سنة التالية ازداد العدد إلى 1000 . ويصل في عام 1978 إلى أكثر من 2500 . وهذا العدد في ازدياد مستمر كل شهر تقريباً .

إن اكتشاف الانشطار النووي في عام 1938 من قبل العالمين هان وستراسمان ساهم بقوة في إنتاج النظائر المشعة . كما أدت التفاعلات النووية التي بنيت فيما بعد إلى إنتاج بعض النظائر المشعة بكميات كبيرة وإلى التوسع في استخدامها في حقول الكيمياء والفيزياء والأحياء والطب والزراعة والهندسة . ملحق أ يحتوي على جميع النظائر المستقرة والمشعة المعروفة .

1-6 العناصر المصنعة وسلسلة $4n+1$ المعروفة

Sythetic Elements and the $4n+1$ series

لقد تمكن العلماء من تحضير نظائر مشعة للعناصر المعروفة وللعناصر غير المعروفة ، وهذه العناصر غير المعروفة لا توجد أصلاً في الطبيعة ، وفي وقتنا هذا

يمكن تحضير كميات صغيرة من هذه العناصر الجديدة . أما البلوتونيوم فلقد حضر العلماء كميات كبيرة منه تقدر بالكيلوغرامات وذلك لاستخدامه في القنبلة الذرية. وبحلول 2002 بلغ عدد العناصر التي تأتي بعد اليورانيوم ($Z > 92$) بـ 20 عنصر، بالإضافة إلى التكنيشيوم ($Z=43$) والبروميثيوم ($Z=61$) .

من العناصر الثقيلة المشعة التي تم تحضيرها عدد لا بأس به من العناصر المشعة المكونة لسلسلة $4n+1$ والتي لا توجد في الطبيعة (شكل 2-1) . وبالنظر إلى الشكل (2-1) نرى أن هذه السلسلة تشبه السلاسل الثلاث الأخرى وأنها تنتهي بنظير الزموت المستقر ^{209}Bi . ويعزى عدم وجود هذه السلسلة لنصف عُمر ^{237}Np ($t_{1/2}$) والذي يساوي 2.1×10^6 سنة وهذه المدة الزمنية قصيرة جداً بالمقارنة مع عُمر الكرة الأرضية .

7-1 العناصر السوبر ثقيلة (أو الفوق ثقيلة)

Superheavy Elements

إذا أمعنا النظر في العناصر التي تأتي بعد اليورانيوم نرى أنها ذات نصف عُمر لا يسمح لها بالوجود في وقتنا الحاضر وذلك بالمقارنة بعُمر النظام الشمسي والذي يقدر بعدة بلايين من السنين ، ما عدا نظير ^{244}Pu (سنة $8.1 \times 10^7 = t_{1/2}$) الذي يوجد بتركيز صغيرة جداً . وبالنظر إلى قيم نصف العُمر للعناصر السابقة نرى أن نصف العُمر يقل كلما ابتعدنا عن اليورانيوم ، إلا أنه في السنين الأخيرة ظهرت عدة آراء مبنية على حسابات نظرية لبنية النواة تقول بوجود جزيرة استقرار جديدة بعد اليورانيوم وتقع ما بين العدد الذري 110 إلى 114 والعدد الكتلي 300 . جرت محاولات كثيرة للكشف عن هذه العناصر في الطبيعة ولتصنيعها من خلال التفاعلات النووية إلا أن هذه المحاولات باءت بالفشل إلى وقتنا هذا .

الفصل الثاني

بنية النواة وطاقة الربط النووي

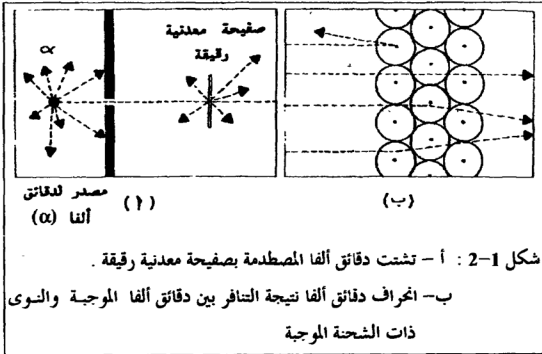
NUCLEAR COMPOSITION AND BINDING ENERGY

2-1 بنية الذرة Atomic Structure

كان التفكير السائد قبل اكتشاف ظاهرة النشاط الإشعاعي أن العناصر الكيميائية تحافظ على هويتها من خلال التغيرات الكيميائية والفيزيائية التي تمر بها. وتبين بعد ذلك أن التحلل بالنشاط الإشعاعي يغير العنصر إلى عنصر آخر. توصل العالم تومسون وعلماء آخرون، من خلال تجارب التشتت لأشعة أكس وللإلكترونات على المادة، إلى أن عدد الإلكترونات في كل ذرة يساوي تقريباً الوزن الذري (تبين في ما بعد عام 1911 من قبل العالم باركلا أن عدد الإلكترونات يساوي تقريباً نصف الوزن الذري) وبعد أن قرر تومسون كتلة الإلكترون بـ $\frac{1}{2000}$ من كتلة ذرة الهيدروجين. افترض العلماء أن معظم كتلة الذرة تتركز في منطقة ذات شحنة موجبة. والسؤال المتبقي هو كيف تتوزع الشحنات الموجبة والسالبة داخل الذرة؟

2-2 تشتت دقائق ألفا Alpha-particle Scattering

قام العالم رذرفورد بتجربة التشتت لدقائق ألفا من قبل صفيحة معدنية رقيقة. وكانت توقعاته أن تمر دقائق α عبر الصفيحة الرقيقة دون أي تغيير في مسارها، مما يتفق مع الاعتقاد السائد آنذاك بالتوزيع المنتظم للشحنات الموجبة والسالبة في الذرة. وعند البحث تبين أن بعض دقائق ألفا تشتت بزاوية كبيرة. وكان هذا مبعث دهشة لرذرفورد. وكان الأكثر إثارة للدهشة أن بعض الدقائق انقلبت على أعقابها وانعكس مسارها بصورة كلية، مما يعني أنها قد اصطدمت بمنطقة موجبة الشحنة ذات كتلة كبيرة نسبياً (الشكل 2-1).



وفيما عدا ذلك فإن معظم دقائق ألفا مرت عبر الصفحة دون أي تغيير يذكر . وقد استنتج العالم رذرفورد أن هناك منطقة في الذرة صغيرة جداً ولكن كثافتها عالية وشحنتها موجبة ، وسماها بالنواة وفسر أنواع التشتت السابقة على أساس قوى الجذب والتناثر الإلكتروستاتيكية . فلو افترضنا أن شحنة ذرة الصفحة المركزية Ze وشحنة دقيقة ألفا ($Z_{\alpha}e=2e$) على أنهما نقطة مشحونة وأن المسافة بينهما d فتصبح القوة بينهما حسب قانون كولومب $F = Ze \cdot Z_{\alpha}e / d^2$. وبما أن نواة ذرة الصفحة (كنواة ذرة الذهب) ثقيلة بما فيه الكفاية أمكننا اعتبارها ثابتة (ساكنة) في لحظة التصادم مع دقائق ألفا المتحركة . وقد بين رذرفورد أن مسار دقيقة ألفا في مجال النواة عبارة عن قطع ناقص وأن النواة في البؤرة الخارجية . وبالاتماد على قوانين حفظ الزخم والطاقة وعلى الصفات الهندسية للقطع الناقص اشتق العالم رذرفورد معادلة التشتت والتي تربط ما بين عدد $n(\theta)$ دقائق ألفا الواقعة على وحدة المساحة والتي تبعد مسافة r عن نقطة

التشتت وزاوية التشتت θ (هي الزاوية التي تقع بين اتجاه السقوط والدقيقة المشتتة) .

$$n(\theta) = n_0 \frac{Nt}{16r^2} \left(\frac{Z_e \cdot Z_{\alpha}}{\frac{1}{2} M_{\alpha} V_{\alpha}^2} \right)^2 \frac{1}{\sin^4(\theta/2)} \quad \dots (2-1)$$

حيث أن n_0 هو عدد دقائق α الساقطة ، و t هو سمك الصفيحة المعدنية المشتتة و N هو عدد الأنوية في وحدة الحجم للمادة المشتتة و M_{α} هي كتلة دقيقة α و V_{α} هي سرعة دقيقة α .

أخضع العالمان جايجر ومارسدن المعادلة (2-1) لعدة تجارب فبين لهم أن عدد الدقائق المشتتة في وحدة المساحة يتناسب عكسياً مع القوة الرابعة لجيب نصف زاوية التشتت ومع القوة التربيعية لطاقة دقيقة α وذلك في حال أن العناصر الثقيلة هي المكونة للصفيحة المعدنية. أما في حال العناصر الخفيفة فيجب أن ندخل على النظرية التعليل التالي : لا يمكن أن نفرض أن أنوية الصفيحة المعدنية المشتتة ثابتة (ساكنة) في لحظة التصادم .

2-3 شحنة النواة والعدد الذري

Nuclear Charge and Atomic Number

أصبح بالإمكان قياس مقدار الشحنة النووية لذرة عنصر ما من خلال تجارب التشتت وذلك لأن شدة التشتت تتناسب مع مربع الشحنة النووية . وقد أدى هذا إلى الربط ما بين العدد الذري Z المستخدم في تحديد موقع العنصر في الجدول الدوري وشحنة النواة . بعد ذلك وجد العالم هنري موزلي في عام 1914 علاقة طردية بين عدد سماه بالعدد الذري للعنصر وتردد أشعة أكس K_{α} المنبعثة منه نتيجة اصطدام الإلكترونات بأنود يُعد من العنصر ويستخدم في أنبوب أشعة أكس .

وعرف العدد الذري بأنه عدد وحدات الشحنة في النواة أو هو عدد الإلكترونات في الذرة المتعادلة والموجودة خارج النواة . بعد ذلك تابع العلماء من بور إلى شرودنجر إلى هايزنبرغ دراساتهم لفهم الذرة وتركيبها .

2-4 بنية النواة Composition of Nuclei

(أ) كثافة وحجم النواة Nuclear Size and Density

توصل العلماء من خلال تجارب رذرفورد إلى معرفة أحجام الأنوية وأن قطرها يقع في حدود 10^{-12} سم ، أي أنها 10^{-4} مرة أصغر من الذرة . وبما أن النواة تحتوي على كتلة الذرة فإن كثافتها أكبر بكثير من كثافة المواد المعروفة وتساوي تقريباً 10^{14} غم/سم³ (أو 10^8 طن/سم³) .

(ب) فرضية الإلكترون - البروتون Proton-Electron Hypothesis
بما أن شحنت الأنوية هي مضاعفات (أرقام) صحيحة وأن الكتل هي مضاعفات لشحنة وكتلة البروتون تقريباً ، كان من الطبيعي أن يفترض العلماء بأن جميع الأنوية مبنية من البروتونات . اعتقد العلماء قبل اكتشاف النيوترونات بأن العدد الكتلي A للذرة ما يساوي عدد البروتونات (للدلالة على الكتلة) و (A-Z) هو عدد الإلكترونات (للدلالة على الشحنة الموجبة) . نجم عن هذه الفرضية عدة مشاكل منها مسئلة وجود الإلكترون في النواة ، فإذا وجد في النواة كان له طول موجة دي بروغلي $\left(\lambda = \frac{h}{mv} \right)$ والذي يساوي قطر النواة أو أصغر منه . فالطاقة الحركية المحسوبة على هذا الأساس تساوي أكثر من طاقة دقائق بيتا المنطلقة من النواة . مما جعل العلماء أن يصرفوا النظر عن فكرة وجود الإلكترونات الحرة في النواة وأن يفكروا بوجود دقيقة جديدة سماها رذرفورد عام 1920 بالنيوترون مكونة من بروتون وإلكترون .

ج) اكتشاف النيوترون Neutron Discovery

قام العلماء بعدة محاولات فاشلة لإثبات وجود النيوترون بعد عام 1920 إلى أن جاء العالم شادوك عام 1932 وأثبت أن الدقائق الناتجة والمنطلقة بسرعة من تفاعل دقائق α والبروتون هي نيوترونات ذات شحنة تساوي صفر وكتلة مساوية تقريباً لكتلة البروتون (أكثر من كتلة ذرة الهيدروجين بحوالي 0.08٪). وبما أن النيوترونات متعادلة الشحنة فإنها لا يمكن أن تأين المواد نتيجة مرورها بها وأن ما يحدث هو عملية تصادم كلي بينها وبين الذرات القريبة في الكتلة منها مثل ذرات الهيدروجين ، ولقد استدل العلماء على هذا بعد أن مرت النيوترونات في شمع اليرافين ونتج عن ذلك غاز الهيدروجين .

لا يمكن للنيوترونات أن توجد حرة فهي غير مستقرة وتتحلل إلى بروتونات وإلكترونات (فترة نصف العمر 11 دقيقة) .

د) فرضية البروتون - النيوترون Proton-Neutron Hypothesis

جاءت هذه الفرضية بعد فشل فرضية الإلكترون - البروتون . فالفرضية الجديدة تقول بأن عدد البروتونات في النواة يساوي العدد الذري (Z) وأن عدد البروتونات والنيوترونات الكلي (عدد النيوكليون) يساوي العدد الكتلي A (النيوكليون تعبير يعني بروتوناً أو نيوترونًا) . فتواة ^{14}N تحتوي على سبع بروتونات وسبع نيوترونات .

تمتد الأعداد الذرية للعناصر المعروفة من 1 للهيدروجين إلى 109 لأثقل عنصر في الجدول الدوري . أما عدد النيوترونات فيتراوح ما بين 0 إلى 159 والعدد الكتلي من 1 إلى 263 .

يسمى الفرق ما بين عدد النيوترونات وعدد البروتونات $N-Z$ أو $(A-2Z)$ بالزيادة النيوترونية (أو الرقم النظيري) .

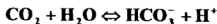
هـ) النظائر والنوى Isotopes and Nuclides

تعرف النظائر بأنها ذرات عنصر واحد تختلف عن بعضها البعض في عدد النيوترونات .

فعلى سبيل المثال لليورانيوم في الطبيعة نظيران مشعان يُعرّ عنهما الرمز $^{238}_{92}\text{U}$ و $^{235}_{92}\text{U}$

وباستخدام أجهزة مطياف الكتلة أثبت أن العناصر ما بين $Z = 1$ و 83 لها في المعدل أكثر من ثلاثة نظائر ، فعلى سبيل المثال للعناصر التالية البريليوم ، الفسفور ، الزرنيخ والبزموت نظير مستقر واحد في الطبيعة أما القصدير فله 10 نظائر مستقرة في الطبيعة .

توجد نظائر العنصر المستقرة بنسب ثابتة مع بعضها البعض ، ولهذا فإن الأوزان الذرية المقاسة لعنصر ما باستخدام مصادر أو عينات مختلفة تتفق مع بعضها البعض ضمن الخطأ في التجارب . وقد شذت حالتان عن هذه القاعدة ، أولهما نسبة وجود نظائر الرصاص المتغيرة وخاصة في خامات اليورانيم والثوريوم . فبالاعتماد على عمر ومكونات الخامات فإن نهايات السلاسل المشعة الثلاثة ^{206}Pb و ^{207}Pb و ^{208}Pb والنظير ^{204}Pb ، الذي لا يأتي من مصدر مشع ، قد تتواجد بنسب مختلفة . وثانيها نسبة النظير ^{87}Sr الذي يتواجد بنسبة عالية في الصخور التي تحتوي على الراديوم وذلك لأن ^{87}Sr ينتج أيضاً عن تحلل ^{87}Rb الطبيعي المشع . أما ثالثها فهو اختلاف نسبة ^3_2He في ^4_2He في حقول الغاز الطبيعي مع تلك الموجودة في الجو . ورابعها نسبة $^2_1\text{H}/^1_1\text{H}$ في الماء ، ويعزى هذا إلى انخفاض ضغط بخار الماء الثقيل بالمقارنة مع الماء العادي . فمياه البحر الميت تحتوي على نسبة أعلى من الديتريوم ^2_1H . فالمياه التي تحتوي على نسبة من ^2_1H أعلى من الطبيعي وجد أنها تحتوي على نسبة أعلى من الطبيعي لـ $^{18}_8\text{O}$. والسبب الآخر الذي يساعد في الاختلاف القليل في نسبة النظائر هو اعتماد الاتزان على الأوزان الجزيئية للمضاعفات مما قد يؤدي إلى زيادة في نسبة أحد النظائر من خلال التفاعلات في الطبيعة . فتزداد نسبة ^{13}C في الحجر الجيري نتيجة الاتزان في التفاعل التالية :



يُزاح إلى اليمين أكثر في حال $^{13}\text{CO}_2$ منه في حال $^{12}\text{CO}_2$.

استخدم العلماء تعبير النظير بشكل واسع للدلالة على أي نويدة مشعة أم مستقرة . وفي الآونة الأخيرة درج اسم النويدة بشكل أوسع للدلالة على ذرة نواتها تحتوي على عدد معين من البروتونات والنيوترونات .
(و) إيزوبارز وإيزوتونز وإيزومرز

Isobars, Isotones and Isomers

تسمى الذرات التي لها نفس العدد الكتلي ولكنها تختلف بالعدد الذري بالأيزوبارز ومن الأمثلة على ذلك $^{76}_{34}\text{Se}$ ، $^{76}_{32}\text{Ge}$ و $^{130}_{56}\text{Ba}$ ، $^{130}_{54}\text{Xe}$ ، $^{130}_{52}\text{Te}$. أم الذرات التي لها نفس عد النيوترونات ولكنها تختلف في العدد الكتلي بالأيزوتونز ومن الأمثلة على ذلك $^{30}_{14}\text{Si}$ ، $^{31}_{15}\text{P}$ ، $^{32}_{16}\text{S}$ حيث أن عدد النيوترونات في كل منها 16 .
اكتشف العالم هاهن في 1922 أن هناك ذرتان مشععتان UX_2 و UZ في سلسلة $^{238}_{92}\text{U}$ المشعة ، لهما نفس العدد الكتلي (234) والعدد الذري (91) ولكنها تختلف في الخواص الإشعاعية (شكل 2-1) . سميت هاتان الذرتان بالأيزومرز وهذه الخاصة بالأيزومرز . بعد ذلك بـ 15 عاماً اكتشف في ^{80}Br هذه الخاصة ومن ذلك الوقت اكتشف العلماء أن هناك 500 زوج من الأيزومرز . وفسر العلماء هذه الخاصة على أساس وجود النواة في مستويات طاقة مختلفة في كل من الأيزومرز ، كما أن لكل مستوى طاقة وفرة حياة خاصة به ما عدا المستوى الأرضي إذا كان مستقراً . ومن ثم تبين للعلماء أن هناك بعض الحالات التي يوجد فيها أكثر من زوج من الأيزومرز مثل $^{124}_{51}\text{Sb}^{(g)}$ (60 يوم = $t_{1/2}$) ، $^{124}_{51}\text{Sb}^{m1}$ (1.6 دقيقة = $t_{1/2}$) و $^{124}_{51}\text{Sb}^{m2}$ (20 دقيقة = $t_{1/2}$) ، وترمز g للمستوى الأرضي أما m_1 فترمز لطاقة تهيج المستوى الأيزومري الأول و m_2 لطاقة تهيج المستوى الأيزومري الثاني . أي أن طاقة m_2 هي أكثر من طاقة m_1 و m_1 أكثر من طاقة g.

2-5 أنماط الاستقرار النووي Nuclear Stability

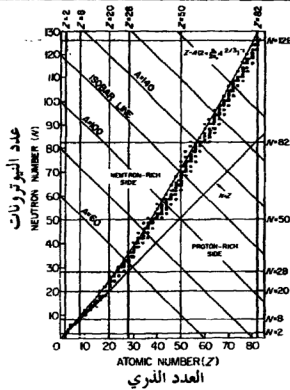
هناك حوالي 275 نواة مختلفة لم تظهر أي نشاط إشعاعي ولهذا اعتبرت مستقرة نحو التحلل بالنشاط الإشعاعي . وعند النظر إلى أنويتها (نوى) تبين أن 60% منها تحتوي على عدد زوجي من البروتونات وعدد زوجي من النيوترونات (زوجي - زوجي) أو (even-even) باللغة الإنجليزية التي تختصر إلى (e-e) . أما 40% المتبقية فتقسم تقريباً بالتساوي ما بين نوى لها عدد زوجي من البروتونات وعدد فردي من النيوترونات (even-odd أو e-o) ونوى لها عدد فردي من البروتونات وعدد زوجي من النيوترونات (odd-even أو o-e) . وهناك فقط ست نوى لها عدد فردي من البروتونات والنيوترونات (odd-odd أو o-o) وهي ${}^2_1\text{H}$ و ${}^6_3\text{Li}$ و ${}^{10}_5\text{B}$ و ${}^{14}_7\text{N}$ و ${}^{50}_{23}\text{V}$ و ${}^{180}_{73}\text{Ta}$ ومن الملاحظ أن النوى الأربع الأولى من العناصر الحقيقية وأن لها نسبة وجود في الطبيعة تتراوح من 0.0148% لـ ${}^2_1\text{H}$ و 7.5% لـ ${}^6_3\text{Li}$ و 19.8% لـ ${}^{10}_5\text{B}$ إلى 99.63% لـ ${}^{14}_7\text{N}$. أما ${}^{50}_{23}\text{V}$ فله نسبة وجود 0.250% ولـ ${}^{180}_{73}\text{Ta}$ نسبة وجود 0.01% .

ويلاحظ مما سبق أن النوى التي لها عدد زوجي من البروتونات والنيوترونات تتمتع باستقرار أكثر من تلك التي لها عدد فردي من البروتونات أو النيوترونات . ومن أجل التأكد من صحة هذا وجب علينا دراسة بعض العناصر وعدد نظائرها المستقرة (جدول 1-2) . للعناصر ذات العدد الذري الزوجي عدد من النظائر المستقرة لا يقل عن أربعة ، فعلى سبيل المثال ، لعنصر القصدير ($Z = 50$) عشر نظائر مستقرة أما الكاديوم ($Z = 48$) والتيريلوم ($Z = 52$) فلكل منهما ثمان نظائر مستقرة . ونجد في المقابل أن للفضة ($Z = 47$) وللأنتيمون ($Z = 51$) نظيران مستقران فقط . وأن للروديوم ($Z = 45$) وللإنديوم ($Z = 49$) وللويث ($Z = 53$) نظير مستقر واحد .

| عدد البروتونات أو النيوترونات Number of protons or neutrons | عدد النوى المستقرة التي لها عدد Number of stable nuclei with number of | |
|--|---|----------------------------------|
| | نظائر Protons (isotopes) | أيزوتونات Neutrons (isotones) |
| 19 | 2 (K) | 0 |
| 20 | 6 (Ca) | 5 |
| 21 | 1 (Sc) | 0 |
| 27 | 1 (Co) | 1 |
| 28 | 5 (Ni) | 5 |
| 29 | 2 (Cu) | 1 |
| 48 | 8 (Cd) | 4 |
| 49 | 1 (In) | 1 |
| 50 | 10 (Sn) | 5 |
| 51 | 2 (Sb) | 1 |
| 52 | 8 (Te) | 4 |
| 81 | 2 (Tl) | 1 |
| 82 | 4 (Pb) | 8 |
| 83 | 1 (Bi) | 1 |

جدول 1-2 : عدد النوى المستقرة لأعداد مختلفة من Z و N .

وهناك عدة أمثلة على الاستقرار الزائد الذي ينتج عن وجود عدد زوجي من النيوكليونات (شكل 2-2) وإذا أمعنا النظر في الشكل (2-2) نرى أن عدد النظائر المستقرة يزداد عند Z و N ، 2 ، 8 ، 20 ، 28 ... إلخ. إن هذه الأعداد لـ Z و N لم تأتي من فراغ بل تمثل تركيب نووي مستقر للبروتونات والنيوترونات والذي سوف يدرس فيما بعد .



شكل 2-2 : النظائر المستقرة مع اختلاف Z و N

إن الخط المنحني في الشكل (2-2) هو خط الاستقرار المحسوب نظرياً على أساس نموذج قطرة السائل للنواة والذي سوف نتطرق له لاحقاً . نجد أن للعناصر ذات العدد الفردي من البروتونات نظير أو نظيران مستقران، لأحدهما أو لكلاهما عدد زوجي من النيوترونات وعدد النظائر المستقرة ذات العدد الزوجي من البروتونات والعدد الزوجي من النيوترونات أكثر من تلك التي لها عدد زوجي من البروتونات وعدد فردي من النيوترونات ، فعلى سبيل المثال للقصدير Sn ($Z = 50$) سبعة نظائر مستقرة من نوع زوجي - زوجي (e-e) وثلاثة من نوع زوجي - فردي (e-o) . كما نجد أيضاً أن للنوى ذات العدد الزوجي من النيوترونات نظير أو نظيران مستقران . وقد فسر العلماء الاستقرار

الناجم عن العدد الزوجي من البروتونات والنيوترونات على أساس طاقة الاستقرار الناجمة عن تكوين أزواج من النيوكليونات المتشابهة تماماً كما يحدث في الذرة عندما تكون الإلكترونات أزواجاً . فإذا كان في النواة عدد زوجي من البروتونات فإنه يمكن أن تتواجد على شكل أزواج . أما إذا كان عدد البروتونات فردي فإنه لابد أن يوجد أحد البروتونات في الحالة المنفردة أو غير المزدوجة .

ساهمت الزيادة في الاستقرار الناجمة عن وجود البروتونات الزوجية على هيئة أزواج في قابلية العناصر على استيعاب مدى أكبر من النيوترونات وهذا ما حصل في نظائر القصدير بالمقارنة مع الأنديموم والأنتيمون . كما أن وجود النيوترونات على هيئة أزواج يساهم في الاستقرار ، فالنواة ذات العدد الزوجي - الزوجي يكون فيها جميع البروتونات والنيوترونات على شكل أزواج وهذا يعني أنها في حالة استقرار . وفي العناصر ذات العدد الذري الزوجي وعدد النيوترونات الفردي نوع من الاستقرار الناجم عن وجود أزواج من البروتونات ، أما العناصر ذات العدد الذري الفردي فلا بد أن يأتيها الاستقرار من عدد النيوترونات ، فإذا كان عددها زوجي كانت مستقرة ، أما إذا كان العدد فردياً كانت ذات نشاط إشعاعي إلا في بعض الحالات النادرة الست التي تم ذكرها .

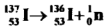
ومن الملفت للنظر أن عدد النوى المستقرة من نوع زوجي - فردي (e-o) وفردي - زوجي (o-e) متساو تقريباً وهذا يعني أن تزواج البروتونات أو النيوترونات يؤدي إلى نفس الدرجة من الاستقرار تقريباً .

2-6 نسبة النيوترونات إلى البروتونات

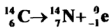
Neutron to Proton Ratio

نلاحظ من الشكل (2-2) ، الذي يمثل العلاقة ما بين عدد النيوترونات وعدد البروتونات في النوى المستقرة ، أن الاستقرار في العناصر الخفيفة يحدث عندما يتساوى تقريباً عدد البروتونات والنيوترونات ($N=Z$) وذلك من $Z=1$ إلى $Z=20$ ، وإذا تجاوزنا $Z=20$ نجد دائماً أن عدد النيوترونات أعلى من عدد البروتونات ، وأن نسبة النيوترونات إلى البروتونات في النظائر المستقرة تزداد إلى أن تصل 1.5 في البزموت في أعلى حزمة الاستقرار . فكل النوى التي تأتي بعد البزموت غير مستقرة نحو التحلل الإشعاعي بدقائق ألفا وأن بعض هذه النوى غير مستقرة نحو التحلل بدقائق بيتا أيضاً .

وقد فسر هذا لاحقاً على أساس زيادة عدد البروتونات يتبعه زيادة في قوى التنافر بينها في داخل النواة ، مما يستدعي وجود نيوترونات أكثر للتغلب على قوى التنافر وللإبقاء على وحدة النواة . والنظائر الواقعة خارج حزمة الاستقرار هي نظائر مشعة تتحلل لتعطي نوى تمتلك نسبة مستقرة من النيوترونات إلى البروتونات. فالنظائر الواقعة فوق حزمة الاستقرار لديها $\frac{N}{Z}$ أعلى من نسبة الاستقرار ولهذا تسمى نظائر غنية بالنيوترونات ويتحتم عليها أن تفقد نيوترونات أو أن تقلل النيوترونات وتزيد البروتونات . ومن هنا يفسر تحلل نظير اليود - 137 بخسارة نيوترون :



كما أن تحلل نظير الكربون - 14 يتم بتحول أحد النيوترونات في $^{14}_6\text{C}$

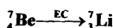


إلى بروتون في $^{14}_7\text{N}$

ويحدث العكس في النظائر الواقعة تحت حزمة الاستقرار ، حيث أن نسبة $\frac{N}{Z}$ أقل من نسبة الاستقرار وتسمى نظائر غنية بالبروتونات ، فتحلل هذه النظائر من أجل أن ينقص عدد البروتونات ويزداد عدد النيوترونات ، فإما أن تتحلل بإطلاق بوزيترون (إلكترون ذو شحنة موجبة) e^+ ، كما في تحلل النظير ^{11}C :



أو بالتقاط أحد إلكترونات الذرة الموجودة في مستوى K أو L وتسمى هذه العملية اقتناص الإلكترون (Electron Capture) EC كما في المثال التالي :



هناك تنافس بين إطلاق البوزيترون واقتناص الإلكترون ، وتزداد احتمالية اقتناص الإلكترون كلما ازداد العدد الذري .

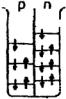
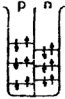
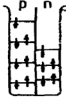
ففي بداية الجدول الدوري تتحلل النوى بإطلاق البوزيترون إلى أن نصل إلى منطقة البلايين حيث تزداد احتمالية التحلل باقتناص الإلكترون وتصبح المسيطرة بعد ذلك . أما في وسط الجدول الدوري فنرى النظائر تتحلل بالطريقتين .

والبدل لهاتين الطريقتين هو إطلاق البروتون الذي لوحظ بندرة في حوالي 40 نواة بعيدة عن حزمة الاستقرار . وفترة نصف العمر لهذه النوى ≥ 30 ثانية . ومن الأمثلة على ذلك (18 ث = $t_{1/2}$) ^{115}Xe (النسبة بين إطلاق البروتون / E.C = 3×10^{-3}) .

إن الزيادة في النسبة $\frac{N}{Z}$ مع الازدياد في العدد الذري في حزمة الاستقرار عائد لوجود قوى التنافر الإلكترونية (قوى كولومب) بين البروتونات جميعها في النواة . فوجود قوى مستقرة يعني أن هناك قوى تجاذب تربط البروتونات والنيوترونات مع بعضها البعض بحيث تفوق وتتغلب على قوى التنافر المدمرة للنواة

والعكس صحيح . فكلما ازداد عدد البروتونات ازدادت قوى التنافر الكلية ومن أجل أن تكون هناك قوى تجاذب كافية للاستقرار وجب زيادة عدد النيوترونات بسرعة أكبر من الزيادة في عدد البروتونات .

افترض العلماء أن النيوترونات والبروتونات موجودة في أفلاك نيوكلونية منفصلة تماماً كالإلكترونات في الذرة ، فإذا كان عدد النيوترونات أعلى بكثير من عدد البروتونات فإن أفلاك النيوترونات الممتلئة ستمتد إلى مستوى طاقة أعلى من تلك التي وصلت إليها أفلاك البروتونات الممتلئة . وهذا سيؤدي إلى زيادة في استقرار النواة عندما يتحول نيوترون في أعلى فلك نيوتروني إلى بروتون في فلك بروتوني طاقته أقل (شكل 3-2) . وسندرس موضوع القوى النووية ومستويات الطاقة للبروتونات والنيوترونات بالتفصيل في فصول لاحقة .

| | | |
|--|---|--|
| ${}^{12}_5\text{B}$ | ${}^{12}_6\text{C}$ | ${}^{12}_7\text{N}$ |
|  |  |  |
| غير مستقر UNSTABLE | مستقر STABLE | غير مستقر UNSTABLE |
| ${}^{12}_5\text{B} \longrightarrow {}^{12}_6\text{C} + e^-$ ($n \longrightarrow p + e^-$) $t_{1/2} = 0.02$ ثانية | | ${}^{12}_7\text{N} \longrightarrow {}^{12}_6\text{C} + e^+$ ($p \longrightarrow n + e^+$) $t_{1/2} = 0.01$ ثانية |
| شكل 3-2 : فصل وتزاوج النيوكليونات للأيزوبار A = 12 | | |

2-7 الفرق الكتلي Mass Defect

إذا استخدمنا كتلة نظير الكربون - 12 كأساس لقياس كتل ذرات العناصر والدقائق ، فإننا نجد أن كتلة ذرة الهيدروجين وكتلة النيوترون لا تساوي وحدة كتلة ذرية (و.ك.ذ. $= \frac{1}{12}$ كتلة ذرة ^{12}C). إن كتلة ذرة لها عدد كتلي A تساوي M_A وهذه تساوي عدد البروتونات (Z) مضروباً بكتلة ذرة الهيدروجين (M_H) زائد عدد النيوترونات (N) مضروباً بكتلة النيوترون (M_n) ، أي أن :

$$M_A \approx Z M_H + N M_n \quad (2-2)$$

وعلى هذا الأساس يمكننا أن نحسب كتلة الهيليوم ^4_2He على النحو التالي :

$$\begin{aligned} &= 2M_H + 2M_n \\ &= 2(1.007825) + 2(1.008665) = 4.0329801 \text{ و.ك.ذ.} \end{aligned}$$

أما كتلة الهيليوم ^4_2He المقاسة فإنها 4.0026033 و.ك.ذ. أي أن الفرق الكتلي

$$\Delta M_A = ZM_H + NM_n - M_A \quad (2-3)$$

$$\Delta M_A = 4.0329801 - 4.0026033 = 0.0303768 \text{ و.ك.ذ.}$$

فعندما تتكون ذرة ^4_2He ، فإن ما يكافئ 0.0303768 و.ك.ذ. يتطلق على صورة طاقة يمكن أن تحسب قيمتها على أساس مول واحد من ذرات ^4_2He من معادلة أينشتاين المشهورة :

$$E = mc^2 \quad (2-4)$$

حيث C = سرعة الضوء م/ث و m = الكتلة كغم .

$$E = \text{كغم} \cdot 2.9979 \times 10^8 \left(\frac{\text{م}}{\text{ث}} \right)^2 \cdot 0.030378 \times 10^{-3}$$

$$= \frac{\text{كغم} \cdot \text{م}^2}{\text{ث}^2} \cdot 2.7302 \times 10^{12}$$

وبما أن الجول = 1 كغم.م²/ث² ، فإن : 2.7302×10^{12} جول/مول

$$= 2.7302 \times 10^9 \text{ كيلوجول/مول}$$

ولأغراض المقارنة ، فإن طاقة احتراق مول من CH_4 تساوي 8.9×10^2 كيلوجول/مول ، أي أن الطاقة المطلقة من 1 مول من ذرات ${}^4_2\text{He}$ أكبر بكثير من طاقة الاحتراق . ومن علاقة أينشتاين نجد أن كل و.ك.ذ = 931.5023 مليون إلكترون فولت (MeV) كما يلي : الطاقة المكافئة لوحدة كتلة ذرية هي :

$$E = \left(2.9979246 \times 10^{10} \frac{\text{سم}}{\text{ث}} \right)^2 \times 1.660566 \times 10^{-24} \text{ غم} \\ = 1.492442 \times 10^{-3} \text{ إرغ}$$

وتستخدم هنا وحدة طاقة تسمى بالإلكترون فولت .

$$\text{واحد الإلكترون فولت (1eV)} = 1.602189 \times 10^{-12} \text{ إرغ}$$

$$\text{و } 1\text{eV/جزء} = 23.045 \text{ كيلو كالوري/مول} = 96.48 \text{ kJ/مول} .$$

أي أن الطاقة المكافئة لوحدة كتلة ذرية بوحدة الإلكترون فولت هي :

$$E = 931.502 \times 10^6 \text{ إلكترون فولت}$$

$$E = 931.502 \text{ MeV}$$

أو

$$= \text{أي أن الفرق الكتلي لـ } {}^4_2\text{He}$$

$$0.0303768 \text{ و.ك.ذ} \times 931.502 = 28.2960 \text{ MeV}$$

والفرق الكتلي للديوتيريوم هو 2.224 MeV ، وقد لاحظ العلماء انطلاق

هذه الطاقة عند إمساك البروتون لنيوترون قليل الطاقة . ومن التعريف السابق

للفرق الكتلي ΔM_A نجد أن لجميع النظائر المستقرة قيم موجبة (انظر الملحق أ) .

ويستخدم بعض العلماء الزيادة في الكتلة Mass Excess والتي يرمز لها Δ

وتُعرف على أنها الفرق بين الكتلة الذرية المقاسة والعدد الكتلي .

$$\Delta_A = M_A - A$$

(2-5)

وتُعطى قيم Δ بوحدة و.ك.ذ أو eV ، يبين الجدول (2-2) قيم الكتل الذرية والفروق الكتلية والزيادة في الكتلة لبعض النظائر .

| العدد Element | Z | N | A | الكتلة الذرية Atomic mass M_A (u) | الزيادة في الكتلة Δ Mass excess $M_A - A$ (μ m) | فروق الكتلة Mass defect ΔM_A (μ m) | طاقة الربط Binding energy E_B (MeV) | طاقة الربط / نيركلون E_B/A (MeV / nucleon) |
|------------------|----|-----|-----|---|--|---|--|---|
| n | 0 | 1 | 1 | 1.008 665 | 8 665 | 0 | - | - |
| H | 1 | 0 | 1 | 1.007 825 | 7 825 | 0 | - | - |
| D | 1 | 1 | 2 | 2.014 102 | 14 102 | 2 388 | 2.22 | (2.22) |
| T | 1 | 2 | 3 | 3.016 049 | 16 049 | 9 106 | 8.48 | 2.83 |
| He | 2 | 1 | 3 | 3.016 030 | 16 030 | 8 285 | 7.72 | 2.57 |
| He | 2 | 2 | 4 | 4.002 604 | 2 604 | 30 376 | 28.29 | 7.07 |
| He | 2 | 4 | 6 | 6.018 893 | 18 893 | 31 417 | 29.26 | 4.87 |
| Li | 3 | 3 | 6 | 6.015 126 | 15 126 | 34 344 | 31.99 | 5.33 |
| Li | 3 | 4 | 7 | 7.016 005 | 16 005 | 42 130 | 39.24 | 5.60 |
| Be | 4 | 3 | 7 | 7.016 929 | 16 929 | 40 366 | 37.60 | 5.37 |
| Be | 4 | 5 | 9 | 9.012 186 | 12 186 | 62 439 | 58.16 | 6.46 |
| Be | 4 | 6 | 10 | 10.013 535 | 13 535 | 69 755 | 64.97 | 6.49 |
| B | 5 | 5 | 10 | 10.012 939 | 12 939 | 69 511 | 64.74 | 6.47 |
| B | 5 | 6 | 11 | 11.009 305 | 9 305 | 81 810 | 76.20 | 6.92 |
| C | 6 | 6 | 12 | 12.000 000 | 0 000 | 98 940 | 92.15 | 7.67 |
| N | 7 | 7 | 14 | 14.003 074 | 3 074 | 112 356 | 104.6 | 7.47 |
| O | 8 | 8 | 16 | 15.994 915 | -5 085 | 137 005 | 127.6 | 7.97 |
| F | 9 | 10 | 19 | 18.998 405 | -1 595 | 158 670 | 147.8 | 7.77 |
| Ne | 10 | 10 | 20 | 19.992 440 | -7 560 | 172 460 | 160.6 | 8.03 |
| Na | 11 | 12 | 23 | 22.989 771 | -10 229 | 200 284 | 186.5 | 8.11 |
| Mg | 12 | 12 | 24 | 23.985 042 | -14 958 | 212 838 | 198.2 | 8.25 |
| Al | 13 | 14 | 27 | 26.981 539 | -18 461 | 241 496 | 224.9 | 8.33 |
| Si | 14 | 14 | 28 | 27.976 929 | -23 071 | 253 931 | 236.5 | 8.44 |
| P | 15 | 16 | 31 | 30.973 765 | -26 235 | 282 250 | 262.9 | 8.48 |
| K | 19 | 20 | 39 | 38.963 710 | -36 290 | 358 265 | 333.7 | 8.56 |
| Co | 27 | 32 | 59 | 58.933 189 | -66 811 | 555 366 | 517.3 | 8.77 |
| Zr | 40 | 54 | 94 | 93.906 133 | -93 867 | 874 777 | 814.8 | 8.67 |
| Ce | 58 | 82 | 140 | 139.905 392 | -94 608 | 1 258 988 | 1172.7 | 8.38 |
| Ta | 73 | 108 | 181 | 180.948 007 | -51 993 | 1 559 038 | 1452.2 | 8.03 |
| Hg | 80 | 119 | 199 | 198.968 279 | -31 721 | 1 688 856 | 1573.0 | 7.90 |
| Th | 90 | 142 | 232 | 232.038 124 | 38 124 | 1 896 556 | 1766.6 | 7.62 |
| U | 92 | 144 | 236 | 236.045 637 | 45 637 | 1 922 202 | 1791.0 | 7.59 |
| U | 92 | 146 | 238 | 238.050 770 | 50 770 | 1 934 220 | 1801.7 | 7.57 |
| Pu | 94 | 146 | 240 | 240.053 882 | 53 882 | 1 946 758 | 1813.4 | 7.56 |

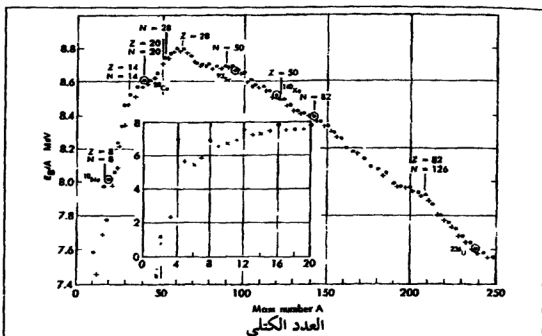
جدول 2-2 : الكتل الذرية وطاقات الربط .

2-8 طاقة الربط النووي Nuclear Binding energy

عند حرق الهيدروجين في الأوكسجين في الحالة الغازية تحت ضغط جوي ، فإن التفاعل يسير بشكل تلقائي بمجرد أن نبدأ التفاعل ويؤدي إلى تكون الماء وإنتاج كمية كبيرة من الطاقة الحرارية ، فالتفاعل طارد للحرارة . وأثناء التفاعل تتحول طاقة الوضع إلى طاقة حرارية ، فتقل طاقة الوضع نتيجة لذلك ، وتصل الحالة إلى الاستقرار ، كما أن الطاقة المنطلقة عند تكون نواة ما من عدد من ذرات الهيدروجين وعدد من النيوترونات مقياس لاستقرار النواة ، وتسمى هذه الطاقة بطاقة الربط ، والتي تعرف أيضاً على أنها الطاقة اللازمة لتفكيك النواة إلى مكوناتها الأساسية (ذرات هيدروجين ونيوترونات) . فطاقة الربط للهيليوم 28.296 MeV وللديوتيريوم 2.224 MeV ، أي أن طاقة الربط E_B تساوي قيمة الفرق الكتلي بوحدة وحدة الكتلة الذرية مضروباً بمعامل التحويل $931.5 \frac{\text{MeV}}{\text{و.ك.ذ.}}$.

$$E_B = 931.5 \times \Delta M_A \quad (2-6)$$

كما استدل العلماء على استقرار النواة من قيمة طاقة الربط لكل نيوكليون والتي تساوي طاقة الربط بوحدة المليون إلكترون فولت مقسومة على العدد الكتلي لتلك النواة ويرمز لها $E_{B/A}$ فقيمة $E_{B/A}$ للهيليوم تساوي $7.1 = \frac{28.3}{4} \text{ MeV}$ بينما للديوتيريوم $1.11 = \frac{2.22}{2} \text{ MeV}$. لهذا فإن نواة ${}^4_2\text{He}$ أكثر استقراراً من نواة الديوتيريوم . تقع قيم $E_{B/A}$ لمعظم النوى بين 5 و 9 مليون إلكترون فولت (شكل 2-4) . أي أن $E_{B/A}$ تقريباً ثابتة وهذا يعني أن طاقة الربط النووي تتناسب طردياً مع عدد النيوكليونات (A) في النواة .



شكل 4-2 : علاقة طاقة الربط لكل نيوكلون $E_{B/A}$ مع العدد الكتلي A ترمز • إلى زوجي-زوجي و + إلى فردي-زوجي وزوجي-فردي و × إلى فردي-فردي أيزوبار

نلاحظ من الشكل (4-2) أن $E_{B/A}$ تزداد مع ازدياد العدد الكتلي حتى تصل أعلى قيمة لها عند $A=60$ ومن ثم تتناقص مع ازدياد العدد الكتلي . فالنوى التي تقع في منطقة $A=60$ كالنيكل والحديد أكثرها استقراراً . ويبين الشكل السابق أعداد النيوترونات والبروتونات التي تكون تراكيب نووية مستقرة على شكل نوات صغيرة في المنحنى .

إذا اندمجت نواتان لتكون نواة جديدة لها $E_{B/A}$ أعلى من $E_{B/A}$ للنواتين المندمجتين انطلقت كمية من الطاقة . وتسمى هذه العملية بالاندماج النووي Fusion ، وهي مطلقة للطاقة وتحدث عندما يكون للنوى عدد كتلي أقل من 60 ، فعلى سبيل المثال



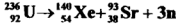
فقيمة $E_{B/A}$ لـ $^{20}_{10}\text{Ne}$ من الشكل (2-4) حوالي 8.0 MeV ولـ $^{40}_{20}\text{Ca}$ حوالي 8.6 MeV . أي أن طاقة الربط لنواتي $^{20}_{10}\text{Ne}$ تساوي 320 MeV .

$$2 \times 20 \times 8.0 = \text{MeV } 320$$

وهذه طاقة داخلية في الاندماج ، أما طاقة الربط الناتجة عن الاندماج فتساوي $344 = \text{MeV } 40 \times 8.6$ في نواة $^{40}_{20}\text{Ca}$.

فالفرق بين المفاعلات والنواتج يساوي $24 = \text{MeV } 344 - 320$ ، وهذا الفرق يظهر على هيئة طاقة منطلقة .

كما يظهر الشكل (2-4) أن هناك انطلاقاً في طاقة الربط عند انشطار نواة عنصر لها ($A > 60$) عدد كتلي أعلى من 60 إلى نواتين خفيفتين ولكن لهما $E_{B/A}$ أعلى من النواة المنشطرة . ومثال على ذلك انشطار $^{236}_{92}\text{U}$. حيث ينشطر حسب المعادلة التالية :



فقيمة $E_{B/A}$ لـ $^{236}_{92}\text{U}$ تساوي 7.6 MeV ولـ $^{140}_{54}\text{Xe}$ 8.4 MeV ولـ $^{93}_{38}\text{Sr}$ 8.7 MeV . أما كمية الطاقة المنطلقة من الانشطار فتساوي

$$191.5 = \text{MeV } 236 \times 7.6 - 140 \times 8.4 + 93 \times 8.7$$
 لكل ذرة $^{236}_{92}\text{U}$ منشطرة .

2-9 نصف قطر النواة Nuclear radius

أوضح العالم رذرفورد أن النواة تحتل جزءاً صغيراً من الحجم الكلي للذرة ويقدر نصف قطر النواة بحوالي $\frac{1}{10000}$ إلى $\frac{1}{100000}$ من نصف قطر الذرة . ويستخدم الأنجستروم \AA ($1\text{\AA} = 10^{-10} \text{ م}$) أو البيكوميتر Pm ($1 \text{ Pm} = 10^{-12} \text{ م}$) في قياس نصف قطر الذرة بينما تستخدم وحدة الفيرمي fm ($1 \text{ fm} = 10^{-15} \text{ م}$) في قياس نصف قطر النواة .

وجد العلماء بالتجربة أن حجم النواة V_n يتناسب طردياً مع العدد الكلي لنوكليونز أي مع العدد الكلي A .

$$V_n \propto A \quad (2-7)$$

وبما أن حجم الكرة يتناسب طردياً مع مكعب نصف قطر الكرة r ،

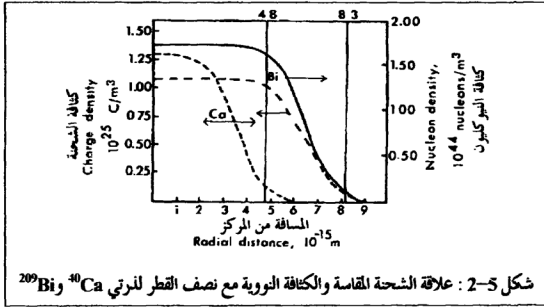
$$V \propto r^3 \quad (2-8)$$

يمكننا الربط بين A و r حيث أن $A \propto r^3$ أو $r \propto A^{1/3}$.

وباستخدام r_0 كمعامل تناسب فإن :

$$r = r_0 A^{1/3} \quad (2-9)$$

والمفهوم العلمي لهذه العلاقة هو أن النواة مكونة من نوكليونز مرسوسة على بعضها البعض مما يعني أن الكثافة ثابتة في جميع أنحاء النواة (حوالي 0.2 نوكليونز / fm^3) من مركزها إلى حدودها . أثبت التجارب في ما بعد أن نموذج الكثافة الثابتة غير صحيح وذلك من خلال قذف النوى بالكروونات ذات طاقة عالية جداً أو بروتونات ذات طاقة عالية جداً قد تصل إلى 1 GeV (غيغا إلكترون فولت) ، ومن قياس زاوية التشتت والطاقة للدقائق يمكننا حساب ودراسة التغير في كثافة الكتلة وكثافة الشحنة عند سطح النواة المقذوفة . وقد أثبتت هذه التجارب أن ليس هناك توزيع منتظم للكتلة وللشحنة عند أطراف أو حدود النواة مما يعني أن سطح النواة غير واضح أو غير محدد . كما لوحظ أن هناك تناقص في كثافة الشحنة كلما ابتعدنا عن مركز النواة ويبين شكل (2-5) هذا السلوك لنواتي $^{209}_{83}\text{Bi}$ و $^{40}_{20}\text{Ca}$ ونستنتج من الشكل (2-5) أن هناك ثباتاً في كثافة الشحنة والكتلة لمسافة قصيرة من مركز النواة ومن ثم يبدأ التناقص في الكثافتين لمسافة 2.5 fm تقريباً ولا يعتمد هذا السمك على العدد الذري .



ففي نواة ^{209}Bi مثلاً تبقى الكثافة ثابتة تقريباً لحوالي 5 fm من مركز النواة ثم تبدأ بالتناقص التدريجي إلى 0.1 القيمة في 2 fm القادمة . ولقد وجد العلماء أن شكل بعض الأنوية غير كروي فبعضها له شكل مفلطح Oblate والبعض الآخر متطاول Prolate حول محور الدوران .

على ضوء ما جاء فإن فرضية الكثافة الثابتة والحدود الثابتة المحددة صالحة لمعظم الغايات والاستخدامات .

فإذا استخدمنا المعادلة (2-9) وافترضنا أن قيمة $r_0 = 1.4 \text{ fm}$ فإن نصف قطر نواة $^{40}\text{Ca} = 4.79 \text{ fm} = 1.4 \text{ fm} \times 40^{1/3}$.

ونصف قطر نواة $^{209}\text{Bi} = 8.31 \text{ fm} = 1.4 \text{ fm} \times 209^{1/3}$.

وهاتان القيمتان موضحتان في الشكل السابق (2-5) .

وبنفس الطريقة يمكننا أن نحسب نصف قطر ^{80}Br الذي يساوي 6.0 fm ونصف قطر ^{238}U الذي يساوي 8.7 fm . وإذا أمعنا النظر بالقيم الأربع لنصف القطر وجدنا أنه لا يتغير كثيراً من بداية الجدول الدوري إلى نهايته أي من العناصر الخفيفة إلى الثقيلة .

2-10 معادلة طاقة الربط الشبه تجريبية

Semiempirical Binding Energy Equation

تعلمنا في ما سبق أن حجم وطاقة ربط النواة يتناسبان طردياً مع عدد النيوكليونات في النواة . ومن علاقة الحجم نستنتج أن المادة النووية المكونة للنواة غير قابلة للانضغاط . كما نستنتج من علاقة طاقة الربط أن قوى الربط النووية تتمتع بخاصية الإشباع ، أي أن النيوكليون يرتبط فقط مع عدد صغير من النيوكليونات الأخرى وهذا يشبه ارتباط جزيء الماء في السائل مع أربع جزيئات ماء أخرى . وهناك تشابه في الخواص بين النواة وقطرة السائل وهذا التشابه دفع العلماء إلى تفسير طاقة الربط النووية على أساس نموذج جديد تكون فيه النواة وكأنها قطرة سائل مشحونة ولها توتر سطحي . وعلى هذا فإنه يمكن كتابة معادلة لطاقة ربط الكتلة الكلية في القطرة مكونة من عدة حدود (أو مقادير) منها طاقة الحجم وطاقة السطح وطاقة التآفر وغيرها ، وتعتمد هذه العوامل على العدد الكتلي A والعدد الذري Z للنواة .

ففي عام 1935 وضع العالم س.ف. فون فيزكر أول معادلة شبه تجريبية تشتمل على عدة مقادير ومعاملاتها (2-10) .

$$E_B(\text{MeV}) = a_v A - a_s \frac{(N-Z)}{A} - a_c \frac{Z^2}{A^{1/3}} - a_s A^{2/3} \pm a_\delta A^{-1} \quad (2-10)$$

حيث أن a_δ , a_s , a_c , a_a , a_v ثوابت .

بعد ذلك مرت هذه المعادلة بعدة مراجعات وتحسينات من قبل العلماء وذلك من خلال إضافة مقادير جديدة أو تغيير معاملاتها وأحدث معادلة هي معادلة مايرز وسويتسكي (2-11) .

$$E_B(\text{MeV}) = C_1 A \left[1 - K \left(\frac{N-Z}{A} \right)^2 \right] - C_2 A^{2/3} \left[1 - K \left(\frac{N-Z}{A} \right)^2 \right] - C_3 Z^2 A^{-1/3} + C_4 Z^2 A^{-1} + \delta \quad (2-11)$$

حيث أن قيمة $C_1 = 15.667 \text{ MeV}$ و $C_2 = 18.56 \text{ MeV}$

و $C_3 = 0.717 \text{ MeV}$ و $C_4 = 1.211 \text{ MeV}$ و $K = 1.79$.

تحتوي المعادلة (2-11) على ستة مقادير ، كما أن القيم المحسوبة بها لطاقة الربط لحوالي 1200 نواة تتفق مع القيم المقاسة ضمن 10 MeV وسندرس المقادير المختلفة بالتفصيل .

2-10-1 طاقة الحجم Volume Energy

ينظر لهذا المقدار على أنه الأهم والمسيطر وطاقة الحجم تتناسب طردياً مع العدد الكتلي وهذا يعكس خاصية الإشعاع وقصر المدى للقوى النووية ، ويصل الإشعاع إلى أعلى قيمة له عندما يكون عدد النيوكليونات أربعة (بروتونين ونيوترونين) فتجاذب مع بعضها البعض ويستدل على هذا من قيم طاقة الربط العالية لـ ${}^4_2\text{He}$ و ${}^{12}_6\text{C}$ و ${}^{16}_8\text{O}$... إلخ ، شكل (2-4) .

أما حد التصحيح فيتناسب مع $\frac{(N-Z)^2}{A}$ طردياً ويسمى بطاقة التماثل Symmetry energy . ويعكس هذا الحد الحقيقة القائلة بأن القوى النووية (بغض النظر عن قوى التافر) تكون أعلى ما يمكن عندما يكون عدد البروتونات يساوي عدد النيوترونات وتقل كلما زاد الفرق بينهما وهذا يظهر في $(N-Z)^2$. أما الاعتماد على A^{-1} فيأتي من احتمالية وجود زوج (بروتون مع نيوترون) ضمن حجم معين وهذه الاحتمالية تتناسب عكسياً مع حجم النواة ، علماً بأن طاقة

الربط الناتجة عن هذا الزوج تتناسب مع احتمالية وجوده .
 إن الاستقرار الزائد في النوى التي يتساوى فيها N و Z ($N=Z$) يأتي جزئياً
 من خلال مبدأ باولي للاستثناء والذي يقول بعدم إمكانية وجود نيوكليونين
 متماثلين في نفس المستوى من الطاقة .

2-10-2 طاقة السطح Surface Energy

إن النيوكليونات الموجودة في وسط النوى تتمتع بخاصية الإشباع فهي محاطة
 بعدد ثابت من النيوكليونات أما النيوكليونات الموجودة على السطح فهي غير مشبعة
 وهذا ينقص من طاقة الربط ويتناسب هذا النقص مع سطح النواة . وبما أن
 $r \propto A^{1/3}$ وأن مساحة سطح النواة تتناسب مع r^2 ، فإن مساحة السطح تتناسب
 مع $A^{2/3}$. ويلاحظ أنه كلما ازداد حجم النواة كلما نقصت نسبة مساحة السطح
 إلى الحجم ، مما ينقص من أهمية هذا المقدار . لا يظهر حد التصحيح لطاقة السطح
 في معظم معادلات طاقة الربط المعروفة سابقاً إلا أن مايرز ومويتكي أدخلوا هذا
 الحد ، وفسروا ذلك على أساس أن في النوى ذات القيمة $|N-Z|$ العالية تقرب
 طاقة الحجم من الصفر وهذا سيؤدي إلى اختفاء التوتر السطحي أو طاقة السطح .

2-10-3 طاقة التناثر الكولومبي Coulomb Energy

يمثل المقدار $C_3 Z^2 A^{-1/3}$ طاقة التناثر الإلكتروستاتيكي الناجمة عن التناثر
 الكولومبي بين البروتونات ، وطاقة التناثر تنقص طاقة الربط . إذا افترضنا وجود
 كرة منتظمة الشحنة ذات نصف قطر R وشحنة q ، فإن الطاقة الإلكتروستاتيكية
 تساوي $3/5 q^2/R$ وبما أن $Ze = q$ و $r_0 A^{1/3} = R$ فإن الطاقة الإلكتروستاتيكية

تساوي $\frac{3}{5} \frac{Z^2 e^2}{r_0 A^{1/3}}$ أو $\left(\frac{3e^2}{5r_0} \right) Z^2 A^{-1/3}$ وبالتعويض بقيمة $r_0 = 1.205 \text{ fm}$ فإن $C_3 = 0.717 \text{ MeV}$.

تردد طاقة التناثر الكولومبي كلما ازداد عدد البروتونات Z وهذا يفسر ازدياد عدد النيوترونات عن عدد البروتونات في النوى المستقرة التي لها $Z > 20$ (شكل 2-2).

عندما درسنا موضوع نصف قطر النواة تبين لنا أن توزيع الشحنة في النواة غير منتظم ومبعثر عند الحدود . وأدت هذه البعثرة إلى وجود حد تصحيح يقلل من تأثير طاقة التناثر الكولومبي وهذا الحد هو المقدار الرابع في المعادلة (2-11) .

2-10-4 طاقة الازدواج Pairing Energy

يعتمد المقدار الأخير في المعادلة (2-11) على الحقيقة القائلة بأن هناك علاقة بين طاقة الربط والطبيعة الزوجية أو الفردية لعدد البروتونات وعدد النيوترونات . وقد درسنا هذه العلاقة في السابق (2-5) . فالنوى ذات الأعداد زوجي - زوجي (e-e) أكثرها استقراراً ولهذا فإن قيمة $\delta = 11/A^{1/2}$ وأما في حالة زوجي - فردي (eZ-oN) أو فردي - زوجي (oZ-eN) فإن قيمة $\delta = 0$ وأخيراً في النوى ذات الأعداد فردي - فردي (o-o) فإن قيمة $\delta = 11/A^{1/2}$. ويسمى المقدار δ في معادلة طاقة الربط بمقدار الازدواج .

إن الاستقرار الزائد والناجم عن وجود مستويات طاقة معينة تماماً يتجلى بوضوح في عدد النوى المستقرة الكبير في فئة زوجي - زوجي وفي نسبة وجودها العالية في الطبيعة . فنجد في الغالب أن نسبة وجود العناصر ذات العدد الزوجي

من البروتونات أعلى من تلك ذات العدد الفردي بحوالي عشر مرات . ففي العناصر ذات العدد الزوجي من البروتونات تشكل النظائر ذات العدد الزوجي من النيوترونات حوالي 100-70٪ من ذلك العنصر ما عدا في حالة البريليوم والزنكون والديسبروزيوم .

وفسر العلماء ما جاء في الشكل (4-2) الذي تصل فيه E_B/A إلى أعلى قيمة لها عند $A = 60$ على أنها نتيجة لالتجاهين متعاكسين أولهما طاقة السطح التي تقل مع الزيادة في العدد الكتلي وثانيهما طاقتي التافر الكولومبي والتماثل اللتان تزدادا مع الزيادة في العدد الكتلي .

2-11 طاقة السطح النووية والقطع المكافئ الكتلي

Nuclear Energy Surface and Mass Parabola

يمكن التعبير عن طاقة الربط لكل الأنوية على أنها دالة لـ A ولـ Z من خلال رسم ثلاثي الأبعاد للمعادلة (11-2) . ومقدورنا الحصول على بعض الصفات المفيدة لهذا الرسم قبل أن نرسمه ، ولهذا علينا التعامل مع كتلة الذرة الكلية M بدل من طاقة الربط E_B ، وتكتب معادلة طاقة الربط النووي بدلالة M على النحو التالي :

$$M = Z M_H + (A-Z) M_N - E_B \quad (2-12)$$

حيث أن M_H كتلة ذرة الهيدروجين (938.791 MeV) و M_N كتلة النيوترون (939.573 MeV) . وبالجمع بين المعادلتين (11-2) و (12-2) نحصل على معادلة الكتلة الشبه تجريبية (13-2) .

$$M = 939.573 A - 0.782 Z - (C_1 A - C_2 A^{2/3}) \left[1 - K \left(1 - 2 \frac{Z}{A} \right)^2 \right] + Z^2 (C_3 A^{-1/3} - C_4 A^{-1}) - \delta \quad (2-13)$$

وبالنظر إلى المعادلة (2-13) نرى أنها معادلة تربيعية لـ Z ، وأنه يمكن كتابتها بالشكل الآتي :

$$M = f_1(A) Z^2 + f_2(A) Z + f_3(A) - \delta \quad (2-14)$$

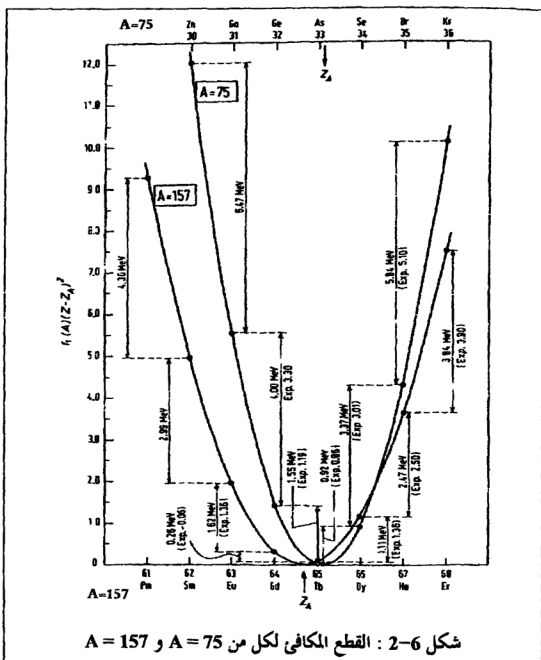
علمًا بأن المعاملات الثلاث دالة لـ A ومعادلاتها كالآتي :

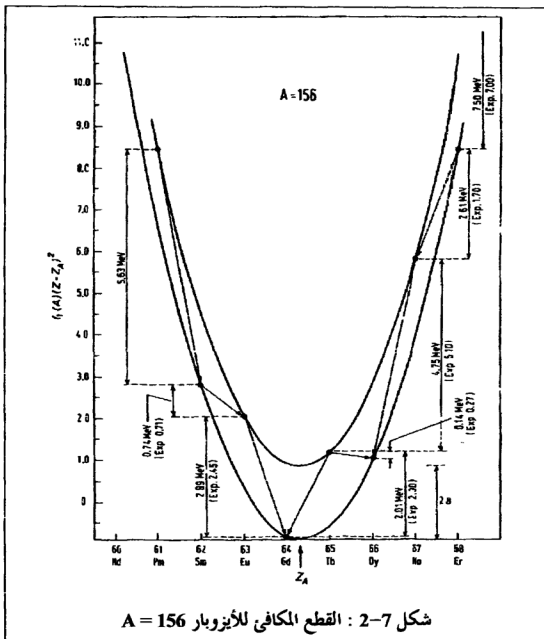
$$f_1(A) = 0.717 A^{-1/3} + 111.036 A^{-1} - 132.89 A^{-4/3}$$

$$f_2(A) = 132.89 A^{-1/3} - 113.029$$

$$f_3(A) = 951.958 A - 14.66 A^{2/3}$$

وأن قيمها ثابتة لكل قيمة من A ، مما يعني أن المعادلة (2-14) هي معادلة قطع مكافئ إذا كانت A فردية (صفر $\delta = 0$) وتعطي قطعين مكافئين إذا كانت A زوجية ($\delta = \pm 11A^{-1/2}$) . ونستفيد من هذه القطوع في دراسة التحلل بدقائق بيتا، حيث يمكننا معرفة طاقة التحلل بدقائق بيتا بين الأيزوبارز المجاورة مباشرة منها . ولتوضيح هذا ، سندرس القطع المكافئ لكل من $A = 157$ و $A = 75$ (شكل 6-2) والقطعين المكافئين لـ $A = 156$ (شكل 7-2) .





ويمكننا الحصول من رأس القطع المكافئ الكتلي على الكتلة الدنيا أو طاقة الربط العليا لكل قيمة من A . ومن أجل أن نجد Z_A الخاصة بالكتلة الدنيا علينا أن نفاضل المعادلة (2-14) بالنسبة لـ Z علماً بأن A ثابتة ومن ثم نساوي المشتقة بالصفر فنحصل على معادلة Z_A التالية (2-15).

$$Z_A = \frac{-f_2(A)}{2f_1(A)} \quad (2-15)$$

وبما أن دالة مستمرة فإن قيم Z_A عددية غير صحيحة .

فقيمة $Z_A = 64.69$ لـ $A = 157$ و $Z_A = 64.32$ لـ $A = 156$ و $Z_A = 33.13$ لـ $A = 75$.

ومن أجل أن نرسم القطع المكافئ الطاقى نستخدم المعادلة (2-15) في إعادة كتابة المعادلة (2-14) لنحصل على المعادلة الجديدة (2-16) التالية :

$$M = f_1(A) (Z - Z_A)^2 - \delta + f(A) \quad (2-16)$$

حيث أن $f(A) = f_3(A) - f_2(A)^2 / 4 f_1(A)$

وبما أن $f(A)$ دالة لـ A فلا نحتاج لإيجاد قيمتها وذلك لأن الفرق في الطاقة هو ما نبحت عنه بين الأيزوبارز . وبالنظر إلى الشكلين (2-6) و (2-7) نجد أن محور (ص) يمثل $f_1(A) (Z - Z_A)^2$. تكون الكتلة ذات $Z = Z_A$ في الأيزوبارز ذات A الفردية موازية للصفر على محور ص وذلك لأن $Z - Z_A$ تساوي صفر وأما عندما تكون A زوجية فيقع الصفر في منتصف المسافة بين رأسي القطعين المكافئين زوجي-زوجي وفردى-فردى . وتحدد $f_1(A)$ عرض القطع المكافئ حيث تقل قيمتها كلما زادت A ولهذا يعرض وادى الاستقرار في سطح الطاقة النووي كلما ازدادت A (شكل 2-6) .

وإذا قمنا بدراسة القطوع المكافئة لمجموعة من الأيزوبارز وجدنا عدة استنتاجات مهمة تتعلق بالاستقرار النووي . فعلى سبيل المثال هناك فقط نواة واحدة مستقرة نحو بيتا (β) في الأيزوبارز ذات A الفردية تكون قرية جداً لأدنى قيمة في القطع المكافئ ، ويكون هناك نواتان مستقرتان أو ثلاث أنوية (نوى) مستقرة في الأيزوبارز ذات A الزوجية وجميعها من النوع زوجي-زوجي . ويمكننا

القول أن هناك نواتان مستقرتان ^{156}Gd و ^{156}Dy في الشكل (2-7) وذلك لأن لكل منهما كتلة أقل من جارهم ^{156}Tb . ومن وجهة الديناميكا الحرارية فإن ^{156}Dy غير مستقر نحو التحلل إلى ^{156}Gd الذي ينقصه في الكتلة، ومن أجل أن يحدث هذا عليه أن يطلق دقيقتي β في نفس الوقت (في هذه الحالة اقتصاص الإلكترون) وتسمى هذه العملية بتحلل β المزدوج double β -decay. ومن المتوقع أن يكون لهذه العملية نصف عمر عال جداً ناتج عن الاحتمالية القليلة جداً لحدوثها. ومن الأمثلة المعروفة $^{130}_{52}\text{Te}$ إلى $^{130}_{54}\text{Xe}$ بنصف عمر سنة $t_{1/2} = 2 \times 10^{21}$ و $^{82}_{34}\text{Se}$ إلى $^{82}_{36}\text{Kr}$ بنصف عمر سنة $t_{1/2} = 1 \times 10^{20}$.

ويوضح الشكلان (2-6) و (2-7) التناوب بين القيم الصغيرة والكبيرة لطاقة التحلل بيتا في الأيزوبارز ذات A الزوجية بينما تزداد الطاقة ليتا في اتجاه Z_A من كلا الطرفين في الأيزوبارز ذات A الفردية. ونرى في الشكل (2-7) إمكانية النواة الفردية-الفردية مثل $^{156}_{65}\text{Tb}$ على التحلل إلى جارتها الزوجي-الزوجي بواسطة التحلل بـ β^- أو β^+ واقتصاص الإلكترون E.C، ولحد الآن لم يتم الكشف مخبرياً على تحلل ^{156}Tb بـ β^- وذلك لأن طاقة التحلل قليلة جداً، وتسمى هذه الظاهرة بالتحلل المتفرع Branching Decay.

ونلاحظ أيضاً في الشكلين (2-6) و (2-7) وجود قيم مقاسة لطاقة التحلل بيتا، وإذا قررنا هذه القيم مع تلك المحسوبة من معادلة طاقة الربط تبين لنا أن هناك توافقاً كبيراً يقع ضمن عدة مئات من KeV. وللحصول على توافق تام فلا بد من إدخال تعديل على $f_1(A)$ و Z_A لتطابق مع نقاط معروفة في منطقة A و Z. ومن الأمثلة على ذلك أن ^{157}Tb هو الأيزوبار المستقر ضمن $A = 157$ ولهذا نتوقع أن ^{157}Gd سيتحلل بواسطة β^- لـ ^{157}Tb بطاقة تساوي 0.26 MeV. ومن

الغريب أن ^{157}Gd نظير مستقر وأن ^{157}Tb يتحلل بواسطة E.C ليعطي ^{157}Gd وبطاقة مقاسة تساوي 0.06MeV . ومن أجل أن نحصل على توافق مع هذه الحقيقة العملية علينا أن ننقص 0.2 من قيمة Z_A ، وهذا التعديل سيفيدنا في الحصول على قيم لطاقة β مساوية للقيم المقاسة وفي التقدير الصحيح للقيم التي لم يتم قياسها بعد مثل ^{157}Sm و ^{157}Pm .

الأسئلة :

- 1) احسب طاقة الربط لكل نيوكليون للنظائر التالية :
 ^{238}U , ^{195}Pt , ^{137}Cs , ^{108}Pd , ^{60}Ni , ^{40}Ca , ^{31}P , ^6Li
 طاقة الربط ومن الكتل الذرية في ملحق أ .
- 2) احسب من الكتل الذرية في ملحق أ ما يلي :
 أ) طاقة الربط للنيوترون المضاف إلى كل من ^{239}Pu , ^{50}V , ^{16}O .
 ب) طاقة الربط للبروتون المضاف إلى كل من ^{234}Th , ^{52}Mn , ^{10}B .
 (الجواب أ) ^{239}Pu (6.53 MeV ، ب) ^{52}Mn (7.53 MeV).
 3) استخدم معادلة طاقة الربط النووي بدلالة M لإيجاد ما يلي :
 أ) الطاقة المنطلقة من إضافة نيوترون إلى نواة ^{235}U .
 ب) الطاقة المنطلقة من إضافة نيوترون إلى نواة ^{238}U .
 ج) الطاقة المنطلقة ليبتا من تحلل ^{129}I إلى ^{129}Xe .
 قارن أجوبتك بالقيم المحسوبة من قيم الزيادة في الكتلة في ملحق أ .
 (الجواب أ) (6.7 MeV).
 4) عين قيم Z_A لكل من $A = 204$, $A = 131$, $A = 27$ وذلك باستخدام معادلة الكتلة الشبه تجريبية ، ثم قارنها مع النتائج العملية في ملحق أ .
 (الجواب $Z_{27} = 12.68$).
 5) احسب الطاقة الناتجة من :
 أ) تحلل كل من ^{252}Cf , ^{238}U , ^{192}Pt بواسطة α .
 ب) انشطار كل من ^{252}Cf , ^{236}U , ^{240}Pu إلى جزئين متساويين .
 (الجواب ^{252}Cf أ) (6.22 MeV ب) (232 MeV).

الفصل الثالث

طرق التحلل الإشعاعي النووي

RADIOACTIVE DECAY PROCESSES

3-1 مقدمة

ينظر للتحلل الإشعاعي النووي على أنه تغير نووي تلقائي لا يتأثر بالضغط ولا بدرجة الحرارة ولا بالصيغة الكيميائية ... إلخ .

ولهذا فقد تمكنا من تشخيص النوى المشعة على أساس فترة التحلل وطريقة التحلل و طاقة التحلل بغض النظر للحالة الكيميائية والفيزيائية . ويعبر عن فترة التحلل من خلال فترة نصف العمر $t_{1/2}$ وهي المدة الزمنية اللازمة لتحلل نصف عدد ذرات النظير المشع ، ومهما كان عدد الذرات الموجودة منه في البدء (شكل 1-1) . تتراوح فترات نصف العمر من ملايين السنين إلى أجزاء من الثانية . ومن السهل قياس فترات نصف العمر التي تتراوح ما بين دقيقة إلى سنة بالطرق المخبرية البسيطة ، وأما الفترات القصيرة جداً فإنها تحتاج إلى طرق مفصلة ومعقدة وباستخدام الأجهزة المتقدمة . وقد تمكن العلماء من قياس فترة نصف عمر في حدود 10^{-14} ثانية والتحلل الإشعاعي الذي يحدث في أقل من هذه المدة الزمنية هو تحلل فوري . وفي المقابل فإذا كانت فترة نصف العمر أكثر من 10^{15} سنة فإنه لا يمكن ملاحظة هذا التحلل فوق الإشعاع الخلفي الطبيعي ولهذا اعتبرت هذه النوى مستقرة نحو التحلل بالإشعاع . وفترة 10^{15} سنة أكبر من عمر الكون بـ 10^5 مرة .

يتضمن التحلل بالإشعاع الانتقال من حالة كمية محددة في النواة الأصلية المتحللة إلى حالة كمية محددة في النواة الناتجة والفرق في الطاقة ما بين المستويين الكميّين المذكورين في التحلل يساوي طاقة التحلل . وتظهر طاقة التحلل على هيئة إشعاعات كهرومغناطيسية أو كطاقة حركية للنواتج .

وتعتمد طريقة التحلل بالإشعاع على تلك النواة المتحللة .

ويقسم التحلل الإشعاعي إلى ثلاثة أنواع :

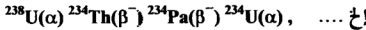
أ (التحلل بدقائق ألفا α .

ب) التحلل بدقائق بيتا β .

ج) التحلل بإشعاعات جاما γ .

ويرتبط التحلل بألفا بانطلاق أنوية الهيليوم والتحلل بيتا بتكون وانطلاق الإلكترونات السالبة (نيغاترون) أو الإلكترونات الموجبة (بوزترون) ، وبحدوث عملية اقتناص للإلكترون $E.C$. أما التحلل بجاما فهو انطلاق للأشعة الكهرومغناطيسية الناجمة عن انتقال النواة من مستوى طاقة إلى مستوى طاقة آخر أقل طاقة وهناك طريقة أخرى للتحلل الإشعاعي وتسمى بالتحول الداخلي $Internal Conversion (I.C)$ ، حيث يتفاعل المجال النووي مع الإلكترونات في الأفلاك فتخسر النواة طاقتها ويصاحب هذا تأين إلكترون عوضاً عن انطلاق أشعة جاما . ولاحظ العلماء أن هناك طريقة أخرى تحدث في النوى الثقيلة ($Z > 91$) وتسمى بالانشطار التلقائي $Spontaneous fission (S.F)$ حيث تنقسم النواة إلى قسمين متساويين تقريباً . ويصاحب الانشطار انطلاق إشعاعات كهرومغناطيسية ونيوترونات . كما لوحظ في العشرين سنة الماضية بعض طرق التحلل الإشعاعي الغريبة في النوى التي تقع بعيدة عن خط الاستقرار كانطلاق بروتون أو نيوترون .

كما هو موضح في سلسلة ^{238}U الإشعاعية (شكل 2-1)



كما يمكننا أن نذكر معها أنصاف العمر $t_{1/2}$ كالآتي :

(دقيقة 1.1 , β^- , ^{234}Pa يوم 24 , β^- , ^{234}Th سنة 4.5×10^9 , α , ^{238}U)
 إلخ ... , (سنة 2.5×10^5 , α , ^{234}U)
 وسوف ندرس طرق التحلل الإشعاعي من خلال طاقة الربط النووي
 وميكانيكية وحركية التحلل .

3-2 قوانين الحفظ Conservation Laws

يجب استيفاء عدد من قوانين الحفظ في التحلل الإشعاعي والتفاعلات
 النووية، وتضع هذه القوانين الحدود لهذه العمليات ، فلو أخذنا التفاعل التالي :



حيث تمثل X دقيقة نووية أو أساسية .

ففي التفاعلات النووية تكون X_1 الدقيقة المقذوفة (مثل ذرة ^4He في حزمة
 من دقائق ألفا α) و X_2 ذرة الهدف (مثل ذرات ^{14}N) وأما X_3 و X_4 فهي النواتج
 (مثل ^1H و ^{17}O) .

وفي بعض الأحيان يتكون ناتج واحد وفي أحيان أخرى يتكون أكثر من
 ناتجين وتتكون في التحلل الإشعاعي عدة نواتج ولهذا تكتب المعادلة (3-1) كالآتي:



وسوف ندرس قوانين الحفظ المبنية على المعادلة (3-1) .

أ (الطاقة الكلية Total Energy .

الطاقة الكلية للنظام ثابتة

$$E_1 + E_2 = E_3 + E_4 \quad (3-2)$$

وتمثل E كل أشكال الطاقة مثل الطاقة الكتلية ، الطاقة الحركية ، الطاقة

الإلكتروستاتيكية ... إلخ .

ب) الزخم الخطي Linear Momentum .

$$P = mV \quad (\text{المسألة} : m , V : \text{السرعة}) \quad (3-3)$$

يجب المحافظة على الزخم الخطي في النظام وذلك بأن يكون :

$$P_1 + P_2 = P_3 + P_4 \quad (3-4)$$

وتعطى الطاقة الحركية E_{kin} بدلالة الزخم الخطي كما يلي :

$$E_{kin} = P^2/2m \quad (3-5)$$

ج) الشحنة الكلية Total Charge .

الشحنة الكلية للنظام ثابتة ، أي أن :

$$Z_1 + Z_2 = Z_3 + Z_4 \quad (3-6)$$

وتستخدم وحدة الشحنة في التعبير عن الشحنة .

د) العدد الكتلي Mass Number .

العدد الكتلي للنظام ثابت ، وهذا يعني أن :

$$A_1 + A_2 = A_3 + A_4 \quad (3-7)$$

هـ) الزخم الزاوي النووي الكلي P_I .

Total Nuclear Angular Momentum P_I

يجب المحافظة على الزخم الزاوي النووي الكلي للنظام وعلى هذا الأساس فإن :

$$(P_I)_1 + (P_I)_2 = (P_I)_3 + (P_I)_4 \quad (3-8)$$

وبما أن هناك نوعان من الزخم الخطي ، أولهما ينتج عن حركة النيوكليونات في

المدار وثانيهما ينتج عن الغزل الذاتي للنيوكليونات ويسمى بالزخم الزاوي الداخلي ،

كَب العلماء المعادلة (3-8) بدلالة رقم الكم المغزلي النووي I على النحو التالي :

$$\Delta I = I_3 + I_4 - I_1 - I_2 \quad (3-9)$$

والقاعدة الكمية تقول بوجود أخذ ΔI للقيم التالية :

$$\Delta I = 1, 2, 3, \dots \quad (3-10)$$

وهذا يعني أن للتغير في الغزل النووي لتفاعل ما قيمة عددية صحيحة .
فالقوانين الثلاثة الأولى (أ و ب و ج) موجودة أيضاً في الفيزياء التقليدية
وأما القانونان (د و هـ) فهي خاصة بالتفاعلات النووية .

3-3 التحلل بألفا (Alpha Decay)

ينجم عن دقائق ألفا كمية كبيرة من التأين في المادة ، ولو سمح لدقائق ألفا بالمرور عبر غاز ما فإن الإلكترونات الناتجة عن التأين ستجتمع على القطب الموجب وهذا سيؤدي إلى مرور تيار كهربائي . وبنيت عدة أجهزة لقياس ألفا على أساس تأين الغاز كما في حجرات التأين وعدادات التناسب وقد يؤدي تفاعل دقائق ألفا مع المادة إلى حدوث تهيج للجزيئات وقد ينتج عن ذلك الفلورسنس ، وساعد الفلورسنس أو الوميض في دراسة الدقائق النووية . ومن الأجهزة الحديثة المستخدمة للوميض عدادات الوميض Scintillation Counter . ومن المواد الحساسة المستخدمة لهذا الغرض كبريتيد الحارصين (الزنك) الفوسفوري وتكسو هذه المادة سطحاً زجاجياً في الجهاز ، كما أنها تطلق فوتونات في منطقة الضوء المرئي نتيجة لتفاعل دقائق ألفا معها . ويتم الكشف عن الفوتونات باستخدام أجهزة قياس شدة الضوء .

3-3-1 طاقة التحلل Decay Energy

لوحظ التحلل بدقائق ألفا في العناصر الثقيلة والتي لها عدد ذري أكبر من العدد

الذري للرماس (Z=82) ، وفي بعض اللاتيدات . ويرمز لهذا التحلل بالمعادلة التالية :



والسلاسل النووية خير مثال على هذا التحلل (شكل 2-1) .

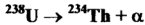
وتحسب طاقة التحلل من الكتل الذرية المعروفة ، وذلك لأن مصدر طاقة الربط المنطلقة (التحللات التلقائية النووية مطلقة للطاقة دائماً) هو النقص في الكتلة، ارجع إلى المعادلتين (2-3) و (2-6) .
وتسمى طاقة التحلل بقيمة Q للتفاعل .

$$Q(\text{MeV}) = 931.5 \Delta M_A \quad (3-12)$$

وتعرف قيمة Q لتحلل ألفا (α) كما يلي :

$$Q_\alpha = 931.5 (M_Z - M_{Z-2} - M_{\text{He}}) \quad (3-14)$$

ويعني النقص في الكتلة انطلاق للطاقة ، ولهذا نطرح النواتج من المتفاعلات فنحصل على قيمة موجبة لـ Q_α للتحلل التلقائي . ومن الأمثلة المفيدة :



فإذا كانت كتلة $^{238}\text{U} = 238.050770$ و.ك.ذ. ، و $^4_2\text{He} = 4.002604$ و.ك.ذ. ، و $^{234}\text{Th} = 234.043583$ و.ك.ذ. ، فإن Q_α تساوي

$$Q_\alpha = 931.5 (238.050770 - 234.043583 - 4.002604)$$

$$Q_\alpha = 4.269 \text{ MeV}$$

فإذا تكونت النواتج في الحالة الأرضية ، وهذا ما يحدث غالباً في التحلل بألفا، توزعت طاقة التحلل الكلية Q_α إلى طاقة حركية للنواة البنت (E_{Z-2}) وطاقة حركية لنواة الهيليوم (E_α) ، أي أن Q_α تساوي :

$$Q_\alpha = E_{Z-2} + E_\alpha \quad (3-15)$$

وبسبب قانوني حفظ الطاقة (معادلة 2-3) وحفظ الزخم (معادلة 3-4) ،

فإن :

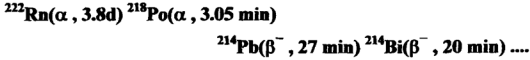
$$E_{z-2} = \frac{Q_{\alpha} M_{\alpha}}{M_z} \quad (3-16)$$

وأن

$$E_{\alpha} = \frac{Q_{\alpha} M_{z-2}}{M_z} \quad (3-17)$$

وعلى هذا فإن الطاقة الحركية لـ ^{234}Th $= 0.072 \text{ MeV}$ ، ولدقيقة α $= 4.197 \text{ MeV}$. أي أن لدقيقة ألفا طاقة حركية أكبر بكثير من الطاقة الحركية للنواة البنت وذلك بسبب الفرق الكبير في الكتلة بين النواة البنت ودقيقة ألفا . وعندما تقارن بين طاقة النواة البنت (72000 eV) وطاقة الربط الكيميائي (أقل من 5eV) يتبين لنا قدرة النواة البنت (النواة المرتدة Recoil Nucleus) على كسر جميع الروابط الكيميائية التي تربطها مع الذرات الأخرى .

وفي عام 1904 لاحظ العالم هـ. بروكس ، أثناء القياسات التي كان يجريها على $^{218}\text{Po}(\text{RaA})$ ، تلوث حجرة الكشف بـ $^{214}\text{Pb}(\text{RaB})$ و $^{214}\text{Bi}(\text{RaC})$. وفسر العالم رذرفورد هذا على أساس نواة البنت المرتدة في تحلل ^{218}Po بألفا التالي:



ويؤدي الارتداد إلى قذف ^{214}Pb نحو حائط حجرة الكشف . وتستعمل أجهزة الطيف المغناطيسية في قياس طاقة دقائق ألفا بدقة عالية وذلك بالاعتماد على المعادلة التالية :

$$E_{\alpha} = \frac{2e^2 B^2 r^2}{m_{\text{He}}} \quad (3-18)$$

حيث e هي شحنة الإلكترون و B هو المجال المغناطيسي و r هو نصف قطر الانحناء و m_{He} هي كتلة ألفا .

3-4 التحلل بيتا Beta Decay

تحدث الإلكترونات ذات الطاقة العالية تأين وتهيج لجزيئات المادة ولكنه

أضعف وأصعب من تأثير دقائق ألفا . ولهذا لأبد من تضخيم هذا التأثير لتتمكن من عد كل دقيقة من دقائق بيتا . ويستخدم التأين في عدادات التناسب وغايفر ، وأما التهييج فيستخدم في عدادات الوميض .

1-4-3 عملية التحلل بيتا β -Decay Process

تشتمل عمليات التحلل بيتا على ما يلي :

(أ) انطلاق الإلكترون السالب (نيغترون) ${}^0_{-1}e$ أو β^- .

(ب) انطلاق الإلكترون الموجب (البوزترون) ${}^0_{+1}e$ أو β^+ .

(ج) اقتصاص الإلكترون (E.C) .

ومن الأمثلة على التحلل بيتا :



ويحدث هذا التحلل بين مستويات كمية محددة في النواة الأب ${}^{137}\text{Cs}$ والنواة

البنات ${}^{137}\text{Ba}^m$.

تحدد المستويات الكمية في النواة بعدة أرقام كمية وأهمها رقم الكم المغزلي النووي Nuclear Spin ، ورقم الكم المغزلي النووي لمستوى ${}^{137}\text{Cs}$ في الحالة الأرضية هو $\frac{7}{2}$ ولـ ${}^{137}\text{Ba}^m$ هو $\frac{11}{2}$ ، وبما أن الإلكترون من الدقائق الأساسية، فله رقم كم مغزلي $\frac{1}{2}$. وكما ذكرنا سابقاً فإنه يجب المحافظة على الزخم الزاوي النووي في التفاعلات النووية (2-3) ، وهذا يعني أن يكون الفرق في الغزل الكلي بين المتفاعلات والنواتج مساوياً لقيمة عددية صحيحة في عمليات التحلل الإشعاعي (معادلة 10-3) . وإذا أمعنا النظر في المعادلة السابقة (3-19) اكتشفنا مخالفتها لقاعدة حفظ الغزل ، فمجموع الغزل لـ ${}^{137}\text{Ba}^m$ ولإلكترون يساوي $\frac{1}{2} + 1\frac{1}{2} = 6$ ، ولـ ${}^{137}\text{Cs}$ هو $\frac{7}{2}$.

والفرق في الغزل $\Delta I = 6 - \frac{7}{2} = \frac{5}{2}$ وحدة غزل ، وهي قيمة عددية غير صحيحة ،

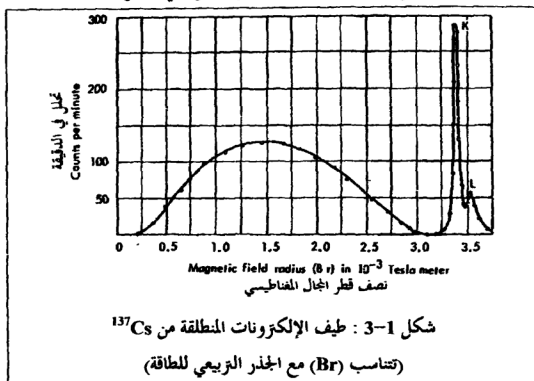
وهذا يخالف قانون حفظ الزخم الزاوي ، فكيف يحدث هذا ؟

وقبل أن نجيب على هذا التساؤل لندرس خاصية أخرى من خصائص بيتا ،

وهذه الخاصية تتعلق بطيف دقائق بيتا ، فلو أخذنا طيف ^{137}Cs (شكل 1-3)

لاحظنا أن هناك توزيعاً مستمراً للطاقة وهذا يخالف ما قلناه من أن التحلل هو

عبارة عن تغير نواة في مستوى طاقة محدد إلى نواة أخرى في مستوى طاقة محدد .



3-4-2 النيوترينو The Neutrino

دفعت مشكلة حفظ الغزل والطيف المستمر العالم باولي W. Pauli إلى

افتراض وجود دقيقة أخرى تنطلق مع دقيقة بيتا سميت بالنيوترينو ويرمز لها بالرمز

٥ . وللنيوتريو كتلة تساوي صفراً وشحنة تساوي صفراً وغزلاً يساوي $\frac{1}{2}$ ، وهي بهذا تشبه الفوتون إلا أنها لا تتفاعل مع المادة كالفوتون ، حتى يقال أنه قد يمر عبر الأرض دون أن يتفاعل .

وقد أتاح غزل النيوتريو التحقق من قانون حفظ الزخم الزاوي ، فنجد في المثال السابق أن قيمة الغزل الكلي للناتج تساوي $\frac{13}{2} = 1\frac{1}{2} + \frac{1}{2} + \frac{1}{2}$ ، وإذا طرحنا غزل ^{137}Cs $\frac{7}{2}$ من $\frac{13}{2}$ ، حصلنا على $\Delta I = 3$ ، وهذه قيمة عددية صحيحة تتفق مع قانون حفظ الغزل . ونتيجة لما سبق فإننا نكتب تفاعل التحلل (3-19) على النحو التالي :



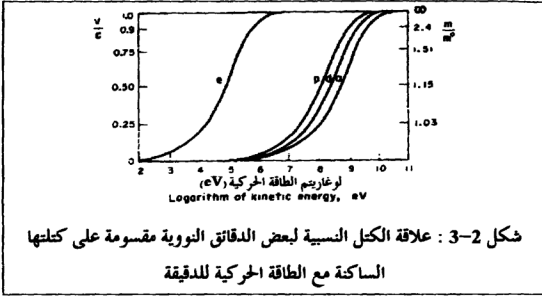
ويشير الرمز $\bar{\nu}$ إلى وجود دقيقة تسمى بمضاد النيوتريو .
وتبين للعلماء أن مضاد النيوتريو يتطلق مع الإلكترون السالب (نيغاترون) والنيوتريو ν يتطلق مع الإلكترون الموجب (البوزترون) . كما فسرت نظرية النيوتريو طيف الطاقة لتحلل بيتا وذلك من خلال الكتلة النسبية والكتلة الساكنة .
ففي عام 1901 أثبت العالم كوفمات أن كتلة الإلكترون m تزداد إذا اقتربت سرعته (V) من سرعة الضوء C ، وتبع هذه الزيادة المعادلة التالية :

$$m = m^0 \left(1 - \frac{V^2}{C^2} \right)^{-\frac{1}{2}} \quad (3-21)$$

البنية على دراسات هـ. لورينتز للعلاقة ما بين المسافة وسرعة الضوء والزمن .
 m^0 هي الكتلة الساكنة للدقيقة (عندما تساوي السرعة $V = 0$ = صفر) ، و m هي الكتلة النسبية . وتستخدم المعادلة (3-21) في دراسة جميع الأجسام السيارة أكانت ميكروسكوبية أو ماكروسكوبية .

وبين لنا الشكل (3-2) العلاقة ما بين $\frac{V}{C}$ والطاقة الحركية للدقيقة

$$E_{kin} = \frac{1}{2} m V^2$$



وإذا طبقنا نظرية ذات الحدين الجبرية على ما في داخل القوس في المعادلة (3-21) نتجت المعادلة التالية (3-22) .

$$m = m^0 + \frac{\frac{1}{2} m^0 V^2}{C^2} \quad (3-22)$$

والمقدار الأول من اليمين عبارة عن الطاقة الحركية مقسومة على سرعة الضوء . أي أن :

$$m \approx m^0 + E_{kin}/C^2 \quad (3-23)$$

وأن الزيادة في الكتلة Δm تساوي $m - m^0$ ، وهذا يعني أن الطاقة الحركية للدقيقة تساوي

$$E_{kin} = \Delta m C^2 \quad (3-24)$$

وتؤدي هذه المعادلة (3-24) من خلال نظرية أينشتاين النسبية إلى علاقة الكتلة والطاقة المعروفة التالية :

$$E = mc^2 \quad (3-25)$$

والتي استخدمناها في دراسة طاقة الربط النووي .
يحمل النيوتريو المنطلق من النواة كمية من الطاقة على هيئة طاقة حركية وبناء على ما جاء في المعادلة (3-23) يمكننا القول أن للنيوتريو كتلة m أكبر من الصفر وزخم يساوي $P = mv$ ، وتم إثبات هذا من خلال دراسة الارتداد في تحليل بيتا .
ومن أجل أن نستخدم المعادلة التالية (معادلة طاقة بيتا E_β)

$$E_\beta = e^2 B^2 r^2 / 2m_e \quad (3-26)$$

بشكل صحيح وجب علينا استخدام الكتلة النسبية ، وبين لنا الشكل (2-3) أن الكتلة النسبية عند طاقة 0.1 MeV أكبر بـ 15٪ من الكتلة الساكنة m_0 .
تنوزع الطاقة المنطلقة في تحليل بيتا ما بين النيوتريو والإلكترون والنواة البنت المرتدة . وطاقة الأخيرة أقل بكثير من النيوتريو والإلكترون مما يسمح بإهمالها .
أي أن طاقة تحمل بيتا الكلية تنوزع ما بين النيوتريو والإلكترون ، فعلى سبيل المثال إن طاقة التحلل $^{137}\text{Cs} \rightarrow ^{137}\text{Ba}^m$ الكلية تساوي $Q_\beta = 0.514 \text{ MeV}$ وتسمى بـ E_{\max} وهي تساوي أعلى قيمة لطاقة بيتا في طيف الطاقة المستمر . فإذا كانت طاقة الإلكترون 0.400 MeV فإن طاقة النيوتريو المكتملة تساوي 0.114 MeV وإذا كانت طاقة الإلكترون 0.114 MeV فإن طاقة النيوتريو تساوي 0.400 MeV .
وقد وجد العلماء أن معدل طاقة β^- يساوي $0.3 E_{\max}$ تقريباً ومعدل طاقة β^+ يساوي $0.4 E_{\max}$ تقريباً .

3-4-3 التحلل بالإلكترون السالب (نيجاترون)

Negatron Decay

تمثل المعادلة التالية (3-27) عملية التحلل بالإلكترون السالب



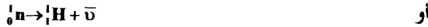
فللنواة البنت شحنة موجبة وذلك لأن عدد الإلكترونات الموروثة من A_ZX يساوي Z بينما عدد البروتونات يساوي $Z+1$ ، ولهذا فإنها تقتص إلكترون سالب من المحيط لتصبح متعادلة (معادلة 3-28) .



وإذا أمعنا النظر في المعادلة (3-27) نجد أنها موزونة من حيث الإلكترونات وذلك من خلال إضافة الإلكترون المنطلق إلى النواة البنت الموجبة . ولهذا فإننا لا نحسب كتلة الإلكترون المنطلق في حسابنا لطاقة تحلل بيتا Q_{β} ونأخذ كتلة الذرة البنت على أنها متعادلة كما في المعادلة (3-29) .

$$Q_{\beta^{-}} = 931.5(M_Z - M_{Z+1}) \quad (3-29)$$

ومن الأمثلة على ذلك تحلل النيوترون الحُر في الفراغ :



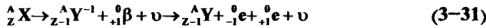
وقيمة $Q_{\beta^{-}}$ هي :

$$Q_{\beta^{-}} = 931.5 (1.008665 - 1.007825) = 0.782 \text{ MeV}$$

3-4-4 التحلل بالإلكترون الموجب (بوزترون)

Positron Decay

تمثل المعادلة التالية عملية التحلل بالإلكترون الموجب (3-31) :



تحمل النواة البنت شحنة سالبة وذلك لأن عدد البروتونات أقل من عدد الإلكترونات الموروثة بواحد . وإذا أخذنا ذرة النواة البنت المتعادلة حصلنا على

إلكترون سالب في النواتج كما هو مبين في المعادلة (3-31) . ومن الأمثلة على ذلك تحلل $^{22}_{11}\text{Na}$ حسب المعادلة التالية (3-32) :



وقيمة Q_{β} هي :

$$Q_{\beta} = 931.5(M_Z - M_{Z-1} - 2\text{Me}) \quad (3-33)$$

حيث أن $2\text{Me} = M_{\beta^-} + M_{\beta^+} = 2 \times 0.000549 \text{ و.ك.ذ.}$

$$= 0.001098 \text{ و.ك.ذ.}$$

$$\text{و } 931.5 \times 0.001098 \text{ MeV} = 1.022 \text{ MeV}$$

أي أن كتلة الإلكترون بوحدة MeV 0.511 MeV .

وبتعبير قيم M من الملحق أ بدلالة Δ الزيادة في الكتلة نحصل على ما يلي:

$$\begin{aligned} Q_{\beta} &= (\Delta_{\text{Na}} + 22) - (\Delta_{\text{Ne}} + 22) - 1.022 \text{ MeV} \\ &= -5.184 + 22 - (-8.026) - 22 - 1.022 \text{ MeV} \\ &= -5.184 + 8.026 - 1.022 \text{ MeV} = 1.820 \text{ MeV} \end{aligned}$$

3-4-5 التحلل باقتناص الإلكترون

Electron Capture (E.C)

يكتب اقتناص الإلكترون بالطريقة التالية (3-34) .



يأتي الإلكترون المقتص من الأفلاك الداخلية للنواة . وقد ترتبط التسمية

بمستوى الطاقة الرئيسي الذي يقتص منه الإلكترون ، فإذا اقتص من المستوى الطاقة

الرئيسي K سميت باقتناص K وإذا كان المستوى الرئيسي هو L سميت باقتناص L .

أما احتمالية الاقتران من المستوى K فهي أكثر بكثير من تلك من المستوى L ، وذلك لأن دالة الموجة للإلكترونات K أكبر بكثير عند النواة من تلك للإلكترونات L . ويمكننا القول أن احتمالية الاقتران تقل كلما ازدادت n للمستوى الرئيسي .
تحتسب طاقة التحلل لـ E.C كما يلي :

$$Q_{EC} = 931.5 (M_Z - M_{Z-1}) \quad (3-35)$$

ويتحلل $^{22}_{11}\text{Na}$ إلى $^{22}_{10}\text{Ne}$ بطريقة EC أيضاً ونسبة 9.5٪ . وبالاعتماد على ما جاء في المثال السابق فإن :

$$\begin{aligned} Q_{EC} &= (\Delta_{Na} + 22) - (\Delta_{Ne} + 22) \text{ MeV} \\ &= (-5.184 + 22) - (-8.026 + 22) \text{ MeV} \\ &= -5.184 + 8.026 = 2.842 \text{ MeV} \end{aligned}$$

وهذا يعني أن Q_{EC} أكبر من Q_β بـ 1.022 MeV ويتنافس التحلل بالبوروترون مع التحلل باقتران الإلكترون في المنطقة ما بين $Z = 30$ إلى $Z = 80$. أما في منطقة Z أقل من 30 فيكون التحلل بالبوروترون هو المسيطر وفي منطقة Z أعلى من 80 فيكون التحلل باقتران الإلكترون هو المسيطر .

3-4-6 النواة البنت المرتدة Recoiled Daughter

إذا انطلقت دقيقة بيتا والنيوترينو بنفس الزخم ولكن في اتجاهين معاكسين فلن ترتد النواة البنت لأن سرعتها تساوي صفر وزخمها يساوي صفر . أما إذا انطلقت في نفس الاتجاه أو كان لأحدهما طاقة تساوي E_{max} فتحدها سيصل لارتداد النواة البنت إلى أقصى كمية له .
ونعبر عن هذا بالمعادلة التالية :

$$Q_\beta = E_d + E_{max} \quad (3-36)$$

حيث أن E_d هي طاقة ارتداد النواة البنت . وبالرجوع إلى قانوني حفظ

الطاقة والزخم وإلى التغير النسبي في كتلة الإلكترون فإن E_d متساوي :

$$E_d = \frac{m_e^0 \cdot E_{\max}}{m_d} + \frac{E_{\max}^2}{m_d c^2} \quad (3-37)$$

وفي الغالب فإن قيمة E_d تساوي 100 eV ، وهذه الطاقة كافية لإعادة ترتيب الذرات في الجزيئات المحيطة بها .

ففي تحلل ^{14}C إلى ^{14}N ، E_{\max} تساوي 0.155 MeV وتصل قيمة E_d إلى 7 eV . ومن التطبيقات على هذا ما يلي :

يوسم جزيء الإيثان بالكربون 14 كما يلي $^{14}\text{CH}_3^{14}\text{CH}_3$ ، ثم نتركه ليتحلل فجد أن جزيء $^{14}\text{CH}_3\text{NH}_2$ سيتكون في 50٪ من الحالات التي تتحلل فيها واحدة من ذرتي ^{14}C ، على الرغم من أن طاقة الرابطة $\text{C} \equiv \text{N}$ تساوي 2.1 eV . تحدث معظم التحللات بطاقة أقل من طاقة التردد القصوى والتي قد تتوزع بمعدل ثابت في جميع أنحاء الجزيء . ويفسر التردد القليل ما يحدث في الضاعلين التاليين :



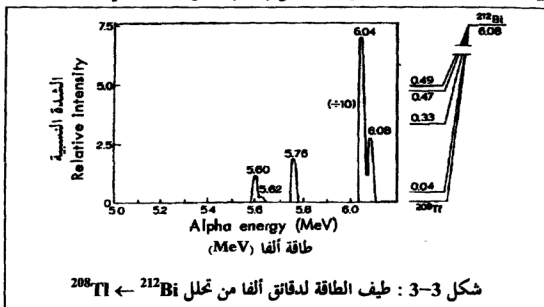
على الرغم من أن E_d تساوي أعشار الإلكترون قولت . وذلك لأن التأثيرات الثانوية ستؤدي إلى كسر الروابط الكيميائية بعد حدوث التحلل الإشعاعي .

3-5 التحلل بجاما Gamma Decay

نجد في أغلب الأحيان أن النواة البنت الناتجة عن تحلل α وبنتا في حالة تهيج . وتخلص النواة البنت من طاقة التهيج إما بإطلاق أشعة جاما أو من خلال العملية المسماة بالتحويل الداخلي Internal Conversion .

يبين الشكل (3-3) طيف دقائق ألفا المنطلقة من ^{212}Bi . ويلاحظ من الشكل السابق أن لمعظم دقائق ألفا طاقة تساوي 6.04 MeV ولحوالي 30٪ من الدقائق طاقة أقل أو أكثر . ويمكن تفسير هذا إذا افترضنا أن النوى البنت الناتجة ^{208}Tl من تحلل

^{212}Bi موجودة في مستويات تهيج مختلفة . وأثبتت القياسات لطاقة أشعة جاما المنطلقة هذه الفرضية ، حيث أن طاقة γ تساوي الفرق ما بين أعلى طاقة ألفا 6.08 MeV وأقل طاقة . فعلى سبيل المثال هناك $E_\gamma = 0.32 \text{ MeV}$ نتيجة لوجود $E_\gamma = 6.08 - 5.76$ ($E_\gamma = 6.08 - 5.76 \text{ MeV}$. وبين الشكل (3-3) مستويات الطاقة في ^{208}Tl .



يؤدي مرور أشعة جاما في الغاز إلى كثافة تأين قليلة جداً ، فلها لا يمكن استخدامها باستخدام عدادات التأين وجايجر والتاسب . بعد ذلك وجد العلماء أن أشعة جاما تؤدي إلى حدوث الفلورمنس في البلورات كبلورة يوديد الصوديوم NaI مما يعني أن إمكانية استخدام عدادات الوميض في عد أشعة جاما بصورة فعالة . كما يقاس طيف أشعة جاما بدقة عالية بواسطة جهاز كشف شبه موصل صلب . وبين الشكل (3-4) طيف التحلل لمستويات التهيج المختلفة في ^{147}Au . وفي معظم الأحيان يحدث انطلاق جاما فوراً بعد تحلل ألفا أو بيتا ، أي في أقل من 10^{-12} ثانية . وفي بعض الحالات تبقى النواة في مستويات طاقة عالية لفترة من الزمن يمكن قياسها بسهولة ، وتسمى هذه النوى بالأيزومرز (و4-2) ومن الأمثلة على ذلك $^{60}\text{Co}^m$ الذي يتحلل بنصف عمر 10.5 دقيقة إلى الحالة الأرضية ويسمى هذا التحلل

جداً ويمكن إهمالها عند دراستنا لطاقة أشعة جاما .

ويمكن لأشعة جاما أن تتفاعل مع الإلكترونات الأفلاك التابعة للذرات أخرى ، مما يؤدي إلى طرد هذه الإلكترونات من ذراتها حاملة معها طاقة حركية محددة . وقد تحدث هذه العملية ضمن نفس الذرة المثيجة . وتسمى هذه العملية بالتحويل الداخلي IC . وذلك بسبب تداخل دالة الموجة للإلكترون الفلك مع تلك الخاصة بالنواة المثيجة ، وينجم عن هذا انتقال طاقة التهيج للنواة مباشرة إلى إلكترون الفلك ، والذي سيهرب من الذرة بطاقة حركية E_e . ولا تنطلق أشعة جاما في التحويل الداخلي ، وبهذه الطريقة تخسر النواة المثيجة طاقتها .

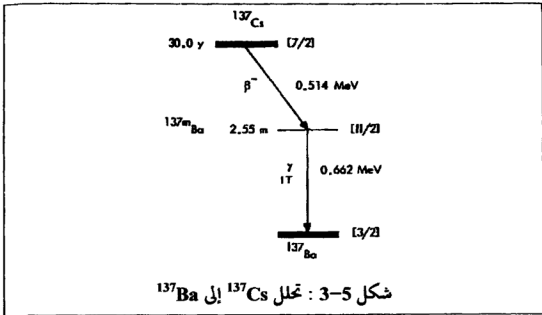
وتكتب معادلة التحويل الداخلي كما يلي :



ويستخدم جزء من طاقة التهيج النووي في التغلب على طاقة الربط E_{be} للإلكترون الفلك ، أما الباقي من طاقة التهيج فيتوزع ما بين طاقة الإلكترون الحركية E_e وطاقة النواة البنت المرتدة E_d ، أي أن :

$$Q_\gamma = E_{be} + E_d + E_e \quad (3-43)$$

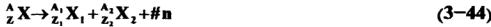
ويسمى الإلكترون المنطلق بالإلكترون التحويل Conversion Electron وفي الغالب تأتي هذه الإلكترونات من الأفلاك الداخلية للذرة وذلك لأن الدالة الموجية لهم تتداخل بشكل كبير مع تلك للنواة . ولإلكترونات التحويل طاقة ثابتة E_e تعتمد على طاقة ربط الإلكترون في الفلك ، وتعكس قيم E_e الفرق في طاقة ربط الإلكترونات .



وبين الشكل (3-1) وجود قمتين ، الأولى رمز لها بـ K وتمثل إلكترونات التحول القادمة من مستوى الطاقة الرئيسي K والثانية رمز لها بـ L وتمثل إلكترونات التحول القادمة من مستوى الطاقة الرئيسي L . ويتبع كل هذا من تحلل $^{137}\text{Ba}^m$. وبين الشكل (3-5) عملية تحلل $^{137}\text{Cs} \rightarrow ^{137}\text{Ba} + \beta^-$. ويتحلل $^{137}\text{Ba}^m$ بطريقتين ، الأولى بإطلاق أشعة جاما بطاقة 0.66 MeV والثانية المنافسة للأولى بالتحول الداخلي . وتسمى النسبة ما بين عدد إلكترونات التحول وعدد فوتونات γ المنطلقة في المنافسة بنسبة التحول α Conversion Ratio . وتعني $\frac{I_{eK}}{I_\gamma} = \alpha_K$ النسبة ما بين إلكترونات K المنطلقة (I_{eK}) وفوتونات γ المنطلقة I_γ . وفي الغالب فإن قيمة $\alpha_K > 0.1$ وأن $\alpha_M < \alpha_L < \alpha_K$... إلخ . أما في $^{137}\text{Ba}^m$ فإن $\alpha_K = 0.004$ وأن النسبة ما بين عدد إلكترونات التحول من K إلى عدد إلكترونات التحول من L تساوي 5 تقريباً .

3-6 الانشطار التلقائي (SF) Spontaneous Fission

إذا ازدادت شحنة النواة إلى قيم عالية ، نجم عن ذلك زيادة في عدم استقرار النوى ، ونلاحظ هذا في قيم نصف العمر للعناصر الثقيلة ، التي لها عدد ذري أكثر من اليورانيوم ($Z = 92$) إذ تقل كلما ازداد العدد الذري . وفي عام 1940 اكتشف العالمان بيرجك وفليسوف أن هناك طريقة أخرى لتحلل اليورانيوم ^{238}U الإشعاعي بالإضافة إلى دقائق ألفا وهي الانشطار التلقائي (SF) وأن هناك تنافساً بين الطريقتين . وينتج عن الانشطار التلقائي جزئين ثقيلين (نواتج الانشطار) بالإضافة إلى بعض النيوترونات كما هو مبين في المعادلة التالية :



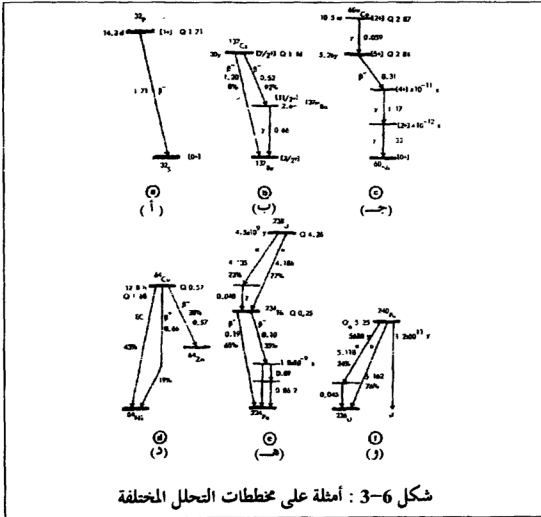
حيث أن # هو عدد النيوترونات والذي يساوي من 2 إلى 3 نيوترونات . وأما قيمة نصف العمر للانشطار التلقائي ($t_{1/2\text{SF}}$) لليورانيوم 238 فتساوي 8×10^{15} سنة وهذه القيمة أكبر بكثير من $t_{1/2}$ لتحلل ألفا . أي أن هناك حوالي 70×10^9 انشطار تلقائي في الثانية في 1 كغم ^{238}U وفي المقابل هناك انطلاق لـ 45×10^9 دقيقة من ألفا .

وكلما ازدادت Z ازداد الانشطار التلقائي فنقصت قيمة $t_{1/2}$ له . ومن الأمثلة على ذلك $t_{1/2\text{SF}} = 1.2 \times 10^{11}$ سنة و ^{240}Pu و 1.4×10^7 سنة $t_{1/2\text{SF}} =$ و ^{256}Fm . وفي ^{244}Cm و 66 سنة $t_{1/2\text{SF}} =$ و ^{252}Cf و 3×10^{-4} سنة $t_{1/2\text{SF}} =$. وفي الحقيقة فإن الانشطار التلقائي يصبح المسيطر في العناصر الأكثر ثقلاً ($Z > 100$) . وهناك وجه شبه بين الانشطار التلقائي وغير التلقائي الناجم عن قذف النوى بنيوترونات ذات طاقة قليلة .

3-7 مخططات التحلل وخريطة النظائر

Decay Schemes and Isotope Charts

يُحصل القارئ من مخططات التحلل على المعلومات التالية : غط (طريقة)
التحلل وطاقة التحلل وفترة نصف العمر وبين الشكل (3-6) عدد من مخططات
التحلل .



تكتب فترة نصف العمر $t_{1/2}$ إلى يسار الخط الذي يمثل مستوى الطاقة للنواة
التحللة ، وتعطى قيمة الغزل النووي لكل مستوى على يمين المستوى وداخل

قوسين مربعين . وفي نفس الجهة تعطى قيمة Q لذلك التحلل . وتستخدم الرموز المعروفة التالية α و β و γ و $E.C$ للدلالة على طريقة التحلل ، ويكتب إلى جانبها طاقة ذلك التحلل والنسبة المئوية له .

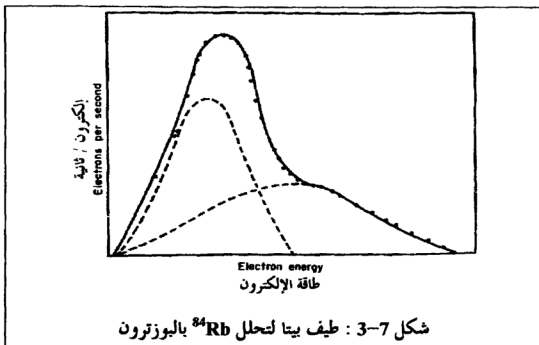
يمثل الشكل (3-6 أ) تحلل β^- لـ ^{32}P ، أما (3-6 ب) فيمثل مخطط التحلل لـ ^{137}Cs والذي يختلف عن الشكل (3-5) والمنحنى في (3-1) . والسبب يعود إلى أن نسبة الإلكترونات المنطلقة بطاقة 1.2 MeV قليلة تساوي 8٪ فقط ولهذا فإنه من الصعب الكشف عنها في جهاز الطيف المغناطيسي . ومن الشائع أن نجد نوى تتحلل بأكثر من طريقة تحلل تتنافس فيما بينها كما هو في المثال (3-6 ب) . وإذا كانت نسبة تحلل بيتا ذات الطاقة العالية قريبة من تلك ذات الطاقة القليلة حصلنا على طيف مشترك لبيتا كما هو مبين في الشكل (3-7) .

يبين الشكل (3-6 ج) مخطط التحلل لـ ^{60}Co ولأيزومره $^{60}\text{Co}^m$. ويلاحظ وجود تحللان لغاما مباشرة بعد التحلل بيتا .

أما الشكل (3-6 د) فيوضح ظاهرة التحلل المتفرع لـ ^{64}Cu ، حيث أنه يتحلل بالنيغترون ونسبته (38٪) وبالبوزترون ونسبته (19٪) وباقتناص الإلكترون (43٪) ويلاحظ أيضاً أن Q_{EC} أكبر من Q_{β^+} بـ $1.68 - 0.66 = 1.02 \text{ MeV}$. وأما الشكل (3-6 هـ) فيوضح تحلل ^{238}U بألفا إلى ^{234}Th وتحلل ^{234}Th بيتا سالب إلى ^{234}Pa .

وأخيراً يبين الشكل (3-6 و) التنافس ما بين الانشطار التلقائي والتحلل بألفا في ^{240}Pu .

وأما خريطة النظائر (ملحق ب) فتمثل كل النظائر المعروفة لحد الآن وهي مفيدة جداً في التعرف السريع على صفات كل نظير وعلى نتائج التحللات .



3-8 العمليات والتفاعلات الثانوية في الذرة

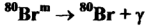
Secondary Process in the Atom

إذا انطلق إلكترون من فلك ذري بسبب التحول الداخلي (IC) أو اقتصاص الإلكترون (EC) أو أي تفاعل ناجم عن التحلل الإشعاعي ، تكون فراغ في ذلك الفلك . ويجب أن يملأ هذا الفراغ بعدة طرق منها قدوم إلكترون من فلك له طاقة أعلى ليحتل الفراغ . وأما الفرق في طاقة الربط بين الفلكين فتظهر على شكل أشعة إكس . وتسمى هذه العملية بإشعاع الفلورسنت **Flourescent Radiation** .

وإذا كان الفرق في طاقة الربط أكثر من طاقة الربط للإلكترون في المستوى L أو M ظهرت عملية منافسة لإشعاع الفلورسنت تسمى بعملية الكهروضوئية الداخلية ، حيث يطلق ذلك الإلكترون حاملاً معه الفائض من الفرق في طاقة الربط عن طاقة ربطه ، وهذا يعني

انطلاق إلكترونات من الأفلاك العليا ذات طاقة حركية قليلة وتسمى هذه الإلكترونات بالكروونات آوجه Auger Electrons . وإذا قارنا بين طاقة هذه الإلكترونات المنطلقة وطاقة الإلكترونات المنطلقة من الصحول الداخلي النووي ، نجد أن طاقتها قليلة وفي حدود eV بينما طاقة الإلكترونات الناتجة عن IC في حدود MeV . وينجم عن انطلاق إلكترونات آوجه في الذرة شحنة موجبة عالية قد تصل من 10 إلى 20 وحدة شحنة . وإذا تم معادلة هذه الشحنة العالية نجم عن ذلك طاقة عالية تكفي لكسر الروابط الكيميائية.

وجد العلماء أن طاقة γ في التحلل الأيزومري (IT) قليلة ، مما يعني أن طاقة الارتداد للبنات معدومة . ومن الأمثلة على ذلك :



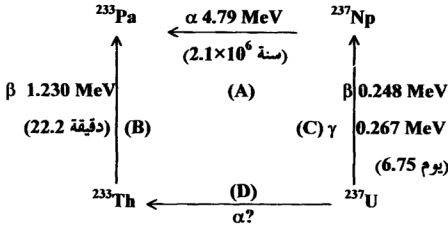
وطاقة γ هي 0.049 MeV وطاقة الارتداد للبنات هي 0.016 eV . وعلى الرغم من ذلك يؤدي التحلل إلى انطلاق ^{80}Br من جزيء بروميد الإيثيل $\text{C}_2\text{H}_5\text{Br}$ المحتوي على $^{80}\text{Br}^m$ ، علماً أن طاقة الرابطة $\text{C}-^{80}\text{Br}^m$ تساوي 2.3eV . وينجم هذا عن التحول الداخلي لجاما الذي ينتج عنه فراغ ومن ثم انطلاق إلكترونات آوجه . وهذا سيؤدي إلى تكون أيونات بروم موجبة تتراوح من Br^+ إلى Br^{17+} . وانطلاق ^{80}Br ناجم عن الطاقة الناتجة عن معادلة هذه الشحنة الموجبة العالية ، وهذه الطاقة كافية لكسر الرابطة $\text{C}-^{80}\text{Br}$.

3-8 طاقة حلقة التحلل المغلقة

Closed Decay Energy Cycles

لم يتمكن العلماء من قياس الكتلة للنظائر المشعة ذات نصف العمر القليل على الرغم من أن طاقة وطريقة التحلل قد تم التعرف عليهما وتحديدهما . وإذا استخدمنا طاقة

حلقة التحلل المغلقة حصلنا على الكتل النووية وقيم Q لطرق تحلل مختلفة وغير معروفة .
 فإذا أردنا معرفة ما إذا كان ^{237}U يتحلل إلى ^{233}Th بواسطة ألفا دون معرفتنا للكتل النووية . قمنا ببناء الحلقة التالية : يتحلل ^{233}U بيتا ($E_{\max} 0.248$ MeV) ومن ثم بجاما ($E_{\gamma} 0.267$ MeV) ، يتحلل ^{233}Th بيتا ($E_{\max} 1.230$ MeV) إلى ^{233}Pa ، يتحلل ^{237}Np بألفا إلى ^{233}Pa بطاقة $E_{\alpha} 4.79$ MeV .



فقيمة Q للفرع D $931.5 (M_{^{237}\text{U}} - M_{\text{He}} - M_{^{233}\text{Th}}) = D$ ، وأما Q للفرع (A) فتساوي $\frac{E_{\alpha} M_Z}{M_{Z-2}} = 4.79 \frac{237}{233} = 931.5 (M_{^{237}\text{Np}} - M_{\text{He}} - M_{^{233}\text{Pa}})$.
 Q . وبالتعويض بقيم M_{He} و $M_{^{237}\text{Np}}$ نحصل على $M_{^{233}\text{Pa}} = 233.040108$.
 وقيمة $M_{^{233}\text{Th}}$ للفرع (B) تساوي

$$M_{^{233}\text{Th}} = M_{^{233}\text{Pa}} + \frac{1.230}{931.5} = 233.041428$$

ومن الفرع (C) نحصل على

$$M_{^{237}\text{U}} = M_{^{237}\text{Np}} + (0.248 + 0.267)/931.5 = 237.048581$$

أي أن جميع المعلومات قد توفرت لحساب الفرع (D) ، وقيمة Q له 4.23 MeV و $E_{\alpha} = 4.23 \times \frac{233}{237} = 4.16 \text{ MeV}$ ، أي أن التحلل ألفا ممكن من ناحية الطاقة ، ولكن لم يتم الكشف عنه بعد وقدر العلماء نصف العمر له بأكثر من 10^6 سنة ، ويعزى هذا إلى سرعة التحلل بيتا ($t_{1/2} = 6.75$ يوم) العالية مما يجعل التحلل بيتا هو المسيطر على التحلل ألفا .

الأسئلة :

- 1) إذا علمت أن ^{239}Pu يطلق دقائق ألفا بطاقة قصوى تساوي 5.152 MeV ، فاحسب طاقة الارتداد للتواتج .
- 2) يتحلل ^{11}C بإطلاق البوزترونات وبطاقة قصوى تساوي 1.0 MeV ، احسب طاقة الارتداد للبت .
- 3) يتحلل ^{16}N إلى ^{16}O بيتا ناقص ، فإذا انطلقت أشعة جاما بعد ذلك ، وكانت أعلى طاقة لها 6.14 MeV ، فاحسب طاقة الارتداد لـ ^{16}O .
- 4) احسب Q لكل من :
 - أ) تحلل ^{14}C إلى ^{14}N بواسطة β^- .
 - ب) تحلل ^{234}Th إلى ^{230}Ra بواسطة α .
 - ج) تحلل ^{95}Rh بواسطة β^+ و E.C .
 - د) تحلل $^{99}\text{Tc}^m$ إلى ^{99}Tc بواسطة γ .
- 5) إذا كانت طاقة الربط للإلكترون K في الباريوم 37441 eV . فاحسب من الشكل (3-1) طاقة التحول الداخلي لـ $^{137}\text{Ba}^m$ (الشكل 5-3) .
- 6) إذا انشطر ^{240}Pu إلى ^{118}Ag حسب المعادلة التالية :

$$^{240}_{94}\text{Pu} \rightarrow 2^{118}_{47}\text{Ag} + 4n$$
 فاحسب Q للانشطار التلقائي .

الفصل الرابع

معادلات تحلل ونمو النشاط الإشعاعي

EQUATIONS OF RADIOACTIVE DECAY AND GROWTH

4-1 مقدمة

وضع العالم أي.فون. شريبلر عام 1905 وصف جديد لعملية التحلل الإشعاعي مبني على احتمالات التحلل . فقال أن احتمالية التحلل (p) للنواة معينة من عنصر مشع في فترة زمنية Δt لا تعتمد على تاريخ العينة ولا على الظروف الحالية ، وتعتمد فقط على طول الفترة الزمنية Δt ، وفي حال قصر الفترة الزمنية فإنها تتناسب طردياً مع Δt . أي أن :

$$P = \lambda \Delta t \quad (4-1)$$

و λ هو ثابت التناسب (ثابت التحلل) ، ولكل نواة مشعة قيمة لـ λ خاصة بها . واحتمالية أن لا تتحلل ذرة معينة خلال الفترة القصيرة Δt يساوي :

$$1-P = 1-\lambda \Delta t \quad (4-2)$$

وإذا لم تتحلل تلك النواة خلال الفترة الأولى فإن احتمالية تحللها في الفترة القادمة تساوي $1-\lambda \Delta t$ وهكذا لفترات قادمة . أما احتمالية أن لا تتحلل تلك النواة خلال عدد n من الفترات فيساوي $(1-\lambda \Delta t)^n$. ويتعويض الزمن الكلي $n \Delta t = t$ في المعادلة $(1-\lambda \Delta t)^n$ حصلنا على احتمالية للبقاء تساوي :

$$\left(1 - \frac{\lambda t}{n}\right)^n \quad (4-3)$$

واحتمالية أن لا تتغير النواة بعد زمن t يساوي قيمة المقدار (4-3) على

شرط أن تكون Δt صغيرة جداً . وهذا يساوي نهاية $\left(1 - \frac{\lambda t}{n}\right)^n$ عندما تؤول n إلى ما لا نهاية . وبالرجوع إلى قيمة e^x والتي تساوي $\lim_{n \rightarrow \infty} \left(1 - \frac{x}{n}\right)^n$ ، فإن

القيمة المحددة تساوي $e^{-\lambda t}$.

وإذا أخذنا بالاعتبار عدد كبير من الذرات N_0 في البداية ، فإن الجزء الباقي بدون تغير بعد زمن t مساوي :

$$\frac{N}{N_0} = e^{-\lambda t} \quad (4-4)$$

حيث أن N هو عدد الذرات الباقي الذي لم يتغير بعد زمن t و N_0 عدد الذرات عند زمن صفر $t = 0$.

وتمثل المعادلة (4-4) قانون التحلل الأسّي الذي يتطابق مع ما وجدته العالم رذرفورد عملياً عند دراسته لنشاط عينة مشعة معزولة ونقية .

ويمكننا أن نشق القانون (4-4) بطريقة أخرى مبنية على علاقة سرعة التحلل $-\frac{dN}{dt}$ الطردية مع عدد الذرات N . وإذا استخلصنا ثابت التناسب λ حصلنا على المعادلة التالية :

$$-\frac{dN}{dt} = \lambda N \quad (4-5)$$

وبتكامل الطرفين حسب الشروط السابقة ($N = N_0$ عند صفر $t = 0$) نحصل على $N = N_0 e^{-\lambda t}$.

ولثابت التحلل λ (ثابت التناسب سابقاً) وحدة معكوس الزمن . ولا يتغير ثابت التحلل لنظير ما مشع مهما تغيرت ظروف التجربة مثل درجة الحرارة والصيغة الكيميائية والضغط والمجال الأرضي والمغناطيسي والكهربائي .

وتعرف فترة نصف العمر $t_{1/2}$ رياضياً كما يلي : عندما تساوي $t = t_{1/2}$ فإن

$$N = \frac{N_0}{2} , \text{ وبالتعويض في المعادلة (4-4) نحصل على :}$$

$$\frac{N_0}{2} = N_0 e^{-\lambda t_{1/2}} \quad (4-6)$$

وباختصار N_0 من الطرفين ثم أخذ اللوغاريتم للطرفين نحصل على :

$$\ln \frac{1}{2} = -\lambda t_{1/2} \quad (4-7)$$

$$\ln 2 = \lambda t_{1/2} \quad (4-7) \text{ أو}$$

وبتعويض قيمة $\ln 2 = 0.693$ في المعادلة (4-7) ، فإن :

$$t_{1/2} = \frac{0.693}{\lambda} \quad (4-8)$$

لا يمكن عملياً تحديد عدد ذرات المادة المشعة N بطريقة مباشرة ، ولا حتى قياس سرعة التحلل المطلقة . وإنما يجري تحديد كمية تتناسب طردياً مع λN وتسمى بالنشاط Activity A ، أي أن :

$$A = C\lambda N = C \left(\frac{-dN}{dt} \right) \quad (4-9)$$

حيث أن C هو ثابت التناسب أو معامل الكشف **Detection coefficient** الذي يعتمد على طبيعة أداة الكشف وعلى فعالية الأداة في الكشف عن الإشعاعات وعلى الترتيب الهندسي للعينة وللكاشف . ولهذا ينصح الدارس على إبقاء هذه العوامل ثابتة خلال القياسات .

يمكننا أن نكتب قانون التحلل الأسّي (معادلة 4-4) بدلالة النشاط الإشعاعي كما يلي :

$$A = A_0 e^{-\lambda t} \quad (4-10)$$

ويستخدم الرسم البياني للعلاقة بين $\log A$ والزمن t في حساب فترة نصف العمر $t_{1/2}$ لبعض النظائر .

4-2 معدل العمر (T) Average Life

يمكن حساب معدل العمر المتوقع لذرات أي عنصر مشع من خلال جمع أعمار كل الذرات وقسمته على عدد الذرات الأصلي . فإذا كان عدد الذرات N كبير جداً فإن معدل العمر ميساوي التكامل التالي :

$$\begin{aligned}
T &= -\frac{1}{N_0} \int_0^{\infty} t dN = \frac{1}{N_0} \int_0^{\infty} t \lambda N dt \\
&= \lambda \int_0^{\infty} t \frac{N}{N_0} dt = \lambda \int_0^{\infty} t e^{-\lambda t} dt \\
&= -\left[\frac{\lambda t + 1}{\lambda} e^{-\lambda t} \right]_0^{\infty} = \frac{1}{\lambda}
\end{aligned} \tag{4-11}$$

أي أن معدل العمر أكبر من نصف العمر بمقدار $\frac{1}{0.693}$. كما أن النشاط الإشعاعي ينقص خلال فترة معدل العمر إلى $\frac{1}{e}$ من قيمته الأصلية . فمعدل العمر

$$T_{1/2} = \frac{1}{\lambda} = \frac{1}{0.693} = \frac{1}{0.693} = 8268.4 \text{ سنة} \quad \text{لـ } ^{14}\text{C} \text{ هو :}$$

$\frac{t_{1/2}}{5730 \text{ سنة}}$

4-3 تحليل المخاليط المشعة

Decay of Radioactive Mixtures

تعرف المخاليط المشعة على أنها مخلوط من مادتين أو أكثر مشعة ومستقلة في التحلل الإشعاعي عن بعضها البعض .

فلو افترضنا أن المخلوط مكون من مادتين 1 و 2 . فإن النشاط الإشعاعي الكلي A مساوي لمجموع النشاط الإشعاعي لكل من 1 و 2 كما يلي :

$$A = A_1 + A_2 \tag{4-12}$$

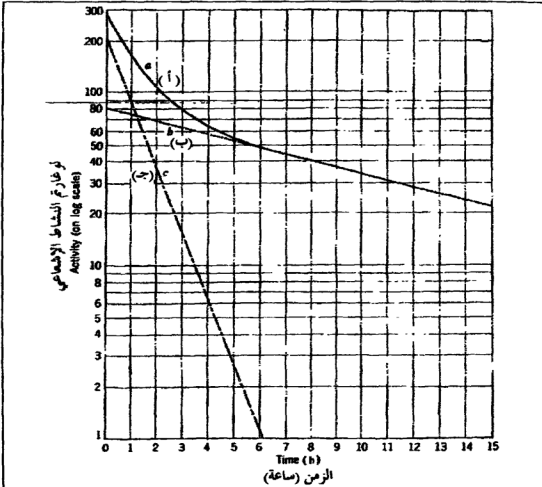
أي أن :

$$A = C_1 \lambda_1 N_1 + C_2 \lambda_2 N_2 \tag{4-13}$$

حيث أن C_1 و C_2 هما معاملتي الكشف لـ 1 و 2 ، وليس من الضروري أن تكون $C_2 = C_1$ ، وفي أغلب الأحيان هناك فرق كبير . وبشكل عام فإن النشاط الإشعاعي الكلي لعينة مخلوط مكونة من n مادة مشعة هو :

$$A = A_1 + A_2 + A_3 + A_4 + \dots + A_n \quad (4-14)$$

فإذا أخذنا المخلوط الأول (معادلة 12 و 4-13) ورسمنا $\log A$ (لوغارتم النشاط الإشعاعي الكلي) ضد الزمن t حصلنا على منحنى محدب (الشكل 4-1). ويتبع الانحناء عن التحلل السريع للنظير ذا نصف العمر القصير ، مما يقلل من أهميته مع مرور الزمن ويزيد من أهمية النظير ذا نصف العمر الطويل. ولهذا يظهر الجزء الأخير من المنحنى وكأنه خط مستقيم.



شكل 4-1 : تحليل منحنى التحلل لمخلوط

(أ) منحنى تحلل المخلوط (ب) النظير ذا العمر الطويل (8 ساعة $t_{1/2}$)
(ج) النظير ذا العمر القصير (0.8 ساعة $t_{1/2}$)

وتحسب $t_{1/2}$ مباشرة من ميل هذا الخط والعلاقة (4-8) .
ويمكن حساب $\log A$ من تقاطع امتداد الخط المستقيم مع محور ص عند صفر $t = 0$. ومن معرفتنا لقيمة $\log \frac{A_{\text{طول}}}{2}$ نحسب $t_{1/2}$ لذلك النظر بطريقة أخرى . وإذا تم طرح امتداد الخط المستقيم من المنحنى حصلنا على تحليل جميع المكونات ما عدا النظر ذا العمر الطويل . وفي حال وجود مكون آخر فقط فإنه يمكن الحصول على خط مستقيم يمثل تحليل النظر ذا العمر القصير ، وذلك برسم لوغاريتم (حاصل الطرح) ضد الزمن كما هو مبين في الشكل (4-1) . ومن الصعب تحليل المنحنى إلى مكوناته إذا كان الفرق في نصف العمر لا يقل عن الضعف ، ويبين الشكل (4-1) منحنى مكون من نظيرين والفرق بينهم عشرة أضعاف .

اقترح العلماء الطريقة الرياضية التالية لتحليل منحنى مكون من نظيرين لهما أنصاف أعمار معروفة ولكن قريبة من بعضها البعض .

النشاط الإشعاعي الكلي عند زمن t يساوي

$$A = A_1^0 e^{-\lambda_1 t} + A_2^0 e^{-\lambda_2 t} \quad (4-15)$$

وإذا ضربنا طرفي المعادلة بـ $e^{\lambda_1 t}$ حصلنا على

$$A e^{\lambda_1 t} = A_1^0 + A_2^0 e^{(\lambda_1 - \lambda_2)t} \quad (4-16)$$

وبما أن λ_1 و λ_2 معروفتان وقيم A مقاسة مع الزمن ، نستطيع أن نرسم $A e^{\lambda_1 t}$ ضد $e^{(\lambda_1 - \lambda_2)t}$ فنحصل على خط مستقيم بميل يساوي A_2^0 وتقاطع يساوي A_1^0 .

4-4 نمو النواتج المشعة

Growth of Radioactive Products

4-4-1 المعادلة العامة :

لندرس الحالة العامة لتحلل مادة مشعة (1) والتي تعطي بنت مشعة (2) .

فالمعادلات التي تحكم N_1 هي :

$$-\frac{dN_1}{dt} = \lambda_1 N_1 \quad \text{و} \quad N_1 = N_1^0 e^{-\lambda_1 t}$$

أما البنت المشعة فإنها تتحلل بسرعة $\lambda_2 N_2$ وتنمو بسرعة $\lambda_1 N_1$ ، أي أن

معدل التغير في N_2 مع الزمن هو :

$$\frac{dN_2}{dt} = \lambda_1 N_1 - \lambda_2 N_2 \quad (4-17)$$

$$\frac{dN_2}{dt} + \lambda_2 N_2 - \lambda_1 N_1^0 e^{-\lambda_1 t} = \text{صفر} \quad \text{أو}$$

وحل هذه المعادلة هو :

$$N_2 = \frac{\lambda_1}{\lambda_2 - \lambda_1} N_1^0 (e^{-\lambda_1 t} - e^{-\lambda_2 t}) + N_2^0 e^{-\lambda_2 t} \quad (4-18)$$

حيث أن N_2^0 هي قيمة N_2 عند صفر t . ويبين المقدار الأول العلاقة بين نمو

البنت من الأب والتحلل الإشعاعي الخاص فيها وأما المقدار الثاني فهو تحلل ذرات البنت الموجودة أصلاً ، وعندما تكون عينة الأب نقية كيميائياً فإن N_2^0 متساوي صفرأ .

4-4-2 الاتزان العابر Transient Equilibrium

إذا كان نصف عمر الأب أكبر من نصف عمر البنت ($t_{1/2}(1) < t_{1/2}(2)$ أو

$\lambda_1 < \lambda_2$) وجدت حالة من الاتزان في التحلل الإشعاعي ، حيث تثبت النسبة بين

عدد الذرات أو سرعة التحلل الأب إلى البنت بعد مرور زمن معين . وتُوضح

هذه الحالة من خلال المعادلة (4-18) كما يلي : فعندما يصل الزمن t إلى قيمة كبيرة فإن $e^{-\lambda_1 t}$ تصبح عدية القيمة بالمقارنة مع $e^{-\lambda_2 t}$ فنأخذ المعادلة (4-18) صيغة جديدة هي (4-19) .

$$N_2 = \frac{\lambda_1}{\lambda_2 - \lambda_1} N_1^0 e^{-\lambda_1 t} \quad (4-19)$$

وبالتعويض في مكان $N_1^0 e^{-\lambda_1 t}$ بـ N_1 نحصل على :

$$N_2 = \frac{\lambda_1}{\lambda_2 - \lambda_1} N_1 \quad (4-20)$$

وبدلالة النشاط الإشعاعي نحصل على

$$\frac{A_1}{A_2} = \frac{C_1(\lambda_2 - \lambda_1)}{C_2 \lambda_2} \quad (4-21)$$

حيث أن $A_1 = C_1 \lambda_1 N_1$ و $A_2 = C_2 \lambda_2 N_2$.

وفي حال أن $C_2 = C_1$ فإن :

$$\frac{A_1}{A_2} = \frac{\lambda_2 - \lambda_1}{\lambda_2} = 1 - \frac{\lambda_1}{\lambda_2} \quad (4-22)$$

وتأخذ النسبة $\frac{A_1}{A_2}$ قيم من $0 \leftarrow 1$ بالاعتماد على نسبة $\frac{\lambda_1}{\lambda_2}$.

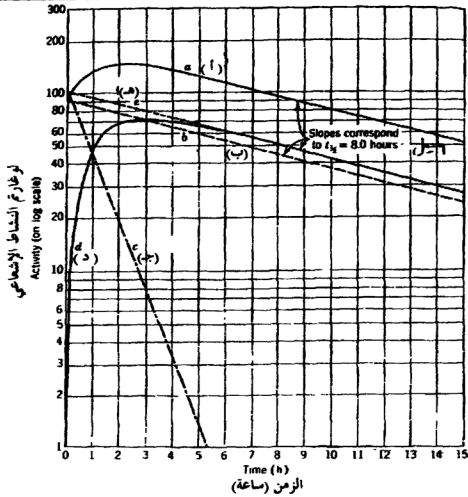
ففي الاتزان يرتبط تحلل الأب والبنات الإشعاعي بنصف عمر الأب . ويبين

الشكل (4-2) الاتزان العابر ، ونلاحظ من الشكل (4-2) كيف أن مجموع سرعتي

التحلل للأب والبنات الناجمة عن عينة من الأب نقية كيميائياً تزداد إلى أقصى قيمة لها

قبل أن تصل إلى الاتزان العابر . وشرط القيمة القصوى هو أن تكون $\frac{\lambda_1}{\lambda_2} < \frac{C_2}{C_1}$

بغض النظر عن قيم λ_1 و λ_2 .



شكل 2-4 : الاثران العابر

أ) النشاط الكلي لعينة من الأب نقية كيميائياً عند الزمن = صفر .

ب) النشاط للأب فقط ($t_{1/2} = 8$ ساعة) .

ج) التحلل الإشعاعي لعينة البنت المعزولة والنقية ($t_{1/2} = 0.80$ ساعة) .

د) غو النشاط الإشعاعي للبنت من أب نقي .

هـ) النشاط الإشعاعي الكلي للبنت في العينة التي تحتوي على الأب والبنت .

3-4-4 الاتزان القرني Secular Equilibrium

تحدث هذه الحالة المحددة من الاتزان عندما تكون $\lambda_1 \ll \lambda_2$ أو $t_{1/2}(1) \gg t_{1/2}(2)$. فلا ينقص النشاط الإشعاعي للأب خلال فترة نصف العمر أو فترات نصف العمر للبنت .

وإذا استخدمنا المعادلة (20-4) وطبقنا عليها الشرط $\lambda_1 \ll \lambda_2$ ، فإن

$$\lambda_2 \approx \lambda_1 \quad \text{أي أن :}$$

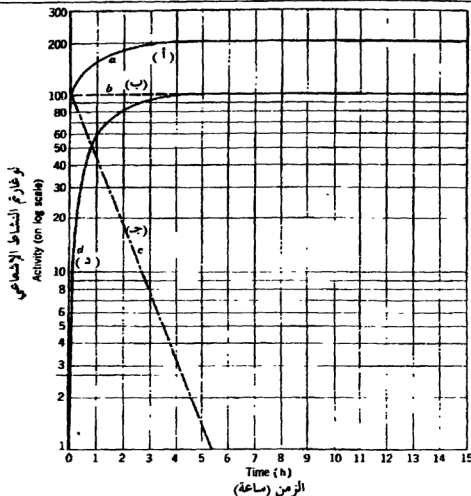
$$\frac{N_1}{N_2} = \frac{\lambda_2}{\lambda_1} \quad (4-23)$$

$$N_1 \lambda_1 = N_2 \lambda_2 \quad \text{أو (4-23)}$$

وبالتعويض بدلالة النشاط الإشعاعي نحصل على :

$$\frac{A_1}{A_2} = \frac{C_1}{C_2} \quad (4-24)$$

وإذا كانت $C_2 = C_1$ فإن $A_1 = A_2$ وبين الشكل (3-4) الاتزان القرني ، ونلاحظ من الشكل كيف أن النشاط الإشعاعي للأب ثابت لا يتغير ضمن الزمن الذي يساوي مضاعفات لفترة نصف عمر البنت . ويتبع مجموع النشاط الإشعاعي للأب والبنت نفس تصرف الأب . وكلما أصبحت λ_1 أصغر من λ_2 اقترب الاتزان العابر من الاتزان القرني .



شكل 3-4 : الاتزان القرني

- أ) النشاط الكلي لعينة من الأب نقية كيميائياً عند الزمن = صفر .
- ب) النشاط للأب فقط ($t_{1/2} = \infty$) ، وهذا يساوي النشاط الكلي للبنت في العينة التي تحتوي على الأب والبنت .
- ج) التحلل الإشعاعي لعينة البنت المعزولة والنقية ($t_{1/2} = 0.80$ ساعة) .
- د) غو النشاط الإشعاعي للبنت من أب نقي .

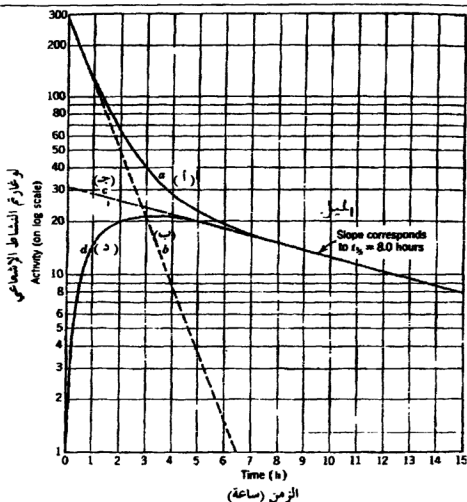
4-4-4 حالة عدم الاتزان Case of No Equilibrium

إذا كانت فترة نصف العمر للأب أصغر بكثير من تلك للبنت ، فإننا لن نصل إلى اتزان عند أي زمن . وإذا تتبعنا عينة من الأب نقيية كيميائياً ، لاحظنا غر البنت بسرعة نتيجة لتحلل الأب السريع وبعد أن تصل كمية البنت إلى أقصى قيمة لها تبدأ بالتحلل من خلال فترة نصف العمر الخاصة بها . ويبين الشكل (4-4) هذه الحالة ($\frac{\lambda_1}{\lambda_2} = 10$ و $C_2 = C_1$) . يلاحظ من الشكل أن تحلل البنت الأسّي الأخير مرتبط بنصف عمر البنت وهو خط مستقيم امتداده إلى صفر t يساوي $C_2 \lambda_2 N_1^0$ إذا كانت $\lambda_1 \ll \lambda_2$. وتساوي N_1^0 امتداد لقيمة N_2 عند صفر t . فالنسبة بين النشاط الأولي $C_1 \lambda_1 N_1^0$ و $C_2 \lambda_2 N_1^0$ تساوي :

$$\frac{C_1 \lambda_1 N_1^0}{C_2 \lambda_2 N_1^0} = \frac{C_1}{C_2} \frac{\lambda_1}{\lambda_2} = \frac{C_1 t_{1/2}(2)}{C_2 t_{1/2}(1)} \quad (4-25)$$

وفي حال أن λ_2 ليست عدیة القيمة بالمقارنة مع λ_1 استبدلنا $\frac{\lambda_1}{\lambda_2}$ بالنسبة

$$\frac{(\lambda_1 - \lambda_2)}{\lambda_2} \text{ مما سیؤثر على المقدار الذي یثّل علاقة أنصاف العمر مع بعضها البعض لیساوي } \frac{t_{1/2}(2) - t_{1/2}(1)}{t_{1/2}(1)}$$



شكل 4-4 : حالة عدم الاتزان

أ) النشاط الكلي .

ب) النشاط للأب فقط ($t_{1/2} = 0.80$ ساعة) .

ج) امتداد منحنى التحلل الأخير (النهائي) إلى الزمن صفر .

د) النشاط للبنات في عينة الأب النقية كيميائياً عند الزمن صفر .

يمكن دراسة الاتزان العابر وحالة عدم الاتزان من خلال t_{max} ، وهي الفترة الزمنية اللازمة لوصول البنت إلى أعلى قيمة نشاط لها وذلك من نحوها من عينة أب نقية كيميائياً . وللحصول على t_m نفاضل المعادلة (4-18) بالنسبة للزمن كما يلي:

$$\frac{dN_2}{dt} = -\frac{\lambda_1^2}{\lambda_2 - \lambda_1} N_1^0 e^{-\lambda_1 t} + \frac{\lambda_1 \lambda_2}{\lambda_2 - \lambda_1} N_1^0 e^{-\lambda_1 t} \quad (4-26)$$

وبالتعويض بـ t_{max} في مكان t عندما $\frac{dN_2}{dt} = 0$ نحصل على :

$$\frac{\lambda_2}{\lambda_1} = e^{(\lambda_2 - \lambda_1)t_{max}} \quad (4-47)$$

$$t_{max} = \frac{1}{\lambda_2 - \lambda_1} \ln \frac{\lambda_2}{\lambda_1} \quad \text{أو}$$

أي أن سرعة تحلل البنت $\lambda_2 N_2$ تساوي سرعة نحوها عند t_{max} (شكل 4-2 و 4-4) ، وأما في حالة الاتزان القرني فإن t_m تساوي مالا نهاية .

4-5 التحللات المتتالية Successive Decays

إذا أخذنا بعين الاعتبار سلسلة من ثلاث أو أكثر من النواتج المشعة ، وجب علينا إيجاد معادلة لـ N_3 تختلف عن معادلة (4-4) لـ N_1 ومعادلة (4-18) لـ N_2 ، وهذه المعادلة تأتي من حل المعادلة التفاضلية التالية :

$$\frac{dN_3}{dt} = \lambda_2 N_2 - \lambda_3 N_3 \quad (4-28)$$

وقد قام العالم هـ. باتمن بحل هذه المعادلة بحيث تشمل n من أعضاء السلسلة. وافترض

أن قيمة صفر $N_n^0 = N_{n-1}^0 = N_{n-2}^0 = \dots = N_2^0 = N_1^0$ عند $t = 0$. وحصل على الحل التالي :

$$N_n = C_1 e^{-\lambda_1 t} + C_2 e^{-\lambda_2 t} + \dots + C_n e^{-\lambda_n t} \quad (4-29)$$

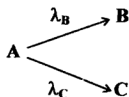
$$C_1 = \frac{\lambda_1 \lambda_2 \dots \lambda_{n-1}}{(\lambda_2 - \lambda_1)(\lambda_3 - \lambda_1) \dots (\lambda_n - \lambda_1)} N_1^0 \quad \text{حيث أن}$$

$$C_2 = \frac{\lambda_1 \lambda_2 \dots \lambda_{n-1}}{(\lambda_1 - \lambda_2)(\lambda_3 - \lambda_2) \dots (\lambda_n - \lambda_2)} N_1^0 \quad \text{و}$$

وهكذا .

4-6 التحلل المتفرع Branching Decay

وهي إمكانية تحلل النظير المشع بأكثر من طريقة .



λ_B و λ_C هما ثابتا التحلل الجزئيين لكل من B و C .

ويتكون B بالسرعة التالية :

$$\frac{dN_B}{dt} = \lambda_B N_A \quad (4-30)$$

أما A فيستهلك أو يتحلل بالسرعة التالية :

$$\frac{dN_A}{dt} = -(\lambda_B + \lambda_C) N_A \quad (4-31)$$

$$\frac{0.693}{\lambda_t} = t_{1/2}(A) \quad \text{وللنواة A فترة نصف عمر خاصة بها}$$

وتساوي $\lambda_t = \lambda_B + \lambda_C + \dots$ ، أي أن نصف العمر مرتبط
 بسرعة التحلل الكلية بغض النظر عن ميكانيكية التحلل . وبحسب ثابت التحلل
 الجزئي بضرب ثابت التحلل الكلي في نسبة ذلك التحلل ، فعلى سبيل المثال يتحلل

^{64}Cu باقتناص الإلكترون E.C ونسبته 43٪ ويطلق الإلكترون السالب ونسبته 38٪ ويطلق الإلكترون الموجب ونسبته 19٪ ، فإذا كان نصف العمر لـ ^{64}Cu 12.8 ساعة ، فإن ثابت التحلل الكلي $\lambda_T = 0.0541 \text{ ساعة}^{-1}$. وثابت التحلل الجزئية تساوي :

$$\lambda_{E.C} = 0.43 \times 0.0541 = 0.0233 \text{ ساعة}^{-1}$$

$$\lambda_{\beta^-} = 0.38 \times 0.0541 = 0.0206 \text{ ساعة}^{-1}$$

$$\lambda_{\beta^+} = 0.19 \times 0.0541 = 0.0103 \text{ ساعة}^{-1}$$

ومن قيم الثوابت الجزئية نحصل على قيم نصف العمر الجزئية التالية :

$$t_{1/2}(E.C) = 29.7 \text{ ساعة}$$

$$t_{1/2}(\beta^-) = 33.6 \text{ ساعة}$$

$$t_{1/2}(\beta^+) = 67.5 \text{ ساعة}$$

4-7 وحدات النشاط الإشعاعي

Units of Radioactivity

تعرف كمية الإشعاعات المنطلقة من قبل أي مادة مشعة بنشاط تلك العينة A ، وهذا يساوي عدد حالات التحلل النووي أو التغيرات النووية في الثانية الواحدة في العينة التي تخضع للدرس . وتعرف وحدة النشاط (بيكورييل ، بك) بأنها تحلل نووي في الثانية (حسب نظام الوحدات العالمي) .

$$1 \text{ بك (Bq)} = 1 \text{ تحلل/ثانية} .$$

أما الكوري (Ci) فيعرف بأنه عدد التحللات النووية في الثانية الناتجة عن غرام واحد من الراديوم . وقد وجد أنه يحدث في الغرام الواحد من الراديوم

3.7×10^{10} تحلل/ثانية ، أي أن الكوري = 3.7×10^{10} بك (Bq) .

فإذا أعطت أي كمية من عنصر مشع 3.7×10^{10} تحلل/ثانية ، قيل أن نشاط هذه العينة يساوي كوري واحد ويستخدم العلماء المليكوري (mci) والميكروكوري (μci) في القياس أيضاً .

وهناك طريقة أخرى لقياس النشاط ، وهي ما يعرف بالنشاط النوعي ، وهو يساوي عدد التحللات في الثانية الواحدة لكل غرام من العينة ، ووحدته بك/غم ($Bq/gram$) . وتسمى كمية الإشعاعات المتصصة من قبل جسم ما في مسار الإشعاع بالجرعة المتصصة أو الجرعة Dose . وفي نظام الوحدات العالمي تعرف على أساس كمية الطاقة بالجول التي تمتص من قبل كل كغم من المادة ، ويرمز لها بالرمز Gy من Gray . وإذا امتص 1غم من المادة 100 إرج من الطاقة سميت الوحدة بالراد Rad .

Gy واحد = 1جول/كغم = 100 راد .

ولا تميز وحدة Gy بين تأثيرات الأنواع المختلفة من الإشعاعات في ما يخص تلف الأنسجة الحيوانية .

فإشعاعات ألفا وبيتا وغاما لها درجات امتصاص مختلفة من قبل الأنسجة ، ولهذا فإنها تخترق جسم الإنسان إلى أعماق مختلفة .

والوحدة التي تأخذ بعين الاعتبار نوع الإشعاع المتصص من قبل الأنسجة الحيوانية هي وحدة الريم (rem) ، وللحصول على الجرعة المتصصة بوحدة الريم تضرب الجرعة المتصصة بالراد بمعامل خاص يعتمد على نوع الإشعاع المتصص .

الأسئلة :

- 1- لدى مستشفى ما 1.5 كوري من ^{226}Ra على شكل RaBr_2 المذاب في الماء ، فإذا كانوا يفصلون غاز ^{222}Rn كل 48 ساعة ، فاحسب ما يلي :
 - أ (نشاط ^{222}Rn في تلك اللحظة (بعد 48 ساعة) .
 - ب) حجم غاز ^{222}Rn في الظروف المعيارية بعد 48 ساعة .
- 2- احسب :
 - أ (كتلة 1 كوري من ^{222}Rn .
 - ب) كتلة 1 كوري من ^{32}P .
 - ج) سرعة التحلل لـ 1 سم³ من غاز ^3H في الظروف المعيارية .
- 3- قام أحد العلماء بقياس النشاط الإشعاعي لعينة ما على فترات زمنية

فحصل على ما يلي :

| النشاط (تحلل/دقيقة) | الزمن (ساعة) |
|---------------------|--------------|
| 11100 | 0.3 |
| 5870 | 5 |
| 3240 | 10 |
| 2005 | 15 |
| 1440 | 20 |
| 1015 | 30 |
| 888 | 40 |
| 826 | 50 |
| 625 | 100 |

احسب نصف العمر لكل من المكونين ثم النشاط الإشعاعي لكل منهما عند الزمن صفر ، علماً بأن الإشعاع الخلفي هو 100376 تحلل في 1000 دقيقة وأن فعالية الكشف 17٪ .

4- وجد أن نشاط α الإشعاعي لمخلوط من نظائر الأمستاتين At عند فترات

زمنية هو :

| النشاط (تحلل/دقيقة) | الزمن (دقيقة) |
|---------------------|---------------|
| 756 | 12 |
| 725 | 17.2 |
| 638 | 23.1 |
| 600 | 30.0 |
| 545 | 37.7 |
| 494 | 47.5 |
| 435 | 59.5 |
| 380 | 73 |
| 341 | 87 |
| 288 | 102 |
| 256 | 121 |
| 215.5 | 140 |
| 178.5 | 161 |
| 150.7 | 184 |
| 127.3 | 211 |
| 101.9 | 243 |

84.9

276

68.2

308

55.0

340

احسب فترة نصف العمر لكل من النظائر ونشاطها الإشعاعي عند الزمن صفر .

6- إذا افترضنا أن كمية ^{238}U تساوي كمية ^{235}U عند بداية الخلق ، وأن

نسبة ^{238}U إلى ^{235}U هي 1:138 في وقتنا الحاضر . احسب العمر الزمني للخلق .

7- إذا كان النشاط النوعي للبتواسيوم 1850 تحلل في الدقيقة/غم K وأن

للبتواسيوم نظير واحد مشع هو ^{40}K وأن نسبته في الطبيعة هي 0.0119 % ،

احسب نصف عمر ^{40}K .

8- عينة من ^{239}Pu النقي كتلتها 0.10 ملغرام ونشاطها 1.38×10^7 تحلل في

الدقيقة ، احسب نصف عمر ^{239}Pu . وإذا علمت أن ^{239}Pu يتكون من تحلل

^{239}Np ، فما هو عدد الكوري من ^{239}Np اللازمة لإنتاج 0.100 ملغرام ^{239}Pu .

9- تم تحضير 1.00×10^{-10} غرام من ^{210}Bi ، فإذا تركت هذه العينة بعد ذلك

لمدة من الزمن بحيث وصلت كمية البنت ^{210}Po إلى أقصى كمية لها فاحسب ما يلي :

أ) t_{\max} .

ب) نشاط ألفا الإشعاعي لـ ^{210}Po عند t_{\max} .

ج) نشاط بيتا الإشعاعي لـ ^{210}Bi عند t_{\max} .

د) كتلة ^{210}Po وكميته بالكوري عند t_{\max} .

10- تم قياس النشاط الإشعاعي لعينة نصف عمرها 7.5 دقيقة ما بين 10:03 و

10:13 فوجد أنه يساوي 34650 في العشر دقائق ، ما هو نشاط العينة بوحدة

تحلل/دقيقة في الساعة 10:00 ؟ .

الفصل الخامس

تفاعلات الإشعاعات مع المادة

INTERACTION OF RADIATIONS WITH MATTER

5-1 مقدمة

وجد العلماء أن الطريقة الوحيدة للكشف عن الإشعاعات النووية هي من خلال تفاعلها مع المادة . وأنه لمن الصعب الكشف عن الإشعاع إذا كان تفاعله مع المادة قليلاً كالنيوترونات على سبيل المثال . ومن أجل أن نفهم طرق وأجهزة الكشف والقياس والتشخيص للإشعاعات النووية علينا أن ندرس تفاعل هذه الإشعاعات مع المادة .

ويساهم تباطؤ الإشعاع وامتصاصه في المادة في التقليل من طاقة الدقائق العالية وفي الكشف عن إشعاع معين من ضمن عدة إشعاعات لكل منهم خواص امتصاص خاصة به وفي استخدام الإشعاعات في الطب النووي .

اعتمد العلماء حتى عام 1950 على دراسة امتصاص الإشعاعات المنطلقة من مصادرها في تحديد طاقتها . وبعد ذلك استخدم الانحراف في المجال الكهربائي والمغناطيسي في تحديد الطاقة . تؤدي تفاعلات الإشعاعات جميعها مع المادة في نهاية الأمر إلى نفس النتيجة . وتضم المرحلة الأولى من التفاعل مع المادة ما يلي :

أ) تهيج الذرات والجزيئات .

ب) تأين الذرات والجزيئات .

ويعتمد هذا التأثير على نوع الإشعاع ، إن كان دقائق مشحونة أو إشعاعات كهرومغناطيسية أو نيوترونات . وتضم الدقائق المشحونة الإلكترونات والأيونات الموجبة الخفيفة ولكل منهما تفاعل خاص فيه وذلك بسبب الفرق الكبير في الكتلة بينهما . وسندرس كل منهما على حده .

5-2 الأيونات الموجبة Positive Ions

5-2-1 طرق فقدان الطاقة

Processes Responsible for Energy Loss

تخسر الأيونات الموجبة طاقتها بصفة رئيسية من تفاعلها مع الإلكترونات .
ويؤدي هذا التفاعل إلى فصل الجزيئات أو إلى تهيجها أو إلى تأين الذرات والجزيئات .
ونظراً لسهولة قياس التأين استخدم في عملية الكشف عن الأيونات الموجبة . وبما أن
دقائق ألفا متوفرة من المصادر المشعة ركز العلماء في دراساتهم عليها .

يمكن لعدد من دقائق ألفا لهم طاقة ابتدائية معروفة أن يفقدوا كل الطاقة في
حجرة التأين وذلك لأن دقائق ألفا تحترق المادة لمسافة قصيرة نسبياً فتتقصر طاقتها إلى
طاقة حرارية . ولهذا يمكن قياس التأين الكلي الناجم عن دقيقة ألفا . ولقد دلت
التجارب على أن معدل الطاقة المستهلكة في تكوين زوج من الأيونات في الهواء يساوي
35 eV ، بينما الطاقة التي نحتاجها لتكوين زوج من الأيونات في الغازات الأخرى
تتراوح من 21.9 eV في الزينون إلى 43 eV في الهيليوم . ويعكس هذا المدى الزيادة في
طاقة التأين الأولى من 12.1 eV للزينون إلى 25.4 eV للهيليوم . وفي كل من الغازين
يتساوى ذلك الجزء من الطاقة الكلية المستخدم في التأين . وتقلل درجات التحرر
Degrees of freedom الموجودة في الجزيئات الغازية المكونة من ذرتين أو أكثر كمية
الطاقة المستهلكة في التأين ، فعلى سبيل المثال نحتاج إلى 39 eV لتكوين زوج الأيونات
في غاز الأمونيا NH_3 ، علماً بأن طاقة التأين الأولى له 10.8 eV . ونحتاج إلى طاقة أقل
مما ذكر لتكوين زوج الأيونات في أشباه الموصلات كالجرمانيوم الذي نحتاج له 2.9
eV ، علماً بأن الطاقة اللازمة لرفع إلكترون إلى حزمة التوصيل تساوي 1 eV .
وتستخدم أشباه الموصلات في أجهزة الكشف عن الإشعاعات .

لا تعتمد الطاقة المستهلكة في تكوين زوج الأيونات على طاقة وطبيعة الإشعاع ، وقد ثبت هذا بالتجربة عند استخدام دقائق ألفا بطاقة تساوي عدة ملايين إلكترون فولت ، وبروتونات بطاقة 340 MeV ودقائق بيتا . ومن الطرق المستخدمة في قياس طاقة دقيقة مشحونة قياس عدد الأيونات الكلي كهربائياً الناتجة عن إيقافها في حجرة التأين المملوءة بالغاز أو في شبه موصل .

ينهب جزء كبير من طاقة الأيون الموجب على شكل طاقة حركية للإلكترونات المنطلقة من تأين الذرات أو الجزيئات نتيجة اصطدامها مع الأيون الموجب . وبالرجوع إلى قانون حفظ الزخم فإن أقصى سرعة للإلكترون المنطلق من اصطدام أيون موجب سرعته v مع المادة هي $2v$. فعلى سبيل المثال إذا اصطدمت دقيقة α بطاقة 6 MeV نجم عن ذلك إلكترون بطاقة قصوى تساوي 3 KeV . وإن معدل الطاقة المنقولة من الأيونات الموجبة للإلكترونات عند مرورها بالمادة يساوي $100-200 \text{ eV}$. وتسمى الإلكترونات المنطلقة من التأين بالإلكترونات الثانوية أو أشعة δ دلنا ، ولديها طاقة كافية لتأين ذرات أخرى . وفي الحقيقة هناك $60-80\%$ من التأين الناجم من الأيونات الموجبة سببه التأين الثانوي **Secondary Ionization** وأن النسبة بين التأين الرئيسي إلى الثانوي غير معروفة بدقة .

إذا قلت سرعة الأيون إلى حد أصبحت منه قريبة من سرعة إلكترونات التكافؤ التابعة للذرات مادة التوقف بدعت ظاهرة جديدة تسمى بالتصادمات المرنة **Elastic Collisions** فيصطدم الأيون مع ذرات المادة بدل من أن يهيج إلكتروناتها . وتؤدي هذه التصادمات إلى ما يسمى بالإيقاف النووي **Nuclear Stopping** والذي يقارن بالإيقاف الإلكتروني **Electronic Stopping** السابق الذكر والذي يحدث على سرعات عالية . وإذا انخفضت سرعة الأيون وأصبحت قريبة من سرعة إلكتروناته الموجودة في مستوى الطاقة الرئيسي **K** بدأ هذا الأيون في القاط الإلكترونات من ذرات مادة التوقف فقل

شحنته من Z إلى $Z-1$. وفي الغالب فإن الأيونات المارة عبر المادة تفقد إلكترونات الأفلاك التي لها سرعة في الفلك أقل من سرعة الأيون نفسه أي تتحرى .

ويمكن القول أن هناك ثلاث طرق يخسر فيها الأيون طاقته هي :

أ - إذا كانت سرعة الأيون عالية جداً فإنه يفقد جميع إلكتروناته ويخسر طاقته عبر التهييج الإلكتروني والتأين لمادة الإيقاف .

ب- وإذا بلغت سرعته سرعة الإلكترونات الموجودة في مستوى طاقته الرئيسي K بدأ الأيون بالتقاط الإلكترونات من مادة الإيقاف . ويستمر في خسارة طاقته إلكترونياً في الغالب .

ج- وإذا وصلت سرعته من سرعة إلكترونات التكافؤ التابعة لذرات مادة الإيقاف بدأ يخسر طاقته من خلال التصادمات المرنة مع ذرات مادة الإيقاف بغض النظر إذا كان لا يزال يحتفظ بشحنة عليه أم لا .

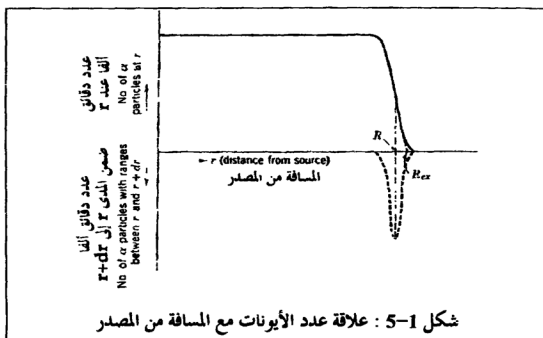
ويمكن القول أن ليس هناك تدرج واضح ما بين ب و ج . وإن هناك اصطدامات مرنة وغير مرنة يقوم بها الأيون في منطقة ما من الطاقة .

2-2-5 المدى Range

إذا قارنا كتلة الأيون الموجب مع كتلة الإلكترون وجدنا أن كتلته أضعافاً مضاعفة لكتلة الإلكترون . ولهذا فإن مسافة اختراق الأيونات الموجبة التي لها نفس النوع والطاقة الابتدائية متساوية في المادة تقريباً ، علماً بأن الأيون الموجب يصل إلى حالة السكون في نهاية المسافة . وتسمى هذه المسافة بالمدى ، ويعتمد المدى على نوع و طاقة الأيون . ويظهر تأثير الكتلة الكبيرة الحاسم في ما يلي :

(1) صغر كمية الطاقة المفقودة في كل اصطدام (أقصى طاقة مفقودة تساوي

من الطاقة الابتدائية ، حيث m كتلة الإلكترون و M كتلة الأيون الموجب).
 فلهذا سيتعرض الأيون الموجب إلى عدد كبير جداً من الاصطدامات قبل أن يصل
 إلى السكون ، أي أن التذبذب في معدل الطاقة المفقودة في كل اصطدام قليل جداً.
 (2) انحراف الأيون الموجب عن مساره بعد كل اصطدام قليل جداً ، ولهذا
 فإن طول المسار الفعلي قريب جداً من مسار إسقاطه الأولي .
 ونظراً للتذبذب في معدل الطاقة المفقودة ومسار الإسقاط ظهر ما يسمى
 بتفاوت المدى أو التفاوت Straggling علماً بأن نسبته قليلة .

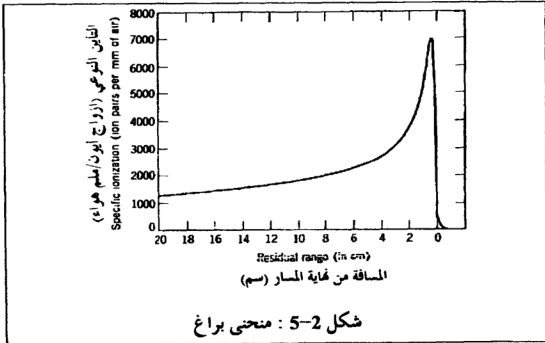


تحدد طرق الامتصاص مدى الأيونات الموجبة ، وذلك إما من خلال ماص صلب
 أو غاز تحت ضغوط مختلفة . ويمثل الشكل (5-1) منحنى امتصاص محوره ص عبارة عن
 عدد الأيونات الموجودة في الغاز على مسافة r من المصدر وأما محوره س فهو المسافة r من
 المصدر المطلق للأيونات الموجبة ذات الطاقة الواحدة . ويتجم الجزء المنقط في الشكل
 (5-1) عن تفاضل الجزء المكمل للمنحنى ويمثل هذا تفاوت المدى أو التفاوت .

ومتوسط المدى R_m (mean range) للأيونات هو المسافة r إلى قمة منحنى التفاضل وأما المسافة r والتي نحصل عليها من امتداد الجزء المستقيم من المنحنى المكمل وتقاطعه مع محور س فتسمى بالمدى الممتد R_{ex} extrapolated range ويستخدم متوسط المدى في جداول المدى وفي العلاقات ما بين المدى والطاقة . ودرس العلماء العلاقة ما بين المدى الممتد ومتوسط المدى ، فهي تساوي 1.1٪ لدقائق ألفا ذات الطاقة العادية .

5-2-3 قدرة الإيقاف Stopping Power

تمثل العلاقة الرياضية dE/dx العلاقة بين طاقة الأيون الموجب ومداه . و dE/dx هي سرعة التناقص في الطاقة مع المسافة عبر المادة . وتسمى dE/dx أحياناً بقدرة الإيقاف أو التأين النوعي specific ionization ، وتعتمد dE/dx على طاقة وشحنة وكتلة الأيون .



ويوضح الشكل (5-2) الصفات العامة لقدرة الإيقاف ويسمى المنحنى

بمنحنى براغ Bragg Curve ، ويمثل الشكل (2-5) العلاقة ما بين التأين النوعي والمسافة لدقيقة ألفا من نهاية المسار . وبين هذا الشكل أن أقصى سرعة خسارة أو تناقص للطاقة يحدث عندما تكون طاقة الدقائق قليلة والعكس صحيح ، أي أن dE/dx تتناسب عكسياً مع طاقة الدقيقة .

ويفسر هذا على أساس أن التفاعل ما بين الدقائق المشحونة والإلكترونات الذرة هو من النوع الكولومبي للإلكترونات التي يحدث بين الشحنات الموجبة والسالبة . فإذا قلت شحنة الأيون نتيجة اقتناصه للإلكترونات خلال مروره في المادة فإن التفاعل (أو التجاذب) الكولومبي وسرعة تناقص الطاقة سوف يقلان . وهذا ما يحدث بالفعل عندما تكون طاقة الدقائق المشحونة قليلة وتكون ميكانيكية فقدان الطاقة عبر التصادمات المرنة مع ذرات المادة . وبالرجوع إلى (ب ، 1-2-4) نرى أن الأيون الموجب سوف يلتقط ويخسر الإلكترونات عدة مرات بالقرب من نهاية المسار .

وتقل سرعة تناقص الطاقة عندما تكون طاقة الدقيقة المشحونة عالية ويفسر هذا على أساس زمن التفاعل Time of interaction ما بين الدقيقة المشحونة والإلكترونات الذرية ، فإذا كانت سرعة الأيون v فإن الزمن الذي سيقضيه الأيون بالقرب من الذرة يتناسب مع $\frac{1}{v}$. وبما أن انتقال الزخم يتناسب أيضاً مع $\frac{1}{v}$ ، فإن انتقال الطاقة من الأيون إلى الإلكترون في الذرة يساوي النقص في طاقة الأيون ويتناسب طردياً مع مربع الزخم المنتقل . ولهذا كان لا بُد من أن يكون هناك مقداراً في سرعة خسارة الطاقة يتناسب عكسياً مع v^2 أو عكسياً مع E طاقة الدقيقة أو الأيون المشحون .

واشتق علماء كيمياء الكم والنسبية المعادلة التالية :

$$-\frac{dE}{dx} = \frac{4\pi\gamma^2 z^2 e^4 N Z}{mv^2} \left[\ln \frac{2mv^2}{I} - \ln(1 - \beta^2) - \beta^2 \right] \quad (5-1)$$

حيث أن z العدد الذري للأيون و γ معامل التعري للأيون (معدل كسر الإلكترونات التي تم تعريتها من الأيون) و e شحنة الإلكترون و N عدد الذرات في وحدة الحجم لمادة الإيقاف و Z العدد الذري لمادة الإيقاف و m كتلة الإلكترون و v سرعة الأيون و I طاقة تأين الإلكترون في مادة الإيقاف. و $\beta = \frac{v}{c}$ و c سرعة الضوء. وفي حال كانت طاقة الأيونات الحركية أقل من طاقة كتلتها الساكنة فإن قيمة $\beta \ll 1$ وتختصر المعادلة (5-1) لتصبح كالآتي :

$$-\frac{dE}{dx} = \frac{4\pi\gamma^2 z^2 e^4 N Z}{mv^2} \ln \frac{2mv^2}{I} \quad (5-2)$$

وهذا يعني تناقص قدرة الإيقاف عندما تزداد سرعة الأيون . وفي حال أصبحت طاقة الأيون الحركية أعلى من طاقة كتلتها الساكنة اقتربت قيمة β من 1 . وأما المقدار $\ln(1-\beta^2)$ في المعادلة (5-1) فيتغير بسرعة ولهذا فإن قدرة الإيقاف تزداد مع ازدياد الطاقة . وأقل قيمة لها عندما تساوي الطاقة الحركية ضعف طاقة الكتلة الساكنة للأيون ، فهي في الكربون $1.8 \text{ MeVg}^{-1} \text{ cm}^2$ وفي الرصاص $1.1 \text{ MeVg}^{-1} \text{ cm}^2$.

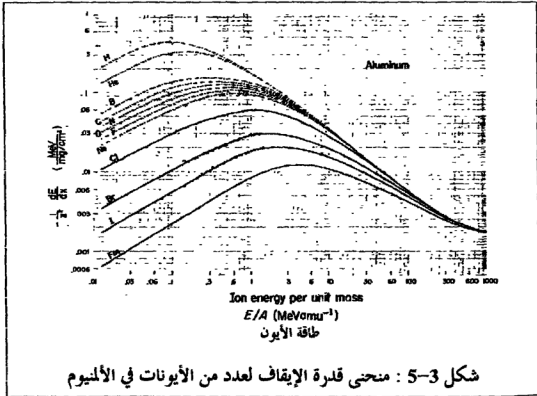
5-2-4 قدرة الإيقاف لأيونات مختلفة في مواد مختلفة

Stopping Power for Different Ions in Different Materials

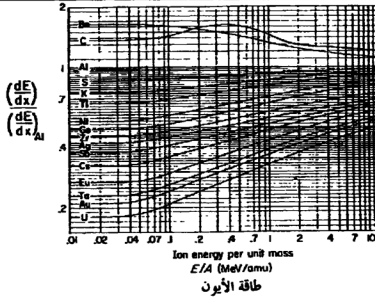
جاءت المعادلة (5-1) بالحقيقة المهمة التالية : قيمة $-\frac{dE}{dx}$ لكل الأيونات المشحونة والتي لها نفس السرعة في مادة الإيقاف تتناسب طردياً مع مربع شحنتها. أي أن $-\frac{dE}{dx}$ لبروتون $^1\text{P}^+$ طاقته E ولدوترون $^2\text{D}^+$ طاقته $2E$ ولترتون $^3\text{T}^+$ طاقته $3E$ متساوية وتساوي $\frac{1}{4}$ (رُبع) $-\frac{dE}{dx}$ لأيون هيليوم $^4\text{He}^{2+}$ طاقته $3E$ ولدقيقة ألفا

${}^4\text{He}^{2+}$ طاقتها $4E$. والشرطان الأساسيان لحلول ما سبق أن يتعري أو يفقد الأيون جميع إلكتروناته ، أي أن قيمة $\gamma = 1$ ، وأن لا يفقد طاقته عبر الاصطدامات المرنة أي الإيقاف النووي . وقد لوحظ أن الأيونات الخفيفة كالهيدروجين والهيليوم تتعري من جميع إلكتروناتها إذا بلغت طاقتها 1 MeV/amu وحدة الكتلة الذرية) . بينما الأيونات الأثقل قليلاً من البورون إلى النيون فتعري عند 10 MeV/amu . وفي حال اليورانيوم تصل إلى عدة مئات من MeV/amu .

وبين الشكل (3-5) ما يعقب ذلك من النقاط إلكترونات ومن الإيقاف النووي كلما قلت طاقة الأيون . ويمثل محور ص في الشكل (3-5) لوغاريتم قدرة الإيقاف في الألمنيوم مقسومة على مربع العدد الذري للأيون ويمثل محور س طاقة الأيون بوحدة MeV/amu لعدد من الأيونات .



ونرى من الشكل (5-3) والمعادلة (5-2) أن سرعة فقدان الطاقة $-\frac{dE}{dx}$ لأيونات مختلفة لها نفس الطاقة غير متساوية . فعلى سبيل المثال إذا كان هناك الأيونات التالية ^{14}N و ^{15}O و ^{16}O ولكل منها طاقة 80 MeV فإن $-\frac{dE}{dx}$ لها في الألمنيوم 3.46 و 3.32 و 2.49 $\text{MeVmg}^{-1} \text{cm}^2$. تعطي المعادلتان (5-1) و (5-2) قدرة الإيقاف $-\frac{dE}{dx}$ بوحدة erg/cm ، وإذا أردنا تحويلها إلى الوحدة $\text{MeVmg}^{-1} \text{cm}^2$ وجب علينا قسمتها على $1.6 \times 10^{-6} \text{ergMeV}^{-1}$ وعلى كثافة مادة الإيقاف بوحدة mg cm^{-3} . وتستخدم خاصية قدرة الإيقاف في التعرف على الأيونات التي لها عدد ذري لا يزيد عن 25 وعلى نظائر الأيونات التي لها عدد ذري يقل عن 21 وذلك من خلال الجهاز المسمى بالتلسكوب المشخص للدقائق Particle-identifier telescope . وطريقة عمل هذا الجهاز فهي كالآتي: تمر الدقيقة أولاً عبر كاشف رقيق حيث تفقد جزء من طاقتها ومن ثم عبر كاشف سميك حيث تفقد كل طاقتها . وتحدد طاقة الدقيقة من مجموع الإشارتين و $-\frac{dE}{dx}$ من الإشارة الخاصة بالكاشف الرقيق . وهذا سيؤدي إلى تشخيص الدقيقة وإلى قياس طاقتها .



شكل 4-5 : قدرة الإيقاف لأيون ما في ماصات صلبة مختلفة بالنسبة للألمنيوم

يبين الشكل (5-4) قدرة الإيقاف لأيون ما في مواد ماصة صلبة مختلفة نسبة للأنيوم . يستخدم هذا الشكل مع الشكل (5-3) في تحديد قدرة الإيقاف لأيونات متعددة في مواد ماصة صلبة مختلفة . ومثال على ذلك قدرة الإيقاف لأيون ^{12}C طاقته 120 MeV في النيكل تساوي $1.0 \text{ MeVmg}^{-1}\text{cm}^2$ ، وهذه القيمة قد حسبت كالآتي :
 أ (قدرة الإيقاف لأيون ^{12}C طاقته 120 MeV في الأنيوم من الشكل (3-5) تساوي $1.2 \text{ MeVmg}^{-1}\text{cm}^2$ ، كما يلي :

$$0.033 = -\frac{1}{Z^2} \frac{dE}{dx} \quad \text{وبالمقابل فإن} \quad 10 \text{ MeV/amu} = 120/12 = E/A$$

$$\text{وقدرة الإيقاف} = -\frac{dE}{dx} = (6)^2 \times 0.033 = 1.2 \text{ MeVmg}^{-1}\text{cm}^2$$

ب) قدرة الإيقاف لأيون طاقته 10 MeV/amu في النيكل نسبة للأنيوم من الشكل (5-4) هي 0.84 .

$$\frac{\left(\frac{dE}{dx}\right)_{\text{Ni}}}{\left(\frac{dE}{dx}\right)_{\text{Al}}} = 0.84 \quad \text{أي أن}$$

وبالتعويض من (أ) بقيمة $\left(\frac{dE}{dx}\right)_{\text{Al}}$ فإن :

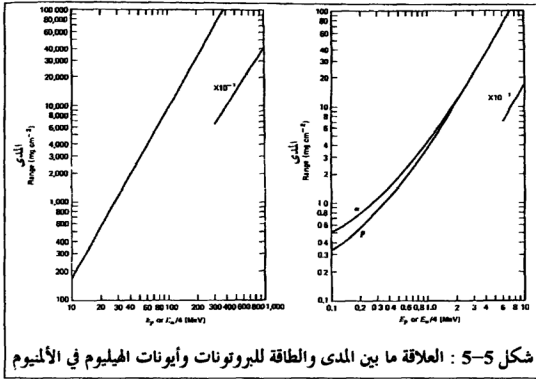
$$1.0 \text{ MeVmg}^{-1}\text{cm}^2 = 1.2 \text{ MeVmg}^{-1}\text{cm}^2 \times 0.84 = \left(\frac{dE}{dx}\right)_{\text{Ni}}$$

5-2-5 العلاقات ما بين الطاقة والمدى

Range-Energy Relations

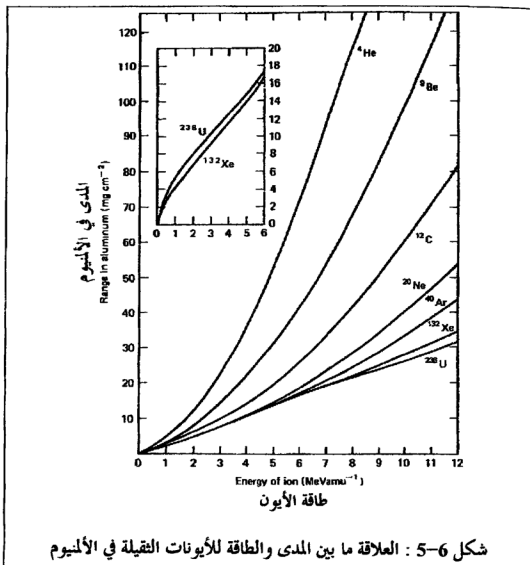
يمكننا أن نحسب المدى لأيون من تكامل مصطلح أو مقدار الطاقة المفقودة :

$$R = \int_{E_0}^0 \frac{1}{dE/dx} dE \quad (5-3)$$



شكل 5-5 : العلاقة ما بين المدى والطاقة للبروتونات وأيونات الهيليوم في الألمنيوم

يمثل الشكل (5-5) العلاقة بين المدى للبروتونات ولدقائق ألفا (أيونات الهيليوم) في الألمنيوم والطاقة الحركية لكل منهما . بينت هذه المنحنيات على الحسابات النظرية وليست العملية وذلك لأنها أدق . ولقد استخدمت المعادلة (1-5) في الحسابات النظرية لتغطية ذلك المدى من الطاقة ، وذلك لظهور طرق أخرى لخسارة الطاقة عندما تكون طاقة الأيون عالية جداً ، فعلى سبيل المثال : تخسر البروتونات ذات 2GeV 15% من طاقتها نتيجة للتفاعلات النووية في ماص من الرصاص سمكه 2.5سم وحوالي 3% نتيجة لتفاعلات التأين في الرصاص . وأما الشكل (5-6) فيبين علاقة المدى مع الطاقة لعدد من الأيونات الأخرى . أما إذا استخدمنا المعادلة (5-2) في المعادلة (5-3) لحساب المدى وأهمنا المقدار $\ln \frac{2mv^2}{I}$ ، نجد أن المدى للدقيقة يتناسب طردياً مع مربع طاقتها غير النسبية .



وبناء على هذا حاول العلماء اشتقاق المعادلة الشبه تجريبية للعلاقة ما بين

الطاقة والمدى التالية :

$$R = aE_0^b \quad (5-4)$$

وتحسب قيم الثوابت a و b عملياً وذلك لأنها تتغير تغيراً طفيفاً مع الطاقة .

أما E_0 فهي الطاقة الحركية للأيون الموجب .

تعتمد قيم a و b على نوع الدققة ، وتراوح قيم b من 1.7 إلى 1.8

للأيونات التي تتعرى تماماً من إلكتروناتها طوال المدى . أما الأيونات الناجمة عن الانشطار والتي لها $\gamma < 1$ ، فإن مداها يزداد قليلاً مع الطاقة ، وذلك لأن زيادة الطاقة سيؤدي إلى زيادة معدل الشحنة على الأيون ، ولهذا فإن قيمة b تساوي 0.5 ومداها يتناسب طردياً مع سرعتها . تستخدم المعادلة (4-5) في الاستكمال الداخلي $interpolation$ والاستكمال الخارجي $extrapolation$ لجداول المدى . وبما أن قدرة الإيقاف الإلكتروني لكل الأيونات التي تسير بنفس السرعة تتناسب طردياً مع مربع شحنة الأيون استطعنا أن نعبر عن المدى لأيون ما نسبة لأيون آخر بطريقة بسيطة ، على شرط أن يقضيا كل وقتهم في مادة الإيقاف (المدى) متعبرين من الإلكترونات ، من خلال المعادلة التالية :

$$R(Z_1, M_1, E_1) = \frac{M_1 Z_2^2}{M_2 Z_1^2} R\left(Z_2, M_2, \frac{M_2}{M_1} E_1\right) \quad (5-6)$$

حيث أن E_1, M_1, Z_1 عبارة عن العدد الذري والكتلة والطاقة لذلك الأيون. فعلى سبيل المثال : ما هو المدى لأيون ^{16}O طاقته 160 MeV . في الألمنيوم؟ للإجابة على هذا نجد من الشكل (5-5) أن المدى لبروتون طاقته 10 MeV هو 171 mg cm^{-2} ، وبالتعويض في المعادلة (5-6) نحصل على ما يلي :

$$\begin{aligned} R(8, 16, 160) &= \left(\frac{16 \times 1^2}{1 \times 8^2} \right) R(1, 1, \frac{1}{16} \cdot 160) \\ &= \left(\frac{16}{64} \right) 171 = 43 \text{ mg cm}^{-2} \end{aligned}$$

وإذا قارنا هذه القيمة المحسوبة مع تلك المقاسة 46.8 mg cm^{-2} نقول أن المدى الفعلي أكبر قليلاً وذلك لأن اقتصاص الإلكترونات يقلل من سرعة فقدان الطاقة ، والخطأ في القيمة المحسوبة ناجم عن ذلك الجزء من المدى الذي لا يكون فيه الأيون متأيئناً تماماً .

تتكون مادة الإيقاف من عنصر أو أكثر . وفي حال كان هناك مركب أو مخلوط من العناصر مثل الهواء على سبيل المثال ، فإن قدرة الإيقاف الكلية هي مجموع قدرة الإيقاف لكل من المكونات . ونعبر عن هذا بالمعادلة التالية :

$$\frac{1}{R_t} = \frac{W_1}{R_1} + \frac{W_2}{R_2} + \frac{W_3}{R_3} + \dots \quad (5-7)$$

حيث أن R_1, R_2, R_3, \dots قيم المدى بوحدة mg/cm^2 لذلك الأيون في كل من المكونات 1 و 2 و 3 ... و R_t هو مدى ذلك الأيون في المركب أو المخلوط المتجانس من العناصر المختلفة كل حسب كسر وزنه W_1, W_2, W_3 . ولا تستخدم المعادلة (5-7) للمخاليط غير المتجانسة .

5-2-6 التفاوت Straggling

وجد العلماء أن هناك تذبذب في كمية الطاقة المفقودة في كل اصطدام وفي عدد الاصطدامات التي تحدث في وحدة المسار الطولية . ويزداد التذبذب في الطاقة المفقودة في كل اصطدام كلما قلت طاقة الأيون والتي يصاحبها تذبذب في شحنة الأيون إلى أن تقل الطاقة ويصبح الإيقاف النووي المهيمن .

ونتيجة للإيقاف النووي يحدث تشتت في مسار الأيون بما يعني أن مسار الحركة الفعلي للأيون أقل من المسار القطعي المتوقع . ونتيجة لهذه التأثيرات فإنه لن يكون هناك مدى وحيداً لدقائق حزمة من الأيونات لها نفس الطاقة في ماص ما . أي أن هناك انتشاراً في المدى أو ما يسمى بالتفاوت في المدى .

ويعرف التفاوت S كمياً على أنه الفرق بين متوسط المدى والمدى الممتد (شكل 1-5) . فعلى سبيل المثال فإن التفاوت لبروتونات تسير في الهواء يتراوح من 1.9 إلى 1.1% من متوسط المدى إذا تراوحت الطاقة الأولية من 8 إلى 500 MeV ،

وتقل نسبة التفاوت بحوالي 0.3 كلما ازدادت طاقة الأيون أربع أضعاف . ويمكننا أن نحسب التفاوت لأي دقيقة لها شحنة Z وكتلة M بالرجوع إلى تفاوت البروتون الذي له نفس السرعة الأولية وطاقته عالية بحيث تكون شحنته $+1$ في معظم المدى وذلك باستخدام المعادلة (5-8) التالية :

$$S_{z,m} = \frac{\sqrt{M}}{Z^2} S_{1,1} \quad (5-8)$$

ويستفاد من هذه المعادلة في حساب التفاوت لدقائق ألفا التي لها 40 MeV ولكنها لا تصلح لنواتج الانشطار .

5-3 إلكترونات Electrons

5-3-1 طرق فقدان الطاقة

Processes Responsible for Energy Loss

تفاعل الإلكترونات مع المادة بطريقة مشابهة للأيونات الموجبة . كما يتم فقدان الطاقة بنفس الطريقة في كلا الحالتين . وإن معدل الطاقة المستهلكة المفقودة في تكوين زوج من الأيونات في الهواء يساوي 35 eV وهي نفس القيمة في حال الأيونات الموجبة (1-2-4) . ويقدر التأين الرئيسي الناجم عن التأين بالإلكترونات بحوالي 20-30٪ من التأين الكلي ، أي أن التأين الثانوي يشكل ما نسبته 70-80٪ من التأين الكلي .

وجد العلماء أن هناك بعض الاختلافات بين تفاعلات الإلكترونات والأيونات الموجبة مع المادة . أولها سرعة الإلكترون التي تفوق بكمية كبيرة سرعة الأيون الموجب ولهذا فإن التأين النوعي للإلكترون أقل بكثير . وبين الجدول (5-1) التأين النوعي للإلكترونات في الهواء عند قيم طاقة متعددة . ويلاحظ من الجدول السابق أن أعلى قيمة تأين نوعي 5950

زوج من الأيونات لكل ملغرام لكل مستقيم مربع تحدث عندما تكون طاقة الإلكترون 146 eV وسرعته 0.024 C (سرعة الضوء). وهذه السرعة أعلى من سرعة دقائق ألفا عند قمة منحى براغ. ويتوقف التأين في الهواء إذا وصلت طاقة الإلكترون إلى 12.5 eV (طاقة التأين الأولى لجزيء الأوكسجين). ثم تصل كمية التأين النوعي إلى أقل قيمة لها عندما تصل طاقة الإلكترون إلى 1.4 MeV. وإذا ازدادت الطاقة عن ذلك فسرت الزيادة في التأين النوعي على أساس التأثير النسبي المستمد من المعادلة (5-1).

| السرعة Velocity (in Units of the Velocity of Light, c) | الطاقة Energy (MeV) | أزواج الأيونات Ion Pairs per 1.00 mg cm ⁻² |
|--|------------------------|---|
| 0.001979 | 10 ⁻⁶ | 0 |
| 0.006257 | 10 ⁻⁵ | 0 |
| 0.0240 | 1.46×10 ⁻⁴ | 5950 (maximum) |
| 0.1950 | 10 ⁻² | ~850 |
| 0.4127 | 0.05 | 154 |
| 0.5483 | 0.10 | 116 |
| 0.8629 | 0.50 | 50 |
| 0.9068 | 0.70 | 47 |
| 0.9411 | 1.0 | 46 |
| 0.9791 | 2.0 | 46 |
| 0.9893 | 3.0 | 47 |
| 0.9934 | 4.0 | 48 |
| 0.9957 | 5.0 | 49 |
| 0.9988 | 10 | 53 |
| 0.99969 | 20 | 57 |
| 0.999949 | 50 | 63 |
| 0.9999871 | 100 | 66 |

جدول 5-1: التأين النوعي للإلكترونات ذات الطاقة المختلفة في الهواء.

قد يخسر الإلكترون كل طاقته في اصطدام واحد ولهذا فإن التفاوت في المدى أعلى من الأيونات الموجبة ولا تعطي المعادلة الرياضية الوصف الحقيقي لعملية فقدان الطاقة . فإذا مرت حزمة متجانسة من الإلكترونات في المادة ازداد التفاوت نتيجة لتشتت الإلكترونات في جميع الاتجاهات مما سيؤدي إلى وجود أطوال مختلفة للمدى في مادة الامتصاص . وينتج الانحراف الزاوي الكبير للإلكترونات عن التشتت النووي على الرغم من أن فقدان الطاقة ناجم عن التفاعل مع الإلكترونات .

تفقد الإلكترونات ذات الطاقة العالية طاقتها بطريقة أخرى أيضاً وتسمى هذه الطريقة بإطلاق الإشعاع (برمز إشتر آلونج *bremssstrahlung*) ، وتحدث عندما يتسارع الإلكترون في المجال الكهربائي للنواة . وتقدر نسبة فقدان الطاقة بهذه الطريقة إلى تلك التي تتم بالتأين في عنصر ما عدده الذري Z بالمقدار التالي $\frac{EZ}{800}$ ، و E هي طاقة الإلكترون بوحدة المليون إلكترون فولت . وهذا يعني أن فقدان الطاقة بهذه الطريقة يصبح محسوساً في ^{82}Pb الرصاص عند $E = 1 \text{ MeV}$ وغير مهم في المواد الخفيفة كالهواء والألنيوم عندما تكون طاقة الإلكترون تساوي طاقة بيتا . وتعرف المسافة التي تنقص من خلالها طاقة الإلكترون بمقدار e بطول الإشعاع (*Radiation Length*) .

وبما أن دقائق بيتا تنطلق بطيف من الطاقة المستمر فإن أي محاولة لتحليل امتصاصها في المادة فاشلة وذلك للتفاوت الكبير في المدى .

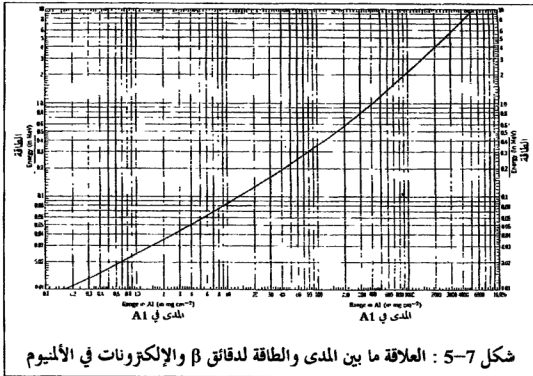
2-3-5 امتصاص دقائق بيتا

Absorption of Beta Particles

يؤثر الطيف المستمر والتشتت لدقائق بيتا على امتصاصها مما يؤدي إلى أن هناك قانون أسي لامتصاص دقائق بيتا ذات الطاقة القصوى ، ولهذا ترمم منحنيات الامتصاص (النشاط ضد السمك للماص) على ورق نصف لوغاريتمي . ويعتمد

شكل منحنى الامتصاص على شكل طيف أشعة بيتا وعلى تأثير تشتتها وعلى الترتيب الهندسي للعينة المشعة والماس والكاشف فعلى سبيل المثال إذا كانت العينة والماس قريين جداً من الكاشف ظهر منحنى الامتصاص وكأنه خط مستقيم وإذا كانت دقائق بيتا نابعة عن طيفين مختلفين في الطاقة القصوى لذلك المصدر المشع فإن ميل المنحنى سيتغير ، وهذا يشبه إلى شكل كبير منحنى التحلل النصف لوغاريتمي لعينة تحتوي على مصدرين مشعين مختلفين في نصف العمر . وإذا عُرف المدى لدقائق بيتا ولإلكترونات التحول تمكنا من وضع علاقة بين المدى والطاقة يستفاد منها في معرفة الطاقة القصوى .

ويمثل الشكل (5-7) العلاقة بين الطاقة والمدى .



3-3-5 التشتت المرتد Back Scattering

تلاحظ ظاهرة تشتت الإلكترونات بواسطة النواة والإلكترونات بشكل كبير وواضح أكثر من تشتت الدقائق الثقيلة . يتعكس أو يرتد جزء من الإلكترونات المصطدمة بمادة الماص نتيجة تشتت واحد أو تشتتات متعددة . وتزداد شدة الإلكترونات المرتدة كلما ازداد سمك العاكس إلى أن يصل السمك إلى أكثر من ثلث المدى للإلكترونات وتسمى هذه الحالة بالإشباع . وتسمى النسبة ما بين النشاط الإشعاعي لمصدر يطلق بيتا بوجود عاكس إلى تلك في عدم وجوده بمعامل التشتت المرتد . ولا يعتمد معامل التشتت المرتد عند الإشعاع على طاقة بيتا القصوى إذا تعدت 0.6 MeV ويتراوح المعامل من 1.3 للألنيوم إلى 1.8 للرصاص . وتعتمد هذه المعاملات على الترتيب الهندسي لعملية العد للدقائق اعتماداً مباشراً ، تتغير بتغيره . ويمكن أن نجد أيضاً اختلافاً في التشتت المرتد للبوزترونات والنيغترونات عند نفس الطاقة .

3-4-5 الإشعاع الكهرمغناطيسي

Electromagnetic Radiation

أشعة جاما وإكس Gamma and X-ray

1-4-5 طرق فقدان الطاقة

Processes Responsible for Energy Loss

إذا مرت الفوتونات في المادة فإنها لا تخسر طاقتها بشكل مستمر في مسارها كما يحدث للدقائق المشحونة . فهناك طريقتين من ثلاثة طرق تتم فيها خسارة طاقة الفوتون الكاملة وانتقالها إلى مادة الماص من خلال تفاعل واحد . ولهذا فإن امتصاص الفوتونات في المادة يتبع النمط الأسّي ونصف السمك للفوتونات أكبر من المدى

لدقائق بيتا التي لها نفس الطاقة . وبناء على ما سبق فإن معدل التأين النوعي لأشعة جاما يساوي 0.1 إلى 0.001 من التأين النوعي للإلكترونات لها نفس الطاقة وإن المدى الحقيقي أكبر بكثير . وأما التأين الملاحظ في أشعة جاما فطبيعته في الغالب ثانوية . ومعدل الطاقة المستهلكة المفقودة في تكوين زوج من الأيونات في الهواء يساوي 35 eV وهي نفس القيمة في حال دقائق بيتا والأيونات الموجبة (1-3-4) .

2-4-5 الأثر الكهروضوئي Photoelectric Effect

إذا كانت طاقة الإشعاع الكهرومغناطيسي قليلة ، فإن أهم طريقة هي الأثر الكهروضوئي . والذي تنتقل فيه طاقة الإشعاع الكهرومغناطيسي $h\nu$ إلى إلكترون مرتبط في الذرة أو الجزيء وينتج عن ذلك انطلاق الإلكترون بطاقة حركية تساوي $\epsilon b - h\nu$ ، و ϵb هي طاقة ربط الإلكترون ، أي أن الإشعاع الكهرومغناطيسي يخفي تماماً ، كما يحافظ على الزخم في حال اكتسبت الذرة أو الجزيء المتبقي بعض الزخم . فإذا كانت طاقة الفوتون أعلى من طاقة الربط للإلكترونات مستوى K الرئيسي في الماص ، حدث الأثر الكهروضوئي في المستوى K بشكل كبير أو رئيسي وفي المستوى الرئيسي L بمحدود 20٪ وتقل النسبة في المستويات الخارجية . ولهذا السبب فإن احتمالية الامتصاص الكهروضوئي تتوقف تماماً عندما تساوي قيم طاقة جاما أو إكس طاقة ربط الإلكترونات في المستويات الرئيسية K, L, M, إلخ .

فإذا كانت طاقة الفوتون أعلى من طاقة الربط للمستوى K في الماص فإن الامتصاص الكهروضوئي يقل بسرعة كبيرة (تقريباً مع $E\gamma^{-7/2}$) ، ومن ثم يبطئ (تقريباً مع $E\gamma^{-1}$) كلما ازدادت طاقة الفوتون . ويتناسب الامتصاص الكهروضوئي طردياً مع Z^5 . وتصل نسبة الامتصاص الكهروضوئي إلى الامتصاص الكلي 5٪

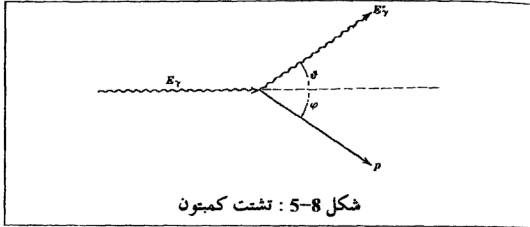
عندما تساوي طاقة جاما 0.15 MeV في الألمنيوم و 0.40 MeV في النحاس و 1.2 MeV في القصدير و 4.7 MeV في الرصاص . وليس للامتصاص الكهروضوئي أهمية تذكر في العناصر الثقيلة وذلك إذا كانت قيم الطاقة أكثر من 1 MeV . ويعزى التأين الناجم عن الإلكترونات الضوئية إلى الفوتونات ذات الطاقة القليلة والأثر التأيني الناجم عنها . ولهذا يستخدم الأثر الكهروضوئي في تحديد طاقة أشعة جاما وذلك من خلال قياس التأين الكلي الناتج عن الإلكترونات الضوئية بواسطة عدادات الوميض أو أشباه الموصلات .

3-4-5 أثر كمبتون Compton effect

يختلف هذا الأثر عن الأثر الكهروضوئي في أن جزء من طاقة الفوتون وليس كلها تنتقل إلى إلكترون مرتبط أو حر غير مرتبط . وينتج عن ذلك نقصان في طاقة الفوتون وانحراف عن مساره الأصلي . ولهذا سماه بعض العلماء بتشتت كمبتون Compton Scattering . ومن ثم اشتقوا العلاقة الرياضية بين زاوية التشتت والطاقة المفقودة من الظروف النسبية في المحافظة على الزخم والطاقة . ويربط التعبير النسبي التالي العلاقة ما بين الطاقة الكلية E للدقيقة وزخمها .

$$E = (E_0^2 + C^2 P^2)^{1/2} \quad (5-9)$$

حيث أن E_0 الطاقة الكلية للدقيقة في حالة السكون وتساوي mC^2 و m هي كتلة الدقيقة في حالة السكون . كما علينا أن نتذكر أن الكتلة الساكنة للفوتون تساوي صفراً . ويمثل الشكل (5-8) ما يحدث من تشتت وفقدان في الطاقة .



وتعرف E_γ على أنها طاقة أشعة جاما الأولية و E_γ^- على أنها طاقة جاما بعد الانحراف بزاوية θ و E_0 على أنها طاقة الإلكترون الساكن (511 KeV) و P على أنه زخم الإلكترون المنطلق بزاوية φ بالنسبة للمسار الأصلي لجاما .
وإن معاملات الظروف النسبية في المحافظة على الزخم والطاقة الموازية والمتعامدة مع مسار السقوط لجاما هي :

$$E_\gamma + E_0 = E_\gamma^- + (E_0^2 + C^2 P^2)^{1/2} \quad (5-10)$$

$$\frac{E_\gamma}{C} = \frac{E_\gamma^-}{C} \cos \theta + p \cos \varphi \quad (5-11)$$

$$\frac{E_\gamma^-}{C} \sin \theta = p \sin \varphi \quad (5-12)$$

وإذا ربعنا المعادلتين (5-11) و (5-12) وعوضنا بالعلاقة $1 = \sin^2 \varphi + \cos^2 \varphi$ حصلنا على ما يلي :

$$E_\gamma^2 - 2E_\gamma E_\gamma^- \cos \theta + (E_\gamma^-)^2 = C^2 P^2 \quad (5-13)$$

وإذا عوضنا المعادلة (5-13) في المعادلة (5-10) نتجت المعادلة (5-14) .

$$\frac{1}{E_\gamma^-} - \frac{1}{E_\gamma} = \frac{1 - \cos \theta}{E_0} \quad (5-14)$$

وبالتعويض عن E بالقيمة $\frac{hc}{\lambda}$ نحصل على ما يلي :

$$\lambda^- - \lambda = \frac{h}{m_e c} (1 - \cos\theta) \quad (5-15)$$

حيث أن m_e هي كتلة الإلكترون الساكن .

وتسمى $\frac{h}{m_e c} = 2.42631 \times 10^{-10}$ سم بطول موجة كمبتون لذلك الإلكترون.

تبين معادلة (5-15) للطاقة الساقطة وجود حد أدنى لطاقة (حد أقصى لطول موجة) أشعة جاما المشتتة وهذا يحدث عندما تشتت في الاتجاه المعاكس $\cos\theta = -1$. وبحسب الحد الأدنى للطاقة مباشرة من المعادلة التالية :

$$(E_\gamma^-)_{\text{سر}} = \frac{E_0}{2} \left(\frac{1}{1 + E_0/2E_\gamma} \right) \quad (5-16)$$

وإذا كانت طاقة أشعة جاما الساقطة $E_\gamma \ll \frac{1}{2} E_0$ فإن الحد الأدنى لطاقة أشعة جاما المشتتة يساوي $\frac{1}{2} E_0 = 250 \text{ KeV}$. ولهذا يبين طيف الوميض لأشعة جاما ذات الطاقة العالية قمة تسمى قمة التشتت المرتد **back-scattering peak** عند طاقة $250 \text{ KeV} \geq$ وتنجم هذه القمة عن تشتت كمبتون في المواد المحيطة . ويبين الطيف وجود منخفض بين القمة الضوئية وطيف كمبتون المتصل ويساوي عرض هذا المنخفض الحد الأدنى لطاقة ($250 \text{ KeV} \geq$) أشعة جاما المشتتة في البلورة . لا يعتمد تشتت كمبتون لكل إلكترون على العدد الذري Z ولهذا فإن معامل التشتت لكل ذرة يتناسب طردياً مع العدد الذري Z ، وفي حال تعدت الطاقة 0.5 MeV فإنه يتناسب طردياً مع E_γ^{-1} . أي أن هناك نقص تدريجي لتشتت كمبتون مع الزيادة في الطاقة وذلك إذا قورن مع الامتصاص الكهروضوئي وخاصة في مدى الطاقة الذي يصل إلى 1 أو 2 MeV ، وسيطر تشتت كمبتون في الرصاص في مدى الطاقة من 0.6 إلى 4 MeV .

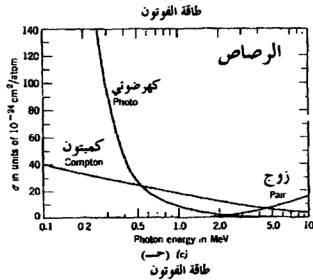
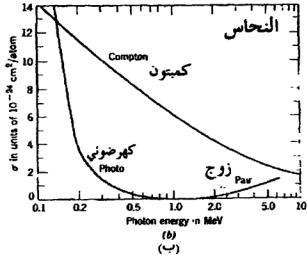
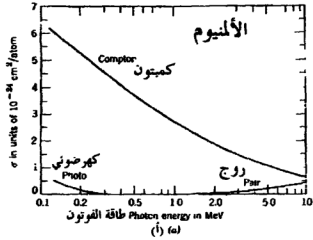
5-4-5 إنتاج الزوج Pair Production

يعرف إنتاج الزوج على أنه إنتاج لزوج من الإلكترون والبزوترون وينظر إلى عملية إنتاج الأزواج على أنها الآلية الثالثة التي يمتص فيها الإشعاع الكهرومغناطيسي . لا يمكن أن تتج الأزواج إذا كانت طاقة $E_\gamma > 1.02 \text{ MeV}$. وإذا تعدت E_γ هذه القيمة ازدادت احتمالية حدوث إنتاج الأزواج ببطء مع الزيادة في الطاقة إلى أن تصل E_γ إلى حوالي 4 MeV ، عند ذلك تصبح العلاقة طردية مع $\log E_\gamma$. وتتناسب الاحتمالية طردياً مع Z^2 . ويعبر إنتاج الأزواج الآلية المسيطرة عند قيم الطاقة العالية . وتحدد طاقة أشعة جاما من خلال قياس الطاقة الكلية لأزواج الإلكترون – البزوترون . ويتبع إنتاج الأزواج عملية تسمى بإبادة البزوترون **Positron Annihilation** يبد فيها الإلكترون السالب البزوترون الموجب وينطلق عن ذلك فوتونات لكل منهما طاقة تساوي 0.51 MeV . ويستدل على إنتاج الأزواج من خلال طيف الأشعة الصادر عن الفوتونين عند 0.51 MeV .

5-4-6 الطاقة وتبعية العدد الذري

Energy and Z Dependence

وجد العلماء أن المقاطع المستعرضة الذرية الثلاثة والخاصة بطرق فقدان الطاقة الثلاث السابقة الذكر تزداد مع الزيادة في العدد الذري ويشذ عن هذا الأثر الكهروضوئي في حال كانت طاقة الأشعة الكهرومغناطيسية قليلة جداً . ولهذا فإن للعناصر الثقيلة فاعلية أكبر في امتصاص الأشعة الكهرومغناطيسية بالمقارنة مع العناصر الخفيفة ، وأكثر العناصر استخداماً هو الرصاص ويتمتع الرصاص بقدرة عالية على امتصاص الأشعة الكهرومغناطيسية ، كما أنه رخيص الثمن وسهل التشكيل . وإذا أمعنا النظر في الرسومات الثلاث الموجودة في الشكل (5-9) تين لنا أن هنالك نقصاناً لأثر كمبتون ولأثر الكهروضوئي وزيادة في إنتاج الزوج مع الزيادة في طاقة الأشعة الكهرومغناطيسية وأن هنالك حد أدنى للامتصاص الكلي عند 3 MeV في الرصاص و 10 MeV في النحاس و 22 MeV في الأليوم .



شكل 5-9
العلاقة ما بين الطاقة للفوتون
والمقاطع المستعرضة الذرية
لكل من الأثر الكهروضوي
وتشتت كميون وإنتاج
الزوج في كل من الألمنيوم
والنحاس والرصاص .

5-4-7 معامل الامتصاص Absorption Coefficient

تؤدي جميع الطرق التي تتفاعل فيها أشعة جاما مع المادة إلى نقصان أسّي في شدة طاقة الفوتونات الساقطة . وتساوي شدة الأشعة المارة I_d عبر السمك d للماص ما يلي :

$$I_d = I_0 e^{-\mu d} \quad (5-17)$$

حيث أن I_0 شدة الأشعة الساقطة و μ معامل الامتصاص الكلي . و μ عبارة عن مجموع معاملات الامتصاص لكل من الأثر الكهروضوئي وأثر كمبتون وإنتاج الزوج . ومن ثم عرف العلماء نصف السمك $d_{1/2}$ على أنه السمك الذي يؤدي

$$\text{إلى } I_d = I_0 \frac{1}{2} \text{ و } d_{1/2} = \frac{0.693}{\mu} \text{ half-thickness .}$$

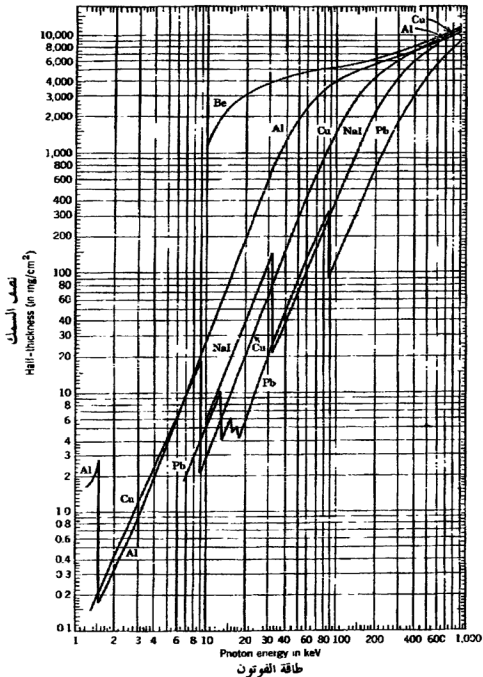
ويعطى سمك الماص في الغالب بدلالة الكثافة السطحية (pd) غم/سم² .
فلهذا نكتب المعادلة (5-17) كالآتي :

$$I_d = I_0 e^{-(\mu/p)pd} \quad (5-18)$$

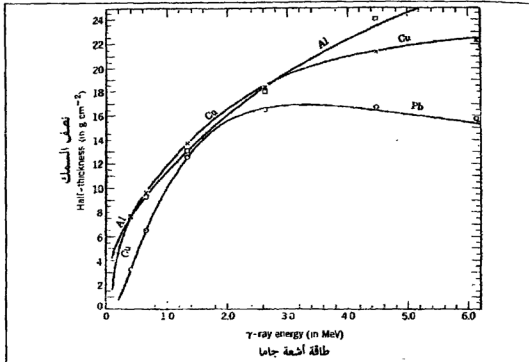
و (μ/p) عبارة عن معامل الامتصاص الكتلي .

Mass absorption coefficient

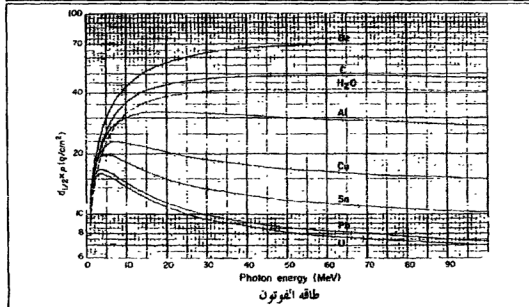
انظر الأشكال 5-10 ، 5-11 ، 5-12 ولاحظ أن محور (ص) في الشكل 5-12 هو $d_{1/2p}$ وما لم يتم الامتصاص كلياً عبر الأثر الكهروضوئي فإن قياس الفوتونات الساقطة فقط غير ممكن عملياً . وذلك حاجة عملية القياس إلى ترتيب هندسي جيد (كوجود مسافة كبيرة بين المصدر والماص وبين الماص والكاشف) أو إلى كاشف يعمل فقط ضمن نطاق ضيق من الطاقة .



شكل 10-5 : العلاقة ما بين نصف السمك وطاقة الفوتون لكل من الألمنيوم والبريليوم والنحاس والرصاص ويوديد الصوديوم



شكل 11-5 : العلاقة ما بين نصف السمك وطاقة أشعة جاما المتوسطة في كل من Al و Cu و Pb



شكل 12-5 : امتصاص الفوتونات التي لها طاقة تصل إلى 100 MeV في مواد مختلفة

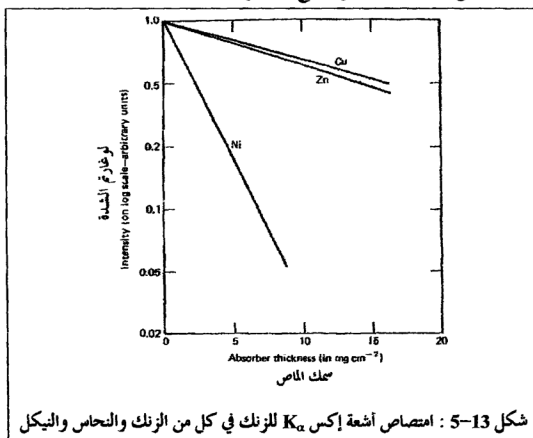
8-4-5 الامتصاص الحرج لأشعة إكس

Critical Absorption of X-rays

لقد درسنا في ما سبق أن احتمالية الامتصاص الكهروضوئي تتوقف تماماً عندما تساوي قيم طاقة جاما أو إكس طاقة ربط الإلكترونات في المستويات الرئيسية (2-4-4) ولقد سمى العلماء هذه الحالات بحواف الامتصاص **absorption edges** . كما استخدم اختلافاً من عنصر إلى آخر في قياس إشعاعات إكس المميزة لكل عنصر . ومن أجل أن نفهم الامتصاص الحرج علينا أن نذكر كيف تنطلق أشعة إكس من الذرة ، فإذا انتقل إلكترون من أحد المستويات الخارجية إلى فراغ في مستوى له طاقة ربط أعلى ، كانقال إلكترون من L إلى K ، انطلقت K_{α} أشعة إكس . وأما الامتصاص الكهروضوئي فيحدث إذا كانت طاقة الفوتون كافية لنقل إلكترون من مستوى طاقته إلى مستوى فارغ . ولهذا ينظر للعنصر على أنه ماص رديء لأشعة إكس الخاصة به .

ولا يمكن لطاقة K_{α} أشعة إكس أن تنقل إلكترون من مستوى K إلى أحد المستويات الخارجية الفارغة في نفس العنصر . ومع ذلك فإن طاقة ربط الإلكترونات تقل كلما قل العدد الذري Z ، ولهذا فإن خط K_{α} المنبعث من عنصر له عدد ذري Z يتمتع بطاقة قيمتها أكبر بقليل من حافة الامتصاص K لعنصر له عدد ذري أقل بقليل فتمتص بقوة من قبل ذلك العنصر وليس من قبل العنصر الذي يعلوه . فلهذين العنصرين المجاورين معاملات امتصاص مختلفة كثيراً نحو تلك الأشعة ، فيسمى العنصر الذي يمتص أشعة إكس بقوة أكبر بالماص الحرج **Critical Absorber** لتلك أشعة إكس . ويطبق الامتصاص الحرج للخطوط المنبعثة من المستوى L على العناصر الثقيلة . ومن الأمثلة على ما سبق المثال التالي : طاقة K_{α} أشعة إكس لعنصر

الخارصين Zn ($Z = 30$) 8.6 KeV ، وحواف الامتصاص لـ ^{29}Cu و ^{28}Ni تساوي 9.0 KeV و 8.3 KeV على التوالي. فلذلك فإن ^{28}Ni ماص جيد لـ K_{α} أشعة إكس الصادرة عن Zn وليس ^{29}Cu (شكل 13-5). أما K_{α} أشعة إكس لعنصر الجاليوم ($Z = 31$) فتمتص بقوة من قبل النيكل والنحاس وذلك لأن طاقتها 9.2 KeV ، ولا تمتص من قبل الخارصين الذي له حافة امتصاص K عند 9.7 KeV . تستخدم الماصات الحرجة في طمس أحد خطوط أشعة إكس ليم قياس الطيف المنبعث من أحد الجيران دون أي تشويش . تحتوي بعض المراجع كدليل الكيمياء والفيزياء Handbook of Chemistry and Physics على جداول لخطوط أشعة إكس المنبعثة وعلى حواف الامتصاص لجميع العناصر .



5-5 النيوترونات Neutrons

نظراً لانعدام الشحنة على النيوترونات فإن تفاعلها مع الإلكترونات قليل جداً ولا ينجم عن النيوترونات مباشرة أي تأين أساسي . ويقتصر تفاعل النيوترونات مع المادة على التأثير النووي والذي يتضمن التشتتات المرنة وغير المرنة والتفاعلات النووية مثل (n, γ) و (n, p) و (n, α) و $(n, 2n)$ والانشطار .

5-5-1 التخفيف من سرعة النيوترونات

Slowing Down of Neutrons

هناك تشابه كبير بين النيوترونات الحرارية وجزيئات الغاز في توزيع الطاقة عند درجات الحرارة العادية . ولهذا فإنها فعالة في التفاعلات النووية . ولقد قام العلماء بإجراء الكثير من الدراسات النظرية والعملية الهادفة إلى التقليل من طاقة النيوترونات ذات الطاقة العالية والناجمة عن التفاعلات النووية بحيث تصبح نيوترونات حرارية لا تتعدى طاقتها 1 eV .

قد تفقد النيوترونات السريعة جزءاً كبيراً من طاقتها في الاصطدامات غير المرنة مع النوى الثقيلة خاصة . وقد تبين أن هذه الطريقة غير فعالة في إنتاج النيوترونات الحرارية . وتنتج النيوترونات الحرارية عن عدة تصادمات مرنة متتالية مع النوى . وبناءً على قانون حفظ الزخم فإن النيوترون الذي له طاقة E_0 والمصطدم بمرونة مع نواة ثقيلة يرتد حاملاً معظم طاقته الأصلية ولا يعطي من طاقته أكثر من $4AE_0/(A+1)^2$ للنواة المرتدة (A هو العدد الكتلي للنواة الهدف) . فكلما نقص العدد الكتلي للنواة الهدف ازداد جزء الطاقة المفقود من طاقة النيوترون الحركية وانتقل للنواة الهدف في التصادم المرن . ولهذا فإن للمواد التي تحتوي على الهيدروجين كالماء والماء عالية كبرية في التخفيف من سرعة النيوترونات .

نجد في التشتت المرن للنيوترونات ذات الطاقة التي تقل عن 10 MeV تساوي
 في احتمالية انتقال الطاقة ما بين صفر والحد الأعلى $4AE_0/(A+1)^2$. وعلى هذا فإن
 احتمالية أن يكون لنيوترون ذات طاقة E_0 طاقة باقية ما بين E و $E+dE$ هي :

$$P(E)dE = \frac{dE}{4AE_0/(A+1)^2} \quad (5-19)$$

ومعدل طاقة النيوترون بعد ذلك هي :

$$\begin{aligned} \bar{E} &= \frac{\int_{E_0[1-4A/(A+1)^2]}^{E_0} P(E)E dE}{\int_{E_0[1-4A/(A+1)^2]}^{E_0} P(E) dE} = \frac{(A+1)^2}{4AE_0} \int_{E_0[1-4A/(A+1)^2]}^{E_0} E dE \\ &= E_0 \left[1 - \frac{2A}{(A+1)^2} \right] \end{aligned} \quad (5-20)$$

أي أن معدل قيمة $\frac{E}{E_0}$ لا يعتمد على E_0 ، وتساوي قيمته بعد n من
 التصادمات ما يلي :

$$\frac{\bar{E}_n}{E_0} = \left[1 - \frac{2A}{(A+1)^2} \right]^n \quad (5-21)$$

وإن احتمالية أن يكون لنيوترون ذات طاقة E_0 طاقة ما بين E_n و

$E_n + dE_n$ بعد عدد n من التصادمات المرنّة مع نوى الهيدروجين هي :

$$P_n(E_n)dE_n = \int_{E_n}^{E_0} [dE_{n-1} P_{n-1}(E_{n-1})] \left[\frac{dE_n}{E_{n-1}} \right] \quad (5-22)$$

ويمثل القوس الأول في المعادلة (5-22) احتمالية الحصول على طاقة ما بين
 E_{n-1} و $E_{n-1} + dE_{n-1}$ في $(n-1)$ من التصادمات وأما القوس الثاني فيمثل احتمالية
 الذهاب من الفسحة $E_{n-1} \leftarrow E_{n-1} + dE_{n-1}$ إلى الفسحة $E_n \rightarrow E_n + dE_n$ بعد
 عدد n من التصادمات . وبتكامل المعادلة (5-22) ضمن المتغير E_{n-1} نحصل على :

$$P_n(E_n) = \frac{1}{(n-1)! E_0} \left(\ln \frac{E_0}{E_n} \right)^{n-1} \quad (5-23)$$

ولقد وجد العلماء أن معدل عدد التصادمات اللازمة لتقليل طاقة النيوترون من E_0 إلى E في مادة عددها الكتلي A هو :

$$\bar{n} = \frac{\ln(E_0/E)}{1 - \left[(A-1)^2 / 2A \right] \ln[(A+1)/(A-1)]} + 1 \quad (5-24)$$

ففي حال كانت التصادمات مع الهيدروجين النري أو البروتونات ($A = 1$) حصلنا على قيمة للمقام تساوي واحد في المعادلة (5-24) على النحو التالي :

$$\bar{n} = \frac{\ln(E_0/E)}{1 - \text{صفر}} + 1 \quad (5-25)$$

وتكتب المعادلة (5-25) على الشكل التالي :

$$E_n = E_0 e^{1-\bar{n}} \quad (5-26)$$

أي أن معدل عدد التصادمات اللازمة لتحويل نيوترونات طاقتها عدة ملايين إلكترون فولت إلى نيوترونات حرارية طاقتها أقل من 0.04 eV عند درجات الحرارة العادية هو 20 تصادم . وتقوم بهذه العملية طبقة من شمع البرافين سمكها 20 سم في أقل من 10^{-3} ثانية . أما المصير النهائي للنيوترونات الحرارية في وسط هيدروجيني مثل الماء أو البرافين فهو أن تلتقط من قبل البروتونات لتكون الديوترونات (^2_1D) ، علماً بأن احتمالية حدوث هذا التفاعل قليلة بالمقارنة مع تشتت النيوترونات ، فلذلك تقوم النيوترونات بحوالي 150 تصادم قبل أن تلتقط من قبل البروتونات . فالماء والبرافين من المواد المستخدمة في بطيء النيوترونات وذلك لأن احتمالية التقاط الأكسجين والكربون للنيوترون قليلة (أي أن المقطع المستعرض الالتقاطي لكل منهما قليل) بالمقارنة مع تلك للهيدروجين .

وأما الماء الثقيل فله أفضلية على الماء العادي H_2O وذلك لأن احتمالية التقاط النيوترون من قبل الديوتيريوم D^2 قليلة بالمقارنة مع الهيدروجين ، ويستخدم الجرافيت (الكربون) في إبطاء النيوترونات ولكنها تحتاج إلى عدد أكبر من التصادمات (حوالي 120) لتصل بعدها إلى نيوترونات حرارية ويمتاز الجرافيت عن البقية في إمكانية تواجده النيوترونات الحرارية فيه لمدة أطول . ولا يتعدى متوسط العمر للنيوترونات الحرارية في أي مادة من المواد أجزاء من الثانية قبل أن تلتقط . وإذا لم يتم التقاطها فإنها ستتحلل إلى بروتونات وإلكترونات سالبة (ارجع إلى جـ 2-3 و 3-4).

5-5-1 التوزيع الحراري Thermal Distribution

إذا قارنا بين النيوترونات الحرارية وجزيئات الغاز وجدنا الحقيقة المشتركة وهي أن لا يمكن أن يكون لكل النيوترونات الحرارية نفس الطاقة . فتقل طاقة النيوترونات أو تزيد نتيجة للاصطدامات مما يعني وجود توزيع ماكسول لطاقة أو لسرعة النيوترونات الحرارية . ويساوي ذلك الجزء من العدد الكلي من النيوترونات والتي لها سرعة ما بين v و $v+dv$ ما يلي :

$$F(v)dv = 4\pi^{-1/2} \left(\frac{M}{2kT} \right)^{3/2} v^2 e^{-Mv^2/2kT} dv \quad (5-27)$$

حيث أن M كتلة النيوترون و T درجة الحرارة المطلقة و k ثابت بولتزمان . وبعض خصائص هذا التوزيع موجودة في الفصول التي تبحث النظرية الجزيئية الحركية للغازات ومنها السرعة ذات الاحتمال الأكثر (v_m) السرعة الأكثر احتمالاً .

$$v_m = \left(2 \frac{kT}{M} \right)^{1/2} \quad (5-28)$$

ومعدل السرعة :

$$\bar{v} = \left(\frac{8kT}{\pi M} \right)^{1/2} = 2 \frac{v_m}{\pi^{1/2}} \quad (5-29)$$

ومعدل الطاقة الحركية :

$$\bar{E} = \frac{3}{2} kT \quad (5-30)$$

يعتمد معدل طاقة النيوترونات على درجة حرارة الوسط المستخدم في التخفيف من سرعتها . فتوزيع ماكسول غير فعال عند درجات الحرارة المنخفضة بسبب مستويات الطاقة المخافض عليها في ذرات الوسط المرتبطة ، وأيضاً فهو غير فعال إذا كان مسار النيوترون في الوسط قصير عند جميع درجات الحرارة أو إذا حدث تغيير كبير في التوزيع نتيجة امتصاص النيوترونات أو تسربها من السطح . يجب أن نوضح الفرق بين توزيع السرعة في الوسط وبين التوزيع التي تكسبه عينة موجودة في الوسط . ويختلف التوزيعان بسبب أن احتمالية اصطدام النيوترون بالعينة في وقت ما تتناسب طردياً مع v . ونعبر عن التوزيع المتغير بالمعادلة (5-31) . والتوزيع المتغير مهم في التفاعلات النووية وفي حسابات المقطع العرضي .

$$F'(v)dv = 2 \left(\frac{M}{2kT} \right)^2 v^3 e^{-Mv^2/2kT} dv \quad (5-31)$$

5-6 الوقاية من الإشعاع Radiation Protection

تتجم التأثيرات البيولوجية للإشعاعات عن التغيرات الكيميائية التي تحدث في الخلايا نتيجة التأين والتهيج والتكسير للروابط والإزاحة للذرات . ولتقدير مدى تأثير الإشعاعات على الأعضاء الحية من المواد المشعة الموجودة خارج الأعضاء أو داخل الجهاز الهضمي أو داخل الجهاز التنفسي ، علينا أن نأخذ الجرعات الكلية للتأين الناتج في الأعضاء فقط وإنما نأخذ عوامل أخرى ككثافة التأين وسرعة الجرعة ومكان التأثير وسرعة إعطاء وإزالة المادة المشعة .

لم يثبت بالدليل أن التعرض المباشر من قبل الإنسان للإشعاعات غير ضار بالصحة . ومن المحتمل أن تسبب بعض الطرق المستخدمة في التشخيص والتي تستخدم الإشعاعات في إحداث أورام خبيثة بدل من الكشف عنها فقط . أي أن

التعرض للإشعاع مرتبط بمبدأ المخاطرة/الفائدة (أو الميزة/المنفعة) . ومن سوء الحظ أنه لم يتم لحد الآن قياس تأثير التعرض لكميات صغيرة من الإشعاعات .

1-6-5 قياس الجرعة في الوقاية من الإشعاع

Dosimetry in Radiation Protection

تعرفنا فيما سبق إلى وحدة الريم والراد في (7-4) وإلى العلاقة بينهما والمعامل الخاص الذي يربطهما ، ويعتمد هذا المعامل على عدة عوامل أهمها :

كثافة التأين في الدراسات البيولوجية والتي تقاس بقدرة الإيقاف الخطية **Linear Energy Transfer (LET)** وهي عبارة عن الطاقة الموضوعة في وحدة طول المسار ويسمى هذا المعامل بمعامل الجودة **Quality Factor (QF)** ، ويبين الجدول (2-5) بعض القيم التقريبية لـ **QF** ، وتعكس القيم في الجدول اعتماد **QF** وقدرة الإيقاف الخطية على الطاقة ومن الحرص أن تستخدم القيم العليا للمدى في القيم المذكورة في الجدول في غياب أي دليل على عكس ذلك . ويبين المثال التالي التطبيقات العملية للمفاهيم التي تعلمناها في هذا الفصل .

| الإشعاع Radiation | QF |
|---------------------------------------|------|
| X and γ rays | 1 |
| e^- , e^+ Electrons and positrons | 1 |
| (n) Neutrons, energy < 10 keV | 3 |
| (n) Neutrons, energy > 10 keV | 10 |
| (p) Protons | 1-10 |
| (α) Alpha particles | 1-20 |
| Heavy ions أيونات ثقيلة | 20 |

جدول 2-5 : قيم عامل الجودة للإشعاعات المختلفة .

مثال (5-1) ما هو معدل الجرعة المتوقع على بعد 50 سم من مصدر ^{60}Co نشاطه 100 ميكوري بوحدة الراد/ساعة .

الحل : يواكب كل تحلل من ^{60}Co انطلاق فوتونان بطاقة 1.17 و 1.33 MeV . وللتبسيط سنأخذ معدهما 1.25 MeV .

$$\frac{\text{فوتون}}{\text{ثانية}} \quad 7.4 \times 10^9 = 2 \times 100 \times 3.7 \times 10^7$$

فيض جاما على بعد 50 سم =

$$\frac{\text{فوتون}}{\text{ثانية سم}^2} \quad 2.3 \times 10^5 = 7.4 \times 10^9 / (4\pi \times 2500)$$

$$\text{أو} \quad 2.9 \times 10^{11} \text{ eV سم}^{-2} \text{ ث}^{-1} = 2.3 \times 10^5 \times 1.25 \times 10^6 =$$

بما أن معامل الامتصاص الكتلي لفوتون طاقته 1.25 MeV في الهواء يساوي تقريباً معامل الامتصاص في الألمنيوم ونصف السمك لذلك الفوتون من الشكل 5-10 يساوي 12.5 غم/سم² . وجزء الطاقة المفقود من أشعة جاما/غم سم⁻² في

$$\text{الهواء هو } \mu/\rho = \frac{0.693}{12.5} = 0.055 .$$

أي أن الطاقة المفقودة من جاما لدى مرورها في 1 غم/سم² هواء هي =

$$= 0.055 \times 2.9 \times 10^{11} \times 3600 = 5.7 \times 10^{13} \text{ eV/ساعة} = 92 \text{ إرغ/ساعة} .$$

$$\text{أي أن الطاقة الممتصة من قبل واحد غرام هواء} = \frac{92}{100} \text{ راد/ساعة}$$

$$= 0.92 \text{ راد/ساعة} .$$

2-6-5 دليل الوقاية من الإشعاع

Radiation Protection Guide

لم يحدد بشكل واضح الحد الأعلى من مكافئ الجرعة من الإشعاعات المسموح التعرض لها ، وقد يدخل هذا ضمن مبدأ المخاطرة/الفائدة (أو الميزة/المنفعة) المذكور سابقاً . وهذا الكلام صحيح في كثير من الحالات في ما عدا بعض طرق العلاج التي تستخدم فيها جرعات كبيرة من الإشعاع الموجه نحو الأورام . ويتساءل الكثير من المختصين إذا كان هناك مستوى أدنى من الجرعات لا ينتج عنه تأثيرات جينية وجسدية . وهناك صعوبة كبيرة في قياس التأثيرات الناجمة عن جرعات صغيرة من الإشعاعات في وجود التغيرات الجينية والجسدية الطبيعية المستمرة . ولهذا افترض العلماء أن التأثيرات الضارة للإشعاعات تتناسب طردياً مع مكافئ الجرعة المتص ، مما يعني عدم وجود مستوى أدنى .

وفي ضوء هذه الصعاب صدر دليل الوقاية من الإشعاعات والذي اعتمد الدراسات العلمية للتأثيرات البيولوجية الناجمة عن الإشعاعات في الثمانين سنة الماضية . وتشتمل هذه الدراسات على :

- أ) الفحوص المخبرية على الحيوانات .
- ب) تأثيرات العلاج بالإشعاع على المرضى والمعالجين .
- ج) الاستخدامات الصناعية للإشعاعات .
- د) الأضرار التي لحقت بسكان هيروشيما وناغازاكي نتيجة للقنابل النووية الملقاة عليهما .

ويحتوي الدليل على مجموعتين :

- أ) الأشخاص الذين يتعرضون للإشعاعات نتيجة العمل الذي يقومون به .

ب) عامة الناس بشكل كبير .

ولقد أوصى الدليل للأشخاص في المجموعة (أ) بأن لا يتعرض أجسامهم الكاملة لأكثر من 5 ريم/السنة ، وقد تختلف الجرعة من منطقة إلى أخرى في الجسم، فقد يصل الحد الأعلى المسموح به للأيدي إلى 75 ريم/الساعة ، ولا يجب أن تتعدى الجرعة التراكمية على المدى الطويل لشخص عمره N سنة القيمة

$$= 5 \text{ ريم} (N-18)$$

وأما الأشخاص من عامة الشعب (المجموعة ب) فلقد أوصى بأن لا يتعرض لأكثر من 0.50 ريم/السنة بما في ذلك الإشعاع الطبيعي (الناتج عن الأشعة الكونية والنشاط الإشعاعي في المحيط الذي نعيش فيه والنظائر المشعة الموجودة داخل الجسم) والاستخدامات الطبية . وبلغ الإشعاع الطبيعي في الولايات المتحدة عند سطح البحر 0.12 ريم/السنة ويزداد إلى 0.25 ريم/السنة على ارتفاع 1500م فوق سطح البحر . أما LD₅₀ في الإنسان فيساوي 500 ريم يتعرض لها الإنسان في فترة قصيرة من الزمن . ومن الصعب تحديد مكافئ الجرعة التي يحصل عليها الإنسان من عمليات التشخيص الطبي ، وقد قدرها البعض بعدة مئات من المليم في السنة في معظم الأحيان وقد تصل إلى أعلى من ذلك في بعض الحالات . وفي الخلاصة ليس هناك إجماع على أن القيم المقترحة في الدليل رزينة وحريصة ، وظهر بعض الناس الذين يطالبون بتخفيض القيم إلى النصف .

3-6-5 مصادر الإشعاع الداخلية

Internal Radiation Sources

يتعرض الجسم للإشعاعات إما من مصادر داخلية أو خارجية . وقد تبقى

بعض النظائر المشعة التي تدخل جسم الإنسان عبر الجهاز الهضمي أو التنفسي لفترات زمنية مختلفة كل حسب طبيعته . ولهذا وجب علينا الحرص لتجنب دخول المواد المشعة لأجسامنا . ويبين الجدول (3-5) الحد الأقصى المسموح به من التركيز لبعض النظائر المشعة في السوائل المهضومة والهواء المستنشق كما يبين الحد الأعلى المسموح به من الكميات في الجسم .

| النواة Nuclide | العاملون Occupational Exposure (Restricted Area) | | عامة الناس General Public (Unrestricted Area) | | الأعضاء الحرجة In Critical Organ (μCi) |
|-----------------------------------|--|--|---|--|---|
| | الهواء In Air (μCi ml ⁻¹) | الماء In Water (μCi ml ⁻¹) | الهواء In Air (μCi ml ⁻¹) | الماء In Water (μCi ml ⁻¹) | |
| ³ H(H ₂ O) | 5×10 ⁻⁶ | 1×10 ⁻¹ | 2×10 ⁻⁷ | 3×10 ⁻³ | 1000 |
| ¹⁴ C(CO ₂) | 4×10 ⁻⁶ | 2×10 ⁻² | 1×10 ⁻⁷ | 8×10 ⁻⁴ | الدهن (fat) 300 |
| ²⁴ Na | 1×10 ⁻⁶ | 6×10 ⁻³ | 4×10 ⁻⁸ | 2×10 ⁻⁴ | الجهاز الهضمي (G.I. tract) 7.0 |
| ³² P | 7×10 ⁻⁸ | 5×10 ⁻⁴ | 2×10 ⁻⁹ | 2×10 ⁻⁵ | العظام (bone) 6.0 |
| ³⁵ S | 3×10 ⁻⁷ | 2×10 ⁻³ | 9×10 ⁻⁹ | 6×10 ⁻⁵ | الخصية (testes) 90.0 |
| ⁶⁰ Co | 3×10 ⁻⁷ | 1×10 ⁻³ | 1×10 ⁻⁸ | 5×10 ⁻⁵ | الجهاز الهضمي (G.I. tract) 10.0 |
| ⁹⁰ Sr | 1×10 ⁻⁹ | 1×10 ⁻⁵ | 3×10 ⁻¹¹ | 3×10 ⁻⁷ | العظام (bone) 2.0 |
| ¹³¹ I | 9×10 ⁻⁹ | 6×10 ⁻⁵ | 1×10 ⁻¹⁰ | 3×10 ⁻⁷ | الغدة الدرقية (thyroid) 0.7 |
| ¹³⁷ Cs | 6×10 ⁻⁸ | 4×10 ⁻⁴ | 2×10 ⁻⁹ | 2×10 ⁻⁵ | الجسم (whole body) 30 |
| ²¹⁰ Po | 5×10 ⁻¹⁰ | 2×10 ⁻⁵ | 2×10 ⁻¹¹ | 7×10 ⁻⁷ | الكبد (spleen) 0.03 |
| ²²⁶ Ra | 3×10 ⁻¹¹ | 4×10 ⁻⁷ | 3×10 ⁻¹² | 3×10 ⁻⁸ | العظام (bone) 0.1 |
| ²³⁸ U | 7×10 ⁻¹¹ | 1×10 ⁻³ | 3×10 ⁻¹² | 4×10 ⁻⁵ | 0.005 |
| ²³⁹ Pu | 2×10 ⁻¹² | 1×10 ⁻⁴ | 6×10 ⁻¹⁴ | 5×10 ⁻⁶ | العظام (bone) 0.04 |

جدول 3-5 : الحد المسموح به بيولوجياً لبعض النظائر المشعة .

4-6-5 المخاطر التي نواجهها أثناء التعامل مع المواد المشعة

Hazards Encountered with Radioactive Materials

تبين لنا مما سبق أهمية الحرص في التعامل مع المواد المشعة أو المصادر المشعة ولهذا وجب على كل شخص التقليل من كمية الإشعاع التي يتعرض لها إلى أدنى حد ممكن بحيث لا يتعدى الحدود القصوى المسموح بها . ويتم تخفيض جرعة التعرض بالطرق التالية :

أ) الحجاب الواقي .

ب) المسافة .

ج) أ و ب .

وتعتبر طريقة التعامل مع الإشعاعات من الأمور المهمة التي يجب الانتباه لها حتى لو كان مستوى الإشعاع قليل جداً وذلك لخطورة انتشار التلوث بالمواد المشعة .

يؤدي التلوث بالمواد المشعة إلى زيادة الإشعاع الطبيعي والضرر بالتجارب التي تستخدم مستويات قليلة من النشاط الإشعاعي . وهذا يتوجب درجة عالية من الانتباه لضبط التلوث وللحيلولة دون التعرض المفرط للإشعاعات ، وهذا يعتمد على عدة عوامل منها مقدار النشاط الإشعاعي الذي نتعامل معه ، طبيعة وطاقة الإشعاعات المنطلقة ، نصف عمر المادة المشعة وأخيراً الخواص الكيميائية للمادة المشعة .

هناك تدابير وقائية عامة يجب توفرها في كل الأعمال التي تستخدم المواد المشعة . وتشتمل على :

أ) أجهزة مسح وقياس للإشعاعات لمعرفة مستوى الإشعاعات والاحتياطات الواجب توفرها .

ب) تجرى التجارب في خزانة الغازات التي تسمح بمرور تيار من الهواء أو في الصناديق الجافة .

ج) ومن أجل أن نحوي أي دلق للمواد المشعة علينا العمل في صواني مخصصة أو نغطي سطوح الطااولات في المختبر بورق ماص يمنع التسرب .

د) عدم استخدام القم لسحب السوائل بواسطة الماصة .

هـ) يجب استخدام القفازات والملاقط عند التعامل مع المواد المشعة حتى لو كان نشاط العينة بالميكروكوري .

و) إذا تعاملنا مع مستويات عالية من المواد المطلقة لأشعة جاما (مليكوري) وجب الوقوف خلف حجاب من الرصاص واستخدام الملاقط وأدوات أخرى مناسبة.

ز) وفي حال وصلت المستويات إلى درجة عالية جداً (10^{12} جاما فوتون/الدقيقة) وجب استخدام طرق التحكم عن بُعد . ولقد أدى ذلك إلى تطوير طرق العمل الكيميائية لتناسب مع التحكم عن بُعد .

الأسئلة :

- (1) ما هو المدى لأيونات ^{14}N طاقتها 120 MeV في الألمنيوم .
 - (2) استخدم المعادلة (2-5) في حساب قدرة الإيقاف لدقائق ألفا طاقتها 12 MeV في الرصاص ($I = 788 \text{ eV}$) .
 - (3) قارن بين القيمة الخسوبة مع القيمة المقدرة من الشكلين (4-5) و (5-5) .
 - (أ) ما هو سمك صفيحة الألمنيوم اللازمة لحفض طاقة أيونات ^4He من 40 MeV إلى 32 MeV .
 - (ب) ما مقدار الطاقة التي يفقدها 20 MeV ديوترون (أيون ديوتيريوم) لدى مروره عبر نفس الصفيحة .
 - (4) تم قياس منحني الامتصاص لعينة تطلق إشعاعات γ و β باستخدام عداد التناسب الغازي وصفائح من الألمنيوم الماص ، كما هو مبين في الجدول .
- | سمك ماص الألمنيوم غم/سم ² | النشاط الإشعاعي (تحلل/دقيقة) |
|--------------------------------------|------------------------------|
| 0 | 5800 |
| 0.070 | 3500 |
| 0.130 | 2200 |
| 0.200 | 1300 |
| 0.300 | 600 |
| 0.400 | 280 |
| 0.500 | 120 |
| 0.600 | 103 |

| | |
|-----|-------|
| 101 | 0.700 |
| 100 | 0.800 |
| 98 | 1.00 |
| 92 | 2.00 |
| 80 | 4.00 |
| 65 | 7.00 |
| 53 | 10.00 |
| 40 | 14.00 |

أ) قدر طاقة β القصوى بوحدة MeV .

ب) ما هي طاقة أشعة جاما .

ج) ما هي قيمة معامل الامتصاص لأشعة γ في الرصاص ؟

6) ما هي قيمة الضاوت لدقائق ألفا طاقتها 32 MeV في الهواء .

7) ارجع إلى الجداول الخاصة بطيف أشعة إكس وبمعاملات الامتصاص

لأشعة إكس في دليل الكيمياء والفيزياء في المكتبة لتحديد الماصات الحرجة اللازمة

في التعرف على أشعة إكس K_{α} في كل من أ) ^{37}Ar ب) ^{101}Pd .

8) وجد أن معدل الجرعة لمصدر من ^{137}Cs مطلق لأشعة جاما على بعد

60سم منه 137 مليراد/الساعة . فإذا كانت نسبة التحلل بجاما 85٪ وطاقة جاما

0.66 MeV . فاحسب

أ) قدر قوة مصدر ^{137}Cs بوحدة المليكري .

ب) ما هو سمك الرصاص (بوحدة المليمتر) اللازمة لخفض معدل الجرعة على

بعد 60سم إلى 3 مليراد/الساعة .

9) وضع مصدر من ^{137}Cs قوته 100 ميكروني على بعد 20 سم من باطن الكف .

أ) احسب فيض أشعة γ لكل سم² لكل ثانية الساقط على باطن الكف .

ب) احسب معدل الجرعة بوحدة الراد/ثانية لما جاء في (أ) (افترض أن

الكف مكون من الماء وأن قيمة μ/ρ لـ 0.66 MeV هي 0.03 سم²/غم) .

10) احسب معدل عدد الاصطدامات المرنة اللازمة لإبطاء النيوترونات من

10⁶ eV إلى 10⁻² eV في كل من أ) (^{238}U ب) (^{12}C ج) (^1H).

الفصل السادس

أجهزة كشف وقياس الإشعاع النووي

RADIATION DETECTION AND MEASUREMENT

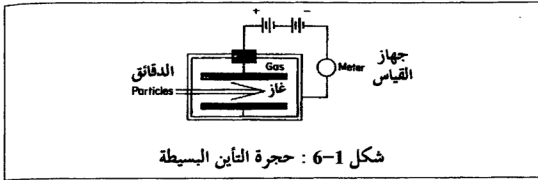
6-1 مقدمة

تستخدم العدادات Counters في الكشف عن الإشعاعات وقياسها وتعتمد العدادات في عملها على تفاعلات الإشعاعات مع المادة من تأين وتهيج كما جاء في الفصل الخامس . ففي عدادات التناسب وحجرات التأين وشبه الموصلات وجايجر تُجمع الشحنة الكهربائية لأزواج الأيونات ثم تكبر إلكترونياً . يحدث مرور الدقائق وأشعة جاما في بعض المواد العضوية وغير العضوية تهيج في المستويات الذرية والتي تتحلل بعد ذلك بإطلاق الضوء في المنطقة المرئية أو القريبة منها . وفي عدادات الوميض يتحول الضوء الناتج إلى نبضات كهربائية وبهذه الطريقة يتم عد الدقائق .

ولقد استخدم العلماء عدادات ودوائر كهربائية معقدة في القياسات الخاصة، كما في تشخيص الأنواع الجديدة من الدقائق . وسندرس في هذا الفصل أشهر أنواع العدادات .

6-2 حجرات التأين Ionization Chambers

وهي من أبسط الأنواع ومبدأ عملها هو تكون الإلكترونات والأيونات الموجبة نتيجة مرور الدقائق المشحونة في الغاز الموجود داخل الحجرة والتي تتجمع على القطبين بتأثير المجال الكهربائي . ويبين الشكل (1-6) حجرة التأين البسيطة والتي تتجمع فيها الإلكترونات على اللوحة العليا ذات الشحنة الموجبة والأيونات الموجبة على اللوحة السفلى ذات الشحنة السالبة . ولا يشترط استعمال غاز معين في هذه الحجرات .



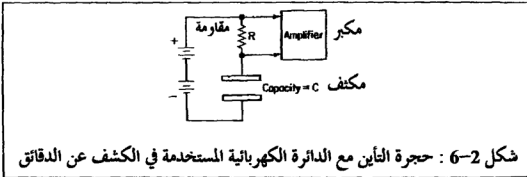
فإذا مر N من الدقائق/الثانية فإنها ستفقد E MeV من الطاقة والشحنة الكلية الناتجة (موجة وسالبة)/الثانية تساوي :

$$Q = \frac{2NEe \times 10^6}{35} \text{ e.s.u./sec} \quad (6-1)$$

حيث أن شحنة زوج الأيونات هي $2e$ وأن معدل الطاقة المفقودة لكل زوج 35 eV .

فإذا كانت قوة المجال الكهربائي كافية كان من الممكن تجميع كل الإلكترونات والأيونات الموجبة مما يعني أن التيار المار في الدائرة يساوي $Q/2$ ، وهي الشحنة اللازمة لإزالة الإلكترونات ومعادلة الأيونات الموجبة . وقد قدرت الشحنة اللازمة ببعض المئات من الفولتات . وإذا استخدم مقياس للتيار فلن يُعد الجهاز المبين في الشكل (6-1) كعداد وذلك لأن مقياس التيار بطيء جداً وغير حساس لوصول كل دقيقة لأنه سيعمل على دمج تأثير عدد من الدقائق ، أي أن القراءة ستتناصب مع عدد الدقائق الواصلة في الثانية ومع طاقتهم المفقودة في الغاز ويستفاد من هذا الكاشف في قياس الفيض الكبير من الدقائق ، فإذا طليت الجدران الداخلية للحجرة بطبقة من البورون تمكنا من قياس فيض النيوترونات وذلك لأن ^{10}B يتفاعل نووياً مع n منتجاً ^7Li ودقيقة α ، ومن ثم يتم قياس التأين الناتج عن دقائق α و ^7Li .

إذا قمنا بتوصيل حجرة التأين في الشكل (6-1) مع الدائرة الكهربائية الموضحة في الشكل (6-2) استطعنا الكشف عن وصول كل دقيقة . فتتجمع الإلكترونات الحرة على اللوحة الموجبة في حوالي 10^{-6} ثانية ، بينما تحتاج الأيونات الموجبة الأثقل إلى 10^{-3} ثانية لتصل إلى اللوحة السالبة . ويؤدي تجمع الشحنة إلى مرور نبضة كهربائية في المقاومة R . ويتناسب فرق الجهد عبر المقاومة R مع التيار المار ، فكلما مرت دقيقة مؤينة ازداد فرق الجهد ازدياداً سريعاً ومن ثم ينقص مع موت نبضة التيار ولهذا فإن قيمة R عالية جداً حوالي 10^9 أوم ويؤدي مرور تيار صغير جداً فيها إلى نبضة جهد سهل قياسها . بعد ذلك تكبر هذه النبضة ومن ثم تسجل بواسطة دائرة عد إلكترونية .

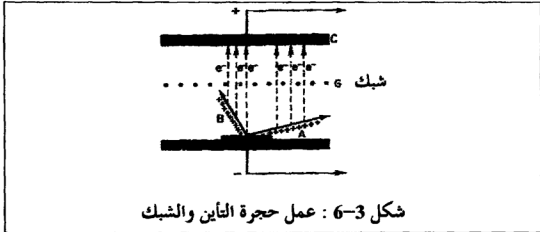


وإذا صمم العداد والمكبر للكشف عن نبضة الإلكترون الصاعدة سريعاً فقط فلا بد أن يسمح للإلكترونات بالتحرك السريع داخل الغاز في الحجرة . بعض الغازات مثل الأوكسجين والأبخرة التي تحتوي الهالوجينات لديها القدرة على التقاط الإلكترونات من قبل الجزيئات المتعادلة لتكون أيونات سالبة بطيئة الحركة ، وهذا يستوجب استبعاد هذه الغازات من حجرات الغاز المستخدمة ، واستبدالها بغاز الأرغون المخلوط بنسبة قليلة من الميثان أو ثاني أكسيد الكربون .

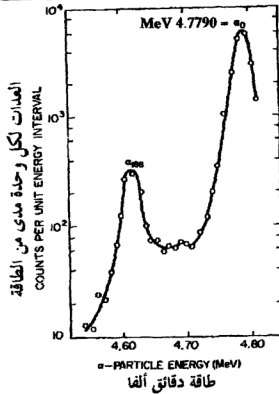
تستخدم حجرة التأين والدائرة الكهربائية (شكل 6-1 و 6-2) في الكشف

عن الدقائق المشحونة فقط ولا تصلح لقياس طاقة الدقائق .

ويعتبر قياس طاقة دقائق α من مصدر موضوع فوق القطب السالب من أكثر التطبيقات شيوعاً . حيث تنطلق دقائق α نحو الغاز وفي جميع الاتجاهات كما في الشكل (6-3) (A و B) . ثم تنتقل الإلكترونات مباشرة من جميع المسارات بسرعة نحو القطب المجمع C وتبقى الأيونات الموجبة في الخلف متسببة بشحنة صغيرة على C ، وتعتمد قيمة الشحنة على المسافة بين C ومركز ثقل مسار الأيون الموجب ، فالمسافة للمسار B أقل من تلك للمسار A . ولهذا فالنبضة الناتجة عن دقيقة B أقل من تلك الناتجة عن دقيقة A ، حتى لو تسببت كل منهما بنفس العدد من أزواج الأيونات ، وللتقليل من هذا التأثير وضع الشبك G كحجاب واق إلكتروستاتيكي بين الأيونات الموجبة والمجمع . ويعمل هذا الحجاب بجهود سالب كافي ليمنع الإلكترونات من أن تنجذب له ، وبما أنه يتكون من أسلاك رفيعة (قطرها 0.005 بوصة) وتبعد عن بعضها البعض حوالي 0.03 بوصة ، فهناك احتمال أن تمر بعض الإلكترونات من خلاله .



يعطي هذا النوع الخمس من حجرات التآين نبضة تتناسب طردياً مع عدد أزواج الأيونات الناتجة عن دقيقة ألفا ومع طاقتها وبغض النظر عن اتجاه المسار في الحجرة .



شكل 4-6 : طيف دقائق ألفا المنبعثة من ^{226}Ra

وبين الشكل (4-6) طيف النبضة الناتجة عن عينة من ^{226}Ra . وترمز α_0 إلى طاقة الدقائق الناتجة عن التحلل إلى المستوى الأرضي في ^{222}Rn و α_{188} عن التحلل إلى مستوى التهيج عند 188 KeV. وتنتج القمة في الوسط عن الكشف المتزامن لدقائق α من α_{188} والكزونات التحول K الناتج عن تحلل مستوى التهيج في ^{222}Rn . يعتمد وقت تجمع الإلكترونات على سرعة تحركها في الغاز وهي في طريقها إلى الجمع. وتبطئ الإلكترونات السريعة الأولية نتيجة لاصطدامها بذرات الغاز، علماً بأن قدرة الأرجون على إيقاف الإلكترونات ذات الطاقة القليلة ضعيفة. ويعزى هذا إلى توزيع الإلكترونات المكتمل والمستقر في الأرجون وطاقة تأينه العالية فلا يمكن أن تتكون مستويات ذات طاقة قليلة نتيجة لاصطدامات غير المرنة مع الإلكترونات، علماً بأن طاقة مستوى التهيج الأول 11.5 eV. وتعزى الزيادة

الكبيرة في معدل المسافة بين ذرات الأرجون والإلكترونات ذات الطاقة التي تقل عن 10 eV إلى ظاهرة كمية ميكانيكية تسمى بتأثير رمسور Ramsauer effect، ونحن نعلم أنه من غير الممكن إبطاء الإلكترونات في الأرجون النقي إلى 10 eV. وتساوي سرعة تحرك الإلكترونات v في الغاز الذي له ضغط P وتحت تأثير المجال الكهربائي E (قولت /سم) ما يلي :

$$v = \frac{eE\lambda}{P\sqrt{2m\epsilon}} \quad (6-2)$$

حيث أن m كتلة الإلكترون ، و ϵ معدل الطاقة الحركية للإلكترونات و λ المسار الحر المتوسط بين الاصطدامات .

إذا أضفنا نسبة قليلة من ثاني أكسيد الكربون CO_2 أو الميثان CH_4 إلى الأرجون ازدادت احتمالية الاصطدامات غير المرنة وذلك لأن لهذه المركبات مستويات اهتزازية ودورانية ذات طاقة قليلة لديها القدرة على اكتساب الطاقة نتيجة للاصطدامات مع الإلكترونات . ولهذا يساوي معدل الطاقة ϵ للإلكترونات في الأرجون المحتوي هذه الجزيئات عُشر (0.1) ذلك في الأرجون النقي . ويؤدي تأثير رمسور إلى الزيادة الكبير في λ ، وتزداد السرعة v نتيجة لهذه الزيادة والنقصان في ϵ . فإذا أضفنا 10% من CH_4 أو CO_2 نقص الزمن اللازم لتجميع الإلكترونات في حجرة التأين المملوءة بالأرجون وزمن التحليل .

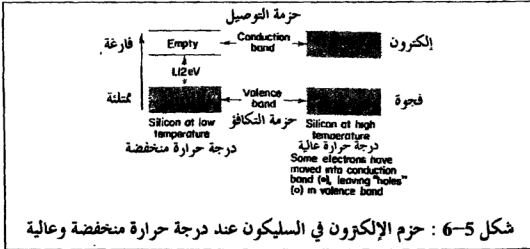
6-3 الكشافات شبه الموصلية Semiconductor Detectors

تستخدم العديد من الكشافات ظاهرة شبه التوصيل في بلورات السليكون والجرمانيوم ، وتسمى هذه العدادات بعدادات الحالة الصلبة وتستخدم هذه العدادات في تجارب التفاعلات النووية والطيف النووي . ومن أجل أن نفهم طريقة عملها علينا دراسة الخواص الكهربائية للسليكون

والجرمانيوم . ومنبدأ بدراسة السليكون .

تحتوي ذرة السليكون المعزولة على أربع إلكترونات تكافؤ وتستخدم هذه الإلكترونات في عمل الروابط الكيميائية في بلورة السليكون ، أي أن هذه الإلكترونات مقيدة ولا يمكنها التحرك بحرية في شبكة السليكون . ولهذا فإن السليكون النقي موصل ضعيف للكهرباء عند درجة حرارة الغرفة . وتتأثر مستويات الطاقة العادية في ذرة السليكون المعزولة كثيراً بوجود ذرات السليكون المحيطة بها في الحالة البلورية .

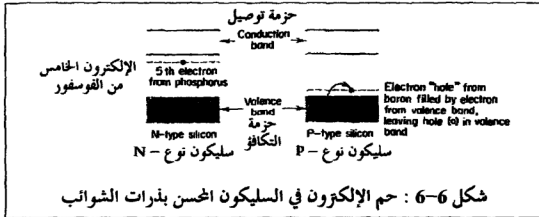
تقع حزمة التوصيل فوق حزمة التكافؤ بحوالي 1.12 eV وتتكون حزمة التوصيل من حزمة عريضة من المستويات ، وتحرك فيها الإلكترونات بحرية وذلك لأنها لا ترتبط مع أي ذرة بعينها من ذرات السليكون ، وفي العادة تكون هذه الحزمة (حزمة التوصيل) فارغة من الإلكترونات ولهذا فإن السليكون موصل ضعيف . يؤدي التهييج الحراري إلى انتقال الإلكترونات من حزمة التكافؤ إلى حزمة التوصيل ويزداد عددها كلما ازدادت درجة الحرارة (الشكل 5-6) .



شكل 5-6 : حزم الإلكترون في السليكون عند درجة حرارة منخفضة وعالية

إذا وضعنا ذرة الفسفور ذات الخمس إلكترونات تكافؤ في بلورة السليكون،

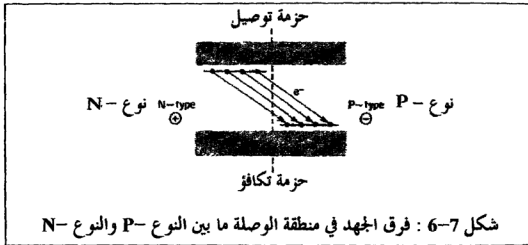
فإنها ستستخدم أربع إلكترونات في عمل روابط مع ذرات السليكون المحيطة بها ،
وأما الإلكترون الخامس فسيحتل مستوى طاقة أقل من حزمة التوصيل كما هو مبين
في الشكل (6-6) . ولهذا سمي الفسفور بالشائبة المانحة وسمي السليكون الذي
يحتوي على مقدار ضئيل من الشائبة المانحة بالنوع N-type N- وترمز إلى
السالبية وذلك لوجود إلكترون زائد .



وأما إذا أضيفت ذرة البورون ذات الثلاث إلكترونات تكافؤ إلى بلورة
السليكون كان هناك إلكترون ناقص في موقع البورون مما سيؤدي إلى تعبئة هذا
الثقب (الفجوة) hole من قبل إلكترون في حزمة التكافؤ وتكون ثقب في حزمة
التكافؤ وسيحتل هذا الإلكترون مستوى من الطاقة أعلى بقليل من حزمة التكافؤ
(الشكل 6-6) وذلك لضعف قوة جذب البورون لهذا الإلكترون بالمقارنة مع
السليكون . وتسمى هذه الشوائب بالشوائب المتقبلة والسليكون الذي يحتوي على
مقدار ضئيل منها بالنوع P-type P- ، وترمز إلى الإيجابية وذلك لوجود
إلكترون ناقص . ولقد سمي السليكون الذي لا يحتوي على شوائب وعلى عدد
متساوي من الذرات المانحة والمتقبلة بالأصلي Intrinsic .

يحمل الإلكترون الزائد في النوع N- تياراً كهربائياً ، فلهذا فإنه موصل أكثر

من السليكون النقي ، كما تجعل الثقوب في حزمة التكافؤ في النوع P- المادة موصلة للتيار الكهربائي على الرغم من ثبات ذرات السليكون والبرون في أماكنها . وإذا وصلنا هذه المادة بقطبين موجب وسالب بينهما فرق جهد تحركت الإلكترونات نحو اليسار الموجب والتقطت الثقوب إلكترونات من ذرات السليكون على اليمين ، وهذا يعني أن ذرة السليكون الفاقدة للإلكترونات ستصبح موقع لثقب. ويمكن أن تعاد هذه العملية على أن يتحرك الثقب نحو اليمين والإلكترون نحو اليسار .



تخيل الآن ما سيحدث إذا وضعنا قطعة من النوع P- من السليكون ملاصقة لقطعة من النوع N- من السليكون (شكل 6-7) ، ستتحرك الإلكترونات الموجودة في مستوى طاقة أعلى في النوع N- عبر الحدود لتملأ الثقوب في النوع P- والموجودة في مستوى طاقة أقل . وهذا سيؤدي إلى فرق في الجهد في منطقة الوصلة بين النوع P و N من السليكون (شحنة سالبة وموجبة على الترتيب) . وكلما ازداد فرق الجهد نقص الفرق في مستويات الإلكترونات في النوعين إلى أن يصل إلى الصفر . وهذا يشبه حالة الاتزان التي لا يمر فيها التيار عبر الوصلة في أي من الاتجاهين ، أي أن كل الإلكترونات في النوع N- قد تحركت عبر الحدود لتملأ

جميع الثقوب في النوع P- وهذا يجعل السليكون الموجود عند الوصلة يستنفذ كل حاملي التيار فيصبح غير موصل .

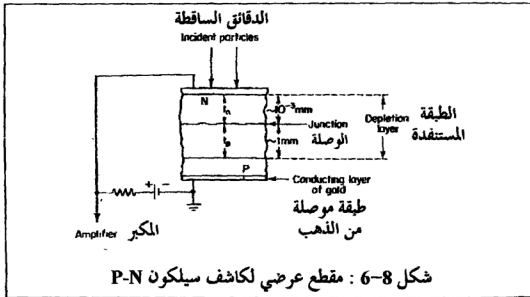
وإذا ازداد فرق الجهد أكثر من قبل عبر الوصلة ، أصبحت المنطقة N- أكثر إيجابية مما سيؤدي إلى تحرك الإلكترونات في المنطقة N- نحو القطب الموجب وبعيداً عن الوصلة . كما ستتحرك الثقوب في المنطقة P- بعيداً عن الوصلة ونحو القطب السالب . مما يعني زيادة في سمك المنطقة المستنفذة لحاملي التيار وغير الوصلة ، وتأثر وصلة P-N باستقطاب عكسي .

أما إذا أثرنا على الوصلة بجهد معاكس للجهد السابق بحيث يصبح النوع - N سالباً والنوع P- موجباً فستتحرك الإلكترونات نحو المنطقة غير الموصلة من اتجاه وستتحرك الثقوب نحو نفس المنطقة من الاتجاه الآخر ، وهذا سيجعل المنطقة موصلة وسيمر تيار كبير عبر الوصلة .

تعمل الوصلة P-N وكأنها صمام ثنائي تمرر التيار في اتجاه ولا تمرره في الاتجاه المعاكس . تستخدم ثنائيات السليكون والجرمانيوم كمقومات للتيار في الأجهزة الحديثة .

أما إذا استخدمت وصلة P-N كمعداد للدقائق فيجب أن تكون دائماً في وضع الاستقطاب العكسي . يُحدث مرور الدقائق المشحونة في المنطقة المستنفذة تهيجاً للإلكترونات إلى حزمة التوصيل وتكون الثقوب في حزمة التكافؤ . ويحرك المجال الكهربائي الإلكترونات نحو الجانب (N) الموجب والثقوب نحو الجانب (P) السالب . فتجري نبضة تيار إلى أن يصل كل حاملي التيار سطح الكاشف ، ويعتمد زمن النبضة على سمك الكاشف وجهد الاستقطاب العكسي ، ويتراوح الزمن من حوالي 10^{-7} - 10^{-8} ثانية .

تعمل عدادات شبه الموصله بنفس مبدأ عمل حجرة التآين ، وتصنع العدادات التي تحتوي على وصلة سليكون P-N بطرق مختلفة ، أفضلها يتم بنشر الفوسفور في السليكون إلى عمق 10^{-3} ملم وعلى شرط أن يحتوي السليكون على كمية قليلة جداً من الشائبة من النوع P- (كما في الشكل 6-8) ، وتتكون الوصلة مباشرة تحت السطح حيث يلغى تركيز الفوسفور (الشائبة من النوع N-) تركيز الشائبة من النوع P- بالتمام . ثم يتم تبخير طبقة موصله من الذهب على الجهة الخلفية تثبت عليها الوصلات الكهربائية . وبقي على الوجه الأمامي للقرص جهد موجب بالنسبة للوجه الخلفي وذلك لتكوين طبقة مستنفذة من الماخين والمستقبلين ولتجميع التآين الناتج عن الدقائق المشحونة .



يزداد سمك الطبقة المستنفذة مع ازدياد الجهد المطبق أو المستخدم ، كما في المعادلتين التاليتين :

$$t_n = \left(\frac{eV}{2\pi e N_a} \right)^{1/2} \quad (6-3)$$

$$t_p = \left(\frac{\varepsilon V}{2\pi e N_p} \right)^{1/2} \quad (6-4)$$

وتعرف t_n و t_p حسب ما جاء في الشكل (6-8) ، أما ε فهو ثابت العزل للسليكون ، V الجهد المطبق ، e شحنة الإلكترون ، N_n و N_p عدد ذرات الشوائب من النوع N - والنوع P - في وحدة الحجم على الترتيب . وبما أن كمية الفسفور المنتشرة كبيرة فإن N_n كبيرة و t_n صغيرة . وأما الجزء الأكبر من الطبقة المستفدة t_p فهو الحساس في الكشف عن الإشعاعات . ومن أجل أن تكون الطبقة الحساسة ذات عمق كبير فيجب أن تكون N_p صغيرة جداً ، وهذا يعني أن يكون للسليكون درجة نقاوة عالية جداً . وهذه الدرجة من النقاوة متوفرة لأنها تستخدم في المقومات والصمامات الثنائية وغيرها من الأجهزة والأدوات الإلكترونية .

يختلف السليكون (والجرمانيوم) عن بقية المواد في الطاقة المفقودة من الدقيقة في تكوين زوج من الأيونات ، فذلك تستهلك حوالي 35 eV /زوج من الأيونات ، أما السليكون والجرمانيوم فيحتاجان إلى 3.6 eV /زوج من الأيونات وذلك لأن حزمة التوصيل أعلى بـ 1.12 eV من حزمة التكافؤ . وهذا لا يعني أن مدى الدقائق فيهما كبير . ولا يختلف السليكون والجرمانيوم عن بقية المواد الأخرى في الحدث الرئيسي الذي تفقد فيها الدقيقة طاقتها ، علماً بأن جزء كبير من الطاقة الممتصة فيهما ينتهي في التأين الثانوي . تعتمد استبانة الطاقة التي يمكن الحصول عليها من عداد ما على التذبذب (التأرجح) الإحصائي في إعداد أزواج الأيونات الناتجة من الإشعاع الساقط . ويفترض في العداد المثالي عدم الاعتماد التام لكل حدث تأين على أحداث التأين الأخرى . ولهذا يتناسب عرض الطاقة لقمة الطيف طردياً مع الجذر التربيعي لعدد N من أزواج الإلكترون-الثقب الناتجة عن كل

دقيقة . وذلك لأن التذبذب في N من الأحداث المستقلة يتناسب طردياً مع \sqrt{N} .

$$\varepsilon\sqrt{N} = \Delta E, \text{ عرض القمة} \quad (6-5)$$

حيث ε معدل الطاقة المفقودة من الدقيقة لكل زوج من الإلكترون-الضرب ،
وأن :

$$N = \frac{E}{\varepsilon} \quad (6-6)$$

حيث E طاقة الدقيقة الساقطة ، وأن الاستبانة تساوي :

$$\frac{\Delta E}{E} = \sqrt{\frac{\varepsilon}{E}} \quad (6-7)$$

وفي الواقع العملي فإن أحداث التأين ليست غير معتمدة تماماً على بعضها البعض . والتذبذب في N أقل من \sqrt{N} بحوالي الجذر التربيعي لمعامل فانو (F)
Fano Factor (\sqrt{F}) والذي له قيمة أقل من واحد . أي أن :

$$\Delta E = \varepsilon\sqrt{FN} \quad (6-8)$$

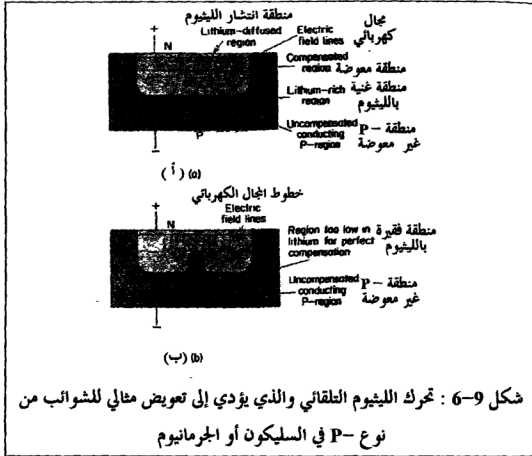
$$\frac{\Delta E}{E} = \sqrt{\frac{F\varepsilon}{E}} \quad (6-9)$$

أما قيمة F للسليكون فتساوي حوالي 0.15 ، وأن أفضل عرض قمة يمكن الحصول عليه في الكشف عن 50 MeV من أيونات الهيليوم في عداد السليكون حوالي 5.2 KeV أو 0.0104% من طاقة أيون الهيليوم . ونظراً لوجود عدة مؤثرات صغيرة في السليكون بالإضافة إلى الضجيج في النظام الإلكتروني فإنه من الصعب الحصول على عرض قمة صغير جداً 0.0104% ، والقيمة التي يتم الحصول عليها عملياً 0.04% .

تتاز عدادات السليكون والجرمانيوم بالسرعة العالية وباستبانة الطاقة الممتازة وبالتناسب الدقيق لحجم النبضة مع الطاقة المفقودة من قبل الدقيقة في المنطقة المستفيدة .

وهذا لا ينطبق على الدقائق التي تسير ببطء كنواتج الانشطار وتحمل شحنة عالية وذلك لإنتاجها كثافة عالية من الإلكترونات والقوب بالقرب من نهاية المدى ، ويحدث أن يتوحد بعضها مرة أخرى قبل أن تتجمع الشحنات مما يؤدي إلى نبضة صغيرة .

تبين المعادلة (3-6) أو (4-6) إمكانية زيادة سمك الطبقة المستنفذة إلى ما لا نهاية من خلال الزيادة في جهد الاستقطاب العكسي . أما واقع الأمر فيقول بعدم إمكانية استخدام جهد أعلى من 1000 فولت . وإذا تعدينا هذه القيمة نجم عن ذلك عطب كهربائي وازداد الضجيج كثيراً في العداد وانخفضت قيمة استبانة الطاقة عن القيمة المحسوبة من المعادلة (9-6) . ويمكن زيادة سمك الطبقة المستنفذة عن ما سبق من خلال بناء العداد من السليكون أو الجرمانيوم المحتوي على تركيز أقل من N_p (أكثر نقاوة) . ويصل الحد الأعلى للطبقة المستنفذة في المواد التجارية إلى 1 أو 2 ملم . ولدى الطبقة المستنفذة التي يصل سمكها إلى 2 ملم في السليكون القدرة على إيقاف البروتونات حتى 18 MeV . وهناك طريقة فنية تسمح بتقليص N_p إلى الصفر وتستخدم الليثيوم كعنصر مانع بدلاً من الفسفور . وذلك من خلال تبخير كمية صغيرة من الليثيوم على سطح السليكون أو الجرمانيوم من النوع P- . ومن ثم يسخن العداد من أجل أن ينتشر الليثيوم في السطح إلى عمق 0.1 ملم تقريباً . فيصبح العداد صمام ثنائي ويمكن إخضاعه إلى استقطاب عكسي ينجم عنه مجال كهربائي بين السطح الأمامي والخلفي ، فيكون السطح الغني بالليثيوم موجب والآخر سالب . وتحرك أيونات الليثيوم ببطء عند درجة حرارة 100°م في السليكون و 40°م في الجرمانيوم من الجانب الموجب إلى الجانب السالب معوضة تماماً الذرات المستقبلية في المادة من النوع P- . ويمتاز التعويض الدقيق بخاصية التنظيم أو الضبط الذاتي .



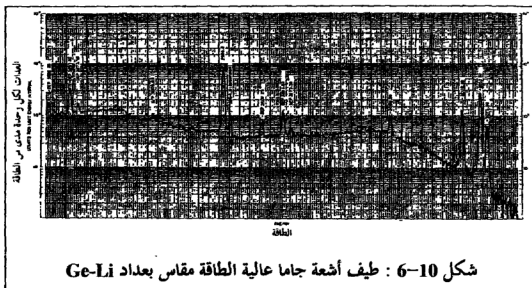
فلو افترضنا أن عند نقطة ما في الحدود الفاصلة بين الليثيوم (المنطقة المعوضة) والمادة غير المعوضة من النوع P-، تكونت منطقة غنية جداً بالليثيوم كما في الشكل (أ9-6) شحنتها موجبة قليلاً بالمقارنة مع المادة من النوع P- في الشكل (8-6). ولهذا فإن لأيونات الليثيوم قابلية عالية على التحرك من المنطقة الغنية والعكس صحيح إلى أن ينقص تركيز الليثيوم إلى القيمة المناسبة، أي أن شدة المجال الكهربائي خلف المنطقة الغنية بالليثيوم أقل قليلاً من المناطق الباقية ويستدل على ذلك من الكثافة القليلة لخطوط المجال الكهربائي كما في الشكل (أ9-6). وأما إذا كانت الحدود منطقة لا تحوي على العدد الكافي من الليثيوم من أجل التعويض التام ازدادت قوة المجال الكهربائي عند تلك النقطة كما في الشكل (ب9-6) وهذا سيؤدي إلى التحرك السريع

لأيونات الليثيوم نحو المنطقة الفقيرة بالليثيوم إلى أن يتم التعويض التام .

ويمكن الحصول على مناطق تعويض بسلك يصل إلى عدة مستميزات نتيجة لتحرك الليثيوم ولم يتم تصنيع عدادات سليكون سمكها أكثر من 1سم . وذلك لارتباط السلك مع جهد الاستقطاب العكسي والذي يزداد مع ازدياد السلك والحد المعمول به حوالي 1000 فولت تشكل الحد الأعلى لعدادات سليكون من سمك 1سم أو أقل إذا احتجنا إلى استبانة طاقة جيدة .

تتحرك الثقوب والإلكترونات في الجرمانيوم بسرعة تساوي ثلاث أضعاف السرعة في السليكون مما يعني إمكانية استخدام طبقات التعويض السميكة . وتصنع عدادات أشعة جاما بحجم تعويضي قد يصل إلى 50سم³ . وللجرمانيوم فعالية أعلى من السليكون في الكشف عن أشعة جاما وذلك لكبر عدده الذري وذلك لأن الامتصاص الكهروضوئي يزداد مع Z^5 لمادة الماص (الفصل الخامس 2-4-5) وبين الشكل (10-6) طيف جاما من تحلل ^{60}Co بعدد جرمانيوم-ليثيوم . وتنتج القمم الحادة عن الامتصاص الكامل لطاقة الفوتون من خلال الامتصاص الكهروضوئي أو تشتت كمبتون المتبوع بالامتصاص الكهروضوئي للفوتون المشتت . وتجم الخلفية المستمرة في أسفل القمم عن الفوتونات التي تخسر جزء من طاقتها من خلال تشتت كمبتون . وقد تفر فوتونات كمبتون المشتتة وخاصة إذا استخدم عداد بحجم صغير ، مما يعني أن جزء من طاقة الفوتون الساقط سوف تفقد في العداد . وفي حال كانت أشعة جاما الساقطة أكثر من 1.02 MeV ظهرت إمكانية لامتصاص بإنتاج الأزواج (الزوج) ، كما يبطء الإلكترون والبزوترون أكثر في الجرمانيوم ومن ثم يباد البزوترون (ارجع إلى 5-4-5) بالإلكترون منتجاً فوتونين طاقة كل منهما 0.511 MeV . وإذا تم امتصاص الفوتونات في العداد حصلنا على نبضة مساوية

ل طاقة أشعة جاما الكاملة . وأما إذا امتص أحدهما وفر الآخر حصلنا على نبضة تساوي 0.511 MeV (E_γ) وإذا فر كلاهما حصلنا على نبضة تساوي 1.022 MeV (E_γ) وتؤدي هذه العمليات إلى إنتاج قمم هروب تابعة أحادية وثنائية (يرمز لهما SEP , DEP) عند 0.511 MeV و 1.022 MeV على التوالي تحت قمة أشعة جاما ذات الطاقة الكاملة ($E_\gamma > 1.022 \text{ MeV}$) .



وتُحسن استبانة الطاقة لكل من عدادات السليكون والجرمانيوم بالتبريد لكل منهما . فالليثيوم يتحرك بسهولة في شبكة الجرمانيوم وإذا اكتملت عملية التحرك وجب إبقاء العداد بارداً بما لا يقل عن حرارة الثلج الجاف وذلك لمنع الانتشار الحراري لليثيوم بحيث لا يفسد التعويض في العداد . وتظهر عدادات الليثيوم والجرمانيوم ذات التعويض التام تياراً صغيراً عند جهد الاستقطاب العكسي . ويؤدي التهييج الحراري في الشبكة إلى انتقال بعض الإلكترونات إلى حزمة التوصيل وخاصة في الجرمانيوم وذلك لقلة الفرق في الطاقة 0.67 eV بين حزمة التوصيل وحزمة التكافؤ . وينتج عن التذبذب الإحصائي السريع للتيار المتسرب ضجيج

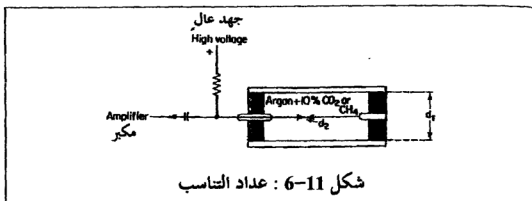
كهربائي يقلل من قوة استبانة الطاقة للعداد . ويمكن التقليل من انتقال الإلكترونات الحراري إلى حد كبير من خلال التبريد للعداد . فتعمل عدادات السليكون في المدى من 25-°م إلى 196-°م (غليان النيتروجين السائل) وعدادات الجرمانيوم عند 196-°م . ويؤدي التبريد إلى التقليل من التيار المتسرب وإلى الزيادة في حركة حاملتي التيار فتتجمع الشحنة الناتجة عن الدقيقة بسرعة أعلى .

4-6 عدادات التناسب Proportional Counters

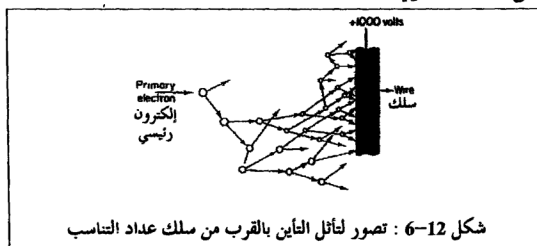
تقوم عدادات التناسب بوظيفتين : أولهما الكشف عن الدقائق وثانيهما التكبير . وتستخدم هذه العدادات في الكشف عن إشعاعات بيتا وجاما . فإذا صُنِعَ القطب أنجمع للإلكترونات في العدادات المعبئة بالغاز من سلك رفيع قطره 0.001 بوصة ، كان المجال الكهربائي القريب من السلك عالٍ جداً (انظر الشكل 11-6) وتقدر قوة المجال الكهربائي E على مسافة r من السلك باستخدام المعادلة التالية (10-6) .

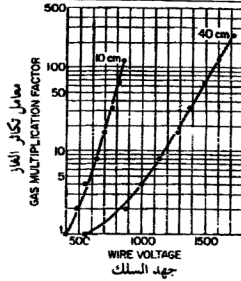
$$E = \frac{V}{r \ln\left(\frac{d_1}{d_2}\right)} \quad \frac{\text{فولت}}{\text{سم}} \quad (6-10)$$

حيث ترمز V لجهد السلك المركزي الموجب بالنسبة للأسطوانة الخارجية و d_1 و d_2 لقطر العداد والسلك على التوالي . فكلما قلت المسافة r كلما ازداد المجال الكهربائي E ، ويحدد قطر السلك أصغر قيمة محتملة لـ r . كما تصل قوة المجال الكهربائي إلى أعلى قيمة لها مباشرة خارج السلك الرفيع وعلى الرغم من ذلك فإن الأسلاك السميكة تعطي قيم أعلى للمجال الكهربائي E عند قيمة ثابتة للمسافة r .



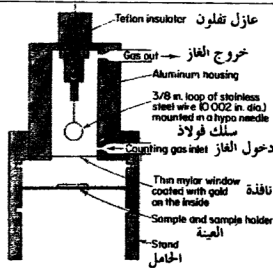
وتتميز عدادات التناسب بالقيمة العالية للمجال الكهربائي بالقرب من السلك مما يكسب الإلكترونات المتجهة نحو السلك تسارع كافٍ بين الاصطدامات فستطيع تأيين جزيئات الغاز . وقد يتسبب إلكترون واحد بسيل من الأيونات (تأين) كما هو مبين في الشكل (6-12) . ويحدث معظم التأين (avalanche) بالقرب من السلك وذلك لارتفاع المجال الكهربائي هناك . وتسمى هذه العملية بتكاثر الغاز (gas multiplication) . ويتناسب مقدار النبضة الخارجة مع عدد الإلكترونات الرئيسية ومع الطاقة المفقودة من الدققة ومع معامل تكاثر الغاز (gas multiplication factor) ويعتمد معامل تكاثر الغاز على جهد السلك العالي V كما هو موضح في الشكل (6-13) . ونحتاج لقياس الطاقة الدققة في عداد التناسب إلى جهد عال ثابت جداً وذلك لتثبيت قيمة ثابت تكاثر الغاز ، علماً بإمكانية الحصول على استبانة طاقة تساوي 1% .



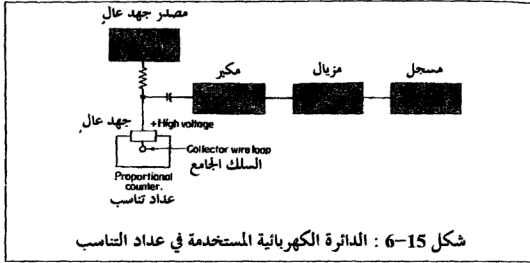


شكل 6-13 : علاقة معامل تكاثر الغاز مع جهد السلك للأرغون عند ضغط 10 و 40 سم زئبق

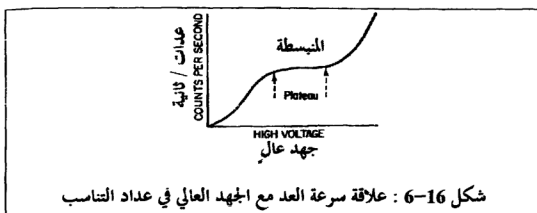
وتستخدم عدادات التناسب في الكشف والعد لإشعاعات α ، β^- ، β^+ و $E.C$ الناتجة عن التحللات بغض النظر عن طاقة كل منهم . ويتم ذلك بوضع العينة في داخل العداد ومحب الهواء من خلال الجريان المستمر لغاز كالميثان أو الغاز الطبيعي (كما هو مبين في الشكل 6-14) .



شكل 6-14 : مقطع طولي لعداد التناسب



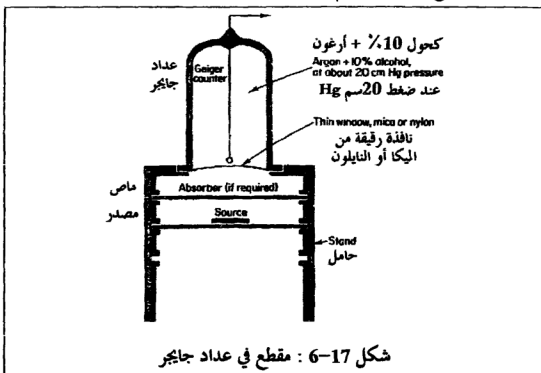
ويبين الشكل (15-6) الدائرة الكهربائية المستخدمة والتي تحتوي على مزيا ليزيل النبضات التي لا تتعدى جهد معين يمكن تعديله ، أي أنه يرفض النبضات الصغيرة جداً والناجئة عن الضجيج في المكبر ، وهناك أيضاً عداد ومسجل يسجلان عدد النبضات التي تصل . وبما أن للعداد القدرة على كشف ما يقرب من 10^5 دقيقة/ثانية استخدم المسجل الإلكتروني بدل الميكانيكي البطيء . ويمكن للمسجل الإلكتروني أن يسجل 999 نبضة ثم يعود للصفر عند وصول النبضة الألف فيرسل نبضة إلى المسجل الميكانيكي الذي يسجل عدد الآلاف التي وصلت . وإذا كانت عيارات المزيال ثابتة وكسب المكبر ثابتة تغيرت سرعة العد كلما ازداد الجهد العالي، كما هو مبين في الشكل (16-6) . ولا تعتمد سرعة العد في المنطقة المنبسطة plateau على قيمة الجهد العالي وذلك لأنه ينتج عن كل دقيقة داخلية إلى العداد نبضة كبيرة تتعدى المزيال . وأما إذا ازداد الجهد ازدادت سرعة العد مرة أخرى بسبب التأثيرات المختلفة التي تنتج عدا ت مزيفة .



5-6 عدادات جايجر Geiger Counters

تعتبر عدادات جايجر من أقدم الأجهزة المستخدمة في العد وأقلها إرضاءً . وهناك أوجه شبه كثيرة بين عدادات جايجر وعدادات التناسب والاختلاف الرئيسي هو في المجال الكهربائي القريب من السلك ذو القيمة العالية مما يؤدي إلى انتشار التأثر للإلكترونات وللأيونات الموجبة فوق السلك كله وإنتاج نبضة ما بين 20-100 فولت . ولابد من اتخاذ بعض الاحتياطات لمنع تحول التأثر إلى تفريغ كهربائي مستمر . وإذا عادت الأيونات الموجبة والتحدت مع الإلكترونات كما هو متوقع مستطلق الفوتونات التي قد تصطدم مع جدران العداد مطلقة إلكترونات ضوئية تسبب بالتأثر من جديد . ويمكن التقليل من هذا التأثير من خلال إضافة غاز متعدد الذرات أو بخار إلى الأرجون ، والمخاليط المستخدمة هي $90\% \text{ Ar} + 10\% \text{ كحول إيثيلي}$ أو أرجون مع ضغط 0.20 ملم Hg من الكلورين . فتأخذ أيونات الأرجون الموجبة الإلكترونات من جزيئات الكحول لتعادل شحنتها ، بعد ذلك تتحرك أيونات الكحول ببطء مبتعدة عن السلك ونحو حائط العداد لتتحد مع الإلكترونات من الحائط فيتسبب عن ذلك طاقة الاتحاد الكافية لتحليل الكحول بدلاً من انطلاق إلكترونات جديدة . وبهذه الطريقة يمنع التأثر من التوصل

الذاتي. وعيب عداد جايجر بطئه الكبير بالمقارنة مع عداد التاسب ، فبعد الكشف عن الدقيقة يحاط السلك كله بطبقة من الأيونات الموجبة التي تقلل من قوة المجال الكهربائي . وقد يؤدي هذا لعدم الكشف عن أي دقيقة تصل السلك قبل رحيل الأيونات الموجبة مبعدة عنه ، وتحتاج هذه العملية لحوالي 10^{-3} ثانية . كما أنه من غير المريح وضع المصدر المشع في داخل العداد ، علماً بأن دخول الدقائق يتم من خلال نافذة رقيقة من المايكا أو النايلون (الشكل 6-17) . ويحتوي الحامل في الشكل (6-17) على عدة رفوف لدعم أو سد المصدر المشع أو أي ماص يتم استخدامه .



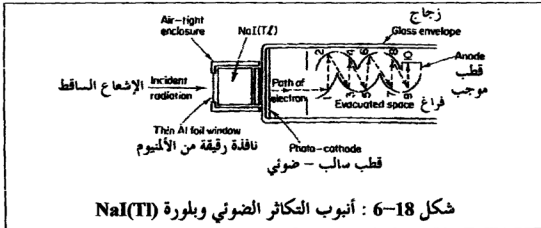
ويتميز عداد جايجر بإنتاجه نبضة كبيرة تحتاج للقليل من التكبير ولا يعتمد حجم النبضة على طبيعة الإشعاع الساقط . وتعتبر عدادات جايجر من العدادات البسيطة والرخيصة الثمن ولهذا تستخدم كأجهزة متنقلة في مسح المختبرات للكشف عن التلوثات الإشعاعية وفي التنقيب عن المعادن .

6-6 عدادات الوميض Scintillation Counters

تصنف العدادات المملوءة بالغاز على أنها غير حساسة لأشعة إكس وجاما ، وذلك لأن احتمالية إنتاج الإلكترون من فوتون ذو طاقة عالية في داخل العداد قليلة جداً . وعلى الرغم من أن العدادات شبه الموصلة وخاصة الجرمانيوم ذات فعالية عالية واستبانة طاقة ممتازة إلا أنه لا يمكن تصنيعها بحجم كبير جداً . ولقد وجد العلماء أن عداد وميض يوديد الصوديوم (NaI) ذا فعالية عالية في إيقاف أشعة جاما ذات الطاقة العالية ، كما يمكن تصنيعها بحجم أكبر من عدادات الجرمانيوم وتمتاز باحتوائها على عنصر اليود الذي له عدد ذري أكبر من الجرمانيوم . إلا أنها ذات استبانة طاقة رديئة . ولهذا فإن عدادات وميض يوديد الصوديوم مستخدمة في الحالات التي تستدعي فعالية عالية في الكشف .

يتكون العداد من بلورة واحدة من NaI تنما من الملح المصهور . وقد يصل قطرها إلى 10 بوصات وطولها أيضاً ، إلا أن البلورات الصغيرة هي المستعملة . ويحتوي يوديد الصوديوم على حوالي 0.5 مول٪ من يوديم الثاليوم النشط . وتؤدي الإشعاعات المؤينة إلى انطلاق وميض قصير من الضوء طول موجته ما بين $3300-5000 \text{ \AA}$. ويتم الكشف عن وميض الضوء بواسطة أنابيب التكاثر الضوئي التي تعطي نبضات كهربائية مسحها عدة فولتات . وبين الشكل (18-6) جميع التفاصيل ، وبما أن بلورة يوديد الصوديوم عازقة جداً للماء وجب وضعها في علبة محكمة الإغلاق لا تسمح بدخول الهواء ولها طاقة دخول رقيقة من الألنيوم سمكها 0.001 بوصة . ويعر الضوء المنطلق في البلورة عبر طاقة شفافة في خلف البلورة إلى أنبوب التكاثر الضوئي . كما تطلّى جدران العلبة الداخلية بأكسيد المغنيسيوم الذي يقوم بوظيفة عاكس للضوء . وتثبت العلبة على مقعدة الأنبوب بطبقة رقيقة وشفافة من الزيت أو الشحم وظيفتها التوصيل الضوئي الجيد والتقليل من الاحتكاكات الداخلية .

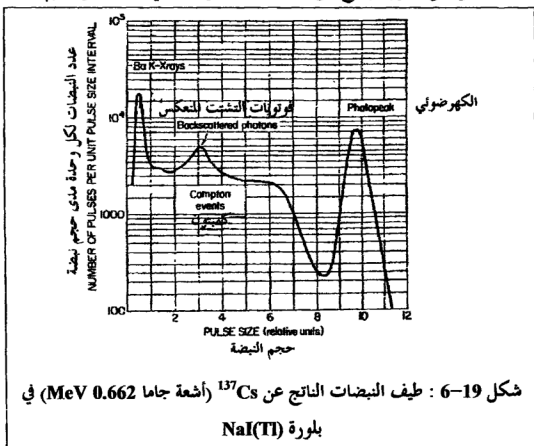
ويتكون سطح الكاثود الضوئي في أنبوب التكاثر الضوئي من صفيحة شبه شفافة من سبيكة الأنتيموني والسيزيوم تطلق إلكترونات ضوئية بفعالية عالية عندما تصطدم بها الفوتونات من بلورة يوديد الصوديوم . وتتسارع هذه الإلكترونات نحو القطب الموجب (الأنود) رقم واحد (1) . ويصنع سطح القطب الموجب من صفيحة من الأنتيموني والسيزيوم أو من المغنيسيوم والفضة . وهذه الصفائح قدرة عالية على إطلاق عدة إلكترونات ذات طاقة قليلة مقابل كل إلكترون يسقط عليها . ويتبع هذا تسارع الإلكترونات الثانوية نحو الأنود الثاني الذي له جهد موجب أعلى وتكرر هذه العملية . أي أن عدد الإلكترونات الواصلة للأنود الأخير يفوق بكثير عدد الإلكترونات الأصلي . فعلى سبيل المثال : إذا كان عدد الإلكترونات المنطلقة من كل أنود n ضعف عدد الإلكترونات الساقطة وكان هناك تسع مراحل في الأنبوب ، تكاثرت الإلكترونات بـ n^9 ، وإذا كانت $n = 4$ ، فإن عدد الإلكترونات الكلي في النهاية 2.6×10^5 . وكان أنبوب التكاثر الضوئي مكرراً له كسب عالى جداً . ويأثر الكسب كثيراً بالجهد المطبق في الأقطاب الموجبة لاعتماد التكاثر على الجهد ، فقد لا يحدث أو يكون قليلاً إذا لم تتسارع الإلكترونات بما فيه الكفاية من مرحلة إلى أخرى . وإذا استخدم جهد كلي يساوي 2000 فولت نتج عن ذلك نبضات من عدة فولتات تحتاج إلى القليل من التكبير .



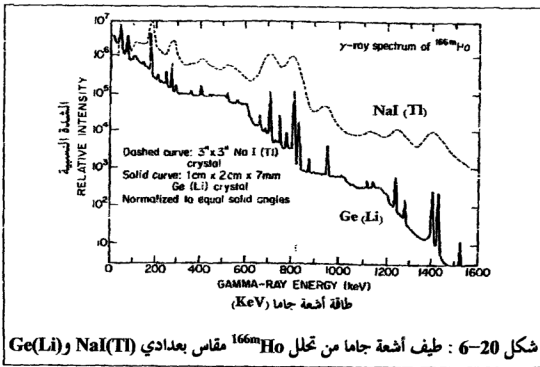
شكل 18-6 : أنبوب التكاثر الضوئي وبلورة NaI(Tl)

ويتناسب حجم النبضة الخارجة طردياً مع الطاقة المفقودة من قبل الدققة

الساقطة ، ولهذا تستخدم بلورات NaI (Tl) في قياس طاقة الدقائق وفي الكشف عنها . وقد تبلغ سرعة العد 10^5 ثانية لأن وميض الضوء يتم في وقت قصير جداً بعد وصول الإشعاع . ويستخدم عداد NaI (Tl) كثيراً في دراسة طيف أشعة جاما لأن له قدرة إيقاف عالية ومهمة . وينجم عن تفاعل أشعة جاما مع البلورة إلكترونات سريعة . وإذا كانت البلورة كبيرة بما فيه الكفاية امتصت هذه الإلكترونات منتجة وميض من الضوء . وأما إذا أدى التفاعل الرئيسي إلى إنتاج إلكترونات ضوئية فإن طاقة أشعة جاما الكاملة سيتم امتصاصها . وفي حال نجم الإلكترون الرئيسي عن تشتت كمبتون فلن يكون لديه الطاقة الكاملة لأشعة جاما . وغالباً ما تهرب أشعة جاما المتشتتة من البلورة فيتم امتصاص جزء من الأشعة الساقطة من قبل البلورة وينتج عن ذلك نبضة صغيرة كما في عداد الجرمانيوم .



وبين الشكل (19-6) طيف النبضات الناتجة من إشعاعات جاما في ^{137}Cs . وتتكون أكبر هذه النبضات من الامتصاص الكهروضوئي وتستخدم هذه القمة في قياس طاقة أشعة جاما. وتؤدي تأثيرات كمتون إلى توزيع منبسط فوق قمة صغيرة ومصدرها أشعة جاما المشتتة من حجاب الرصاص المحيط بالعداد. كما تظهر قمة في منطقة النبضات ذات الحجم القليل مصدرها أشعة K_x إكس للباريوم الناتج من تحلل ^{137}Cs . ويزداد حجم القمة الضوئية كلما ازداد حجم البلورة لزيادة فرص التفاعل ما بين أشعة جاما كمتون المشتتة والبلورة مرة ثانية وبحيث تفقد طاقتها الباقية قبل أن تهرب من البلورة. وتتناسب استبانة الطاقة (عرض القمة الضوئية عند منتصف الارتفاع) عكسياً مع الجذر التربيعي لطاقة أشعة جاما. فإذا كانت طاقة جاما 1 MeV كانت الاستبانة 8%.



وبين الشكل (20-6) مقارنة ما بين طيف أشعة جاما لـ ^{166m}Ho المقاسة

بعدادي NaI و Ge من نفس الحجم . ونلاحظ أن استبانة الطاقة للقمم الضوئية أفضل بكثير في عداد Ge . وقد تم توحيد المنحنيين من العدادين للحصول على نفس الرقم من الأحداث عند نفس الفعالية . وفي واقع الأمر يسجل عداد NaI ما بين 10 إلى مئة ضعف من الأحداث بالمقارنة مع Ge وذلك لأنه يحتوي على اليود الذي له عدد ذري أعلى مما يجعل منه ماص فعال لأشعة جاما .

ونظراً لقصر زمن وميض الضوء في البلورات العضوية كالستلين Stilbene والأنثراسين Anthracene بالمقارنة مع NaI (TI) ، استخدمت هذه البلورات في الكشف عن الدقائق المشحونة وفي العد خاصة عندما نحتاج إلى سرعة عالية في العد. ويقدر زمن وميض الضوء فيها بحوالي 10^{-8} ثانية . ولا يمكن استخدامها في قياس أشعة جاما لاحتوائها على عناصر خفيفة مثل الكربون والهيدروجين . ويتناسب الضوء الناتج مع الطاقة المفقودة من الدقيقة المؤينة في حال كانت كثافة التأين قليلة بما فيه الكفاية . وتستخدم البلورات العضوية عند الكشف عن الدقائق في التجارب وخاصة عندما تكون الاستجابة السريعة أهم من استبانة الطاقة الجيدة. كما أن استخدامها في قياس الطاقة الكلية للدقائق الثقيلة محدود لأن كثافة التأين عالية جداً لتعطي نبضة تتناسب بدقة مع الطاقة إلا إذا كانت سرعة الدقيقة عالية جداً ($v_p < 100 \text{ MeV}$) . عند ذلك تمر الدقيقة عبر بلورة من الحجم العملي ويتم قياس الطاقة المفقودة بدلاً من الطاقة الكلية .

ويمكن استخدام المواد العضوية المطلقة للوميض في المواد البلاستيكية الشفافة المصنعة بأشكال مختلفة . كما يمكن إذابتها في السوائل العضوية فعضطي كواشف ذات أحجام كبيرة . وقد استخدمت هذه المحاليل في الكشف عن النيوترون .

الأ، مسئلة :

1 (احسب كمية الشحنة السالبة بالكولوم الناتجة عن إيقاف 10 MeV ديوترون في السليكون . وإذا مرت هذه الشحنة بسرعة ثابتة في مقاومة 10^6 أوم ، ريز من $1 \mu\text{sec}$ ، فما هو الجهد المتولد .

(2) إذا كانت الطبقة المستنفذة في كاشف السليكون سمكة بما فيه الكفاية لإيقاف 10 MeV أيونات هيليوم وكان جهد الاستقطاب 50 فولت ، فاحسب سمك الطبقة الكافي لإيقاف 15 MeV أيونات هيليوم . افترض أن العلاقة ما بين الطاقة والمدى للسليكون مساوية للألنيوم وأن سمك الطبقة في الجانب المانع من الوصلة قليل جداً .

(3) احسب للكاشف في السؤال (2) ارتفاع النبضة الناتجة عن 10 MeV بروتون بالمقارنة مع النبضة الناتجة عن 10 MeV أيون هيليوم عندما يكون جهد الاستقطاب 75 فولت .

(4) ارسم للكاشف في السؤال (3) العلاقة ما بين ارتفاع النبضة النسبي لأيونات الهيليوم مع طاقة هذه الأيونات من 1 eV إلى 14 MeV علماً بأن جهد الاستقطاب 50 فولت .

الفصل السابع

استخدامات النظائر المشعة في الكيمياء

RADIOCHEMICAL APPLICATIONS

7-1 مقدمة

تستخدم النظائر المشعة في الوقت الحاضر من قبل العديد من العلماء في أبحاثهم ودراساتهم أكانوا علماء نوويون أم لا . وتعتبر ظاهرة النشاط الإشعاعي لغير النوبيين أداة تساعدهم في أبحاثهم كمطياف الكتلة أو جهاز قياس درجة الحموضة . ويستخدم العلماء النوبيون الأساليب الكيميائية في دراسة الظواهر النووية وأما الكيميائيون الإشعاعيون فيستخدمون الأساليب النووية في دراسة الظواهر الكيميائية . سندرس في هذا الفصل الطرق التي تم استخدام الكيمياء الإشعاعية فيها لدعم البحث في شتى مجالات الكيمياء والعلوم التي تتصل فيها .

في عام 1913 قام العالمان ج.دي. هيفزي و ف.بانيت بتجربة للدراسة ذاتية أحد أملاح الرصاص مستخدمين أحد نظائر الرصاص المشعة الموجودة في الطبيعة وبتكريز شحيح . وبعد اكتشاف النظائر المصنعة ، قام العالمان دي. هيفزي و أو.شسويتز بتحضير ^{32}P المشع واستخدامه بتكريز شحيح في الدراسات البيولوجية (الحياتية) .

وفي نفس العام أجرى دي. هيفزي وآخرون أول تحليل بالتنشيط (تنشيطي) على العناصر النادرة . وعلى الرغم من أهمية استخدام العناصر المشعة بتكريز شحيح إلا أنها لم تستخدم على نطاق واسع إلا بعد الحرب العالمية الثانية لتوفر كميات كبيرة من العناصر المشعة من المفاعلات النووية .

إن استخدام النظائر المشعة في الدراسات أقل ثمناً وأسهل من استخدام النظائر المستقرة غير المشعة . نظراً لحاجة النظائر المستقرة إلى أجهزة مكلفة الثمن مثل جهاز مطياف الكتلة وجهاز الرنين المغناطيسي وغيرها .

7-2 الافتراضات الأساسية لاستخدام النظائر المشعة بتركيز شحيح

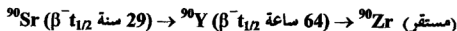
'Basic Assumptions for Tracer Use

هناك بعض التجارب التي لا يمكن الحصول منها على نتائج علمية إلا باستخدام العناصر المشعة الشحيحة لنستدل منها على وجود وتركيز عناصر أو مركبات معينة في مكان معين وزمن محدد . ومن الأمثلة على ذلك دراسة انتشار أيونات معدن في محاليل أملاح ذلك المعدن .

أما الافتراض الأول فهو أن للنظائر المشعة والمستقرة لعنصر ما نفس الخواص الكيميائية ، فإذا استبدلنا ^{12}C بـ ^{14}C في مركب للكربون فلن تتغير نوعية وقوة الروابط الكيميائية ولن تتأثر الخواص الفيزيائية لذلك المركب . وتعتمد صحة هذا الافتراض على دقة قياس الخواص الفيزيائية والكيميائية . وقد تتأثر هذه الخواص بالفروق في الكتلة بين النظائر ، وفي حال ^{14}C و ^{12}C فإن الفرق في الكتلة حوالي 15% ، ولهذا فإن تأثير النظر Isotope Effect قليل ومن الصعب الكشف عنه ، وفي العناصر الثقيلة يهمل تماماً ، ولا يأخذ تأثير النظر بعين الاعتبار إلا في الحالات التي يستبدل فيها الهيدروجين -الديوتريوم- والتريوم .

وأما الافتراض الثاني فهو عدم تأثر الخواص الكيميائية والفيزيائية للنظير بطبيعته المشعة . فلا يمكن التمييز بين ذرة النظير المشع والمستقر إلا من خلال كتلة النظير ، وعندما تتحلل ذرة النظير المشع ويتم عدّها ينتج عنصر جديد له خواص كيميائية خاصة به . وفي حال كانت سرعة التحلل عالية جداً ظهرت إمكانية حدوث تأثيرات إشعاعية ثانوية بسبب طاقة التحلل الإشعاعي المنطلقة . ويستخدم في التجارب مستوى عالي من النشاط الإشعاعي ليعطي نتائج دقيقة ولا يؤدي إلى تأثيرات إشعاعية ملحوظة . وعلى الرغم من الافتراض القائل بعدم تأثر الأنظمة الكيميائية بالنشاط

الإشعاعي للنظائر وجب علينا أن نعطي العلاقة بين الأب والإبنة في النوى المشعة عناية خاصة . فعلى سبيل المثال Sr و Y عنصران مختلفان كيميائياً ، وإذا أخذنا عينة من ^{90}Sr وقسنا عدد دقائق β الكلي لها ، فإن هذه العينة تحتوي على ^{90}Sr وجزء مجهول من ^{90}Y المشع الناتج من تحلل ^{90}Sr الإشعاعي حسب العلاقة التالية .



ويستخدم قياس امتصاص β ووميض جاما والتي تعتمد على الفروق في الطاقة في دراسة هذا النوع من حالات الأب والإبنة . وإذا كان الاتزان بين نشاط الأب والإبنة سريع كان من الأبسط عد العينة بعد زمن كاف يسمح بالوصول إلى الاتزان . وفي حالة $^{90}\text{Sr} - ^{90}\text{Y}$ فإن الزمن الكافي للوصول إلى التوازن هو 25 يوم . وإذا استخدمنا ^{137}Cs في دراسة كيمياء السيزيوم وجب علينا الانتظار من 15-20 دقيقة فقط مباشرة بعد الفصل لعد العينة وهذا الزمن كاف بحيث تصل الإبنة ^{137}Ba (2.6 دقيقة = $t_{1/2}$) إلى مستوى الاتزان . وبما أن نسبة ^{137}Cs إلى ^{137}Ba ثابتة في جميع العينات عند الاتزان فإن سرعة العد الكلية قبل وبعد أي خطوة كيميائية هي المقياس الحقيقي لتصرف السيزيوم فقط . وفي حال لم يصل الاتزان الإشعاعي في وقت مناسب فإنه من الضروري أن نميز ضد النشاط الإشعاعي الذي لم يدخل في النظام الكيميائي أو نأخذ بعين الاعتبار إسهامه في سرعة العد الصافية .

وإذا اضطررنا لاستخدام نوى مشعة يمكن أن تتحلل بقدر كاف خلال العمليات الكيميائية وطلب منا أن نقارن بين النتائج عند نقاط مختلفة في التفاعل وجب علينا تصحيح كل نتائج العد إلى نفس النقطة في الزمن .

ومن فوائد استخدام النظائر المشعة بتركيز شحيح ما يلي :

أ) يمكن قياسها وكشفها بدقة عالية من 10^{-6} إلى 10^{-16} غم .

ب) لا يعتمد النشاط الإشعاعي على الضغط أو درجة الحرارة أو حالة المادة الكيميائية أو الفيزيائية .

ج) لا تؤثر العناصر المشعة على النظام وتستخدم غالباً في الطرق أو العمليات غير الهدامة .

د) وإذا كان العنصر المشع الشحيح نقي كيميائياً وإشعاعياً فلن يكون هناك تداخل من العناصر الأخرى كما يحدث في التحاليل الكيميائية .

7-3 الكيمياء التحليلية Analytical Chemistry

7-3-1 طريقة تخفيف النظائر

Isotope Dilution Method

تستخدم هذه الطريقة عندما يكون هناك مخاليط معقدة من المركبات مثل تحضير المركبات العضوية وأنظمة الكيمياء الحيوية ويصعب فصل أو تحديد كمية مادة معينة . فيضاف كمية صغيرة نقية كيميائياً وإشعاعياً من تلك المادة إلى المخلول المراد تحليله . وقد تكون هذه الكمية من عنصر أو مركب موسوم معروف النشاط النوعي له . وبعد التأكد من أن المادة المضافة قد خلطت جيداً مع مكونات الخليط السابق ، تفصل من الخليط كمية صغيرة نقية جداً من المادة المراد تحليلها ، ومن ثم توزن ويتم عدّها أو قياس النشاط الإشعاعي لها لحساب نشاطها النوعي . وتحسب كتلة المادة المرادة W_u في الخليط الأصلي من المعادلة التالية (7-1) :

$$W_u = \left(\frac{S_0}{S_m} - 1 \right) W_0 \quad (7-1)$$

حيث W_0 كتلة المادة المشعة المضافة و S_0 النشاط النوعي لها و S_m النشاط النوعي للعينة التي تم فصلها مقاساً بنفس الطريقة . ويعرف النشاط النوعي S بأنه حاصل قسمة النشاط الإشعاعي A على الكتلة W : $S = \frac{A}{W}$ (دس/غم) (تحلل/ثانية/غم) .

ولنفرض للتمثيل ، أننا أضفنا 1.0 غم من KNO_3 يحوي على كمية صغيرة من نظير البوتاسيوم المشع ^{40}K إلى مخلوط من KNO_3 و $NaCl$. فإذا فصلت كمية من KNO_3 بالتبلور التجزيئي ووجد أن النشاط النوعي للعينة المفصولة يساوي 1٪ من النشاط النوعي لعينة KNO_3 المحتوية على ^{40}K الذي أضيف في البدء ، فإن معنى ذلك أن 99٪ من النشاط النوعي قد بقي في المخلوط . وهذا يدل على أنه عند إضافة العينة الكاشفة ، كانت نسبتها إلى كمية KNO_3 التي لا يوجد فيها نظير مشع كنسبة 1:99. وبذلك فإن كمية KNO_3 في الخليط الأصلي تساوي 99غم . وتستخدم هذه الطريقة في الحالات التي يكون فيها الفصل الكمي غير ممكن ، كما في تقدير كميات الرصاص القليلة جداً بالتزيب الأودي والتي أعطت نتائج مختلفة . فإذا أضفنا كمية معروفة من الرصاص المشع ومن ثم قسنا النشاط الإشعاعي للرصاص على الأنود ، استطعنا تقدير مردود الراسب بالرغم من عدم فعالية التزيب الكهربائي .

وتستخدم هذه الطريقة في تقدير النافثالين في القار وفي تقدير كمية الأحماض الأمينية في المواد البيولوجية .

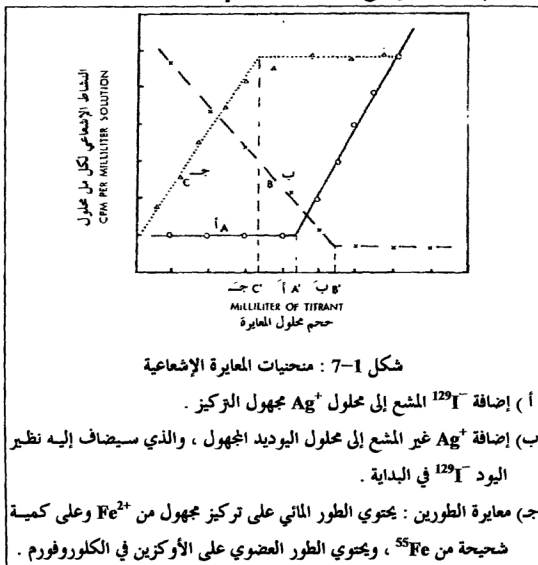
وفي حال لم نجد نظير مشع لعنصر ما ، فإنه بالإمكان استخدام هذه الطريقة ولكن من خلال زيادة تركيز نظير مستقر وتحليل العينة بواسطة جهاز مطياف الكتلة . وقام كل من ج. روزيكا و ج. ستاري بتطوير طريقة للتحليل الإشعاعي مبنية على تخفيف النظائر ، فلنفترض أن هناك حاجة لتقدير كمية صغيرة من أيونات الفضة في محلول مائي (W_a) ، فيضاف كمية مساوية لـ W_b من النظير المشع ^{110}Ag (W_0) ، ومن ثم يستخلص الفضة بواسطة الديشيزون الذائب في الكلوروفورم ويحدد النشاط النوعي لهذا المحلول (S_m) . وفي نفس الوقت يتم الاستخلاص لعينة مرجعية بواسطة الديشيزون في الكلوروفورم تحتوي على W_0 من النظير المشع النقي لها نشاط نوعي (S_0) . والشرط الوحيد في هذه التجربة أن لا تكون كمية الديشيزون كافية لاستخلاص كل

الفضة Substoichiometric ، وتستخدم المعادلة (7-1) في تحديد كمية W_0 .
ومن التطبيقات الأخرى ما يسمى بالمسح المناعي Immunoassay والتي طورها روزلين يالو وتستخدم بشكل واسع في تحليل البروتين في المستشفيات .
وتشتمل على الخطوات التالية : تضاف كتلة معروفة W_0 من البروتين الموسوم P^* ويسمح لها بالتفاعل مع كتلة أصغر بكثير من الجسم المضاد A مكونة المعقد PA .
ومن ثم يتم فصله وتحديد نشاطه الإشعاعي R_0 . وفي نفس الوقت وتحت نفس الظروف يتم خلط كتلة مجهولة W_0 من البروتين مع نفس الكمية W_0 من البروتين الموسوم ، ومن ثم يسمح لها بالتفاعل مع نفس الكمية من الجسم المضاد A لتكون المعقد P^*A الذي يفصل (كتلته W_m) ويقاس نشاطه الإشعاعي R_m .
وفي النهاية تحسب الكتلة المجهولة W_0 من المعادلة (7-1) . وتستخدم هذه الطريقة في قياس حجم الدم في جسم الإنسان ، وذلك بحقن حجم معروف من نظير مشع ^{51}Cr ، وبعد أن يختلط جيداً بالدم ، يؤخذ من دم الشخص حجم مساوٍ وتقاس فيه كمية النظير المشع ^{51}Cr ، ومن الكميات المقاسة عن مستوى الإشعاع بحسب حجم الدم . وتستخدم أيضاً في قياس حجم الدم لبقية الحيوانات وفي قياس حجوم المياه الجوفية .

2-7-3 طريقة قياس الإشعاع Radiometric Method

وتشتمل هذه الطريقة كل عمليات قياس التركيز بواسطة النظائر المشعة الشحيحة .
وأحد هذه العمليات هي عملية معايرة حالتين من المادة بوجود نظير مشع . ويستدل على نقطة النهاية من خلال اختفاء النظير المشع من إحدى الحالتين . ومن الممكن القيام بعملية تحليل سريعة لأنظمة غير عضوية وذلك بإضافة كمية فائضة قليلاً من محلول مشع إلى محلول مجهول مما يؤدي إلى الترسيب الكمي للمادة الأخيرة المجهولة . فلنفترض أن أحد ما رغب في تقدير تركيز Ag^+ في المحلول بواسطة المعايرة مع محلول NaI . فإذا استوى محلول NaI على اليود المشع ظهر الإشعاع في الراسب AgI ولن تظهر الإشعاعات في المحلول إلا بعد أن ترسب كل

أيونات Ag^+ من المحلول . وإذا رسمنا العلاقة ما بين النشاط الإشعاعي المقاس للمحلول ضد حجم محلول المعايرة حصلنا على المنحنى (أ) (شكل 1-7) . أما إذا كان تركيز اليوديد هو المجهول ، فتضيف اليود المشع بتركيز شحيح إلى محلول اليود الذي سيعاير لاحقاً مع أيونات Ag^+ وستحصل على المنحنى (ب) (شكل 1-7) . وفي كلا المنحنيين يمثل تقاطع المنحنى مع محور (س) نقطة النهاية في عملية المعايرة والتي تعطي مباشرة تركيز المحلول المجهول . وتستخدم هذه الطريقة في جميع حالات الترسيب الكمي .



واستخدم بعض العلماء هذه الطريقة في الأنظمة التي تحتوي على سائل-سائل (طورين) ، كما في عملية تقدير تركيز Fe^{2+} في الماء ، والتي تتم من خلال إضافة كمية شحيحة من Fe^{2+} المشع إلى المحلول الذي تعدل درجة حموضته بعد ذلك إلى $pH = 2.0$. ومن ثم يضاف حجم من الكلوروفورم إلى هذا المحلول فيصبح لدينا سائلين متلامسين ، بعد ذلك تبدأ عملية المعايرة لهذا النظام المتنوع مع محلول الأوكزين في الكلوروفورم . يتكون خلال المعايرة معقد الحديد-الأوكزين الذي يستخلص إلى السائل العضوي مباشرة حاملاً معه النشاط الإشعاعي . ويتبع النشاط الإشعاعي للمحلول المائي المنحني (B) وللمحلول العضوي المنحني (C) (شكل 1-7) . وإذا استخلص كل Fe^{2+} إلى السائل العضوي ، وصل النشاط الإشعاعي له إلى قيمة ثابتة لا تتأثر بإضافة المزيد من الأوكزين إلى النظام . وتسمح هذه الطريقة بتقدير كميات صغيرة جداً تصل إلى 10^{-8} جـ (M) ويخطأ لا يتعدى 2-3٪ . وقد نستخدم الناتج الموجب أو السالب في مكان المذيب العضوي ليقوم بعملية الاستخلاص . وهذه الطريقة فائدة كبيرة في طرق التحليل العادية التي تواجه صعوبات بسبب طبيعة الراسب ، كما يمكن أن تتحول إلى طريقة آلية ذات فوائد عديدة .

3-3-7 طريقة التنشيط Activation Analysis

تتمتع طريقة التحليل بالتنشيط بحساسية عالية فهي غير هدامة وتستخدم في التقدير الوصفي والكمي للمكونات الذرية لأي عينة . فهي تشمل بديل بسيط وسهل لطرق التحليل الهدامة المعروفة ، ومن العينات التي يمكن دراسة مكوناتها الذرية بسهولة : خامات المعادن والعينات البيئية والبيولوجية والقطع الأثرية

وغيرها. وتحتاج هذه الطريقة إلى مصدر إشعاع قوي لا يمكن الاستغناء عنه .
وتستخدم في هذه الطريقة خواص التحلل الإشعاعي كنصف العمر
وطريقة التحلل و طاقة التحلل في التعرف على النوى الموجودة . وتم هذه
الطريقة من خلال تشعيع العينة لتكون كمية R من النواة المشعة حسب
العلاقة التالية :

$$R = \psi \phi \sigma N (1 - e^{-\lambda t_{irr}}) e^{-\lambda t_{cool}} \quad (7-2)$$

(t_{cool} زمن التبريد و t_{irr} زمن التشعيع و N عدد ذرات العينة المقدوفة)
وتجري عملية التشعيع بواسطة فيض من الدقائق المتجانسة كما في
النيوترونات في المفاعلات (التحليل بالتشعيط النيوتروني ،
Neutron Activation Analysis NAA) ، وهي من أكثر الطرق
شيوماً .

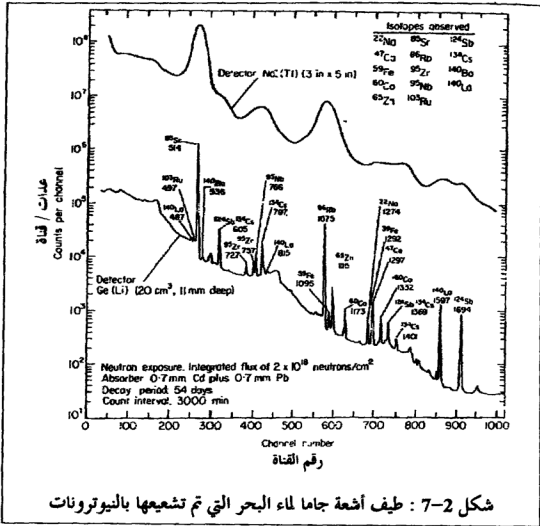
وترتبط أقل كمية من العنصر يمكن الكشف عنها مع حساسية جهاز القياس
 ψ وفيض الدقائق المقدوفة ϕ والمقطع المستعرض للتفاعل σ وزمن التشعيع t_{irr}
(اللازم للوصول إلى حد الإشعاع في النشاط) وثابت التحلل للنوى المشعة المتكونة
 λ . ويلخص الجدول (7-1) حدود الكشف في NAA .

وهناك بعض العناصر (كالعناصر الخفيفة) التي لها حساسية قليلة نحو
القذف بالنيوترونات الحرارية ولهذا تستخدم النيوترونات السريعة (FNNA)
أو الدقائق المشحونة (CPAA) في تشعيها . فتم عملية تحليل الأوكسجين
بالتشعيع بنيوترونات طاقتها 14 MeV ($\sigma = 37 \text{ mb}$) فينتج ^{16}N الذي
يتحلل (ثانية $t_{1/2} = 7.3$) مطلقاً دقائق β وأشعة جاما (6-7 MeV) . ويبين
الشكل (7-2) طيف NAA نموذجي تم الحصول عليه من جهاز متعدد

القنوات مرتبط بكاشف الوميض (المنحنى الأعلى) أو بكاشف الحالة الصلبة (المنحنى الأسفل) . ويمكن تحديد طاقة γ لكل قمة من أجل التعرف على كل نواة . وتتزامن هذه العملية مع التعرف بواسطة كواشف الحالة الصلبة فقط ، فكواشف الوميض NaI(Tl) لا تستطيع ذلك لضعف الاستبانة فيها .

| حدود الكشف | العناصر Elements |
|--------------------------------------|--|
| Limit of detection (μg) | |
| $1-3 \times 10^{-6}$ | Dy |
| $4-9 \times 10^{-6}$ | Mn |
| $1-3 \times 10^{-5}$ | Kr, Rh, In, Eu, Ho, Lu |
| $4-9 \times 10^{-5}$ | V, Ag, Cs, Sm, Hf, Ir, Au |
| $1-3 \times 10^{-4}$ | Sc, Br, Y, Ba, W, Re, Os, U |
| $4-9 \times 10^{-4}$ | Na, Al, Cu, Ga, As, Sr, Pd, I, La, Er |
| $1-3 \times 10^{-3}$ | Co, Ge, Nb, Ru, Cd, Sb, Te, Xe, Nd, Yb, Pt, Hg |
| $4-9 \times 10^{-3}$ | Ar, Mo, Pr, Gd |
| $1-3 \times 10^{-2}$ | Mg, Cl, Ti, Zn, Se, Sn, Ce, Tm, Ta, Th |
| $4-9 \times 10^{-2}$ | K, Ni, Rb |
| $1-3 \times 10^{-1}$ | F, Ne, Ca, Cr, Zr, Tb |
| 10-30 | Si, S, Fe |

جدول 1-7 : حدود الكشف لواحد وسبعين عنصراً (فيض النيوترونات 10^{13} نيوترون/سم² ثانية ولمدة 1 ساعة) .



وإذا تم تشيع مخاليط معقدة مثل العينات الجيولوجية والبيولوجية ظهرت صعوبات عدة في تحديد القمم والتعرف عليها . ولهذا تتم عملية مسح لطيف الطاقة على فترات زمنية لتحديد نصف العمر للقمم من خلال النقص في مساحة القمة مع الزمن . ومن التطبيقات المهمة لـ NAA تحليل المكونات الشحيحة التركيز لكل من الهواء والماء والتربة والعينات الجيولوجية والأنظمة البحرية والبيولوجية . كما يستخدم NAA في العلم الجانبي لقياس مكونات المواد التي تلتصق باليد التي تطلق النار وفي تحديد نوع الطلقات وعددها . وإذا تم تحليل المعادن الشحيحة في النباتات

كان بالإمكان تحديد الأماكن التي زرعت فيها كالمخدرات على سبيل المثال . كما تلعب المكونات الشحيحة للقطع الأثرية والفنية في تحديد مكانها الأصلي وإطلاقها. فعلى سبيل المثال استطاع العلماء من خلال NAA لكونات الدهان المعدنية في اللوحة الهولندية المسماة بـ كرسى وماجلدين "Christ and Magdalen" أن يثبتوا أنها قد رسمت في القرن العشرين وليس في القرن السادس عشر أو السابع عشر . وذلك لأن تركيز Ag أقل من 7 ppm و Sb أقل من 1.33 ppm في الدهان الأبيض الرصاصي بينما كان تركيز Ag من 10-1000 ppm و Sb من 50-230 في الدهان الأبيض الرصاصي المأخوذ من اللوحات الهولندية المرسومة في القرن السادس عشر أو السابع عشر .

يحتوي شعر الإنسان على كميات شحيحة من العناصر مثل Au , Ce , Na و Cu بنسب متفاوتة من شخص إلى آخر . ويمكن استخدام هذه الظاهرة في التعرف على الأشخاص . ومن التطبيقات على هذا وجود كمية كبيرة نسبياً من الزرنيخ في شعر نابليون بونابرت مما يعني حصوله على جرعات كبيرة من الزرنيخ قبل وفاته وأنه كان هناك محاولة لقتله من قبل طبائحه العميل للمملكة المتحدة (بريطانيا العظمى) . ونظراً لحساسية التحليل بالتنشيط العالية فلقد استخدم في دراسة التلوث البيئي .

4-3-7 التصوير الإشعاعي الآلي Autoradiography

تظهر هذه الطريقة توزيع عنصر أو مركب مشع في عينة ما للعين المجردة أو باستخدام الميكروسكوب وذلك من خلال تسويد أفلام التصوير نتيجة تعرضها للإشعاعات النووية . وهناك عدة أمثلة تبين أهمية هذه الطريقة منها.

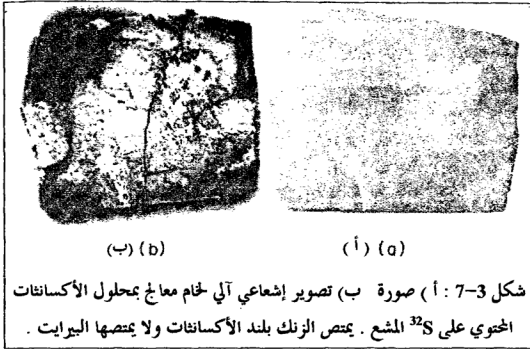
يعتبر الرصاص من الشوائب غير المرغوب فيها في الفولاذ حتى لو كان

بكميات قليلة جداً . ومن أجل معرفة تأثير الرصاص على الفولاذ أضيفت كمية من ^{212}Pb لى مصهور الفولاذ ، وبعد تبريده يتم قطع مسيكة الفولاذ بالنشار ومن ثم صقل سطحها المنبسط آلياً وخدشه في حوض التحليل الكهربائي ليعطي سطح منبسط جداً وبكر . بعد ذلك يضغط فلم التصوير بقوة على سطح المعدن فيعرض للإشعاعات من ^{212}Pb في مكان مظلم ولمدة أسبوع . وبعد تحميض القلم تظهر المناطق المعتمة الأماكن التي يتواجد فيها الرصاص في سطح المعدن ، ووجد أن هناك توزيع منتظم في الفولاذ الصلب وعلى هذا يجب التأكد من خلو المواد الخام من الرصاص في عملية إنتاج الفولاذ .

وإذا كان من الصعب إدخال عنصر مشع بتركيز شحيح إلى داخل المادة شعنا سطح المادة النقي بالنيوترونات أو بالدقائق المشحونة . وهذا سيفيد في تحديد التوزيع لعنصر ما في المادة وفي تحديد مكونات المادة باستخدام التصوير الإشعاعي الآلي وقياس طيف أشعة جاما . وهذه الطريقة مفيدة فقط في تحديد التراكيز الشحيحة في مخلوط بسيط .

ومن الطرق الحديثة المستخدمة لنفس الغرض الميكروسكوب الماسح الإلكتروني والذي يستخدم فلورسنس أشعة إكس الناتجة في التعرف على العناصر . ومن الطرق الأخرى المستخدمة طريقة غمس سطح العينة (معدن أو خامه) المصقول في محلول يحتوي مادة مشعة ، والتي مستفاعل بطريقة انتقائية مع أحد مكونات السطح . ويبين الشكل (3-7) التصوير الإشعاعي الآلي الناتج عن غمس خام ما في محلول إثيل أكسانثات البوتاسيوم الموسوم بالكبريت - 35 (^{35}S) وتتفاعل الأكسانثات انتقائياً مع بلند الزنك ZnS في العينة . ونظراً لقللة طاقة بيتا $E_{\max} = 0.2 \text{ MeV}$ (B) فإن استبانة الصورة الإشعاعية الآلية أفضل . وهذا يشبه

عملية صبغ عينة ميكروسكوب لإظهار جزء معين بوضوح .



وازدادت أهمية التصوير الإشعاعي الآلي في البيولوجي وخاصة في دراسة انتشار وأيض المركبات المعطاة للنبات أو للحيوان .

7-4 الكيمياء غير العضوية والعضوية والحيوية

Inorganic , Organic , and Biochemistry

تلعب العناصر المشعة دوراً مميزاً في دراسة التفاعلات الكيميائية والبيولوجية. وذلك لسهولة التعرف على مكان كل ذرة من خلال تحليلها الإشعاعي وتوفر حساسية كشف كافية . ومن النظائر المشعة التي يمكن تتبعها وعدم فقدتها في خطوات التفاعل الكيميائي ^{14}C و ^{32}P و ^{198}Au والتي قد تكشف تفاصيل تفاعلات الأيض والعمليات الحيوية والتي لا يمكن الكشف عنها بالطرق الأخرى ، وسوف نتطرق إلى بعض النواحي التطبيقية والدراسات المبدئية .

1-4-7 تحديد مسارات التفاعل الكيميائي

Determination of Chemical Reaction Paths

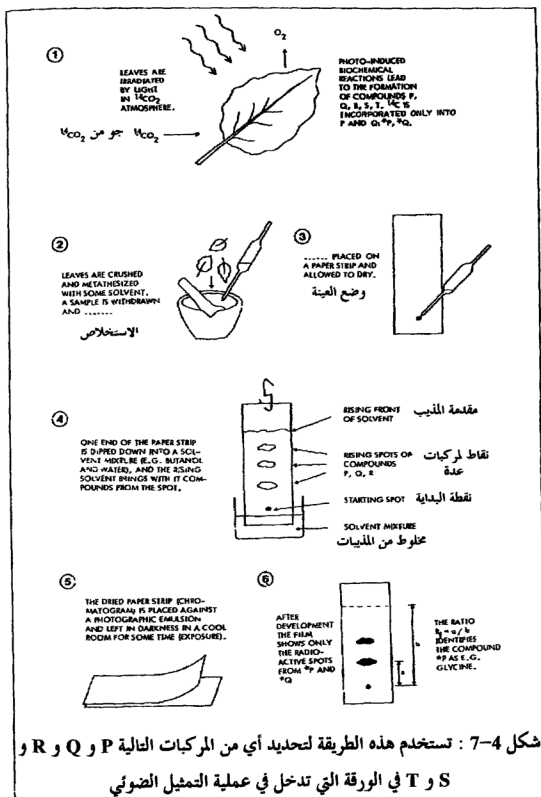
أصبح استخدام النظائر المشعة في دراسة خطوات التفاعل الكيميائي معروفاً ومشهوراً إلى حد كبير . وسوف ندرس بعض الأمثلة على هذا .

إذا تم رسم الفينول بالديوتيريوم أو التريتيوم (T) في مجموعة الهيدروكسيل ومن ثم تم تسخينه إلى درجة حرارة أقل من درجة التفكك لوحظ أن الهيدروجين الموسوم بهاجر من مجموعة الهيدروكسيل إلى أماكن الهيدروجين الأخرى على حلقة البنزين إما بواسطة إعادة الترتيب الجزيئي الداخلي أو من خلال التفاعلات بين الجزيئات . فإذا استعملنا C_6H_5OT و C_6H_4TOH حصلنا على C_6H_4TOT ، ولا يمكن له أن يتكون إلا من خلال الاصطدامات بين الجزيئات ، مما يعني استبعاد إعادة الترتيب الجزيئي الداخلي كآلية لحوث التفاعل .

ومن الأمثلة الرائعة على استخدام النظائر المشعة ، دراسة خطوات التفاعل في عملية التمثيل الضوئي للكربوهيدرات من غاز CO_2 في الجو . وتمثل المعادلة التالية التفاعل الكلي :



ولقد تمكن العالم م. كالفن وزملائه في التعرف على الخطوات الواقعة في الوسط باستخدام ^{14}C و ^{32}P و T (الشكل 7-4) . ويتم وضع النباتات في جو يحتوي على CO_2 الموسوم بالكربون ^{14}C 14 وتسلط الضوء عليه ، بعد ذلك تزال النباتات التي تعرضت للضوء لفترات زمنية مختلفة ثم تفصل المكونات الجزيئية باستخدام أنواع الكروماتوغرافيا المختلفة . إن وجود الكربون المشع في مركب ما دليل على وجوده في عملية التمثيل الضوئي (الشكل 7-4) . وأما الفسفور والهيدروجين فيستدل على وجودهم من خلال الكشف عن النشاط الإشعاعي للفسفور والتريتيوم في المركبات .



7-4-2 تحديد سرعة التبادل الكيميائي

Determination of Chemical Exchange Rate

إذا خلطنا مادتين كيميائيتين مختلفتين ومشتريتين في عنصر ما في المحلول ، فقد يحصل تبادل للمكون المشترك بينهما . ويمكن تمثيل ذلك بالمعادلة الكيميائية (7-4) .



ويبقى تركيز ونوع المواد الكيميائية كما هو دون أي تغيير ، ولا يمكن ملاحظة التبادل إلا إذا وسما الذرات في إحدى المفاعلات . فيمكن تتبع التفاعل إذا استخدمنا X^* كنظير مشع لـ X . وفي حالة الاتزان يتوزع النشاط الإشعاعي بالتساوي بين المادتين الكيميائيتين ، أي أن النشاط النوعي لـ X^* في AX و BX متساوي . وفي حال كانت AX و BX إلكترونات قوية حدث التوزيع المتساوي فور خلطهم . وإذا كانت إحدى المواد المتفاعلة معقد غير عضوي أو جزيء عضوي كان التبادل بطيء في حال حدوثه .

وبما أن الصيغ الكيميائية لم تتغير من خلال التبادل النظيري فإنه لن يكون هناك أي تغيير في المحتوى الحراري ، وسيكون هناك زيادة في الفوضى الكلية للنظام (الأنثروبي الكلية للنظام) نتيجة للانتشار المنتظم لنظير X في جميع أنحاء النظام . وتؤدي هذه الزيادة في الأنثروبي إلى زيادة في الطاقة الحرة ، مما يجعل التبادل النظيري تفاعلاً تلقائياً . وعلى الرغم من هذه التلقائية ، فإن التبادل النظيري قد لا يحدث أو يكون بطيئاً جداً نتيجة لوجود طاقة تنشيط كبيرة وضرورية للوصول إلى الحالة الانتقالية .

وبالرجوع إلى المعادلة (7-4) فإن سرعة زيادة AX^* تساوي سرعة تكونه ناقص سرعة هدمه (تحلله) . وتساوي سرعة تكون الناتج حاصل ضرب سرعة التفاعل K_r في كسر التفاعلات التي تحدث مع BX^* النشاط في كسر التفاعلات

التي تحدث مع AX غير النشط . ومن خلال استخدامنا للرموز التالية :

$$a = [AX] + [AX^*] \quad (أ \text{ 7-5})$$

$$b = [BX] + [BX^*] \quad (ب \text{ 7-5})$$

$$x = [AX^*] \quad (أ \text{ 7-6})$$

$$y = [BX^*] \quad (ب \text{ 7-6})$$

فإن سرعة التكون K_f تساوي :

$$K_f \frac{y(a-x)}{b} \quad (7-7)$$

وسرعة الهدم K_d تساوي :

$$K_d \frac{x(b-y)}{a} \quad (7-8)$$

وإن $\frac{dx}{dt} = \frac{d[AX^*]}{dt}$ وتساوي :

$$\frac{dx}{dt} = K_f - K_d = \frac{K_f}{ab}(ay - bx) \quad (7-9)$$

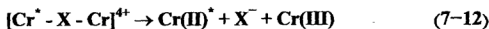
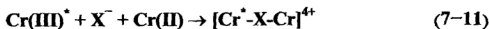
وحل هذه المعادلة (7-9) يساوي :

$$\ln(1-F) = -\frac{(a+b)}{ab} K_f t \quad (7-10)$$

وأما $\frac{x_t}{x_\infty} = F$ تساوي قيمة X_t عندما $t = \infty$ أي عند الاتزان .

وإذا رسمنا $\log(1-F)$ ضد t حصلنا على خط مستقيم ميله يساوي سرعة التبادل K_f . ويستخدم التبادل النظري بشكل رئيسي في دراسة حركات التفاعلات الكيميائية ذات أنصاف الأعمار التي تزيد عن دقيقة . ومن الأمثلة على ذلك التبادل بين الكروميوم الثنائي والثلاثي في محاليل $HClO_4$. فإذا كان تركيز أيون الكروميوم الكلي 0.1 ج (M) احتاج 14 يوماً ليصل التبادل إلى ما نسبته 50٪ عند درجة حرارة

الفرقة . وبما أن شحنة الكروميوم (II) والكروميوم (III) موجبة فإنه من غير المعقول أن يفتروا من بعضهما البعض ليتبادلوا الإلكترون والميكانيكية المقترحة أو المتوقعة مبنية على وجود أيون سالب كجسر بين الأيونين الموجبين فيقلل من قوة التافر بينهما .
وإذا استخدمنا $Cr(III)^*$ النشاط حصلنا على الميكانيكية التالية لتفاعل الاستبدال النظري :



وتدعم هذه الميكانيكية بوجود أيونات سالبة لديها القدرة على تكوين معقدات بسهولة أكثر من أيون البيركلورات . فإذا استخدمنا محلول HCl بدل $HClO_4$ ازدادت سرعة التبادل فوصل نصف زمن التبادل إلى دقيقتين ، وهذا يؤيد الميكانيكية المقترحة لأن لأيونات الكلوريد قدرة أعلى على تكوين المعقدات من أيونات البيركلورات . ويستفاد من الكروميوم المشع في الدلالة على التبادل .

3-4-7 تحديد ثوابت الاتزان

Determination of Equilibrium Constants

ونظراً لحساسية الكشف عن النظائر المشعة ، فلقد استخدمها العلماء في قياس الذائبية للمواد القليلة الذوبان . ولقد أجرى العالمان دي . هافزي وبانيث (عام 1913) أول هذه التجارب لدراسة ذائبية كرومات الرصاص . فأضيفت أيونات الكرومات إلى محلول $PbCl_2$ المحتوي على كمية معروفة من ^{210}Pb فترسب كل الرصاص على هيئة $PbCrO_4$. احتوى الراسب على 2030 وحدة نشاط إشعاعي وكانت كتلته 11.35 ملغم . أي أن النشاط النوعي للراسب $\frac{2030}{11.35}$

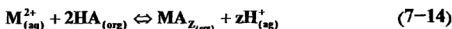
179 وحدة نشاط/ملغم . بعد ذلك أخذ الراسب ووضع في الماء ورج ، فذاب جزء من الراسب فاحتوى اللتر من اغلول على 2.14 وحدة إشعاع . أي أن الذائبة لكرومات الرصاص تساوي $\frac{2.14}{179} = 0.012$ ملغم/لتر أو 3.7×10^{-8} جـ Pb^{2+} ، وإذا كان تركيز $[Pb^{2+}] = [CrO_4^{2-}]$ ، فإن حاصل الذائبة $K_{sp} = (3.7 \times 10^{-8})^2 \approx 1 \times 10^{-15}$ والقيمة المقاسة حديثاً بدقة أكثر 2×10^{-14} .

بعد ذلك ازداد استخدام النظائر المشعة ، فاستخدمت في قياس ثوابت الاستقرار للمعادن β_n والتي تُعرف كالتالي :

$$\beta_n = \frac{[ML_n]}{[M][L]^n} \quad (7-13)$$

حيث حذفت الشحنات للتسهيل (فعلى مسيل المثال $M = Pu^{4+}$ و $L = Cl^-$) وم الطرق المستخدمة في قياس β_n : النظائر المشعة بتركيز شحيح مع الاستخلاص بالمذيب والتبادل الأيوني . وسوف ندرس أولاً الاستخلاص بالمذيب .

إذا كونت المعادن معقدات متعادلة مع المتصلات العضوية فإن هذه المعقدات تذوب في المذيبات العضوية (كالكرومين والبنزين والتولين والكلوروفورم ورابع كلوريد الكربون) حسب المعادلة التالية :



حيث أن HA حامض عضوي ضعيف مثل أستيل أسيتون وأوكسين ودايثازون وحامض داي إيثل هكسيل الفوسفوريك وغيرها . ويتم التحكم بتوزيع المعدن D بين المذيب العضوي والماء من خلال العلاقة التالية :

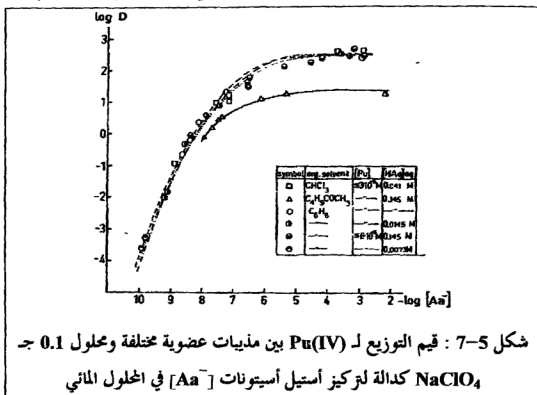
$$\frac{1}{D} = \frac{[\text{المعدن}]}{[\text{المعدن}]} \frac{I_{aq}}{I_{org}} = (\lambda_z \beta_z [A]^z)^{-1} \sum_{n=0}^N \beta_n [A]^n \quad (7-15)$$

وتقاس قيمة D بسهولة باستخدام نظائر المعادن بتركيز شحيح ، و Z الشحنة

(وتساوي 2 لـ Sr^{2+} و 3 لـ La^{3+} و 2 لـ UO_2^{2+} و 4 لـ Th^{4+} وهكذا) ، β_n ثابت الاستقرار للمعدن وتعرف λ_z في حال $n=z$ كالآتي :

$$\lambda_n = [MA_n^{z-n}]_{org} / [MA_n^{z-n}]_{(aq)} \quad (7-16)$$

وتحدد D فقط على [A] وهو تركيز المصلحة الحرة في الطبقة المائية (معادلة 7-15) .



شكل 5-7 : قيم التوزيع لـ Pu(IV) بين مذيبات عضوية مختلفة ومحلول 0.1 جـ $NaClO_4$ كدالة لتركيز أستيل أستونات $[Aa^-]$ في المحلول المائي

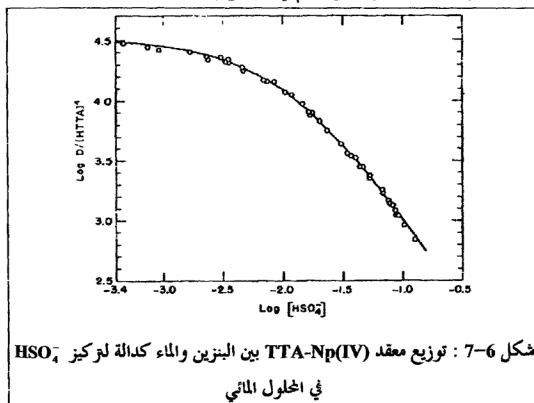
وبين الشكل (5-7) قيم التوزيع المقاسة لـ Pu(IV) بين الماء وثلاث مذيبات عضوية مختلفة كدالة لتركيز أيون أستيل أستونات $[Aa^-]$ في الوسط المائي. وتحسب قيم ثوابت التكوين لـ $PuAa^{3+}$ و $PuAa_2^{2+}$ و $PuAa_3^{+}$ و $PuAa_4$ وقيم λ_z (مثل ثابت التوزيع لـ $PuAa_4$) من المنحنيات الموضحة في الشكل (5-7) .

وإذا احتوى النظام على معقدات MB_p والتي لا تذوب في المذيب العضوي

فإنه بالإمكان استخدام النظام السابق (MA_n) مع المتصلة B^- . فعلى سبيل المثال تم دراسة ارتباط Np^{4+} مع HSO_4^- في نظام المذيبين (الوسطين) ، محلول 0.1 جـ $NaClO_4$ في الماء ومحلول المادة العضوية ثينول ثلاثي فلورو الأسيتون (HTTA) "مادة الاستخلاص" في $CHCl_3$ الكلوروفورم . وفي هذه الدراسة تستخدم العلاقة التالية :

$$\frac{1}{D} = a + b \sum_{p=0}^N \beta_p [B]^p \quad (7-17)$$

حيث أن a و b ثابتين للنظام Np -HTTA (يجب أن لا يتغير تركيز HTTA ولا درجة الحموضة pH) . وتم حساب قيم ثوابت التكوين لـ $Np(SO_4)_2$ و $Np(SO_4)^{2+}$ من القيم في الشكل (7-6) .



وتستخدم هذه العلاقات في الحالات التي قد يصل فيها تركيز المعدن إلى أقل

من 10^{-12} ج . بعد ذلك استخدمت هذه الطريقة في دراسة معقدات العناصر التي تأتي بعد اليورانيوم ، وذلك لعدم الرغبة (تجنباً للإشعاعات) واستحالة استخدام كميات كبيرة من هذه العناصر .

يعتمد التبادل الأيوني على توزيع أيونات المعادن الموجبة بين الماء وراتنج عضوي ذو خاصية تبادل أيوني موجب حسب العلاقة التالية :

$$\lambda_p = \left[\frac{MB_p^{Z-P}}{MB_p^{Z-P}} \right]_{\text{هـ}} / \left[\frac{MB_p^{Z-P}}{MB_p^{Z-P}} \right]_{\text{هـ}} \quad (7-18)$$

حيث أن $P < Z$ وتقاس λ_p بدلالة كمية المعدن لكل غرام راتنج جاف مقسومة على كمية نفس المعدن لكل مليلتر محلول . وفي حال تكون عدة معقدات ($MB^{Z-2}, MB^{Z-1}, \dots$) فإن التوزيع Q للمعدن المشع بين الراتنج والوسط المائي يتبع العلاقة التالية :

$$O = \sum_0^N (Q - \lambda_p) \beta_p [B]^p \quad (7-19)$$

وإذا تم قياس Q كدالة لتركيز $[B]$ ، استطعنا حساب λ_p و β_p . وفي حال كانت $P < 2$ أصبحت هذه الطريقة أكثر تعقيداً من الاستخلاص بالمذيب .

7-4-4 دراسة السطوح والتفاعلات في المواد الصلبة

Studies of Surfaces and Reactions in Solids

أثبتت الدراسات باستخدام النظائر المشعة بتركيز شحيح وجود تبادل سريع جداً بين ذرات المعدن الموجودة على سطحه وأيونات ذلك المعدن في المحلول .

وعلى الرغم من ارتباط التبادل مع سطح المادة الصلبة ، فلقد حدث في خلال دقائق تبادل مع ذرات عمقها مئات الطبقات في سطح المعدن ، ونحصل على عمق اختراق (توغل) النظائر المشعة الممتازة من المحلول من قياس الامتصاص

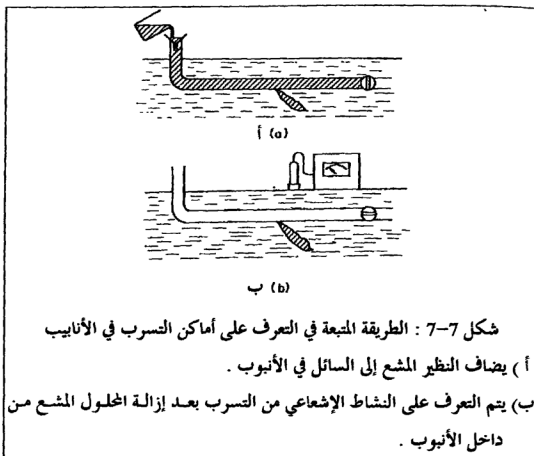
للإشعاع . وبنفس الطريقة يدرس انتشار ذرات ما في القطع الصلبة المكونة من تلك الذرات . فإذا استخدمت بلورات وحيدة من الفضة وعلقت في محلول من نترات الفضة الموسومة بـ ^{110m}Ag ظهرت بوضوح سرعات الانتشار المختلفة في وجوه البلورة المختلفة . وتقاس مساحة سطح المواد الصلبة من خلال امتصاص (امتزاز) النظائر الشحيحة التركيز على السطح .

ولدراسة الامتصاص والانتشار درو مهم في فهم آلية حدوثهما وفي فهم آلية تبلور أو تكون المواد الصلبة الجديدة . وتظهر أهمية ذلك في صناعة الإسمنت والزجاج وفي إنتاج شبه الموصلات وفي صناعة الدهان . ودراسة التفاعلات التي تجري على السطح أهمية عملية في التآكل كالصدأ وفي طلي المعادن وتلميعها وفي كيفية عمل المنظفات .

7-5 جريان السوائل Flow of Liquids

تلعب النظائر الشحيحة التركيز دور مهم في علم المياه Hydrology . وباستخدام المواد والنظائر المشعة التالية T_2O و $^{24}\text{Na}^+$ و $^{82}\text{Br}^-$ و $^{51}\text{Cr-EDTA}$ وغير ذلك من العناصر والمركبات المشعة يمكن قياس حجم المخزون الاحتياطي للمياه الجوفية وحركة المياه السطحية والجوفية . كما تستخدم النظائر المشعة في تحديد استهلاك المياه وجريانها في الصناعات وفي فحص تسرب المياه من السدود والأنابيب .

يبين الشكل (7-7) الطريقة المتبعة في التعرف على أماكن التسرب في الأنابيب وفي دراسة توصيلات الكوابل الكهربائية تحت الأرض باستخدام الغازات المشعة مثل ^{133}Xe , ^{85}Kr .



إنه لمن الصعب قياس حجم السائل في الأنظمة المغلقة من خلال معرفة أبعاد الخزان الخارجية وخاصة إذا كان هناك عملية خلط تجري بطريقة الدوران الخارجي أو التحريك الداخلي ، ومن الأمثلة على ذلك قياس حجم حامض الكبريتيك في مصنع التقعد حيث يكون هناك عملية خلط داخلية كبيرة بين الحامض والهيدروكربون تمنع تحديد المستوى بسهولة ، ولهذا يضاف ^{134}Cs معروف الكمية إلى H_2SO_4 ، ومن خلال التخفيف للنظير المشع نحسب حجم H_2SO_4 الكلي .

وفي حال كان هناك جريان مستمر من وإلى الخزانات ولكمية ثابتة ، استخدمت الطريقة التالية : تضاف كمية معروفة من النظير المشع إلى الخط القادم إلى الخزان ونفترض رياضياً أن هناك عملية خلط كاملة وفي الحال بين الجرى القادم

ومحتويات الخزان ، أي أن هناك نقصان أسي لتركيز النظير المشع ، وتحدد سرعته من الكمية المضافة والحجم حسب المعادلة التالية :

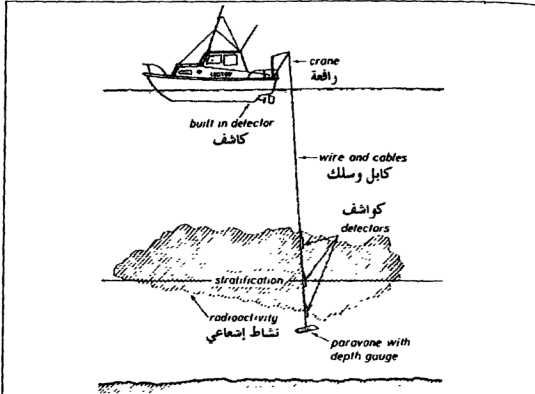
$$R=R_0e^{-Ft/V} \quad (7-20)$$

حيث أن R_0 سرعة العد عند الزمن صفر و t زمن قياس R سرعة العد عند نفس النقطة .

وتقاس سرعة جريان F الأنهار والجداول بواسطة إضافة أو حقن مادة مشعة إلى المياه الجارية ومن ثم يقاس الزمن الذي تحتاجه للوصول إلى كاشف موضوع في أسفل المجرى . فإذا أضيفت الكمية المعروفة (A_0) من المادة المشعة إلى النهر ومن ثم سجل العد الكلي ($R_{\text{كلي}}$) في أسفل المجرى ، فإن سرعة الجريان (F) تساوي :

$$F = \psi \frac{A_0}{R_{\text{كلي}}} \quad (7-21)$$

حيث أن ψ معامل المعايرة والذي يحدد تحت ظروف معروفة ، وتأخذ هذه الطريقة بالحساب عمليات الخلط الطولية والعرضية . ولتجنب عمليات التلوث الخطرة يجب علينا التأكد من أن الفضلات المنزلية والصناعية (غازات وسوائل ومواد صلبة) موزعة توزيعاً منتظماً ، ولمعرفة مواقع التوزيع المختلفة تضاف كمية من نظير مشع إلى موقع الفحص ، ومن ثم تتم عملية التتبع على أعماق وارتفاعات واتجاهات مختلفة (الشكل 7-8) . وقد بينت إحدى الدراسات على المخلفات الصلبة المفرغة في نهر التايغز عند نقطة معينة تحرك هذه المخلفات إلى أعلى المجرى وقد أدى ذلك إلى تغيير في موقع أنبوب التفريغ .



شكل 7-8 : الطريقة المستخدمة في قياس خطوط التيار في مضيق أرسوند في أوروبا

أطلقت تجارب القنابل النووية كميات كبيرة من النظائر المشعة إلى الجو ، وقد نزلت هذه النظائر إلى سطح الأرض بفعل ثقلها أو بفعل الأمطار. واستفاد علماء الجيوفيزياء من هذا التساقط فقاموا بقياس T (HTO ماء) و ^{90}Sr و ^{137}Cs وبعض نواتج الانشطار الأخرى في المياه لمعرفة مسارها وحركتها من اليابسة عبر البحيرات والأنهار إلى البحار وفي دراسة التيارات المائية في المحيطات وعملية التبادل بين المياه السطحية والجوفية . ونتيجة هذه الدراسات تم رسم خارطة دوران المياه في الكرة الأرضية . كما تمت دراسة الأعاصير الموسمية وتكونها من خلال قياس كمية الماء الموجودة في عين الإعصار والمأخوذة من المحيط وذلك لأن تركيز HTO في الجو العادي يختلف عن ذلك في مياه المحيط السطحية.

6-7 بعض استخدامات النظائر المشعة في الصناعة

Some Industrial Uses of Radiotracers

استخدمت الصناعة النظائر المشعة في مجالات متعددة وكثيرة ، ويقدر عدد المصانع المستخدمة بأكثر من 250 مصنعاً في الولايات المتحدة ، منها إنتاج المعادن والكيمائيات والبلاستيك والأدوية والورق والمطاط والفخار والأدوات الزجاجية والطعام والتبغ وغيرها .

كما استخدمت النظائر المشعة في دراسة فعالية الخلط وتأثير الشكل الهندسي للمفاعلات وزمن الإقامة في المفاعلات ومسرعة الجريان ونوعية أعمدة وأبراج التقطير والامتصاص وغيرها .

يعتبر الخلط من العمليات الميكانيكية المهمة في الصناعات ، فالخلط الرديء يؤدي إلى منتجات غير مرضي عنها وإلى مردود قليل ، أما الخلط الزائد عن الحاجة فيؤدي إلى ضياع الوقت والطاقة . ويمكن أن تتابع الاقتراب من الاتزان الخلطي بإضافة نواة مشعة إلى وعاء الخلط أو وسم إحدى المكونات ، وتتم المتابعة من خلال القياسات الخارجية أو من خلال أخذ عينات على فترات زمنية مختلفة . ومن الأمثلة على ذلك عملية خلط الإسمنت مع الرمل والحصى والماء لتعطي الخرسانة والتي تمت من خلال استخدام الحصى المشعة ، وإذا أضيف $^{24}\text{NaHCO}_3$ إلى مصهور الزجاج تبين للدارس مقدار التجانس في المصهور ، واستخدمت مركبات ^{95}Zr العضوية في متابعة التجانس في المنتجات البترولية ، ومن الاستخدامات الأخرى إضافة الفيتامينات إلى الطحين ومسحوق الفحم إلى المطاط . ويقاس نفاذ وانتقال المواد من خلال جعل المادة التي تنفذ مشعة ، ولقد استخدمت هذه الطريقة في تتبع نفاذ واستهلاك القطع الموجودة في محركات السيارات وفي أدوات القطع

وفي مُخَمِّل الكُرَيَات وفي بطانة الأفران وفي كشط الدهان وغيرها ، على أن يكون للسطح الذي ينفذ نشاط نوعي عالٍ . وإذا كان من الصعب تعليم المادة إضافة ذرات مشعة لها (كالطلاء عليها) ، فإنه لا بُد من تشيعيها بواسطة مسارات الدقائق أو المفاعلات .

7-8 تصرف النظائر شحيحة التركيز

Behavior of Trace Concentrations

تشارك ذرات النظير المشع شحيح التركيز في الكثير من التطبيقات مع كمية كبيرة من ذرات نظير غير مشع لنفس العنصر . ويسمى الشريك المستقر بالحامل "Carrier" وذلك لأنه يحمل النشاط الإشعاعي ويؤكد التصرف الكيميائي العادي. فإذا أخذت عينة تتحلل 10^7 تحلل/الدقيقة ونصف عمرها ساعة واحدة فإن عدد ذراتها 1.7×10^9 ذرة ، وإذا كان نصف عمرها سنة واحدة فإن عدد ذراتها 1.5×10^{13} ذرة . فإذا أذيت هذه العينة في لتر من المحلول أعطت التركيزين التاليين 2.8×10^{-15} جـ و 2.5×10^{-11} جـ على التوالي . وقد يختلف التصرف الكيميائي اختلافاً تاماً عند هذين التركيزين بالمقارنة مع التراكيز العالية ، فإذا أضيفت بضع غرامات من نظير غير مشع لنفس العنصر كحامل ارتفعت التراكيز إلى 10^{-3} جـ و 10^{-1} جـ وأصبح التصرف عادي .

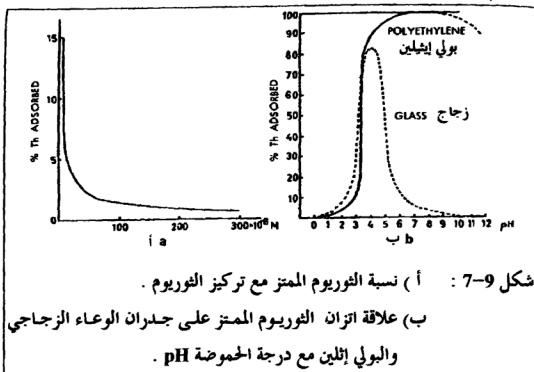
وإذا كان لا بُد من أن يتبع النظير المشع الخواص الكيميائية للنظير الحامل فإنه من الضروري أن يحدث تبادل نظيري بينهما ، وإذا كان التبادل النظيري غير معروف من قبل فلا بد من إثباته بالتجربة قبل أن نفترض تصرفهما الكيميائي المشابه ، وخاصة إذا كان للنظير المشع رقم تأكسد يختلف عن الحامل عند

خلطهما. وسوف ندرس التصرف الكيميائي للنظير المشع شحيح التركيز وذلك لوجود بعض التطبيقات التي يستخدم فيها النظير المشع شحيح التركيز فقط .

1-8-7 الامتزاز Adsorption

للمواد المذابة خاصية الامتزاز على السطح ، فإذا أردنا تغطية السطح الزجاجي الداخلي لوعاء حجمه واحد لتر بطبقة سمكها جزئية واحد من أيون موجب ميه احتجنا إلى 10^{-7} - 10^{-8} مول منه . وبما أن تركيز النظير المشع الشحيح أقل من ذلك فإن جميع الذرات المشعة سوف تمتاز على جدران الوعاء وتعتمد كمية النظير المشع الممتز على جدران الوعاء على تركيزه وصيغته الكيميائية وعلى طبيعة المادة المكونة للوعاء . وبين الشكل (9-7) اختلاف امتزاز الثوريوم على جدران من زجاج ومن بولي إثيلين مع التركيز ودرجة الحموضة .

ويعكس التغير في الامتزاز مع درجة الحموضة امتزاز الأنواع الميهة المختلفة التي كونها الثوريوم كلما ازدادت درجة الحموضة . ويزداد الامتزاز بوجه عام مع شحنة الأيون حسب الترتيب التالي $M^{4+} < M^{3+} < M^{2+} < M^{1+}$. وبين الشكل (b 9-7) أهمية طبيعة السطح بين البولي إثيلين والزجاج . وفي حالة Pm(III) فإن ترتيب الامتزاز كالآتي : بولي فينيل الكلوريد < الفولاذ < الفضة < البلاتين . ويؤدي إضافة النظير الحامل إلى تخفيف النظير الشحيح ، أي أن جزء قليل منه سوف يمتز (الشكل a 9-7) ، ويؤدي التخفيف إلى انخفاض في النشاط النوعي للعنصر المشع وإلى تأثير سلبي في بعض الأنواع من التجارب . ولتجنب النقص في النشاط النوعي تضاف كميات كبيرة من نظير لعنصر آخر يمتاز بسهولة وقد يسد السطوح المتوفرة لامتزاز النظير الشحيح .



شكل 9-7 : أ) نسبة الثوريوم الممتز مع تركيز الثوريوم .

ب) علاقة اتزان الثوريوم الممتز على جدران الوعاء الزجاجي

والبولي إيثيلين مع درجة الحموضة pH .

وكما تمتز النظائر المشعة على جدران الأوعية فإنها تمتز على الرواسب الموجودة في النظام . وتعتمد الكمية الممتزة على طبيعة الراسب وصيغته وشكله وطريقة ترسيبه . فإذا تم ترسيب يوديد الفضة من محلول فيه زيادة في أيونات الفضة كان للراسب سطح موجب لوجود أيونات فضة زائدة على السطح . ويحدث العكس إذا تم الترسيب من محلول يحتوي على أيونات اليوديد السالبة الزائدة . وعند إضافة تركيز شحيح من الرصاص المشع إلى كل منهما في الماء ، تبين أن الراسب الحامل للشحنة السالبة على سطحه يمتز أكثر من 70% من أيونات الرصاص الشحيحة بالمقارنة مع الراسب الحامل للشحنة الموجبة على سطحه والذي يمتز أقل من 5% . وتزداد كمية الامتزاز مع الشحنة الأيونية للنظير المشع الشحيح، فعلى سبيل المثال يمتز حوالي 7% من Ra^{2+} و 75% من Ac^{3+} و 100% من Th^{4+} على راسب Ag_2S (كبريتيد الفضة) .

وتنص قاعدة بانيث وفاجان **The Paneth and Fajans rule** لامتماز النظائر شحيحة التركيز على "تمتاز المكونات الصغيرة (القليلة) على المكونات الكبيرة (الكثيرة) الصلبة أو ترسب معها إذا كونت مع أحد أيونات المكونات الكبيرة مركب غير ذائب".
 واستخدم العلماء خواص الامتماز للعناصر الشحيحة في عزلها وفي فصلها عن بعضها البعض بناءً على خواص امتزازها .

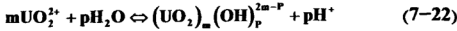
2-7-8 Radiocolloids الغرويات المشعة

بالإضافة لامتماز العناصر المشعة شحيحة التركيز على سطوح الأوعية الصلبة والرواسب فإنها تمتز على أي نوع من المواد الصلبة المعلقة أو الملامسة للمحلول . ومن الأمثلة على ذلك الغبار وألياف السليولوز وقطع الزجاج والمواد العضوية وغيرها . وإذا احتوى المحلول على جزيئات كبيرة مثل نواتج تميّة الفلزات المبلّمة فإنها ستمتاز العناصر الشحيحة . ويؤدي وجود هذه المواد إلى ظاهرة تكون الغرويات المشعة **Radiocolloid formation** حيث تتجمع الأنوية المشعة مع بعضها البعض مكونة تجمعات شبه غروية في المحلول . ولقد درست هذه الظاهرة بالتفصيل بطريقة سرعة الانتشار وطريقة التصوير الإشعاعي الآلي . ولتجنب تكون الغرويات المشعة ، تحفظ المحاليل عند درجة حموضة pH منخفضة ونقية من الدقائق الكبيرة الغريبة .

3-7-8 Equilibrium Reactions اتزان تفاعلات

يؤدي التركيز المنخفض للعناصر المشعة الشحيحة إلى تكون كميات مختلفة من المواد المذابة من تلك المعروفة عند اتزان المواد ذات التركيز العالي . فعلى سبيل

المثال تتميه أيونات اليورانيل حسب الاتزان التالي :



فإذا كان تركيز اليورانوم عالٍ انزاح الاتزان إلى اليمين مكوناً بوليمرات ذات خواص مختلفة عن أيون اليورانيل UO_2^{2+} . وعند تركيز اليورانوم 0.001 جـ و $\text{pH} = 6$ يتبلر اليورانوم بنسبة تزيد عن 50٪ ، بينما يتعدم التبلر تقريباً عندما يصل تركيز اليورانوم إلى أقل من 10^{-6} جـ . ويختلف موضع الاتزان بين الكميات الكبيرة للمواد والكميات الشحيحة للمواد وتستخدم هذه الحقيقة في دراسة خواص أيون معدن ما عند درجات الحموضة العالية وبعيداً عن تفاعلات البلورة .

وقد تظهر تعقيدات إضافية في المحلول نتيجة لتفاعل المواد المشعة شحيحة التركيز ، فعلى سبيل المثال ، عندما درست خواص البروتاكينيوم الخماسي Pa(V) وجد أنه يستخلص إلى الأكسيلين النقي من محلول 1 جـ HClO_4 وذلك لوجود شوائب عضوية في الأكسيلين وبتراكيز أقل من التي يمكن الكشف عنها . ولإثبات هذا أضيف الثوريوم بتركيز 10^{-4} جـ إلى المحلول لأنه يكون معقدات مع هذه الشوائب وفعلاً لم يستخلص البروتاكينيوم إلى الأكسيلين .

7-8-4 الترسيب والتبلور

Precipitation and Crystallization

نظراً لانخفاض تركيز المواد المشعة شحيحة التركيز في المحلول فإنه من النادر أن نتعدى حاصل الذائبية للمح ما نتيجة لإضافة تراكيز عالية من أيون ما مضاد . فعلى سبيل المثال إذا كان لدينا 5 كوري/ليتر من ^{212}Pb والذي يساوي 1.7×10^{-4} جـ وأضيف إليه أيون الكبريتات بتركيز 10 جـ فلن يتعدى ذائبية

كبريتات الرصاص . وفي حال تعدى حاصل الذاتية فلن يلاحظ الترسيب ، ومن الأمثلة على ذلك كبريتيد الرصاص PbS والذي له حاصل ذاتية $K_{sp} = 10^{-28}$ ، فإذا كان تركيز $[Pb^{2+}] = 1.7 \times 10^{-14}$ جـ وتركيز $[S^{2-}] = 1$ جـ فمن المتوقع أن يترسب PbS ولكنه لا يلاحظ لوجوده على الشكل الغروي لانخفاض التراكيز وإذا استخدمت طريقة الطرد المركزي فإن كمية الراسب قليلة جداً لا يمكن وزنها بالطرق المعروفة .

ومن الممكن فصل الأيونات الموجودة بتركيز شحيح من المحاليل بالترسيب مستخدمين الامتزاز أو الترسيب المشترك . ويحدث الترسيب المشترك إذا كان المركب الشحيح وأيون الراسب ذو الشحنة المعاكسة تركيب بلوري مشابه للراسب . فقد يدخل الأيون النشط الشبكة البلورية للراسب عند نقطة شبكية ما وخاصة إذا كان حجم الأيون الشحيح قريب جداً من حجم الأيون الذي يحل مكانه . ومع ذلك فلقد وجد في حال كانت التراكيز شحيحة استثناء لمطلب التشابه في الحجم والتركيب البلوري . وإذا كان توزيع الشحيح متجانس في جميع أنحاء الراسب وصف بقانون التوزيع المتجانس التالي :

$$\frac{X}{Y} = D' \left(\frac{a-x}{b-y} \right) \quad (7-23)$$

حيث تمثل X و Y كمية كل من A^+ و B^+ في الراسب وتمثل a و b التركيز الأولي لهذين الأيونين ، وأما D' فهو معامل التوزيع ، ويساوي ثابت التوزيع الحقيقي $D = \text{تركيز الشحيح في الصلب} / \text{تركيز الشحيح في المحلول}$ ، ويرتبط مع معامل التوزيع D' من خلال معامل التحويل C .

$$D' = DC \quad (7-24)$$

ويساوي معامل التحويل = غم مذاب لكل مل من محلول الحامل الصلب

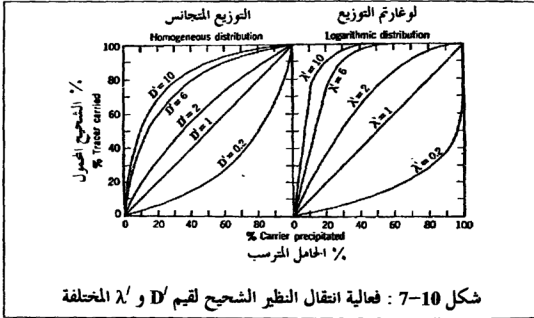
كثافة الصلب

أي أن هناك اتزان بين كل من الراسب والمحلل .

وإذا كان هناك اتزان بين السطح المكون حديثاً للبلورة النامية والمحلل فلن يلاحظ التوزيع المتجانس . ويوصف النظام في هذه الحالات بقانون التوزيع اللوغاريتمي التالي :

$$\ln\left(\frac{a}{a-x}\right) = \lambda' \ln\left(\frac{b}{b-y}\right) \quad (7-25)$$

حيث أن λ' معامل التوزيع اللوغاريتمي وقيمته ثابتة لكل نظام (الشكل 10-7) .



وتظهر أهمية التشابه البلوري في الترسيب المشترك (الإسهامي) لأيون Ra^{2+} الشحيح مع Sr^{2+} في نترات السترنشيوم عند 34°م ، وذلك بسبب التشابه البلوري بين $Ra(NO_3)_2$ و $Sr(NO_3)_2$ وفي حال أجريت التجربة عند 4°م فيترسب السترنشيوم على هيئة $Sr(NO_3)_2 \cdot 4H_2O$ المختلف بلورياً عن $Ra(NO_3)_2$. مما يعني عدم حدوث الترسيب المشترك للرايديوم عند 4°م .

7-8-5 الخواص الكهروكيميائية

Electrochemical Properties

تخزل المادة الكيميائية M_{OX}^{Z+} إلى المادة الكيميائية الأخرى M_{red}^{Z-n} حسب معادلة الاتزان التالية :



وإذا طبقنا معادلة نيرنست على المعادلة (7-26) حصلنا على ما يلي :

$$E = E^0 + \frac{RT}{nF} \ln \left[\frac{M_{OX}^{Z+}}{M_{red}^{Z-n}} \right] \quad (7-27)$$

ويرمز القوس المربع إلى النشاط الكيميائي لكل من M_{OX}^{Z+} و M_{red}^{Z-n} ، وأن E^0 جهد الخلية المعياري . ولا يعتمد جهد التأكسد والاختزال E على التراكيز الكلية للمواد ويعتمد فقط على النسبة بين المواد المتأكسدة والمختزلة . ولقد ثبت هذا عملياً من خلال التجارب التي أجريت على تراكيز شحيحة للأيونات وعلى تراكيز كبيرة وأظهرت أن لهما نفس التصرف . فمن الممكن إجراء تجارب تفاعلات التأكسد والاختزال في المحاليل باستخدام التراكيز الشحيحة من المواد المشعة .

ويستخدم التحليل الكهربائي في الترسيب الكهربائي لمعدن شحيح على قطب ما . وفي هذه الحالة نقتصر إلى الانتقائية في الترسيب الكهربائي عند جهد مضبوط والموجودة عند التعامل مع التراكيز العالية من الأيونات . وتعتبر قيمة النشاط للمواد الموجودة بكميات شحيحة من القيم المجهولة حتى لو كان التركيز معروف ، وذلك لاعتماد معامل النشاط على تصرف نظام الإلكترونات المختلط ذو النظرية الكيميائية الفقيرة لحد الآن . إضافة إلى ذلك فإنه من الصعب تحديد تركيز المواد الشحيحة في المحلول نتيجة لاحتمالية الامتزاز وتكون معقدات مع الشوائب والتي تؤدي إلى نقص في

التركيز . وعلى الرغم من كل هذا تستخدم معادلة نرنست بحذر في حساب الظروف الضرورية لترسيب المعادن الشحيحة كهربائياً على الأقطاب .
كما يمكننا ترسيب مواد غير ذائبة على الأقطاب ، فعلى سبيل المثال ينتج عن التحليل الكهربائي لحلول فلوروسليكات تركيز عال من أيون الفلوريد على القطب مما يؤدي إلى ترسيب طبقة متجانسة ورقيقة من UF_4 .

7-9 طرق فصل المواد الشحيحة التركيز

Tracer Separation Methods

تستخدم كل طرق التحليل المستخدمة في الكيمياء التقليدية في فصل وعزل العناصر والمركبات المشعة . وفي العادة نحتاج إلى إضافة كمية كبيرة من نظير حامل، إلا أن هناك بعض طرق التحليل الخاصة في فصل وعزل العناصر شحيحة التركيز الخالية من الحامل . ومن هذه الطرق الاستخلاص بالمذيب وأنواع مختلفة من كروماتوغرافيا التجزئة نظراً لانتقائيتها وسهولتها وسرعتها .

7-9-1 الاستخلاص بالسائل-السائل

Liquid-Liquid Extraction

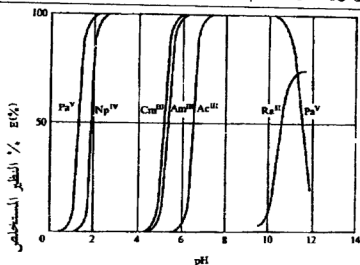
يعرف الاستخلاص بالسائل-السائل (أو بالمذيب) على أنها طريقة للنقل الانتقائي لمواد من مخلوط في محلول مائي إلى طبقة عضوية من خلال التوصل إلى اتزان بين الطبقة المائية ومذيب عضوي ذو تكوين مناسب . ويحتوي الطور العضوي في العادة على مادة المستخلص A والتي تكون المركب المتبادل MA_N مع المادة M، والتي مستقر من الطور أو الطبقة المائية . ولقد درسنا في (3-4-7) بعض الشروط اللازمة لاستخلاص المعادن . وكثيراً ما يصاحب المركب المتبادل الماء أو مادة متعادلة أخرى .

وفي حال كانت المادة غير الماء كسبت الصيغة كما يلي $MANsS$ وترمز S إلى المادة المضافة . وتلعب المذبية وناتج الإضافة دور مهم في استخلاص مركبات المعادن .

تستخدم المحاليل العضوية للأمينات الثالفة في استخلاص الأيونات السالبة والمحاليل العضوية لقوسفات الألكيل والقوسفات وثنائي الكيوتونات في استخلاص الأيونات الموجبة . ويوزم للجزء (الكس) المستخلص عند تساوي حجم الطورين بـ E والتي تساوي :

$$E = D(D+1)^{-1} \quad (7-28)$$

ولقد عرفنا D فيما سبق (معادلة 7-15) ، وتغير قيمة D مع تركيز المواد ومكونات المذيبات ودرجة الحموضة والقوة الأيونية للطور المائي ودرجة حرارة النظام ... إلخ . وبين الشكل (7-11) الاستخلاص لعدد من المعادن إلى الكلوروفورم بواسطة 8-هيدروكسي كوينولين . وتستخدم هذه المنحنيات في تحديد أفضل ظروف الفصل .

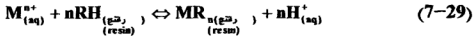


شكل 7-11 : علاقة نسبة النظير المستخلص من محاليل الترات المائية التي لها درجات حموضة مختلفة بواسطة 0.1 جـ 8-هيدروكسي كوينولين (أو كرين) في الكلوروفورم . $pH_{1/2}$ لـ $V(IV)$ و $Fe(III)$ هي 0.5 ولـ $U(VI)$ 2.6 ولـ $Th(IV)$ 3.1 . $pH_{1/2}$ هي درجة الحموضة التي يستخلص عندها 50% .

7-9-2 كروماتوغرافيا التبادل الأيوني

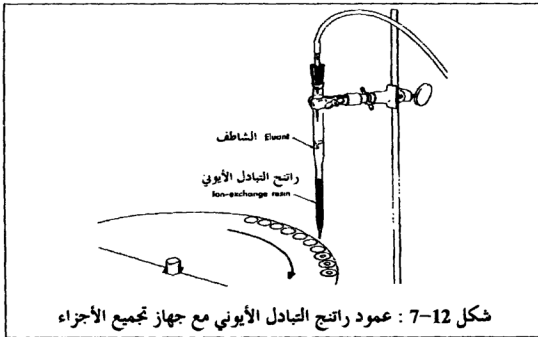
Ion Exchange Chromatography

تتكون راتنجيات التبادل الأيوني العضوية الصلبة من شبكة بوليمرية عضوية تحتوي هذه الشبكة على مجموعات حامضية أو قاعدية مرتبطة مع الهيكل العضوي. ويكتب تفاعل الاستبدال الكلي الحاصل في المبادلات الأيونية الموجبة الحامضية كما يلي :

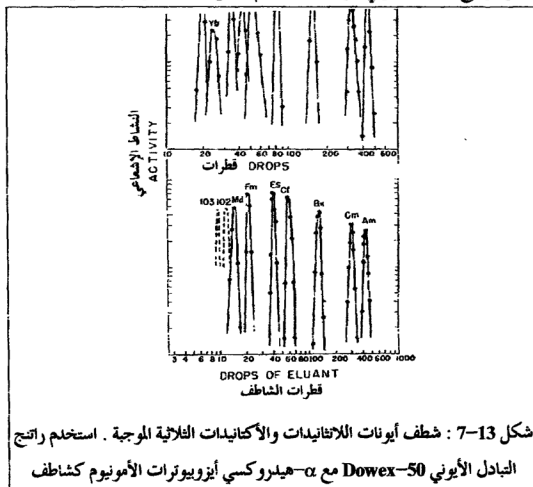


$$K_{ex} = \frac{[MR_{n(resin)}][H^{+}_{(aq)}]^n}{[M^{n+}]_{(aq)}[RH]_{resin}^n} \quad (7-30)$$

ويعتمد ثابت الاتزان لهذا التفاعل (7-29) على الخواص النوعية لمادة التبادل الأيوني ، مثل كمية الوصلات المستعرضة في الشبكة البوليمرية وعلى حدود انحلال كطبيعة أيون المعدن والقوة الأيونية للمحلول ودرجة الحرارة ... إلخ . ويزداد التميزر في الطور الراتنجي مع تكافؤ الأيون الموجب ، فلهاذا تفضل الأيونات متعددة التكافؤ بقوة أكثر من ثنائية التكافؤ أو أحادية التكافؤ .



وعملياً تتميز المادة المشعة في الطبقة العليا من العمود المحتوي على راتنج التبادل الأيوني الموجب أو السالب معتمدة على نوع الراتنج المستخدم . بعد ذلك يتم شطفها . لإزالتها من الراتنج بمحلول يمر عبر عمود الراتنج يسمى بالشايط (eluant) (شكل 7-12) . وقد يتم الشطف باستخدام أيون لمعدن آخر (مثل M^{3+}) ، والذي يؤدي إلى إزاحة اتران تفاعل التبادل من خلال المنافسة مع M^{+} على المواقع في الراتنج ، أو من خلال إضافة أيون تعقيد سالب إلى المحلول فيرتبط مع M^{+} ويؤدي إلى نقصان في تركيز M^{+} وهذا سيؤدي إلى إزاحة الاتران (معادلة 7-29) إلى اليسار . وبين الشكل (7-13) ترتيب الشطف الناتج عن فصل الأثانيدات والأكتانيدات موجبة الشحنة من عمود راتنج التبادل الأيوني الموجب باستخدام عميل تعقيد **Complexing agent** .



ولقد استخدم راتنج التبادل الأيوني الموجب كثيراً في فصل وإثبات الشخصية الكيميائية للعناصر التي تأتي بعد البلوتونيوم .

3-9-7 كروماتوغرافيا الفصل العمودي

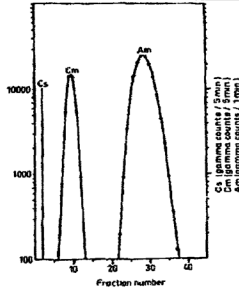
Column Partition Chromatography

ينظر العلماء إلى هذه الطريقة على أنها استخلاص سائل-سائل إلا أنها تتميز بوجود أحد أطوار السائل ثابتاً ومعلقاً بمادة داعمة والطور الآخر متحركاً .

وأما كروماتوغرافيا الفصل السائل

Liquid partition chromatography (LPC)

فإنها تنفذ من خلال ثبات أحد الأطوار ، المائي أو العضوي ، وفي حال كان الطور العضوي هو الثابت سميت هذه الطريقة بكروماتوغرافيا الفصل السائل ذو الطور العكسي **Reversed phase** ويثبت الطور المائي من خلال امتزازه على جل السليكا أو مسحوق السيليلوز ... إلخ. ولتثبيت الطور العضوي تستخدم كرات صغيرة (50-200 مايكرومتر) من بولي فينيل كلورايد PVC أو التفلون ... إلخ . وتظهر فائدة LPC الطور العكسي في الكيمياء المشعة لفصل عناصر الأثنائيدات والأكتانيدات كل على حده أو عن بعضها البعض ، ويتكون الطور الثابت فيها من ثلاثي بيوتيل الفوسفات (TBP) أو ثنائي - 2- إيثيل هكسيل حامض الفوسفوريك (HDEHD) ... إلخ .



شكل 14-7 : فصل الأمريسيوم والكوريوم بواسطة كروماتوغرافيا الفصل ذو الطور العكسي ، واستخدام نترات ثلاثي لوريل أمين (TLMANO_3) الممتز على Kel-F مع الشاطف 4 جـ LiNO_3 عند $\text{pH} = 2.0$

ويثبت الطور الثابت في مكان في العمود تماماً كما في التبادل الأيوني . ويبين الشكل (14-7) عملية فصل Am^{3+} من Cm^{3+} بواسطة LPC الطور العكسي . وتزداد سعة وفعالية هذه الطريقة من خلال العمل تحت ضغط (30-400 ضغط جوي) ودرجة حرارة عالية وباستخدام داعم مقسم إلى دقائق ناعمة جداً (5-10 ميكرومتر) .

4-9-7 كروماتوغرافيا الفصل الطبقي

Sheet Partition Chromatography

تستخدم هذه الطريقة صفحة من الورق لدعم الطور الثابت (الكروماتوغرافيا الورقية) أو مادة ممتزة مطلية على لوحة من الزجاج (كروماتوغرافيا الطبقات الرقيقة) . ولهذا الطريقة ميزة على طرق الفصل بالعمود

وذلك لأنه من السهل التعرف على موقع المواد المشعة إما بواسطة التصوير الإشعاعي الآلي أو بواسطة أجهزة المسح .

تشتمل طريقة عمل الكروماتوغرافيا الورقية على الخطوات التالية :

(أ) توضع عدة قطرات من المادة المراد فصلها (أيون معدن أو جزيء عضوي ...

إلخ) على بُعد بضع سنتيمترات من نهاية القطعة الورقية .

(ب) تعلق القطعة الورقية عمودياً ويغمر أسفلها بالخلول بحيث تكون النقاط التي وضعت في (أ) في أسفلها وفوق مستوى الخلول .

(ج) تدفع الخاصية الشعرية بالخلول إلى أعلى إلى أن يلامس المواد الممتزة الموضوعة في (أ) .

(د) تتحرك المواد من نقطة البداية مع الخلول إلى أعلى ، وتعتمد المسافة المقطوعة على نوع الورق والخلول المستخدم والخواص الكيميائية للمادة .

ويعطى لكل مادة قيمة R_f خاصة بها وتساوي :

$$R_f = \frac{\text{المسافة التي يقطعها المركب المقصود}}{\text{المسافة التي تقطعها مقدمة السائل}} \quad (7-31)$$

ويستخدم في حال الأيونات المعدنية مخلوط من الأسيتون و HCl المخفف ،

وأما في حال المواد العضوية فيستخدم خلوط من الفينول والماء أو من أستيل أسيتونات والماء . وبين الشكل (4-7) هذه الطريقة بالتفصيل .

تستخدم طريقة كروماتوغرافيا الفصل الطبقي الرقيق بطريقة (TLC)

Thin layer partition chromatography مماثلة للكروماتوغرافيا الورقية .

كما أن لها استخدام واسع لأنها غير محدودة لدعم السيليلوز . وتثبت أي مادة ممتزة على شكل طبقة رقيقة (1-5 ميكرومتر) على لوحة من الزجاج كجمل السليكا والسيليلوز الناعم والمسحوق والألومينا ... إلخ .

كما يستخدم في بعض الأحيان مجال جهد كهربائي لتحسين الفصل (الكزوفريسز electrophoresis) وخاصة في الفصل الانتقائي للسكريات وللأحماض الأمينية .

الأسئلة :

(1) أخذ 15.0 مل من دم مريض ما وخلطت مع حجم صغير جداً من $\text{Na}_2\text{H}^{32}\text{PO}_4$ ذو النشاط النوعي العالي . بعد ساعة من الخلط حيث تأخذ كريات الدم الحمراء كل ^{32}P . أخذ 1 مل من المخلوط فوجد أنه يحتوي على 216000 تحلل/دقيقة (عد/دقيقة) . ثم حقن المريض بخمس مليلتر من المخلوط وانتظرنا نصف ساعة ، بعدها سحبت عينة جديدة فوجد أن لكل 10 مل منها 2300 تحلل/دقيقة . احسب حجم الدم في جسم المريض .

(2) أخذ 1 مل من مخلوط من أحماض أمينية (الكثافة 1 غم/مل) وأضيف إليه 2.61 ملغم من السيستئين الموسوم ^{32}S والذي له نشاط نوعي 0.862 ميكروكوري/ملغم . بعد ذلك فصل 30.6 ملغم من السيستئين النقي من المخلوط الكلي ووجد أن لها نشاطاً إشعاعياً يساوي 169000 تحلل/الدقيقة وبفاعلية كشف 27٪ . ما هي نسبة السيستئين في المخلوط الأصلي ؟

(3) أخذت عينة من الدهان وأذيت في حامض النتريك المركز ثم أضيف إلى المحلول 5 مل من محلول ^{212}Pb . وبعد تبخير الحامض الزائد أضيفت كمية زائدة من 1 ج NaCl ثم سخن المحلول ورشح . وبعد أن برد المحلول وتبلور PbCl_2 ، أخذ 0.3276 غم من البلورات لقياس النشاط الإشعاعي فوجد أنها تعطي 185160 تحلل/ 5 دقائق . وأما 1 مل من محلول ^{212}Pb الأصلي فله 57000 تحلل/دقيقة والإشعاع الخلفي له 362 تحلل/دقيقة . احسب نسبة Pb (الرصاص) في الدهان .

(4) ما هي أصغر كمية من الأنديموم (In) يمكن تحديدها في 100 ملغم من الأنيوم باستخدام NAA والذي له فيض من النيوترونات يساوي 10^{12} نيوترون/ثانية . سم² . افترض أن لـ ^{27}Al و ^{115}In نفس القدرة على إمساك النيوترونات ، فلنفاعل $^{115}\text{In} \xrightarrow{(\gamma,n)} ^{116}\text{In}$ ($\sigma = 45\text{b}$) ، وإن أقل نشاط لـ ^{116}In يمكن الكشف عنه 10

تحلل/ثانية ، وأن لا يتعدى التشويش من ^{28}Al ما نسبته 20٪ .

(5) أخذت عينة من شهب ، ودرست لتحديد كمية الجاليوم في حديد الشهب . فأخذ 373.5 ملغم من حديد الشهب (أ) و 10.32 ملغم أو كسينات الجاليوم (ب) وتم تشعيهما في مفاعل لمدة 30 دقيقة . وبعد فترة تبريد أخذ (أ) وأذيب في HCl المركز وأضيف إليه 4.53 ملغم من Ga^{3+} غير المشع . بعد ذلك أجريت بعض الخطوات الكيميائية ونجم عن ذلك ترسيب 25.13 ملغم من أو كسينات الجاليوم (أ) . ثم أخذت العينة (ب) وأذيت وأضيف إليها الماء إلى 50 مل ، ثم سحب 0.50 مل وأضيف إليه 4 ملغم من Ga^{3+} غير المشع ورسبت أو كسينات الجاليوم (د) ، فإذا أعطى منحنى التحلل الإشعاعي خطين مستقيمين، $\log R_3 = 3.445 - 0.0213t$ ، $\log R_2 = 3.401 - 0.0213t$ ، فما هي كمية الجاليوم في العينة (أ) .

(6) أخذ 10 غم من يودو البنزين وخلطت مع 100 مل من 1 جـ KI اختوي على 2500 تحلل/دقيقة من ^{131}I لمدة ساعتين . ثم فصل يودو البنزين فوجد أن له نشاطاً إشعاعياً يساوي 250 عد/دقيقة ، فما هي نسبة ذرات اليود في يودو البنزين والتي تم استبدالها مع محلول اليوديد .

(7) احسب ثابت التوزيع لمركب أستيل أميتونات البلوتونيوم المتعادل بين

(أ) CHCl_3 و 0.1 جـ NaClO_4 .

(ب) مثل إيزوبيوتل كيتون و 0.1 جـ NaClO_4 .

(ارجع إلى الشكل 5-7) .

(8) اقترح العلماء طريقة بسيطة لحساب ثوابت الاستقرار β_n مستخدمين

العلاقات التالية :

$$K_n = \frac{\beta_n}{\beta_{n-1}} = [A_n]_{\bar{n}=n-0.5}^{-1}$$

$$\bar{n} = N - d(\log D)/d(\log [A_n])$$

و

وفي حال Pu^{4+} فإن $N=4$.

قدر قيم β_n مستخدماً منحني البنزين في الشكل (5-7) .

(9) أراد أحد الأشخاص حساب حجم السائل المتبقي في خزان ترسيب مغلق حجمه الكلي 80 م³ ومستخدماً في ترسيب $CaSO_4$. فأضاف 0.5 مل من $^{24}Na_2SO_4$ (نشاطه النوعي 3.2×10^8 $\frac{\text{تحلل}}{\text{نقطة.مل}}$) إلى الخزان وبعد ساعتين من الترسيب أخذ 10 مل وقيس النشاط الإشعاعي لها فوجد أنه يساوي 500 تحلل/دقائق . احسب حجم السائل الخُر في الخزان .

(10) احسب جهد الترسيب الخارج $(E-E^0)$ لـ 10^{-12} جـ من ^{210}Bi على قطب من الذهب من معادلة نرنست ، علماً بأن النشاط الكيميائي لمعدن البزموت يساوي واحد .

(11) يحتوي خام ما على اليورانيوم وكمية صغيرة من الفناديوم ، ولتحديد تركيز الفناديوم لابد من فصله عن اليورانيوم . فإذا استخدم الاستخلاص بالمذيب و0.1 جـ 8-هيدروكسي كوينولين في الكلوروفورم ، فأَي منهم سيتخلص من الآخر ؟

وعند أي درجة حموضة pH ؟ . (ارجع إلى الشكل 11-7) .

(12) يحتوي أحد أنظمة الاستخلاص بالمذيب على اليورانيوم واللاتانوم في 1 جـ HNO_3 و 100% TBP ، وكانت قيمة $D_n = 20$ وقيمة $D_{La} = 0.07$.

فإذا كانت نسبة الأطوار $\theta = \frac{\text{حجم العضوي}}{\text{حجم المقي}} = \frac{V_{org}}{V_{aq}} = 0.5$ ، فكم كمية اليورانيوم المستخلص من الطور المائي من خلال ثلاث عمليات استخلاص ؟ وكم كمية اللانثانوم المستخلص مع اليورانيوم ، علماً أن الجزء (الكسر) المستخلص باستخدام n حجم عضوي (V_{org}) من حجم مائي واحد (V_{aq}) يساوي :

$$E_n = 1 - (1 + D\theta)^{-n} \quad (7-32)$$

الفصل الثامن

الطاقة النووية

NUCLEAR ENERGY

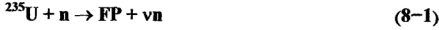
8-1 مقدمة

بعد أن اكتشف العلماء هامن وستراسمن وميتزر الانشطار النووي لليورانيوم بالنيوترونات وأن عدد النيوترونات المنطلقة من الانشطار أكثر من واحد ، فكر الكثير منهم ببناء أنظمة تفاعل متسلسل للحصول على كمية كبيرة من الطاقة النووية تحت ظروف مسيطر عليها . ولقد بني أول هذه الأنظمة في مدينة شيكاغو الأمريكية في بداية عام 1940 بقيادة العالم أي . فيرمي . وفي عام 1942 أصبح هذا المفاعل النووي جاهزاً للعمل كجزء من مشروع منهاتن **Manhattan Project** . ومنذ ذلك الوقت بني المئات من المفاعلات النووية في جميع أنحاء العالم للأبحاث أو لإنتاج البلوتونيوم أو لإنتاج الطاقة . ولقد بلغ عدد محطات توليد الطاقة النووية 218 في عام 1978 وبقوة 103 GWe ، وموزعة كالاتي : 69 في الولايات المتحدة الأمريكية (486 GWe) و 82 في أوروبا الغربية (30 GWe) و 27 في ما كان يعرف بالاتحاد السوفياتي (7 GWe) . وهناك الآن 380 محطة (360 GWe) تحت البناء أو التصميم .

ولقد بلغت مساهمة الطاقة النووية في إنتاج الكهرباء بحوالي 22٪ في السويد و 17٪ في الولايات المتحدة و 7٪ في المملكة المتحدة . ولقد وقعت بعض الحوادث المميتة في هذه المحطات منها ما حدث في محطة جزيرة الأميال الثلاثة (الولايات المتحدة) ومحطة تشرنوبل (الاتحاد السوفياتي سابقاً وأوكرانيا اليوم) .

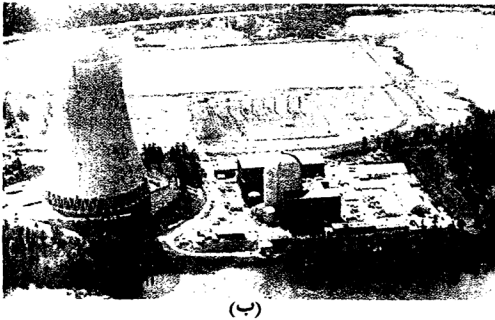
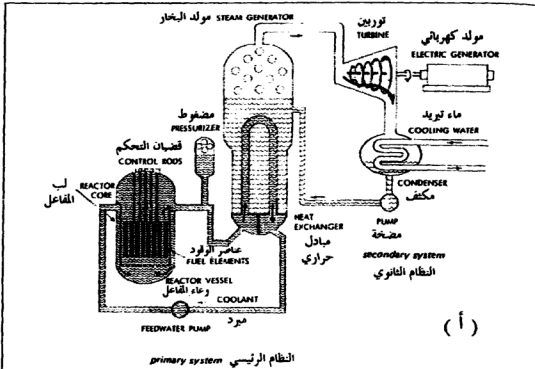
8-2 المفاعل النووي The Nuclear Reactor

إذا تمعنا النظر في تفاعل الانشطار التالي :



وجدنا أن هناك زيادة في عدد النيوترونات في النواتج ، فمقابل كل نيوترون يستهلك ينتج في المعدل حوالي 2.5 نيوترون ($\nu = 2.5$) . ويمكن استخدام النيوترونات الجديدة في انشطار ذرات أخرى من ^{235}U مما سيؤدي إلى إنتاج المزيد من النيوترونات . ويتم التحكم في تفاعلات الانشطار المتسلسل التي تجري في المفاعلات النووية ، أي أن هناك حالة من الاتزان فمقابل كل انشطار يُستخدم نيوترون واحد فقط من النيوترونات الجديدة لمزيد من الانشطار ، أي أن معامل التكاثر للنيوترونات K في هذه الظروف يساوي واحد . وإذا ازداد العامل ازداد عدد النيوترونات وبالتالي سرعة الانشطار زيادة أسية . وفي حال غياب آلية للتحكم فإن الحرارة الناتجة ستدمر في النهاية نظام التفاعل المتسلسل والمفاعل النووي كما حدث في محطة تشرنوبل . فلا بُد من توفر عدة آليات للتحكم في المفاعلات النووية للمحافظة على السلامة . ولا تستخدم هذه الآليات في الأسلحة النووية التي يسعى صانعوها لجعل تفاعلاتها أشد عنفاً .

وهناك مرونة كبيرة في اختيار التصميم لتفاعل التسلسل النووي المتحكم به وذلك لأن لكل من التصميم فوائد وعيوب . وفي الواقع هناك أكثر من 12 نوعاً من محطات الطاقة النووية تم تطويرها وتعمل بشكل ممتاز . 90٪ منها مفاعلات ماء خفيف (LWR) Light Water Reactor . وسوف ندرس مبدأ ومكونات هذا النوع بالتفصيل . وبين الشكل (8-1) مخطط وصورة لمفاعل ماء خفيف . والمكون الرئيسي لأي مفاعل يسمى بلب المفاعل الذي يحتوي على الوقود النووي القابل للانشطار . ويتكون هذا الوقود عادة من UO_2 المخصب باليورانيوم-235 ^{235}U إلى 2-3٪ والموضوع في قضبان مغلقة بسبيكة من الزركونيوم . وترتبط قضبان الوقود في مجموعات مكونة عناصر الوقود أو مكان التجميع .



شكل 1-8 : أ) أجزاء المفاعل الرئيسية والثانوية لمفاعل الماء الخفيف المضغوط (PWR)
 ب) محطة تروجان في الولايات المتحدة

تنتقل نواتج الانشطار بعد حدوثه في الوقود النووي بطاقة حرارية عالية تحسرها من خلال التصادمات مع ذرات المواد المحيطة بها ، وهذا سيؤدي إلى تحويل الطاقة من حركية إلى حرارية . ومن أجل المحافظة على درجة حرارة تشغيل مستقرة في المفاعل لأبد من استخدام ما يعرف بالمبرد **Coolant** . وتستخدم مفاعلات الماء الخفيف "الماء الخفيف" H_2O كمبرد يدخل من أسفل لب المفاعل ويسخن من خلال مروره على طول قضبان الوقود ثم يخرج من أعلى اللب على هيئة ماء ساخن سخونة زائدة كما في مفاعلات الماء المضغوط **Pressurized Water Reactors (PWR)** (شكل 1-8) أو على هيئة بخار ماء له درجة حرارة عالية كما في مفاعلات الماء المغلي **(BWR)** **Boiling Water Reactor** ويتولد البخار في **BWR** في مبادل حراري منفصل . ويدير البخار الناتج توربينات موصولة إلى مولدات كهربائية ومن ثم يتكثف في نظام تبريد خارجي موجود في الجهة الخلفية من التوربينات . وقد يكون نظام التبريد الخارجي نهر أو بحيرة أو أبراج تبريد . ويتكون نظام جريان الماء والبخار من دورات مغلقة كما في الشكل (1-8) .

وتستخدم للتحكم قضبان مصنوعة من مواد كالكاديميوم تمكن من السيطرة على سرعة الانشطار المتسلسل النووي . وذلك لأن لهذه المواد قدرة عالية على الإمساك بالنيوترونات وإبطاء التفاعل المتسلسل .

ومن أجل الحصول على الحد الأقصى لقطع الانشطار المستعرض والذي يصل إلى أعلى قيمة له عندما تكون النيوترونات ذات طاقة منخفضة ، ولهذا فلا بُد من أن تبطئ النيوترونات ذات الطاقة العالية بواسطة مواد مهدنة **Moderator**

والتي تعمل على التشتت المرن للنيوترونات دون الإمساك بها . ويقوم الماء في مفاعلات الماء الخفيف LWR's بالتبريد والتهدئة في وقت واحد .

وتستخدم بعض أنواع المفاعلات النووية الأخرى مواداً مهدئة صلبة كالغرافيت ووسط تبريد غازي كالهيليوم . وتسمى المفاعلات التي يكون فيها فصل مادي بين الوقود والمهدئ بالمفاعلات غير المتجانسة ، والمفاعلات التي يذوب فيها الوقود مباشرة بالمواد المهدئة بالمفاعلات المتجانسة .

يُطوَّق نظام لب المفاعل بخزان من الفولاذ ، كما يحاط بخزان المفاعل بدرع بيولوجي سميك لحماية العاملين فيه من النيوترونات وإشعاعات جاما المنطلقة من الانشطار . ويُطوَّق مبنى المفاعل تماماً من جميع الجهات ببناء خارجي لمنع تسرب أي نشاط إشعاعي ينجم عن أي حادث طارئ إلى المنطقة المحيطة بالمفاعل . كما تتم مراقبة وتنقية مخرجات المفاعل من ماء وهواء من الملوثات المشعة .

ولا يستهلك الوقود النووي ^{235}U 100٪ في المفاعلات . ويؤدي الانشطار إلى إنتاج نواتج الانشطار ، ولبعض هذه النواتج مقطع عرضي لإمساك النيوترونات عالٍ جداً ($b_{100} < 1$) أي أنها ستنافس تفاعل الانشطار المتسلسل على النيوترونات. وقبل أن يصل المفاعل إلى حالة التسمم من قبل نواتج الانشطار هذه، لابد من تغيير عناصر الوقود في المفاعل ، ويتم عملية التغيير بواسطة آلة شحن الوقود . ونظراً لوجود كميات كبيرة من نواتج الانشطار المشعة يسمح لعناصر الوقود المستعملة بأن تبرد لعدة أشهر (وذلك بالنسبة للحرارة والنشاط الإشعاعي) في أحواض تخزين مملوءة بالماء وموجودة في مبنى المفاعل (شكل 1-8).

وقد تستخدم عناصر الوقود المستعملة بعد ذلك في ما يسمى بعملية إعادة التصنيع أو المعالجة **Reprocessing** لاستعادة الكمية المتبقية من المواد الانشطارية . وأي مواد قابلة للانشطار ، ونعني بالمواد القابلة للانشطار هي تلك الذرات التي قد تتحول إلى ذرات قابلة للانشطار من خلال الإمساك أو التقاط النيوترونات الناتجة عن الانشطار مثل $^{232}_{90}\text{Th} \xrightarrow{\beta^-, \beta^-, \alpha} ^{233}_{92}\text{U}$ و $^{238}_{92}\text{U} \xrightarrow{\beta^-, \beta^-, \alpha} ^{239}_{94}\text{Pu}$.

تفصل عملية المعالجة الكيميائية نواتج الانشطار ، والتي قد يكون لبعضها أهمية كبيرة لتعزل . ومع ذلك فتخزن معظم نواتج الانشطار كفضلات نووية مشعة . وأما المواد الانشطارية التي تم استردادها فيعاد استخدامها كعناصر ووقود نووي .

8-2 انطلاق الطاقة في الانشطار

Energy Release in Fission

إذا أمعنا النظر في الانشطار لليورانيوم 235 بالنيوترونات الحرارية تبين لنا ما يلي :

طاقة شظايا الانشطار الحركية 165 MeV (في المعدل) .

طاقة 2.5 نيوترون (فوري) الحركية 5 MeV .

طاقة أشعة جاما الفورية 7 MeV (في المعدل) .

أي أن مجموع الطاقة المنطلقة الفورية حوالي 177 MeV ، وهذه الطاقة

تتمس من قبل المواد المحيطة بالانشطار . جدول (8-1) .

| | 232U | 233U | 235U | 238U | Nat. U | 239Pu | 240Pu | 241Pu |
|--|------------------------|--------------------|--------------------|--------------------|------------|--------------------|--------------------|--------------------|
| Radioactive decay | α | α | α | α | | α | α , sf | α , sf |
| Half-life (years) | 1.405×10^{10} | 1.59×10^5 | 7.04×10^8 | 4.47×10^9 | - | 2.44×10^4 | 6.54×10^3 | 14.9 |
| Specific rad. act. (dps μg^{-1}) | 4.06×10^{-3} | 357 | 0.0800 | 0.01244 | | 2270 | 8430 | 3.69×10^6 |
| Thermal neutrons (0.025 eV) | | | | | | | | |
| n, γ -capture (σ , barns) | 7.40 | 48 | 99 | 2.70 | 3.42 | 269 | 290 | 368 |
| fission (σ_f , barns) | | | | | | | | |
| neutron yield (ν) | - | 531 | 582 | < 0.5 mb | 4.18 | 742 | 0.030 | 1009 |
| fast neutrons (-0.25; -1.0 MeV) | | | | | | | | |
| neutron yield (ν) | - | 2.49 | 2.42 | - | | 2.87 | 2.90 | 3.00 |
| fission factor (η) | - | 2.29 | 2.07 | - | 1.33 | 2.11 | | 2.15 |
| Fast neutrons (-0.25; -1.0 MeV) | | | | | | | | |
| n, γ -capture (σ , barns) | 0.18; 0.15 | 0.39; 0.08 | 0.24; 0.11 | 0.14; 0.17 | 0.16; 0.18 | 0.27; 0.09 | 0.20; 0.18 | |
| fission (σ_f , barns) | | 2.25; 1.95 | 1.35; 1.25 | 0.017 | 0.11 | 1.62; 1.65 | 0.11; 1.59 | 1.96; 1.65 |
| neutron yield (ν) | | 2.52; 2.59 | 2.49; 2.58 | 2.85 | | 2.93; 3.02 | | 2.47; 3.3 |
| عدد النيوترونات الناتجة | | | | | | | | |
| fission factor (η) | | 2.29; 2.45 | 2.12; 2.39 | | | 2.53; 2.88 | | |
| عمليل الانشطار | | | | | | | | |

جدول 1-8 : النوى القابلة للانشطار والمعلومات الخاصة بها .

تتميز نواتج الانشطار بأن لها نشاطاً إشعاعياً وأنها تتحلل من خلال إطلاقها لأشعة بيتا وجاما وإكس ، وتقدر طاقة التحلل الكلية لها بحوالي 23 MeV . يتسرب منها حوالي 10 MeV على شكل إشعاعات خارج المفاعل ويبقى حوالي 1 MeV من طاقة التحلل في قضبان الوقود في المفاعل ، وأما الباقي والذي يقدر بحوالي 12 MeV من طاقة تحلل بيتا وجاما والمقسوم تقريباً بالتساوي بين E_γ و \bar{E}_β فيمتص في المفاعل . كما تلتقط النيوترونات الفورية من قبل مادة المفاعل مطلقة طاقة ربطها والتي تقدر بحوالي 10 MeV . وبهذا فإن كمية الطاقة المنطلقة من كل انشطار تساوي تقريباً $10 + 12 + 177 = 199 \text{ MeV}$. وأما معدل القيمة العملي المستخدم فيساوي 200 MeV/انشطار .

$$E_f = \text{جول} \times 10^{-11} = 3.20 \times 200 \text{ MeV/انشطار} \quad (8-2)$$

$$\text{وعلى هذا فإن } \frac{1}{3.2 \times 10^{-11}} \approx 3.1 \times 10^{10} \text{ انشطار/ثانية .}$$

وهذا سيؤدي إلى إنتاج واحد واط من حرارة المفاعل . وتكتب معادلة الطاقة الحرارية لمفاعل كما يلي :

$$P = E_f \Delta N_f / \Delta t \quad (8-3)$$

حيث أن $\frac{\Delta N_f}{\Delta t}$ عدد الانشطارات في الثانية . فإذا أنتجت محطة طاقة نووية 3 غيغا واط من الحرارة (أو GW_{Th}) ($\text{Th} = \text{Thermal} = \text{حراري}$) نتج عن ذلك (1 GWe) واحد غيغا واط من الطاقة الكهربائية ، أي بفعالية 33% . ويقدر عدد الانشطارات اللازمة لذلك بحوالي 8.1×10^{24} انشطار/اليوم . وبما أن كتلة ذرة اليورانيوم تساوي $\frac{M}{N_A} = 3.9 \times 10^{-22} \text{ غم}$ ، فإن كتلة اليورانيوم المنشطرة متساوي : $8.1 \times 10^{24} \times 3.9 \times 10^{-22} = 3160 \text{ غم } ^{235}\text{U/اليوم}$.

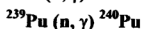
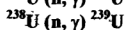
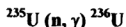
والكمية الحقيقية المستهلكة أعلى من هذا بقليل .

8-3 احتمالية الانشطار Fission Probability

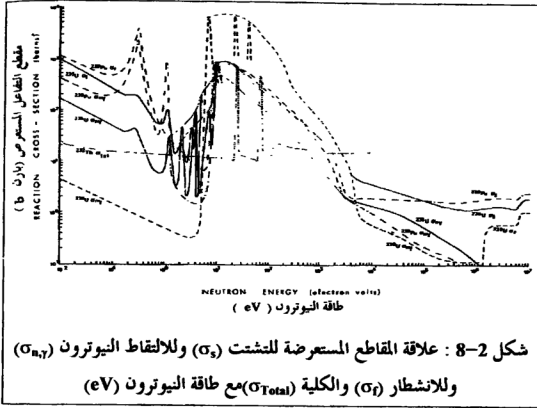
نتيجة لتشعيع اليورانيوم بالنيوترونات تحدث عدة تفاعلات بالإضافة إلى النقاط النيوترون والانشطار (n, f) مثل التشتت و(n, γ) و ($n, 2n$) ... إلخ. وهذه التفاعلات كلها مهمة لمصمم المفاعل وللكيمائي النووي الذي سيتولى عملية التعامل مع عناصر الوقود النووي المستعمل . وتعتمد احتمالية حدوث أي من هذه التفاعلات على طاقة النيوترون ، ويوضح الشكل (2-8) وجود ثلاث مناطق هي:

(1) إذا كان معدل الطاقة الحركية للنيوترونات الحرارية $\bar{E}_n \leq 1 \text{ eV}$ هيمن انشطار ^{235}U و ^{239}Pu على النقاط النيوترونات ($\sigma_f > \sigma_{n,\gamma}$) . وعلى الرغم من أن $\sigma_{n,\gamma}$ لليورانيوم 238 صغير إلا أنه يحدث نتيجة لنسبة ^{238}U العالية .

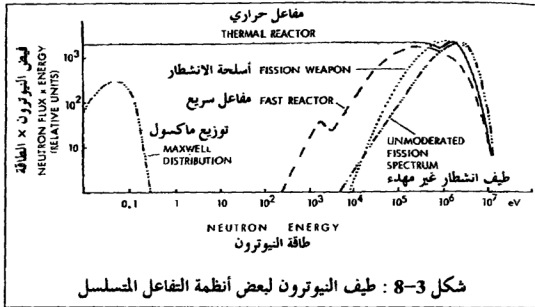
(2) يحدث للنيوترونات فوق الحرارية ($1 \leq \bar{E}_n \leq 10^5 \text{ eV}$) النقاط مصحوباً بانطلاق إشعاعات كثيرة ورنين انشطاري . ففي هذه المنطقة تتكون نظائر أثقل من خلال تفاعلات (n, γ) ومن الأمثلة على ذلك :



(3) وأما النيوترونات السريعة ($\bar{E}_n \geq 0.1 \text{ MeV}$) فلها مقاطع مستعرضة صغيرة نسبياً ($1b \geq \sigma$) . ويهيمن الانشطار على الالتقاط المصحوب بالإشعاعات . وتصبح قابلية ^{238}U للانشطار أعلى كلما ازدادت طاقة النيوترونات .



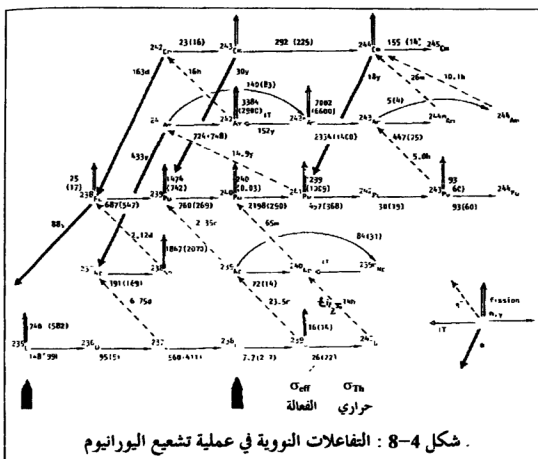
ومن الواضح أن لطيف النيوترون دور أساسي في المفاعل . وبين الشكل (8-3) طيف النيوترونات الفورية (غير المهدنة) الناتجة عن الانشطار والتي لها معدل طاقة يساوي $\bar{E}_n \sim 2\text{MeV}$. ويحدث غالبية الانشطار في الأسلحة النووية بواسطة النيوترونات السريعة ، كما يمكن تصميم وبناء المفاعلات النووية ، بحيث تستخدم النيوترونات بشكل رئيسي في الانشطار ، السريعة أو الحرارية منها . ويؤدي هذا إلى مفهومين مختلفين للمفاعلات ، أولهما المفاعل السريع وثانيهما المفاعل الحراري . ويوضح الشكل (8-3) طيف النيوترونات التقريبي لكل منهما . وسوف ندرس المفاعلات الحرارية لأهميتها في وقتنا الحاضر .



شكل 8-3 : طيف النيوترون لبعض أنظمة التفاعل المتسلسل

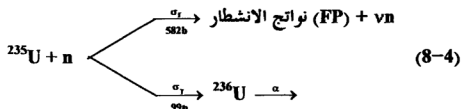
يفترض في المفاعلات الحرارية أن هناك اتزاناً حرارياً بين معظم النيوترونات وذرات المهدئ ، وفي واقع الأمر فإن لطيف النيوترون في مفاعلات الطاقة طاقة أكبر . ومن العلاقة $E_n = kT$ نجد قيمة E_n عند درجة حرارة 300°م في مفاعل الماء الخفيف والتي تساوي 0.05 eV (شكل 8-3) . ومع ذلك فإن المقاطع المستعرضة لطاقة النيوترونات الحرارية (E_{th}) قد تم معايرتها للنيوترونات أحادية الطاقة ذات سرعة 2200 م/ث . وهذا يقابل قيمة لـ $E_n = 0.025 \text{ eV}$.

ويبين الجدول (8-1) قيم المقاطع المستعرضة عند تلك الطاقة . وتقدر المقاطع المستعرضة لمعظم الأنوية وليس لكلها عند قيم الطاقة المنخفضة للنيوترونات وخارج منطقة الرنين من القاعدة $\frac{1}{v}$ حيث أن $\left(\sigma \propto \frac{1}{\text{السرعة}} \right)$. ونظراً لعدم وجود طيف طاقة واضح للنيوترونات الحرارية في المفاعلات الحرارية فلا بُد من استخدام المقاطع العرضية الفعالة لحساب المحصل الناتج من المفاعلات . وتتفاوت المقاطع المستعرضة من مفاعل إلى آخر . ويوضح الشكل (8-4) المقاطع المستعرضة الفعالة لمفاعل الماء الخفيف LWR المعروف .



8-4 عامل الانشطار Fission Factor

يستهلك ^{235}U في المفاعلات الحرارية بطريقتين ، الأولى الانشطار والثانية الالتقاط المصحوب بالإشعاعات



ويتحلل ^{236}U من خلال دقائق ألفا ، ونظراً لطول نصف عمره الذي يبلغ 2.3×10^7 سنة فإنه يتجمع في المفاعل . وقد يلتقط ^{236}U نيوترونات فيكون $^{237}_{92}\text{U}$

والذي يتحلل في خلال عدة أيام معطياً ^{237}Np . ويعتمد عدد النيوترونات ν الناتج من كل انشطار على طاقة النيوترون ، وتقدر قيمة ν في انشطار ^{235}U الحراري بـ 2.42 نيوترون (الجدول 8-1) .
وإذا عرفنا النسبة التالية :

$$\alpha = \frac{\sigma_f}{\sigma_f + \sigma_\gamma} = \frac{\sum f}{\sum f + \sum \gamma} \quad (8-5)$$

فإن احتمالية أن يؤدي التقاط النيوترون إلى انشطار تساوي :

$$\frac{\sigma_f}{\sigma_f + \sigma_\gamma} = \frac{1}{1 + \alpha} \quad (8-6)$$

وإن عدد النيوترونات الناتج عن كل التقاط لنيوترون هو :

$$\eta = \frac{\nu}{1 + \alpha} \quad (8-7)$$

حيث أن η هو الناتج النيوتروني لكل امتصاص أو عامل الانشطار .
ويطلب التفاعل المتسلسل بشكل رئيسي قيمة لعامل الانشطار أكثر من واحد ($\eta > 1$) . ويحتوي الجدول (8-1) على قيم عامل الانشطار للنوى المهمة . فإذا استخدمنا النيوترونات الحرارية كانت أعلى قيمة لـ η هي 2.29 في ^{235}U وإذا استخدمنا النيوترونات السريعة كانت أعلى قيمة لـ η هي 2.88 في ^{239}Pu .

وفي حال كانت هناك خليط من النظائر فلا بد من استخدام المقطع العرضي الماكروسكوبي $\sum f$ في حساب α (معادلة 8-5) . فقيمة $\sum f$ لليورانيوم الطبيعي هي $\sum f = 0.71 \times 582$ لكل 100 وقيمة $\sum \gamma = 99 \times 0.71 + 99.3 \times 2.70$ لكل 100 ، فحصل على قيمة لـ $\alpha = 0.82$ و $\eta = 1.33$ ، وهذا يعني إمكانية حدوث التفاعل المتسلسل في اليورانيوم الطبيعي .

5-8 الانشطار النووي Nuclear Fission

يعبر الانشطار النووي من التفاعلات النووية الفريدة ، حيث تنقسم النواة إلى قسمين متساويين أو غير متساويين وتطلق كمية كبيرة من الطاقة تقدر بحوالي 200 MeV/انشطار . ومن أهم جوانب الانشطار التي درست بالتفصيل ، توزيع الكتلة والشحنة بين الشظايا المتكونة في الانشطار . وبغض النظر عن كيفية حدوث الانشطار تتكون شظايا ذات كتل مختلفة وهذا يؤدي إلى إنتاج عناصر كيميائية تتراوح من الخفيف كالزنك (Zn ($Z = 30$) إلى الثقيل كالجادولينيوم (Gd ($Z = 64$) وأنصاف عمر تتراوح من أجزاء من الثانية إلى ملايين السنين . ولقد تم التعرف على حوالي 400 نواة مختلفة من انشطار ^{235}U بالنيوترونات . وتحتاج دراسة نواتج الانشطار إلى عمل كيميائي إشعاعي مكثف ، وهذا المجال من المجالات البحثية النشطة ، ومن أهم المشاكل البحثية قياس النواتج ذات نصف العمر القصير جداً .

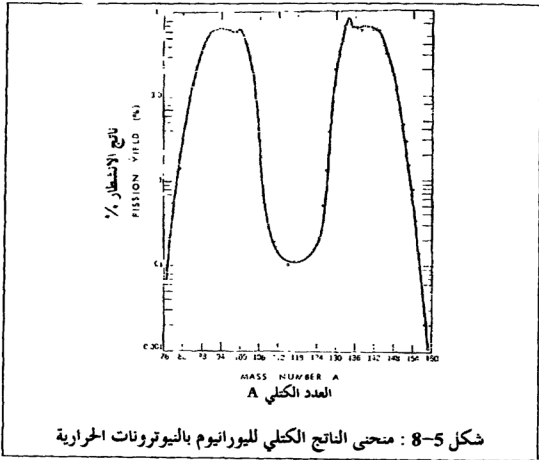
وعلى الرغم من كون الانشطار عملية معقدة جداً تتحدى العلماء النظريين باستمرار فقد ظهرت بعض النماذج المرضية والمقنعة لمعظم ظواهر الانشطار .

1-5-8 توزيع الكتلة والشحنة

Mass and Charge Distribution

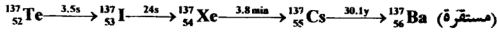
هناك نوعان من الانشطار : الانشطار المتماثل (Symmetric) وغير المتماثل (Asymmetric) . ففي الانشطار المتماثل تنقسم النواة المنشطرة إلى شظيتين متساويتين في الكتلة والشحنة ، ومن الأمثلة على ذلك انشطار ^{235}U بالنيوترونات الحرارية ليعطي نواتي ^{118}Pd حسب المعادلة التالية :



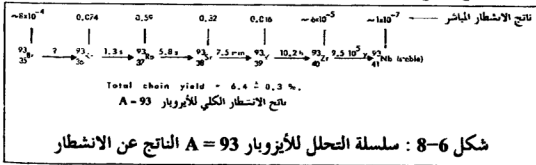


وإذا نظرنا إلى الشكل (5-8) والذي يبين الناتج الكتلي لانشطار ^{235}U بالنيوترونات الحرارية تبين لنا أن هناك حدين أعلىين وحد أدنى . الحد الأعلى الأول بالقرب من العدد الكتلي $A_1 = 97$ (بالقرب من الرقم السحري $N = 50$) والثاني بالقرب من العدد الكتلي $A_2 = 137$ (بالقرب من الرقم السحري $N = 82$) . وتكون هاتان الكتلتان في الانقسام غير المتماثل ($A_1 \neq A_2$) الأكثر احتمالية . وأما الحد الأدنى والذي يمثل الانشطار المتماثل ($A_1 = A_2$) النادر حصوله في انشطار ^{235}U بالنيوترونات الحرارية . فناتج الانشطار للعدد الكتلي $A = 115$ هو 0.01% بالمقارنة مع 6% للعدد الكتلي $A_1 = 97$ و $A_2 = 137$. وبما أن هناك ناتج انشطار من كل انشطار ، فإن مجموع الناتج الكتلي المتوي لكل نواتج الانشطار يجب أن يساوي 200% . ويوضح

الشكل (5-8) أن لنتائج الانشطار المكملين لبعضهم البعض A_1 , A_2 نفس قيم الناتج الكتلي وموقعين متماثلين حول الحد الأدنى . وإن مجموع $A_2 + A_1 = 234$ وليس 236 بسبب النيوترونات الفورية المنطلقة ($v \approx 2.5$ نيوترون) ويزداد عدد النيوترونات المنطلقة كلما ازداد العدد الذري Z لثبوتة المنشطرة وطاقة القذف للدقيقة المتسببة في الانشطار ، ويعزى انطلاق النيوترونات الفورية إلى اختلاف النسبة $\frac{n}{p}$ في ^{236}U والتي تساوي 1.6 مع نفس النسبة الضرورية للاستقرار في العناصر الناتجة عن الانشطار والتي تساوي 1.2-1.4 . إلا أن عدد النيوترونات المنطلقة غير كاف لتقليل نسبة $\frac{n}{p}$ إلى القيم المستقرة . ولهذا تمر نواتج الانشطار بعدة خطوات تحلل إشعاعي تنطلق فيها دقائق بيتا وتحافظ على العدد الكتلي A كما درسنا سابقاً في الفصل الثالث . ومن الأمثلة على ذلك العدد الكتلي $A = 137$ ، فأول نواة تم قياسها ضمن الأيزوبار $137 = A$ هي ^{137}Te التي تتحلل كما يلي :



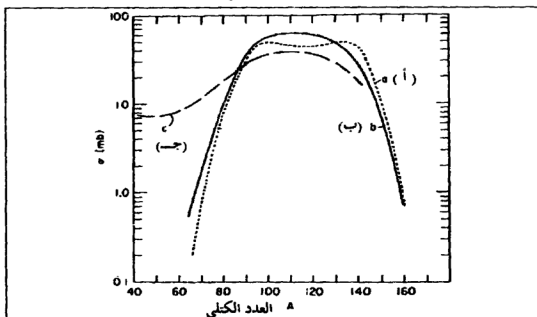
ويبلغ الناتج الانشطاري لهذا الأيزوبار ($A = 137$) 6.26 % .



كما استطاع العلماء قياس الناتج الانشطاري لكل نظير حسب عدده الذري ضمن الأيزوبار ويوضح الشكل (6-8) هذا لـ $A = 93$. ويلاحظ من الشكل (6-8) أن هناك توزيعاً بطريقة جاوس للشحنات وأن هناك إزاحة لعدة وحدات تحت

قيمة Z للنواة المستقرة لقيمة الحد الأعلى لمنحنى جاوس . ويبلغ الناتج أعلى قيمة له في $^{93}_{37}\text{Rb}$ (0.59) بينما العدد الذري للنواة المستقرة يساوي 41 في $^{93}_{41}\text{Nb}$.

وبعد ذلك تمكن العلماء من شطر العناصر الأثقل من اليورانيوم وذلك بقذفها بدقائق عالية الطاقة كالبروتونات التي تمت مسارعتها إلى طاقة عالية . ولقد أثار منحى التوزيع الكتلي لهذا النوع من الانشطار اهتمام العلماء والمختصين . فإذا كانت طاقة المقذوفة قليلة نتج عن ذلك انشطار غير متماثل شبيه بانشطار ^{235}U بالنيوترونات الحرارية ، وأما إذا ازدادت طاقة المقذوفة قلت ضحالة الوادي الموجود بين القيمتين شيئاً فشيئاً إلى أن نصل إلى منحى متماثل ذو سنامة واحدة (الشكل 7-8) . أي أن هناك تغييراً في أسلوب أو شكل الانشطار من غير متماثل عند الطاقة القليلة إلى متماثل عند الطاقة العالية .



شكل 7-8 : منحنيات الناتج الكتلي لنواتج الانشطار الناجمة عن تشعيع اليورانيوم بالبروتونات المختلفة الطاقة .

(أ) 100 MeV (ب) 170 MeV (ج) 2.9 GeV

8-5-2 طاقة التناثر الكولومبي (الإلكتروستاتيكي) في الانشطار

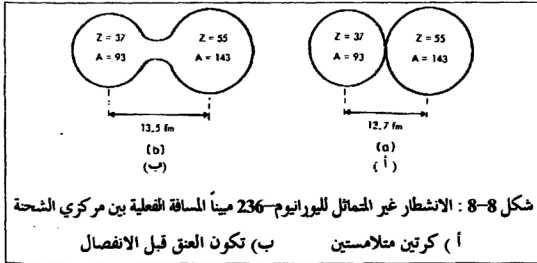
Coulombic Repulsion Energy in Fission

تحدثنا سابقاً في الفصل الثاني وفي (2-8) عن انطلاق حوالي 200 MeV من الطاقة نتيجة لانشطار العناصر الثقيلة كاليورانيوم-235. وتقدر الطاقة الحركية لشظايا الانشطار بـ 165 MeV. وتفسر هذه القيمة من خلال احساب طاقة التناثر الكولومبي بين زوج الذرات الناتج عن الانشطار. وسوف ندرس الزوج التالي: $^{143}_{55}\text{Cs}$ و $^{93}_{37}\text{Rb}$ والمسافة بين مركزيهما $d = 12.7 \text{ fm}$ (الشكل 8-8)، وتستخدم المعادلة التالية:

$$E_{\text{coul}} = -\frac{Z_1 Z_2 e^2 k}{d} \quad (8-9) \quad (\text{طاقة وضع})$$

$$(k \text{ ثابت قيمته } 8.99 \times 10^9 \frac{\text{Nm}^2}{\text{C}^2})$$

في حساب طاقة التناثر عند $d = 12.7 \text{ fm}$ والتي تساوي 175 MeV، وإذا تم تطوير النموذج ليشمل وجود عنق بين النواتين (الشكل 8-8 ب) فستزداد المسافة بين المركبين لتصل إلى $d = 13.5 \text{ fm}$ وبالتصويص بهذه القيمة في المعادلة (8-9) حصلنا على طاقة تناثر (الطاقة الحركية للانفصال) تساوي 165 MeV وتتفق مع التجارب. وهناك عدة إثباتات على وجود الاستطالة في الشكل وتكون عنق في وقت الانفصال بين النواتين (الشكل 8-8 ب).



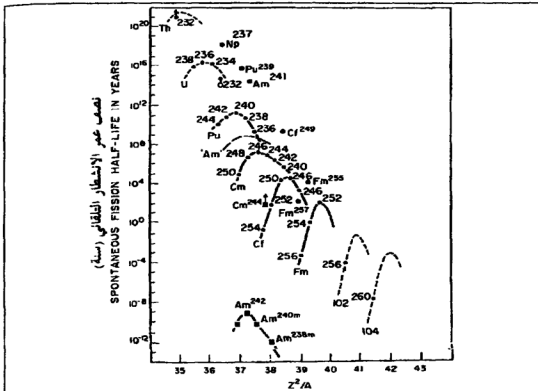
3-5-8 نماذج الانشطار Fissions Models

درسنا في الفصل الثاني عن العلاقة بين النواة وقطرة السائل ولقد استخدم العالمان ن. بوهر و ج. ويلر هذه الحقيقة في تفسير الانشطار. وتتخذ قطرات السائل الشكل الكروي بسبب وجود ظاهرة التوتر السطحي في ذلك السائل . ويمكن أن نشوه هذا الشكل بطريقة ما من خلال تزويده بالطاقة . وفي حال كانت قوة التوتر السطحي الجذابة أكبر من قوة التشويه ، تأرجحت القطرة بين الشكل الكروي والشكل المطال . وأما إذا حدث العكس فستعدى استطالة القطرة النقطة الحدية لتنفلق (تنشطر) .

ذكرنا في الفصل الثاني كيف تتناسب قوة التنافر بين البروتونات في النواة مع $\frac{Z^2}{A^{1/3}}$ وكيف تتناسب قوى التوتر السطحي مع $A^{2/3}$. كما تسمى قوة التنافر الكولومبي إلى تشويه النواة بنفس الطريقة التي قد تؤثر فيها قوة تشويه على قطرة سائل ما ، بينما تسمى قوة التوتر السطحي لتقيها كروية . وتقاس النسبة بين هاتين القوتين المتعاكستين مدى عدم استقرار النواة نحو الانشطار :

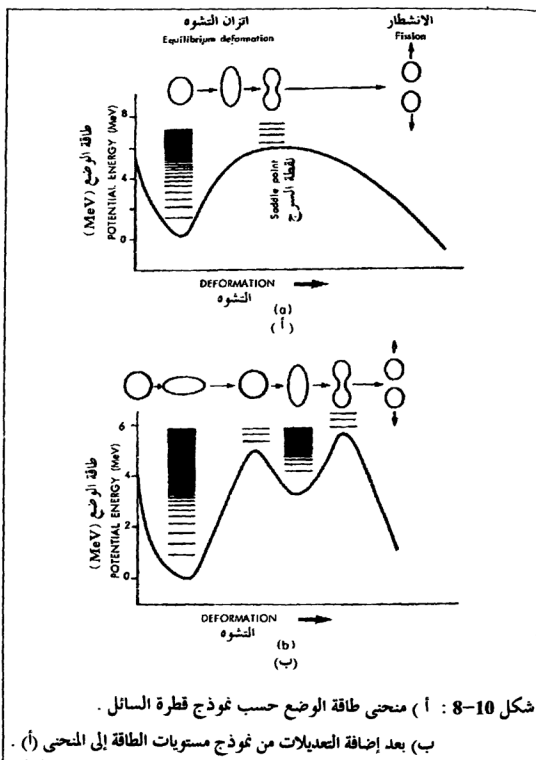
$$(8-10) \quad \frac{Z^2}{A} = \frac{Z^2/A^{1/3}}{A^{2/3}} = \frac{\text{طاقة التنافر}}{\text{طاقة التجاذب}} \propto \text{عدم الاستقرار}$$

ويسمى المقدار $\frac{Z^2}{A}$ بمحد الانشطار ، وتتنبأ نظرية قطرة السائل بازدياد احتمالية الانشطار كلما ازداد $\frac{Z^2}{A}$. ويتميز ^{235}U عن بقية الأنوية الموجودة في الطبيعة بقابليته على الانشطار بالنيوترونات الحرارية ، بينما يحتاج ^{238}U نيوترونات ذات طاقة عالية ($\leq 2\text{MeV}$) . وكلما ازداد العدد الذري ($Z < 92$) ازدادت احتمالية الانشطار بالنيوترونات الحرارية ونقص نصف عمر التحلل بالانشطار التلقائي . وترداد احتمالية كل منهما في العناصر ذات العدد الذري الزوجي أكثر من العدد الفردي . وبين الشكل (8-9) العلاقة بين نصف عمر التحلل بالانشطار التلقائي وحد الانشطار .



شكل 9-8 : علاقة نصف عمر الانشطار التلقائي مع $\frac{Z^2}{A}$ لعدد من الأكتينيدات

افترض نموذج قطرة السائل أن النواة كروية (الفصل الثاني)، وإذا ثبتا N و Z وحسبنا طاقة الوضع لقطرة السائل النووية بدلالة التشوه في النواة من الشكل الكروي إلى الشكل المتطاوّل (Prolate)، حصلنا على المنحنى الموضح في الشكل (10-8 أ). توجد النواة في مستوى الطاقة الأرضي لبئر الوضع (Potential Well). ولشطر النواة لا يُد أن تثار أو تهيج فوق حاجز الانشطار، علماً بأنه يرتفع بمقدار 5-6 MeV. وهذا يعني أن تثار النواة إلى منطقة المستوى المستمر وعلى أن تحتفظ بشكلها الأصلي. وفي حال حدث تشوه للنواة فإن بعض طاقة التهيج يتحول إلى طاقة تشوه. ويلاحظ من الشكل (10-8 أ) وصول النواة إلى أقصى كمية تشوه عند قمة الحاجز وبحيث تحتفظ بطاقة تهيج داخلي قليلة نسبياً. أي أن النواة موجودة في مستويات اهتزازية معروفة يحدث منها الانشطار، وتسمى قمة الحاجز بنقطة السرج (Saddle Point) للانشطار.



الكتل بدقة للنظائر الموجودة بالقرب من الأرقام السحرية للبروتونات والنيوترونات . ولقد تبين مؤخراً عجز هذه المعادلة عن حساب الكتل بدقة للنظائر المشوهة والتي تقع في المنتصف بين الأرقام السحرية أو بين مستويات الطاقة الممتلئة للنيوكليونز . وأضاف ظهور بعض الأيزومرز التي تتحلل بالانشطار التلقائي مشاكل أخرى لنموذج قطرة السائل . فبين اليورانيوم والكاليفورنيوم العديد من النوى التي تتحلل بالانشطار التلقائي وينصف عمر يتراوح من 10^{-12} - 10^{-9} ثانية وهذا أبطء بملايين المرات من الانشطار الفوري الذي يحدث في 10^{-14} ثانية وأسرع بملايين المرات من الانشطار التلقائي العادي (الشكل 9-8) . ومن الأمثلة على ذلك ^{242}Cm الذي ينشطر تلقائياً من الحالة الأرضية بنصف عمر يساوي 10^6 سنة، بينما تنشط الحالة الأيزومرية له بنصف عمر يساوي 10^{-7} ثانية . ولقد طور العالم ق.م. سزوتينسكي نموذجاً يفسر بطريقة مرضية انشطار الأيزومرز . ويقدر حاجز الانشطار للنوى ذات نصف العمر القصير بحوالي 2-3 MeV . ولقد أدخل بعض التعديلات الناجمة عن تأثير مستويات الطاقة الممتلئة وغير الممتلئة في نموذج قطرة السائل وحصل على ما يسمى بمنحنى طاقة الوضع ذو البئرين (Double-Well) (الشكل 10-8 ب) . فيكون للنواة في البئر الأول الشكل شبه الكروي (Spheroid) وتكون نسبة المحور الرئيسي إلى الثانوي 1.25، ويزداد التشوه في البئر الثاني لتصبح النسبة 1.8 . وتكون النواة في البئر الثاني شبه مستقرة (حالة أيزومرية) وذلك لأنها غير مستقرة نحو التحلل بجما إلى البئر الأول أو نحو الانشطار . ويعيق الانشطار من البئر الثاني حاجز ارتفاعه 2-3 MeV ومن البئر الأول حاجز ارتفاعه 5-6 MeV وهذا يفسر الفرق الكبير في نصف العمر كما ورد في مثال ^{242}Cm السابق . ويتبأ منحني البئر الواحد (شكل 10-8 أ) بمحذوث انشطار متماثل بينما يتبأ منحني البئرَين بالانشطار غير المتماثل (شكل 10-8 ب).

8-6 تهدئة النيوترونات Neutron Moderation

يُعتبر الأسلوب المتبع في تهدئة النيوترونات من سمات التصميم المهمة للمفاعلات الحرارية . وتفقد نيوترونات الانشطار السريعة طاقتها الحركية من خلال التشتت المرن مع ذرات مادة البناء . ولقد ذكرنا في الفصل الخامس معادلات التغير في طاقة النيوترون في هذه التصادمات المباشرة ، وبما أن هناك تشتت زاوي في معظم التصادمات فإن عدد التصادمات اللازمة لتقلل طاقة النيوترون السريع إلى نيوترون حراري أكبر . ويساوي معدل نقصان الطاقة اللوغارتمي ما يلي :

$$\varepsilon = \ln\left(\frac{E_n}{E'_n}\right) \quad (8-11)$$

حيث أن E'_n طاقة النيوترون بعد الاصطدام . وبين الجدول (8-2) فعالية الماء H_2O العالية في تخفيض سرعة النيوترون بالمقارنة مع بعض المواد الأخرى كالماء الثقيل (D_2O) والبريليوم (Be) والجرافيت (C) . وإن معدل عدد الاصطدامات n اللازم لتقليل الطاقة للنيوترون من E_n^0 إلى E_n هو :

$$n = \frac{1}{\varepsilon} \ln\left(\frac{E_n^0}{E_n}\right) \quad (8-12)$$

وتعتمد قدرة المادة على الإبطاء (SDP) $Slowing Down Power$ على عدد التصادمات وعلى المقطع العرضي للتشتت (σ_s) وعلى عدد ذرات المادة المشتتة في وحدة الحجم (N_0) .

$$SDP = \varepsilon N_0 \sigma_s = \varepsilon \sum s \quad (8-13)$$

وتمثل قيمة SDP المعدل الذي يغطي منطقة النيوترونات فوق حرارية . وتمتاز المادة المهدئة الجيدة بقدرتها على تحويل أقل عدد من النيوترونات بعيداً عن تفاعل الانشطار ، أي أن المقطع العرضي لامتصاص النيوترونات صغير . ولهذا فإن

للماء الثقيل D_2O وللجرافيت (الكربون) أفضلية على الماء الخفيف H_2O ، وذلك لأن احتمالية حدوث التفاعل $^1H(n,\gamma)^2H$ كبيرة نسبياً . ولإدخال هذه الخاصية ، يستخدم مفهوم نسبة التهذنة (MR) كمقياس لقدرة الماء المهدنة في منطقة طاقة النيوترونات الحرارية .

$$MR = \frac{SDP}{\sum a} = \epsilon \frac{\sum s}{\sum a} \quad (8-14)$$

| Property الخاصية | H_2O | D_2O | Be | C |
|---|-----------------------|----------|----------------------|---------|
| $N_0 \times 10^{-30}$ (atoms m^{-3}) | 0.033 4 | 0.033 4 | 0.123 | 0.080 3 |
| ρ (t m^{-3}) | 1.0 | 1.10 | 1.84 | 1.62 |
| σ_a (th) (barns) | 0.66 | 0.000 92 | 0.009 | 0.004 5 |
| Σ_a (th) (m^{-1}) | 1.7 | 0.008 0 | 0.13 | 0.036 |
| σ_s (epith) (barns) | 49 | 10.6 | 5.9 | 4.7 |
| ξ | 0.927 | 0.510 | 0.209 | 0.158 |
| $\xi \times (\text{epith}) \Sigma_a$ (th) Σ_a^{-1} | 62 | 5860 | 138 | 166 |
| L_a^2 (m^2) | 7.62×10^{-4} | 2.89 | 4.8×10^{-2} | 0.287 |
| τ (m^2) | 0.002 8 | 0.011 5 | 0.010 0 | 0.038 0 |

جدول 8-2 : الخواص الفيزيائية لبعض المواد المهدنة .

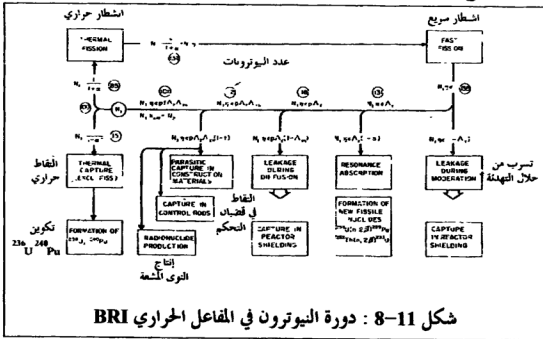
ويلخص الجدول (8-2) خواص المواد المهدنة المعروفة ، وتتناقص سمات المواد المهدنة في الاتجاه التالي $H_2O < Be < C < D_2O$. وتستخدم المفاعلات التجارية الماء الخفيف H_2O بدلاً من الماء الثقيل D_2O لرخص ثمنه وتوفره بكميات كبيرة في الأنهار والبحيرات .

8-7 دورة النيوترون The Neutron Cycle

من أجل استمرار التفاعل المتسلسل لابد من أن يتسبب أحد النيوترونات الناتجة عن الانشطار في انشطار جديد . وتعرف هذه الحالة بمعامل التكاثر للنيوترونات K والذي يساوي :

$$K = \frac{\text{عدد النيوترونات في الجيل 2}}{\text{عدد النيوترونات في الجيل 1}} \quad (8-15)$$

فإذا كانت قيمة $K < 1$ فإن عدد النيوترونات في الجيل الثاني أعلى من عدد النيوترونات المستهلكة . وفي هذه الحالة يزداد فيض النيوترونات وعدد الانشطارات في كل جيل جديد مما سيؤدي إلى زيادة في إنتاج الطاقة في المفاعل . وفي حال كانت قيمة $K = 1$ فإن عدد الانشطارات في وحدة الزمن والطاقة الناتجة ثابتين . وأما إذا كانت $K < 1$ فلن يستمر التفاعل المتسلسل . ويسمى المفاعل الذي يعمل ضمن $K = 1$ بالخرج ، وضمن $K < 1$ بفوق الحرج وضمن $K > 1$ بدون الحرج . وتستخدم قضبان التحكم في التحكم بقيمة K .



تعرض النيوترونات في كل جيل للعديد من المصائر الشكل (11-8) .
 في بعضها يهرب من المفاعل أو يمتص من قبل المواد المكونة للمفاعل والدرع الواقي
 (مثل قضبان التحكم ، والمواد المهدنة والمردة ... إلخ) . ويستخدم في واقع الأمر
 معاملان مختلفان لتكاثر النيوترونات هما K_{∞} للمفاعل ذو الأبعاد اللانهائية (لا
 يوجد تسرب) و K_{eff} للمفاعل ذو الحجم المحدد العملي ، ويرتبطان مع بعضهم
 البعض من خلال المعادلة التالية :

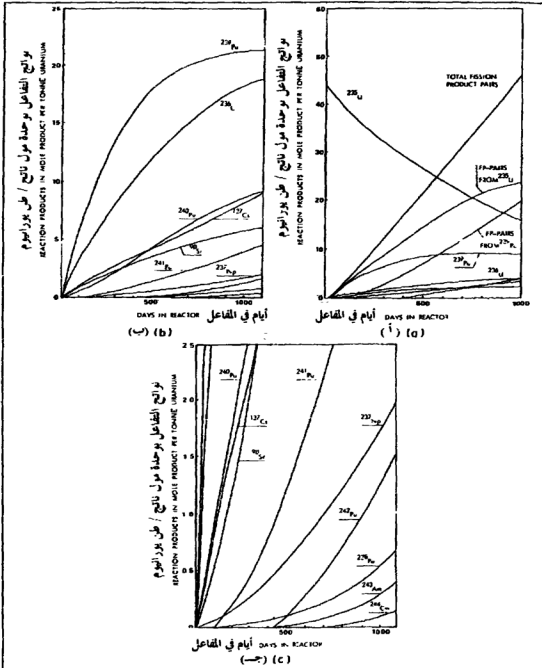
$$K_{eff} = K_{\infty} \cdot \text{ (8-16)}$$

ويمثل ∞ ذلك الجزء من النيوترونات الذي لا يفقد نتيجة تسربه إلى المناطق
 المحيطة (معامل عدم التسرب) . ومن أجل أن تقلل من تسرب النيوترونات ، يُحاط لب
 المفاعل بعاكس للنيوترونات **Neutron Reflector** ، مكون من الجرافيت أو الماء أو
 البريليوم في حال النيوترونات الحرارية أو الحديد في حال النيوترونات السريعة.

8-8 الاستفادة من الوقود Fuel Utilization

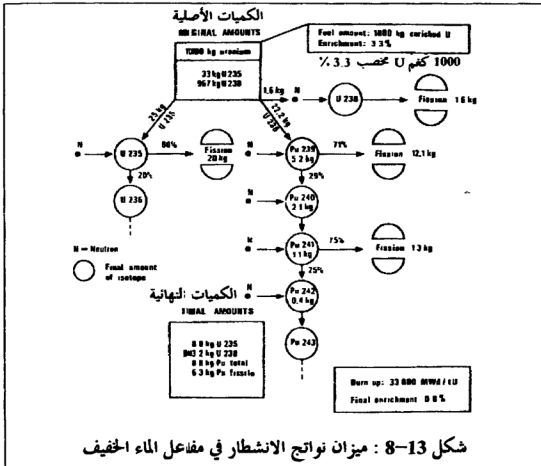
يوضح الشكل (12-8) استهلاك ^{235}U المنشطر وتكون ^{239}Pu و ^{241}Pu
 القابلة للانشطار وبعض الأكتينيدات وبعض نواتج الانشطار من خلال التقاط
 النيوترونات المصحوب بالإشعاعات من قبل ذرات ^{238}U و ^{240}Pu الخصبية . ولكل
 نوع من المفاعلات شكل خاص فيه ومنحنيات خاصة به . ويبين الشكل (4-8)
 تفاعلات الالتقاط والتحلل المختلفة . ومن (2-8) يستهلك المفاعل الذي يعمل
 بطاقة 3 غيغاواط حراري 3.16 كغم ^{235}U في اليوم ، ونظراً للتفاعل التالي
 $^{236}\text{U} (n, \gamma) ^{235}\text{U}$ فسوف تستهلك كمية إضافية من اليورانيوم-235 ، ولتبرير كل

هذا تستخدم العلاقة التالية : $1.17 = \frac{\sigma_f + \sigma_{\gamma}}{\sigma_f}$.



شكل 8-12 : علاقة نواتج التفاعل بوحدة مول ناتج/طن يورانيوم في
 (أ) يورانيوم مخضب بنسبة 1% ^{235}U في مفاعل الجرافيت . (230 ميغاواط حراري)
 (ب) و(ج) يورانيوم مخضب بنسبة 3.3% في مفاعل الماء الخفيف (1000 ميغاواط طاقة)

أي أن استهلاك ^{235}U الفعلي = $3.16 \times 1.17 = 3.70$ كغم/اليوم . وهذا ينطبق على لب المفاعل الجديد فقط ، لأن المفاعل الذي يعمل لفترة من الزمن سينتج ^{239}Pu والذي سينشطر ويطلق طاقة تضاف إلى الطاقة المنطلقة من ^{235}U . وبعد ذلك يساهم ^{241}Pu أيضاً . وبعبارة أخرى يقل استهلاك ^{235}U تدريجياً مع مرور الزمن لنفس الكمية من الطاقة المنتجة . ففي فترة عمر اللب المخصب باليورانيوم بنسبة 2-3٪ يتسبب انشطار نظائر البلوتونيوم في 40٪ من الطاقة الكلية الناتجة (الشكل 13-8) .



شكل 13-8 : ميزان نواتج الانشطار في مفاعل الماء الخفيف

وتستهلك محطة الطاقة التي تعمل بالماء الخفيف LWR 2.2 كغم ^{235}U و 2.0 كغم ^{238}U في اليوم وتنتج 1000 ميغاواط طاقة بفاعلية 33٪ . وفي المقابل ينتج

3.1 كم من نواتج الانشطار في اليوم من انشطار اليورانيوم والبلوتونيوم . ولهذا تستخدم المقاطع المستعرضة الفعالة في حساب الناتج (الشكل 4-8) . وكلما ازداد ^{239}Pu و ^{241}Pu الناتج مقابل كل ذرة ^{235}U تستهلك ازدادت فعالية الإفادة من الوقود . ونعبر عن هذا بمعامل التحويل C .

$$C = \eta - 1 - S \quad (8-17)$$

وتمثل S النيوترونات المفقودة أو الضائعة بطرق أخرى غير الانشطار وتفاعلات الالتقاط التي تؤدي لإنتاج ذرات قابلة للانشطار . فإذا افترضنا أن $C=0.8$ لمفاعل ماء ثقيل فإن مقابل كل 100 ذرة منشطرة من ^{235}U سينتج 80 ذرة جديدة من ^{239}Pu و ^{241}Pu .

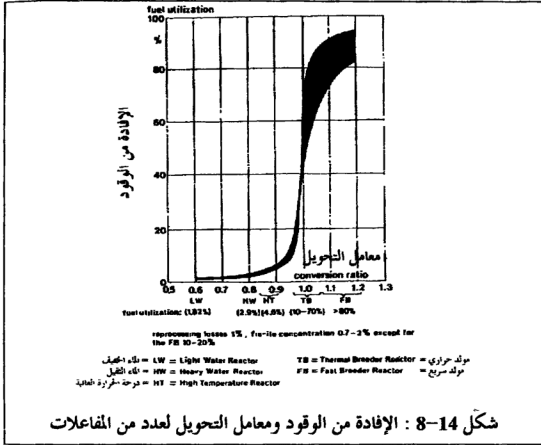
وفي الجيل الثاني ينتج C^2 جديدة من ذرات ^{239}Pu و ^{241}Pu . أي أن الجزء الذي يتحول من الوقود إلى ذرات قابلة للانشطار هو :

$$x_i (1 + C + C^2 + \dots) = \frac{x_i}{1 - C} \quad (8-18)$$

وتمثل x_i ذلك الجزء من الذرات القابلة للانشطار في العينة الأصلية ، وتساوي لليورانيوم الطبيعي 0.0071 ، وتمثل النسبة $\frac{x_i}{1 - C}$ الإفادة القصوى للوقود . وإذا استطاع مفاعل ما أن يستهلك كل المواد القابلة للانشطار الأصلية والمصنعة فيه ، حصلنا على خمس أضعاف الطاقة المنتجة من تركيز ^{235}U الأصلي فقط عند $C = 0.8$. ويستحال حدوث هذا نظراً لكبر المقطع المستعرض للالتقاط النيوترون من قبل نواتج الانشطار .

وتسمى المفاعلات التي لها $C \approx 1$ بالمفاعلات المحولة Converter Reactors ، والمفاعلات التي لها $C > 1$ بالمفاعلات الحارقة Burners . وتصنف مفاعلات الماء الخفيف ضمن الحارقة لأن لها $C \geq 0.6$. ويوضح الشكل (8-14) الإفادة من

الوقود في المفاعلات المختلفة .



ويشار إلى الإفادة من الوقود بالاستحراق **Burn-up** ونعبر عنه بنسبة الوقود المستعمل قبل أن يستبدل . فعلى سبيل المثال إذا كان الحرق 1% فهذا يعني أن من كل 1.0 طن من الوقود ، يستهلك 10 كغم من الذرات المنشطرة والذرات التي تتكون ولديها قابليتها للانشطار من خلال الانشطار والالتقاط . ولقد جرت العادة أن نعبر عن الاستحراق بكمية الطاقة الناتجة من كل طن من الوقود . فإنتاج 33000 ميغاواط/اليوم من الطاقة الحرارية يستهلك 25 كغم ^{235}U و 23.8 كغم ^{238}U من كل 1000 كغم يورانيوم مخضب ، أي ما نسبته 4.88% ، في مفاعل الماء الخفيف **LWR** . وأما ما نسبته 1% استحراق فيساوي
$$6762 = \frac{33000}{4.88}$$

ميغاواط حراري يومياً/طن من اليورانيوم . وإذا أخذنا بعين الاعتبار 6.3 كغم من البلوتونيوم المتكون والذي يحل محل ^{235}U فسيقل الاستهلاك الكلي إلى 48.8-6.3 = 42.5 كغم أو 4.25٪ ، أي أن 1٪ استحقاق مساوي 7765 ميغاواط حراري/يوم طن يورانيوم . ويعطي كل 7 طن يورانيوم طبيعي واحد طن من اليورانيوم المخصب بنسبة 3.3٪ ^{235}U ، أي أن الإفادة من اليورانيوم الطبيعي قليلة، على أن إعادة تصنيع البلوتونيوم الناتج ستزيد من الإفادة إلى الأرقام الموجودة في الشكل (14-8) .

وفي حال كانت قيمة $C < 1$ نتج عن المفاعل مواد قابلة للانشطار أكثر من المستهلكة في الانشطار ، وسمي هذا النوع من المفاعلات بالمولد وسميت العملية بالتوليد . ويعبر عن كسب التوليد (Breeding Gain) G بالمعادلة التالية :

$$G = \eta - 2 - S \quad (8-19)$$

ويعرف كسب التوليد بقدرة المفاعل على التوليد ، ويلاحظ من الجدول (8-1) أن قيمة $\eta < 2$ لكل من ^{233}U و ^{235}U و ^{239}Pu و ^{241}Pu ، وقد تزداد قيمة η إذا استخدمت المقاطع المستعرضة الفعالة (الشكل 4-8) فإذا وجدت هذه الأنوية مع المواد التي يمكن أن ينتج عنها مواد انشطارية مثل ^{238}U و ^{232}Th نتجت مواد انشطارية أكثر من تلك المستهلكة على شرط أن تكون خسارة النيوترونات أقل ما يمكن . وتزداد الإفادة في المولدات إلى 10٪ كحد أقصى في وجود المحولات، ويسمح التوليد باستخدام حوالي 70٪ من مادة الوقود (اليورانيوم الطبيعي أو الثوريوم الطبيعي) مع الاستفادة من إعادة التصنيع (الشكل 14-8) .

ويبين الجدول (8-1) أن أعلى قيمة η هي لـ ^{233}U مع النيوترونات الحرارية ولـ ^{239}Pu مع النيوترونات السريعة . وهذا يوحي بوجود نوعين من المولدات ،

المولدات الحرارية المبنية على التفاعل $^{239}\text{Pu} \rightarrow ^{232}\text{Th}$ والمولدات السريعة المبنية على التفاعل $^{238}\text{U} \rightarrow ^{239}\text{Pu}$.

ومن أجل أن تعمل هذه المولدات بفاعلية عالية لأبد من تزويدها بتركيز عال من ^{233}U أو ^{239}Pu يتراوح من 15% إلى 30%.

وتصل الإفادة من الوقود في المولد السريع مثل فينكس الفرنسي إلى أعلى ما هو مذكور في مفاعلات الماء الخفيف ، فواحد في المئة استحقاق يكافئ 8500 ميغاواط حراري/يوم طن من الذرات الثقيلة . وقد يصل الاستحقاق إلى 15% (130000 ميغاواط/يوم طن) .

8-9 ظاهرة أوكلو The Oklo Phenomenon

استخرج الفرنسيون اليورانيوم من منجم أوكلو في الغابون في أفريقيا للعديد من السنين ، وكانوا ينقلون اليورانيوم إلى محطة بيرات لتخصيب اليورانيوم الفرنسية لاستخدامه في المفاعلات . وقدر الخام بحوالي 400000 طن من اليورانيوم ولقد وجدت بعض الجيوب الغنية جداً باليورانيوم مطمورة في الحجر الرملي والغرانيت . وتأخذ هذه الجيوب شكل العدسة ويبلغ طولها 10م وقطرها حوالي 1م وتحتوي على 10-20% بتش بلند ، وهناك بعض البقع التي تحتوي على 85% من البتش بلند النقي .

وفي عام 1972 اكتشف العلماء أن نسبة نظائر اليورانيوم لبعضها البعض تختلف عن النسبة المعروفة لليورانيوم والمستخرجة من مصادر أخرى ، فلقد بلغت نسبة ^{235}U في خام الغابون أقل من 0.5% علماً بأن النسبة في اليورانيوم الطبيعي 0.72% ، وتؤدي النسبة القليلة > 0.5% إلى صعوبات في عملية التخصيب . ولقد

أظهرت الدراسات أن نسبة ^{142}Nd في النيوديميوم الطبيعي 27٪ بينما في أوكلو أقل من 5٪ ، ونسبة ^{143}Nd 12٪ بينما في أوكلو 24٪ . وإذا درسنا نواتج الانشطار وجدنا أن نسبة ^{143}Nd 29٪ ونسبة ^{142}Nd صفر بالمقارنة مع النسب في أوكلو . وفسر العلماء هذا على أساس انشطار ^{235}U في الزمن الماضي ، مما أدى إلى انخفاض نسبة ^{235}U وزيادة نسبة ^{143}Nd ، ولقد دعمت هذا التفسير الدراسات التي أجريت على التكوين النظري لعناصر الانشطار الأخرى .

ونظراً لقصر نصف عمر ^{235}U بالمقارنة مع ^{238}U فإن كل خامات اليورانيوم كانت غنية باليورانيوم 235 في الزمن الماضي . ولقد قدر العلماء عمر الرواسب في أوكلو بـ 1.74×10^9 سنة من خلال تحليل $^{87}\text{Sr} - ^{87}\text{Rb}$ وأن نسبة ^{235}U في ذلك الوقت في اليورانيوم الطبيعي بـ 3٪ .

ويزداد عامل الانشطار η كلما ازدادت نسبة ^{235}U ، ويساوي 1.8 عند 3٪ ^{235}U ، ولقد أدت الظروف في رواسب أوكلو الطبيعية إلى قيمة $K_{\infty} < 1$.

وبما أن طبيعة الرواسب رسوبية ، وأنها قد تكونت في وجود الماء وكانت نسبة $\text{H}_2\text{O} : \text{U}$ هي 1:3 فإن $K_{\infty} < 1$.

ولقد أثبتت التحاليل والحسابات وجود مفاعلات أوكلو الطبيعية لمدة تقل عن 10^6 سنة . وكان للماء دور مهم فكلما غلي الماء وتبخّر توقف عمل المفاعل إلى أن يأتي المطر بالماء فيعود المفاعل إلى العمل . وقدر فيض النيوترونات بما لا يقل عن 10^9 n/سم² ثانية . كما قدرت كمية ^{235}U المستهلكة بحوالي 6 طن ، والطاقة الناتجة الكلية بحوالي 2-3 غيغا واط/السنة وكمية ^{239}Pu المتكونة من التقاط ^{238}U لنيوترون بحوالي 1.0-1.5 طن ، ونظراً لقصر عمر ^{239}Pu النسي فلقد تحلل مع مرور السنين إلى ^{235}U . ويستدل على هذا من وجود بعض العينات المخضبة

باليورانيوم-235 .

ولقد بينت الدراسات وجود الفضلات المشعة في مفاعل أوكلو ، فهناك البلوتونيوم والعناصر النادرة ، أما العناصر المتطايرة والذائبة في الماء مثل السيزيوم والسترونشيوم فلم توجد في موقع المفاعل ، ووجدت نواتج الانشطار الأخرى ، على الرغم من مرور 1.7×10^9 سنة . وهناك عدة أمثلة في العالم على ما حدث في أوكلو .

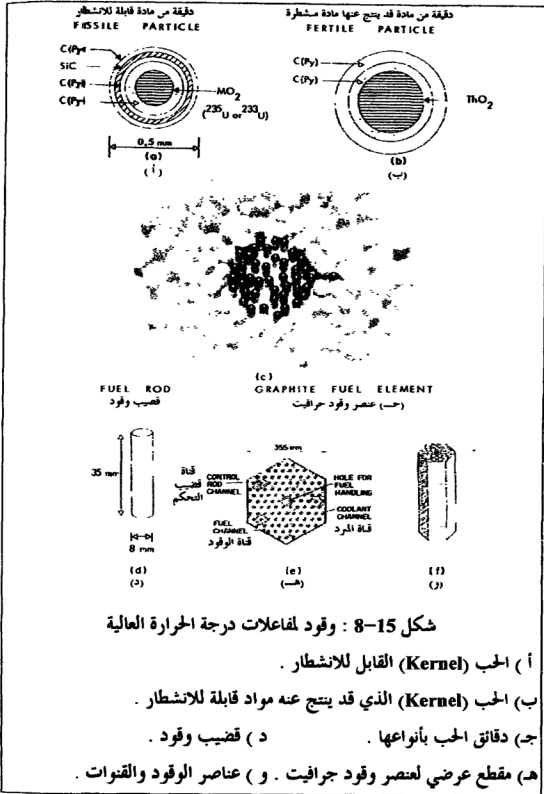
8-10 الوقود النووي Nuclear Fuels

تستخدم المفاعلات النووية التجارية اليورانيوم كوقود . ويكون اليورانيوم إما بحالته الطبيعية (نسبة ^{235}U 0.7٪) أو مخضب باليورانيوم-235 لارتفاع نسبة ^{235}U . وقد تحتوي بعض المفاعلات أيضاً على ^{232}Th الذي يولد ^{233}U المنشطر أو ^{239}Pu الناتج عن ^{238}U بالإضافة إلى ^{235}U (وقود متنوع) .

وبغض النظر عن عنصر الوقود أكان يورانيوم أو ثوريوم أو بلوتونيوم فلا بد أن تكون لديه القدرة على مقاومة درجات الحرارة المرتفعة والتي قد تزيد على 1000°م دون أن يفسد كيميائياً أو فيزيائياً بسبب الحرارة أو الإشعاع .

تتمتع عناصر الوقود المعدنية بالتوصيل الحراري العالي مما يساعدها على تقليل آثار الحرارة ولكن لسوء الحظ ينصهر اليورانيوم عند 1130°م والبلوتونيوم عند 640°م . وقد تسبب الحرارة أو الإشعاع مجتمعين أو منفصلين إلى إعادة التبلور لتعطي أشكالاً بلورية مختلفة ذات أبعاد فيزيائية مختلفة في قضبان الوقود . وتقلل هذه التشوهات من الاستقرار الميكانيكي وتزيد من التآكل لعنصر الوقود حتى لو كانت مكسوة بالمعدن .

تستخدم معظم مفاعلات الطاقة حبيبات من UO_2 أو PuO_2 أو ThO_2 المغلفة بالسيراميك ، ويصل حجم الحبيبات الاسطوانية إلى 1×1 سم (القطر X الارتفاع) الشكل (15-8 أ) . وتمتاز عناصر الوقود السيراميكية بمقاومتها لدرجات الحرارة العالية وللإشعاعات ولا يحدث فيها تحولات في الحالة (أو الطور) كما في المعادن . ولسوء الحظ فإن توصيلها الحراري غير مرض بالمقارنة مع عناصر الوقود المعدنية ولهذا قد يصل الميل الحراري فيها إلى 100°م/م مما قد يؤدي إلى انصهار عناصر الوقود السيراميكية الموجودة في المركز (درجة انصهار UO_2 2700°م) بينما تبقى درجة الحرارة عند السطح أقل بكثير من درجة الانصهار . وللحصول على أقصى توصيل حراري في مواد الوقود السيراميكية لابد من ضغطها بشدة وتليدها لتصل إلى كثافة 11 غم/سم³ UO_2 . وإذا استخدم مخلوط من الأكاسيد كعناصر للوقود (MOX) كاستخدام UO_2 مع $\text{PuO}_2 > 5\%$ في مفاعلات الماء الخفيف أو UO_2 مع $\text{PuO}_2 \geq 15\%$ في المولدات السريعة ، يجب أن يكون مخلوط UO_2 - PuO_2 متآلف لحد كبير ، كأن يكون محلول صلب . ويتم الحصول عليه من خلال عملية الترسيب الإسهامي للأكتينيدات رباعية التأكسد على هيئة الأوكزالات المتبوعة بعملية الكلسنة . تضاف عناصر الوقود MOX بشكل منتظم إلى لب العديد من مفاعلات الماء الخفيف الأوروبية دون أي صعوبات تقنية . كما يستخدم مخلوط من أكسيد اليورانيوم والثوريوم كوقود في مفاعلات الماء الثقيل . ويمكن الاستعاضة عن الحبيبات بدقائق الوقود الكروية ، نظراً للعديد من المزايا كالتصنيع والإفادة من المفاعل وإعادة تصنيع الوقود . ولدقائق الأكسيد أو الكريد قطر صغير أقل من 1ملم (الشكل 15-8 ج) .



وتصنع هذه الدقائق بطريقة الجل-الخلول (Sol-gel process) حسب الخطوات التالية :

أ) يحضر محلول غروي من الأكسينيدات أو الأكسينيد . وقد تأخذ الأكسينيدات صيغة المعقدات الميهة عند التراكيز العالية من 3-4 جـ (M) .

ب) يضاف الخلول إلى مذيب خامل ، والذي بدوره يزيل الماء من المعقد فيحول القطرات إلى مادة هلامية . ومن الأمثلة على ذلك إضافة سداسي مفلين رباعي الأمين $(CH_2)_6N_4$ إلى الخلول المائي ، ثم يضاف الخلول الناتج قطرة قطرة إلى المذيب العضوي الساخن (حوالي 95°م) . تؤدي الحرارة إلى تحلل $(CH_2)_6N_4$ ليعطي NH_3 والتي بدورها ترسب الهيدروكسيد في القطرة . تنقد القطرة الماء وتتصلب بسرعة مكونة ما يسمى بالحب "Kernel" .

جـ) يغسل الحب ويجفف بالهواء عند 150-200°م وفي حال البورانيوم يحتزل بالهيدروجين عند درجة حرارة عالية ليكون UO_2 .

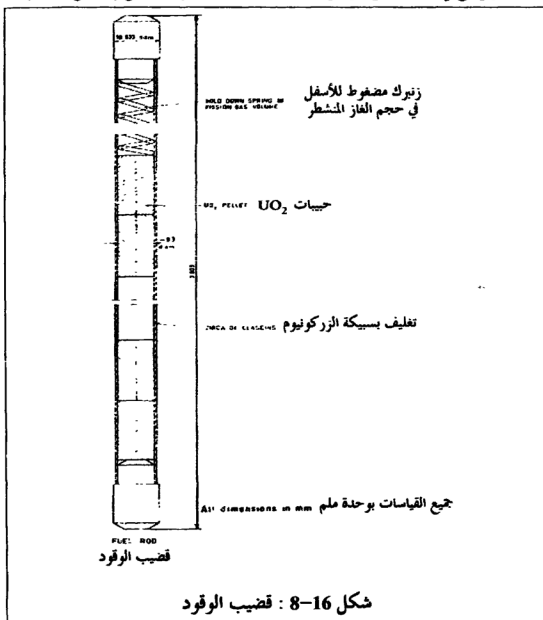
د) يلد الحب عند درجة حرارة عالية في جو خامل .

وتستخدم الطريقة السابقة في تحضير حب كربينات الأكسينيد . ويوضع الحب في أغشية قضبان الوقود ثم يضغط ليكون حبيبات (الشكل 15-8 د) .

يغلف الوقود المعدني بصفائح من الألنيوم أو المغنيسيوم أو سبيكة منهما ، أما حبيبات أكسيد الوقود فتغلف بسبائك من الزركونيوم أو الفولاذ . وتهدف عملية تغليف الوقود إلى حمايته من التآكل وإلى حماية المبرد من التلوث الإشعاعي من نواتج الانشطار .

يستخدم الألنيوم في مفاعلات الماء الخفيف ولكن عند درجة حرارة أعلى من 300°م لأبداً من استخدام سبائك الزركونيوم الأقوى . ويمتص الزركونيوم الهيدروجين إذا وصلت درجة حرارة البخار إلى أعلى من 400°م ، مما يؤدي إلى الزيادة في هشاشته ، فيستعاض عنه بالفولاذ . ومن أشهر السبائك ، سبيكة الزركونيوم-2 والتي تتكون من 1.5% Sn و 0.3% Cr و Ni و Fe ، بالإضافة إلى الزركونيوم ، وسبيكة الفولاذ-302B والتي تتكون من 18% Cr و 8% Ni بالإضافة إلى الفولاذ . ولا يستخدم الفولاذ عند درجات الحرارة المنخفضة لارتفاع المقطع المستعرض لالتقاط النيوترونات ($\sigma = 0.23$ b للألنيوم و 0.18 b لسبيكة الزركونيوم و 3b للفولاذ-302B) .

وللحصول على توصيل حراري جيد بين الوقود والتصفيح تستخدم مواد رابطة مثل مصهور الصوديوم ومسحوق الجرافيت ... إلخ . ويجب أن تتوفر في مادة التغليف أو التصفيح القدرة على مقاومة التآكل من المبرد عند جميع درجات الحرارة وأن لا تتفاعل مع عنصر الوقود أو مع المادة الرابطة . ويراعى في التغليف الرقة والقوة الميكانيكية الكافية والمقاومة للتآكل (الشكل 16-8) .



تتكون عناصر الوقود المستخدمة في المفاعلات المبردة بالغاز ذات درجات الحرارة العالية من قضبان من الجرافيت أو كرات مملوئة بحبيبات الكرييد أو الأوكسيد المحضرة بطريقة الجل-الخلول . كما تغطي الحبيبات بعدة طبقات من الجرافيت وكرييد السليكون (الشكل 15-8 أ و ب) .

يشكل الوقود أهم جزء في اقتصاد مفاعلات الطاقة ، ويساهم بحوالي 20٪ من تكلفة الطاقة الكهربائية المولدة من المفاعلات من خلال استهلاك المادة المتظرة والإنتاج وإعادة التصنيع . ويتطلع العلماء إلى التقليل من تكلفة الوقود في مفاعلات التوليد السريعة .

8-11 مفاهيم المفاعل Reactor Concepts

صممت المفاعلات النووية لإنتاج الطاقة الحرارية والميكانيكية والكهربائية وإنتاج النوى المشعة والمواد المستخدمة في الأسلحة النووية ولإجراء الأبحاث في مجال الفيزياء والكيمياء النووية ... إلخ . ويتوقف تصميم المفاعل على استخداماته ففي حال المفاعلات المستخدمة لإنتاج الطاقة الكهربائية يتم اختيار التصميم الذي يعطي كهرباء بأرخص الأسعار آخذين بعين الاعتبار جودة التصميم لفترة زمنية طويلة . وقد يعدل التصميم بناءً على توفر واقتصاد المصادر الوطنية وعلى القوى البشرية والمهارات المتوفرة وعلى أسباب السلامة . كما تسعى الدول الراغبة في الحصول على الأسلحة النووية إلى اختيار نظام المفاعل الوطني الذي يؤمن لها ما تحتاجه من مواد انشطارية وتستطيع أن تضبط عملية تهريب أو انتقال هذه المواد إلى بلدان غير نووية أو منظمات إرهابية (حسب تعريف الدول الخمس النووية) . وفي وقتنا هذا هناك ما لا يقل عن 12 تصميم مستخدم في المفاعلات في العالم .

هناك ثلاث مبادئ رئيسية تدخل في تصميم المفاعل :

أ (طاقة النيوترونات (مفاعلات حرارية أو سريعة) .

ب) شكل لب المفاعل (متجانس أو غير متجانس بين الوقود والمبرد)

ج) الاستفادة من الوقود (حراق أو محول أو مولد) .

وقد يتكون اللب في المفاعل المتجانس من مصهور المعدن أو مصهور الملح أو محلول مائي أو محلول عضوي . وأما في المفاعل غير المتجانس فيتكون الوقود من قضبان مملوءة بأكسيد المعدن . وقد تتكون مادة الوقود من الذرات القابلة للاشتعال ومن الذرات التي قد ينتج عنها ذرات أخرى قابلة للاشتعال مخلوطة أو مفصولة كأن يكون اللب من الذرات القابلة للاشتعال والبطانة من الذرات التي قد ينتج عنها ذرات أخرى قابلة للاشتعال . ومن المهندسات المستعملة : H_2O أو D_2O أو Be أو الجرافيت أو مذيبي عضوي . ومن المبردات المستعملة : مصهور المعدن أو مصهور الملح أو الماء H_2O السائل أو الماء الثقيل D_2O أو المذيب العضوي أو غاز CO_2 أو غاز الهيليوم أو بخار الماء . ويلخص الجدول (3-8) أنواع المفاعلات المختلفة المعروفة والجدول (4-8) الخصائص المهمة لبعض المفاعلات المستعملة .

| | |
|--------|--|
| AGR | Advanced gas-cooled graphite-moderated reactor |
| HHWR | Boiling heavy-water-cooled and -moderated reactor |
| LWR | Boiling light-water cooled and -moderated reactor |
| FBR | Fast breeder reactor |
| GCFFBR | Gas-cooled fast breeder reactor |
| SCR | Gas-cooled graphite-moderated reactor |
| HTGR | High temperature gas-cooled graphite-moderated reactor |
| HWGCR | Heavy-water-moderated gas-cooled reactor |
| HWLWR | Heavy-water-moderated light-water cooled reactor |
| LWGR | Light-water-cooled graphite-moderated reactor |
| LMFBR | Liquid-metal-cooled fast breeder reactor |
| OMR | Organic-moderated and -cooled reactor |
| PHWR | Pressurized heavy-water-moderated and -cooled reactor |
| PWR | Pressurized light-water-moderated and -cooled reactor |
| SGR | Sodium-cooled graphite-moderated reactor |

جدول 3-8 : أنواع المفاعلات المختلفة باللغة الإنجليزية والاختصار لكل منهم .

8-12 Radioactive Wastes المشعة الفضلات

تتجمع نواتج الانشطار والأكتينيدات في المفاعلات النووية المثالية في داخل عناصر الوقود ، وهناك ثلاث طرق يمكن من خلالها للمواد المشعة بأن تغادر وعاء المفاعل ومحمولة من قبل المبرد في جميع الحالات :

أ) النشاط الإشعاعي المتولد في وسط التبريد .

ب) تحتوي نواتج التآكل النشاط الإشعاعي المتولد من مواد البناء .

ج) تسرب نواتج الانشطار والأكتينيدات من عناصر الوقود التي بها عيوب.

وبناء على هذا فإن مفاعل HTGR أقرب إلى المفاعل المثالي ، بينما تشكل

نواتج النشاط الإشعاعي في مفاعلي BWR و PWR مصدر قلق كبير . وتقسم الفضلات المشعة إلى فضلات غازية وسائلية وصلبة .

8-12-1 Gaseous Wastes الغازية الفضلات

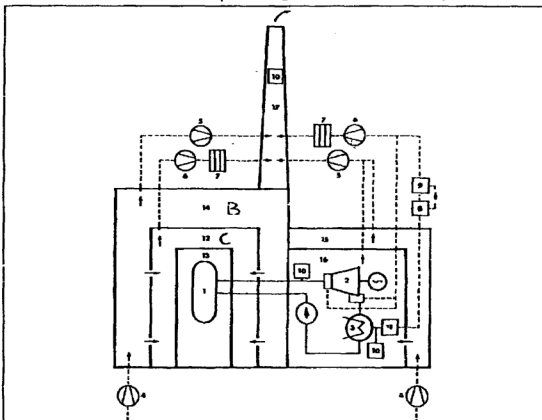
يتسبب فيض النيوترونات السريعة والحرارية العالي في إنتاج عدة أنشطة إشعاعية في الماء الخفيف H_2O هي :

$^2H(n,\gamma)^3H$ و $^{16}O(n,p)^{16}N$ و $^{18}O(n,\gamma)^{19}O$ و $^{18}O(n,p)^{18}F$. ويتج ^{13}N المشع من تفاعلي $^{13}C(n,p)^{13}N$ و $^{14}N(n,2n)^{13}N$ ، ويأتي الكربون من الفولاذ و CO_2 والنيتروجين من الماء . ويتج ^{14}C من تفاعلات ^{13}C و ^{14}N (الذائب في الوقود بتركيز 10-60 ppm) و ^{16}O ، وتقدر الكمية الناتجة بحوالي 10-20 كوري ^{14}C لكل غيغا واط كهرباء/سنة . ونتيجة لوجود B و Li و Ar في ماء التبريد تحدث التفاعلات التالية $^{10}B(n,2\alpha)^3He$ و $^6Li(n,\alpha)^3He$ و $^{40}Ar(n,\gamma)^{41}Ar$. وتتراوح كمية الزيريوم في مفاعل PWR من 1-10 كوري/م³ وذلك لاحتوائه على حامض البوريك ، وفي مفاعل BWR تصل إلى 10⁻³ كوري/م³ .

| المرع | النموذج | الطاقة Power (MW _e) | الوقود Fuel (enrichm.%) | الغلاف Cladding | المهدئ Coolant | المبرد Coolant temp. (°C) | ضغط المبرد Coolant press. (M Pa) | صافي الفعالية Net eff. (%) | الاستحراق Burn-up (M Wd/t ¹) | معامل درجة الحرارة Temp. coeff. | حجم القلب Core size (h×d m ²) |
|-------|--------------------------------|---------------------------------------|--|--------------------|-------------------|---------------------------------|---|----------------------------------|--|--|---|
| Type | Example | | | | rator | | | | | | |
| PWR | Diablo Canyon, USA | 1100 | 88 t UO ₂ (2.5) | Zr | H ₂ O | 317 | 16 | 32 | 33 000 | -Neg. | 3.7×3.4 |
| PWR | Novovoronezh, USSR | 1000 | 75 t UO ₂ (~4) | Zr | H ₂ O | 322 | 16 | 32 | 26 500 | -Neg. | 3.5×3.1 |
| BWR | Formarå, Sweden ^(a) | 900 | 140 t UO ₂ (2.6) | Zr | H ₂ O | 290 | 7 | 34 | 30 000 | -Neg. | 3.6×4.5 |
| PHWR | Bruce 1, Canada | 746 | 129 t UO ₂ (nat.) | Zr | D ₂ O | 304 | 8.7 | 30 | 9 800 | +Pos. | 5.9×7.1 |
| GCR | Wylfa, UK | 655 | 595 t U (~2) | Mgn | C | 414 | 2.8 | 26 | 3 500 | +Pos. | 9.2×17.4 |
| AGR | Hinkley Point B, UK | 620 | 129 t UO ₂ (~2) | St | C | 645 | 4 | 42 | 18 000 | +pos. | 8.3×9.1 |
| HTGR | Fort St Vrain, USA | 330 | 1 t t C (93), 20 t ThC | C | C | 770 | 5 | 39 | 100 000 | -Neg. | 5.9×4.8 |
| LMFBR | Phoenix, F | 233 | 0.8 PuO ₂ , 4 t UO ₂ (0.3) | St | - | 510 | 0.1 | 41 | 70 000 | -Neg. | 0.9×1.4 |

جدول 8-4 : خواص مفاعلات الطاقة المستخدمة في العالم .

ويلاحظ أن هذه الأنوية المشعة الناتجة نصف عمر قليل ، أي أنها تتحلل إلى نواتج مستقرة من خلال أشعة جاما ذات الطاقة العالية . تنتقل الغازات المشعة في مفاعلات BWR مع البخار إلى التوربينات ، حيث يتحلل جزء منها هناك مما يؤدي إلى زيادة في النشاط الإشعاعي في هذا الجزء من المفاعل ولا يسمح للأشخاص العاملين هناك في البقاء طويلاً حفاظاً على سلامتهم .



شكل 17-8 : نظام تنقية الغاز والتهوية في مفاعل BWR

- (1) مفاعل (2) التوربين (3) مكثف التوربين (4) مراوح التهوية (5) مراوح إخراج الهواء القوي
- (6) مراوح إخراج الهواء الملوث (7) مصافي معددة (8) خزانات تأخير (9) فاصل للغازات السائلة
- (10) جهاز لقياس النشاط الإشعاعي (11) طارد فراغي (12) فراغ في مبنى المفاعل (13) وعاء المفاعل
- (14) فراغ في مبنى المفاعل (15) فراغ في مبنى التوربين (16) حاري التوربين (17) مجموعة .

ولتقليل التلوث الناجم عن النواتج الغازية المنقولة مع البخار لأبد من توفر نظام تصريف وشفط فاعلين في موقع المكثف في التوربين . وبهذا يزال النشاط الإشعاعي قبل أن تتم عملية الإمساك بالغازات من قبل المصافي المكونة من عدة طبقات من مادة ماصة كالفحم . ويحتوي نظام التهوية على مصافي وظيفتها التقاط أي نشاط إشعاعي يتسرب خارج المفاعل والتوربين لأن لا يتسرب إلى البيئة المحيطة مع الهواء الخارج . ويبين الشكل (8-17) نظام تنقية الغاز الموجود في مفاعل BWR . وإذا انطلقت نواتج الانشطار من عناصر الوقود التي بها عيوب (المعيوبة)، فإن أول ما يظهر في ماء التبريد ^{133}Xe و ^{135}Xe و ^{85}Kr و ^{133}I ... إلخ. وتحفظ مصافي الفحم بالغازات النبيلة ويزال اليود بعدة طرق منها مصافي الفحم المشبعة بيوريد البوتاسيوم أو مصافي الزيولايت المشبعة بنترات الفضة . وهناك أيضاً بعض الأنوية المشعة في البخار مثل ^{24}Na ونواتج التآكل ونواتج الانشطار مثل ^{91}Sr و $^{99\text{m}}\text{Tc}$ و ^{137}Cs . وتظهر هذه الأنوية على هيئة الرذاذ ، ويلخص الجدول (5-8) الغازات المنطلقة من مفاعلات BWR ، PWR التجارية الألمانية والتي تشكل $\geq 1\%$ من القيم المسموح بها بيئياً . ويبين الشكل (8-18) تفاصيل الفضلات الغازية .



8-12-2 الفضلات السائلة Liquid Wastes

تظهر نواتج الانشطار والتآكل على هيئة أيونات ذائبة أو راسبة في الحفارة وذلك حسب الظروف الكيميائية والمائية . ومن أهم نواتج التآكل ^{59}Fe و ^{51}Cr و ^{58}Co و ^{60}Co و ^{65}Zn و ^{124}Sb ومن أهم نواتج الانشطار ^{131}I و ^{134}Cr و ^{137}Cs . وتنطلق بقية نواتج الانشطار والأكتينيدات بكميات صغيرة حسب نوع وحجم تسرب عنصر الوقود . ويتم إزالة هذه النواتج باستمرار من قبل دائرة التبريد . وفي مفاعلات PWR يسحب تيار من السائل باستمرار من المبرد في الدائرة الرئيسية الموجودة في الجهة الخلفية لمبادل الحرارة الرئيسي . وبعد التبريد في مبادل حراري آخر يسمح للماء بالمرور في مصفاة (حجم الفتحة 125µ) وفي مبادل أيوني يزيل الأيونات والدقائق . ويبين الشكل (8-18) تفاصيل مجاري الفضلات السائلة مبنية سرعة الجريان والنشاط الإشعاعي .

ولقد صمم النظام ليسمح في فصل مجاري الفضلات حسب خواصها وطريقة معالجتها . وتولد كمية كبيرة من الفضلات السائلة عن مولد البخار الثانوي ، كما تتولد أكبر كمية من النشاط الإشعاعي من أنظمة التنقية مثل المصافي والمبادل الأيوني . ويتكون المبادل الأيوني من مادة غير عضوية كالكيسلفوهر Kieselghur أو مبادل أيوني عضوي ، وأكثرها فعالية نظام بودكس Powdex الذي يتكون من مسحوق ناعم جداً (~ 400 مش Mesh) من مبادل أيوني عضوي موجب وسالب . وينظر إلى نظام حامض البوريك في مفاعلات PWR على أنه جزء من دائرة التنظيف أو التنقية .

وتحتوي مفاعلات BWR على دائرتي تنقية للسوائل . الأولى بعد المكثف والثانية تسحب تيار صغير من أسفل وعاء المفاعل . وتحتوي تنقية المكثف على

مبادل أيوني كما في PWR . ويتكون بصام تنقية وعاء المفاعل من نظام تبادل أيوني مختلط ومن مواد تنقية أخرى كالمغناتيت والكيسلغوهمر . وتبلغ سعة نظام التنقية 50م³/الساعة .

يصل النشاط الإشعاعي إلى قيم عالية في أنظمة التنقية ، والحد الأقصى لجرعة الامتصاص لراتنجات التبادل الأيوني العضوية هو 10⁸ راد . كما يعاد غسل المصافي وتبديل الراتنجات بطريقة التحكم عن بُعد في حال أظهرت القياسات تسرب كميات كبيرة من الإشعاعات وفي الوقت الحاضر لا تتم عملية التجديد للراتنجات .

وإذا أظهرت المصافي والمبادلات الأيونية قصور في أدائها في تنقية الماء الدائر والماء الذي سيخرج إلى البيئة وجب إضافة نظام تبخير . علماً بأن نظام التبخير من الأجزاء الموجودة في دائرة التحكم بحامض البوريك في مفاعل PWR .

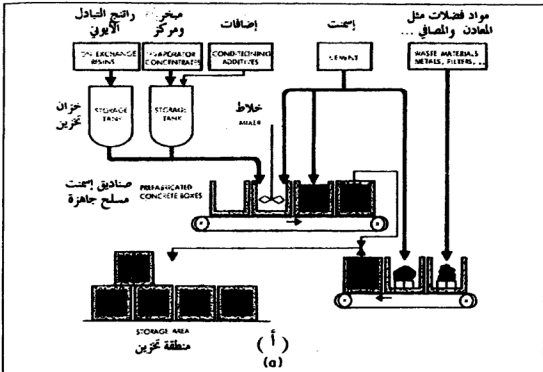
ويبين الجدول (5-8) السوائل المنطلقة من مفاعلي PWR و BWR الألمانية . ولا تتعدى الكميات المنطلقة أجزاء من مئة من القيم المسموح فيها ، وتعزى الزيادة في النشاط الإشعاعي للأنهار إلى النشاط الإشعاعي للماء المنصرف من المفاعل فتصل إلى 3×10⁻¹⁰ كوري/م³ في نهر الفزر وإلى 1×10⁻¹¹ كوري/م³ في نهر الراين . والكميات المسموح بخروجها إلى البيئة سنوياً هي 10⁴ كوري T و 10² كوري من الأنوية التي تطلق β و γ و 50 كوري من الأنوية التي تطلق α . وتحسب الآن الكميات المسموح بانطلاقها من كل محطة نووية آخذين بعين الاعتبار بناءها وموقعها والتوزيع السكاني المحيط بها .

8-12-3 الفضلات الصلبة Solid Wastes

تنتج الفضلات المشعة الصلبة من العديد من مكونات ودوائر تنقية المحطة النووية . ويزال التلوث من العديد من المواد الملوثة بطرق المعالجة المناسبة وذلك لتوفير المال وأماكن تخزين الفضلات . ويتم تركيز المواد الصلبة القابلة للاحتراق باستخدام أجهزة الحرق *Incinerator* . وتستخدم عدة طرق في تثبيت الفضلات الصلبة بحيث يمكن تخزينها بسلامة وبأقل مراقبة . ولهذا فإنها توضع داخل مواد غير ذاتية تأخذ شكل القطع ذات الحجم والنشاط الإشعاعي الصغيرين وبحيث نستطيع التعامل معها باستخدام الرافعة الشوكية .

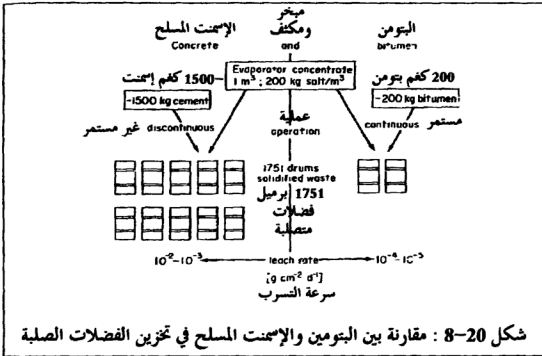
وتختلف كميات الفضلات الصلبة من محطة إلى أخرى بناء على الطرق المستخدمة في التنقية والتركيز . ويقدر المعدل السنوي لمفاعل *LWR 1000* ميغواط كهرباء من الفضلات الصلبة على النحو التالي :

- 30 م^3 راتنجات التبادل الأيوني المنهكة (المستخدمة كثيراً) (~ 50% ماء).
 - 20 م^3 (~ 80% ماء) مخلفات التبخير .
 - 60 م^3 من المواد المركزة من المصافي والمكثفات .
 - 5 طن من الفضلات الناتجة عن دوائر المفاعل الرئيسية .
 - 200 م^3 (~ 40 طن) من الفضلات ذات النشاط الإشعاعي القليل .
- ويقدر النشاط الإشعاعي في الراتنج بحوالي 200-500 كوري ^{60}Co و 300-3000 كوري ^{137}Cs وأقل من 200 كوري ^{90}Sr وفي المواد المركزة من المصافي والمبخرات بأقل من $\frac{1}{10}$ من الموجود في الراتنج .



شكل 19-8 : عملية تحويل الفضلات إلى مواد صلبة في صناديق من الإسمنت المسلح

ويوضح الشكل (19-8) عملية تحويل الفضلات إلى مواد صلبة لثبيتها في الأسمنت باستخدام صناديق الإسمنت المسلح الجاهزة . وتصلح هذه الطريقة للأدوات الملوثة والمنشطة وللراتنجات واللبقايا الصلبة ... إلخ . وتؤدي هذه الطريقة إلى الزيادة في حجم الفضلات بحوالي من 4 إلى 40 مرة من الفضلات غير المحمية . ومن مزايا الإسمنت المسلح أنه رخيص الثمن ومقاوم للحريق وللتآكل ، إلا أنه يمكن للأيونات المشعة الذائبة في الماء أن تمر عبره بواسطة الماء ، كالسيزيوم . وقد اقترح العلماء لمعالجة هذه المشكلة إضافة مواد رابطة بلاستيكية إلى الإسمنت المسلح والبتومن لتستخدم كمواد تخزين . وفي حال استخدام البتومن لأبدن من إزالة الماء لتقليل حجم الفضلات ومن وضع مخلوط البتومن في براميل فولاذية حجمها من 150-200 لتر وفي حال احتجنا إلى وقاية وحجب أكثر توضع البراميل في أكمام بسهل التخلص منها أو إعادة استعمالها من الإسمنت المسلح أو الحديد أو الرصاص . ويزن كم الرصاص 7طن وسمكه 12سم ويقلل معدل الجرعة السطحية بحوالي 10^3 مرة من 100 ريم/الساعة ، والتي تستدعي استخدام التحكم عن بُعد عند التعامل معها في غياب الواقى . ويقارن الشكل (20-8) بين عملية استخدام الإسمنت والبتومن . ومن مزايا البتومن صغر حجم الفضلات وقلة سرعة مرور الأيونات عبره ومن عيوبه قابليته للاحتراق وقلة مقاومته للإشعاعات ، وقد يؤدي احتراقه إلى انطلاق آلاف الكوري من الأنوية طويلة العمر . ويفضل البتومن في حال كانت الفضلات الصلبة ذات نشاط متوسط وقليل ، وهو أفضل مادة تثبتت في الوقت الحاضر .



وينتج سنوياً حوالي 270 برميل بتومن سعة 200 لتر مملوءة بالفضلات المركزة من مفاعل 1300 ميغاواط كهرباء في ألمانيا ، منها 50 برميل مملوء بالفضلات المتوسطة النشاط الإشعاعي والحاطة بواقي من الإسمنت المسلح . وإذا لم تحتوي الفضلات المتصلبة على نواتج الانشطار فإن زمن تخزينها 50 عام . وهذه الفترة الزمنية كافية لتحلل الأنوية المشعة مثل ⁶⁰Co إلى كميات صغيرة جداً ، مما يسمح بتخزينها في موقع المفاعل . وإذا كانت كمية ⁹⁰Sr و ¹³⁷Cs والأكثيدات عالية فلا بُد من تخزينها لزمن أطول في مواقع تخزين خاصة . ويفضل فصل هذه النواتج عن بقية الفضلات لإضافتها إلى الفضلات عالية النشاط في مصانع إعادة التصنيع . وأدت الإشعاعات المنطلقة من محطات الطاقة النووية في ألمانيا الغربية (سابقاً) عام 1974 إلى زيادة في الجرعة الكلية التي تتعرض لها الجماهير بحوالي >0.01 ملريم ، وهذه كمية صغيرة يصعب قياسها .

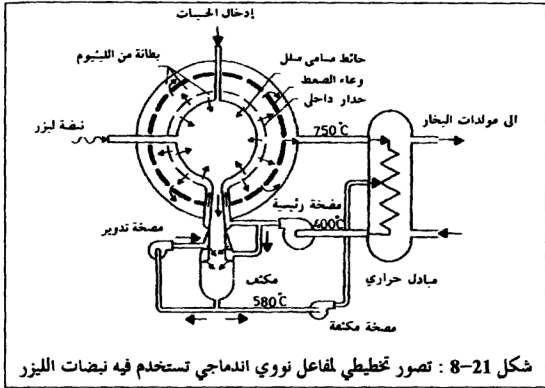
13-8 الاندماج النووي Nuclear Fusion

أجبرت مشكلة الفضلات المشعة الإنسان على التفكير في الاندماج النووي كوسيلة لإنتاج الطاقة . وتتم هذه العملية عند اندماج نظيرين لكل منهما عدد كتلي صغير ، ليتكون نظير أثقل منهما . فتفاعل الاندماج الذي يحدث في القنبلة الهيدروجينية هو :



وهو أحد التفاعلات التي تجري في الشمس وتساهم في إنتاج الطاقة الشمسية . وبالرجوع إلى الفصل الثاني نجد أن طاقة الاندماج نابعة عن تكون نظير أثقل ، له طاقة ربط نووي لكل نيوكليون أعلى من تلك التي للنظائر الخفيفة الداخلة في عملية الاندماج. كما أن كتلة النظير الناتج أقل من مجموع كتل النظائر المندمجة وهذا الفرق في الكتلة يتحول إلى طاقة حسب معادلة أينشتاين . وتحتاج تفاعلات الاندماج إلى طاقة تنشيط عالية للتغلب على قوى التنافر بين نواة كل من النظائر الخفيفة وغيرها . لهذا لا بُد من حدوث الاندماج على درجات حرارة عالية تُكسب نوى النظائر المندمجة طاقة حركية عالية تغلب بها على طاقة التنافر . وقد قدرت درجة الحرارة بمحالي 40 مليون درجة مئوية . والطريقة الوحيدة للحصول على درجة الحرارة تلك هي تفاعل الانشطار. ولهذا تستخدم قبل انشطار لتوفر الظروف للبدء في الاندماج حتى إذا ما بدأ أو استمر ، فإنه يضمن بقاء درجة الحرارة عالية بسبب ما ينتج عنه من طاقة . وهذه العملية ممكنة التطبيق في الاستخدامات العسكرية . إلا أنها صعبة في الاستخدامات السلمية للحصول على الطاقة الكهربائية . لذلك تتركز الأبحاث في الوقت الحاضر على استخدام أشعة الليزر ذات الطاقة العالية للوصول إلى درجات الحرارة العالية الضرورية لبدء عملية الاندماج (الشكل 21-8) ومن مزايا الاندماج التي يفوق بها على الانشطار ما يلي:

- أ - كمية الطاقة الناجمة عن الاندماج أعلى كثيراً من تلك الناتجة عن الانشطار .
- ب- الوقود اللازم للاندماج غير مهدد بأن ينضب ، بينما قد ينضب وقود الانشطار خلال القرون القليلة القادمة .



ومن تفاعلات الاندماج الأخرى ، التفاعل التالي :



ويوجد الديوتيريوم بنسبة 1٪ من الهيدروجين الموجود في الماء الطبيعي . فلو استغل جزء بسيط من الديوتيريوم الموجود في مياه المحيطات لكان كفيلاً بإنتاج طاقة أكبر بمئات الآلاف من المرات من طاقة الانشطار .

ج- ليست هناك خطورة من نواتج الاندماج ، حيث أنها غير مشعة ، وليست هناك مشكلة في عملية التخلص منها .

د - إن عملية التحكم في تفاعل الاندماج سهلة للغاية ، وذلك لأن الوقود لا يوجد في المفاعل ، وإنما تجري إضافته بالتدريج .

تم بحمد الله

المؤلف

والسلام عليكم

TABLE OF NUCLIDES

ملحق - أ

| Z | El | A | Nuclide | Abundance or $t_{1/2}$ | Decay Mode | Δ (MeV) | J^π | $\sigma_a(b)$ |
|----|----|----|---------|---------------------------|--|----------------|----------|------------------------|
| 0 | n | 1 | | 10.6 m | β^- , no γ | 8.071 | 1/2+ | |
| 1 | H | 1 | | 99.985% | | 7.289 | 1/2+ | 0.332 |
| | | 2 | | 0.0148% | | 13.136 | 1+ | 5.2×10^{-4} |
| | | 3 | | 12.33 y | β^- , no γ | 14.950 | 1/2+ | $< 6 \times 10^{-4}$ m |
| 2 | He | 3 | | 1.38×10^{-6} % | | 14.931 | 1/2+ | 5.33×10^3 m |
| | | 4 | | 99.99986% | | 2.425 | 0+ | |
| | | 6 | | 0.008 s | β^- , no γ | 17.597 | 0+ | |
| | | 8 | | 0.122 s | β^- , β^- n 12% | 31.609 | 0+ | |
| 3 | Li | 6 | | 7.5% | | 14.087 | 1+ | 942 m |
| | | 7 | | 92.5% | | 14.908 | 3/2- | 0.045 m |
| | | 8 | | 0.84 s | β^- 2a | 20.947 | 2+ | |
| | | 9 | | 0.178 s | β^- , β^- n 2a 35% | 24.955 | (3/2)- | |
| | | 11 | | 8.5 ms | β^- , β^- n 61% | 40.94 | | |
| 4 | Be | 7 | | 53.3 d | EC | 15.770 | 3/2- | |
| | | 9 | | 100% | | 11.348 | 3/2- | 5×10^4 m |
| | | 10 | | 1.6×10^6 y | β^- , no γ | 12.608 | 0+ | 0.008 |
| | | 11 | | 13.6 s | β^- , β^- a 3% | 20.176 | 1/2+ | < 0.001 m |
| | | 12 | | 11.4 ms | β^- , β^- n | 25.03 | 0+ | |
| 5 | B | 8 | | 0.769 s | β^+ 2a | 22.922 | 2+ | |
| | | 10 | | 19.8% | | 12.052 | 3+ | 38.38 m |
| | | 11 | | 80.2% | | 8.668 | 3/2- | 0.005 m |
| | | 12 | | 20.4 ms | β^- , β^- a 1.6% | 13.370 | 1+ | |
| | | 13 | | 17.4 ms | β^- , β^- n 0.28% | 16.562 | 3/2- | |
| | | 14 | | 16 ms | β^- | 23.657 | 2- | |
| 6 | C | 9 | | 0.1265 s | β^+ p 2a | 28.912 | (3/2)- | |
| | | 10 | | 19.2 s | | 15.703 | 0+ | |
| | | 11 | | 20.38 m | β^+ 99.76%, EC 0.24%, no γ | 10.650 | 3/2- | |
| | | 12 | | 98.89% | | 0 | 0+ | 0.0034 |
| | | 13 | | 1.1% | | 3.125 | 1/2- | 9×10^{-4} |
| | | 14 | | 5730 y | β^- , no γ | 3.020 | 0+ | $< 1 \times 10^{-8}$ m |
| | | 15 | | 2.449 s | β^- | 9.873 | 1/2+ | |
| | | 16 | | 0.75 s | β^- n > 98.8% | 13.693 | 0+ | |
| 7 | N | 12 | | 11.0 ms | β^+ , β^+ a 3a 3.5% | 17.338 | 1+ | |
| | | 13 | | 9.96 m | β^+ , no γ | 5.346 | 1/2- | |
| | | 14 | | 59.63% | | 2.863 | 1+ | 1.82 m |
| | | 15 | | 0.366% | | 0.102 | 1/2- | 4×10^{-5} m |
| | | 16 | | 7.13 s | β^- , β^- a 0.0012% | 5.682 | 2- | |
| | | 17 | | 4.17 s | β^- , β^- n 95% | 7.870 | 1/2- | |
| | | 18 | | 0.63 s | β^- | 13.274 | 0, 1, 2- | |
| 8 | O | 13 | | 8.9 ms | β^+ p | 23.105 | 3/2- | |
| | | 14 | | 70.60 s | β^+ | 8.008 | 0+ | |
| | | 15 | | 122 s | β^+ 99.89%, EC 0.11%, no γ | 2.855 | 1/2- | |
| | | 16 | | 99.78% | | -4.737 | 0+ | 1.8×10^{-4} m |
| | | 17 | | 0.018% | | -0.810 | 5/2+ | 0.235 m |
| | | 18 | | 0.204% | | -0.783 | 0+ | 1.6×10^{-4} |
| | | 19 | | 26.9 s | β^- | 3.331 | 5/2+ | |
| | | 20 | | 13.5 s | β^- | 3.799 | 0+ | |
| 9 | F | 17 | | 64.5 s | β^+ , no γ | 1.952 | 5/2+ | |
| | | 18 | | 109.8 m | β^+ 96.9%, EC 3.1%, no γ | 0.872 | 1+ | |
| | | 19 | | 100% | | -1.487 | 1/2+ | 0.010 m |
| | | 20 | | 11.0 s | β^- | -0.017 | 2+ | |
| | | 21 | | 4.32 s | β^- | -0.047 | 5/2+ | |
| | | 22 | | 4.23 s | β^- | 2.826 | 4+ | |
| | | 23 | | 2.2 s | β^- | 3.35 | (5/2)+ | |
| 10 | Ne | 17 | | 0.109 s | β^+ p | 16.478 | 1/2- | |
| | | 18 | | 1.67 s | β^+ | 5.319 | 0+ | |
| | | 19 | | 17.3 s | β^+ 99+%, EC 0.102% | 1.751 | 1/2+ | |
| | | 20 | | 90.51% | | -7.043 | 0+ | 0.038 m |
| | | 21 | | 0.27% | | -5.733 | 3/2+ | 0.7 m |

TABLE OF NUCLIDES

| Z | El | A | Nuclide | Abundance or $t_{1/2}$ | Decay Mode | Δ (MeV) | J^π | $\sigma_n(b)$ |
|----|----|-----|---------|---------------------------|--|----------------|-------------|--|
| 10 | Ne | 22 | | 9.22% | | -8.026 | 0+ | 0.05 ^{ns} |
| | | 23 | | 37.6 s | β^- | -5.155 | 5/2+ | |
| | | 24 | | 3.38 m | β^- | -5.949 | 0+ | |
| | | 26 | | 0.60 s | β^- | -2.15 | (1/2)+ | |
| 11 | Na | 20 | | 0.446 s | $\beta^+, \beta^+ \alpha$ 21% | 6.844 | 2+ | 3.2x10 ⁴ |
| | | 21 | | 22.47 s | β^+ | -2.186 | 3/2+ | |
| | | 22 | | 2.602 y | β^+ 90.5%, EC 9.5% | -5.184 | 3+ | |
| | | 23 | | 100% | | -9.530 | 3/2+ | |
| | | 24 | | 15.02 h | β^- | -8.418 | 4+ | 0.43 ^m 0.10 ^g |
| | | 24m | | 20.2 ms | IT, β^- (weak) | -7.945 | 1+ | |
| | | 25 | | 60 s | β^- | -9.357 | 5/2+ | |
| | | 26 | | 1.07 s | β^- | -6.888 | 3+ | |
| | | 27 | | 0.30 s | $\beta^-, \beta^- n$ 0.08% | -5.63 | 3/2, 5/2+ | 1+ |
| | | 28 | | 31 ms | $\beta^-, \beta^- n$ 0.6% | -1.13 | | |
| | | 29 | | 43 ms | $\beta^-, \beta^- n$ 15% | 2.66 | | |
| | | 30 | | 54 ms | $\beta^-, \beta^- n$ 33% | 8.38 | | |
| | | 31 | | 17 ms | $\beta^-, \beta^- n$ 30% | 10.61 | | |
| | | 32 | | 14.5 ms | β^- | 16.41 | | |
| | | 33 | | 0.02 s | β^- | | | |
| 12 | Mg | 21 | | 123 ms | $\beta^+ p$ | 10.912 | 5/2+ | 0.053 ^{ns} |
| | | 22 | | 3.86 s | β^+ | 0.394 | 0+ | |
| | | 23 | | 11.3 s | β^+ | -5.471 | 3/2+ | |
| | | 24 | | 78.99% | | -13.931 | 0+ | |
| | | 25 | | 10.00% | | -13.191 | 5/2+ | 0.18 ^{ns} 0.038 0.15 ^{ns} |
| | | 26 | | 11.01% | | -16.212 | 0+ | |
| | | 27 | | 9.46 m | β^- | -14.585 | 1/2+ | |
| | | 28 | | 21.0 h | β^- | -15.016 | 0+ | |
| | | 29 | | 1.4 s | β^- | -10.75 | (3/2)+ | |
| | | 30 | | 1.2 s | β^- | -9.79 s | 0+ | |
| 13 | Al | 23 | | 0.47 s | $\beta^+, \beta^+ p$ | 6.768 | | 0.231 |
| | | 24 | | 2.07 s | $\beta^+, \beta^+ \alpha$ 0.0077% | -0.052 | 4+ | |
| | | 24m | | 0.13 s | IT 93%, β^+ 7%, $\beta^+ \alpha$ | 0.387 | 1+ | |
| | | 25 | | 7.16 s | β^+ | -8.973 | 5/2+ | |
| | | 26 | | 7.2x10 ⁵ y | β^+ 82%, EC 18% | -12.208 | 5+ | 0.17 ^{ns} 0.10 ^{ns} 0.108 0.5 ^{ns} |
| | | 26m | | 6.36 s | $\beta^+, \text{no } \gamma$ | -11.979 | 0+ | |
| | | 27 | | 100% | | -17.194 | 5/2+ | |
| | | 28 | | 2.24 m | β^- | -16.848 | 3+ | |
| | | 29 | | 6.6 m | β^- | -18.212 | 5/2+ | |
| | | 30 | | 3.69 s | β^- | -15.89 | (2,3)+ | |
| | | 31 | | 0.64 s | β^- | -15.10 | 5/2, 3/2+ | |
| 14 | Si | 25 | | 0.22 s | $\beta^+, \beta^+ p$ | 3.824 | 3/2, 5/2+ | 0.18 ^{ns} |
| | | 26 | | 2.21 s | β^+ | -7.143 | 0+ | |
| | | 27 | | 4.13 s | β^+ | -12.385 | 5/2+ | |
| | | 28 | | 92.23% | | -21.491 | 0+ | |
| | | 29 | | 4.67% | | -21.894 | 1/2+ | 0.10 ^{ns} 0.108 0.5 ^{ns} |
| | | 30 | | 1.10% | | -24.432 | 0+ | |
| | | 31 | | 2.62 h | β^- | -22.949 | 3/2+ | |
| | | 32 | | 4650 y | $\beta^-, \text{no } \gamma$ | -24.092 | 0+ | |
| | | 33 | | 6.2 s | β^- | -20.57 | | |
| | | 34 | | 2.6 s | β^- | -19.85 | 0+ | |
| 15 | P | 28 | | 270 ms | β^+ | -7.160 | 3+ | 0.18 ^{ns} |
| | | 29 | | 4.1 s | β^+ | -16.949 | 1/2+ | |
| | | 30 | | 2.50 m | β^+, EC | -20.204 | 1+ | |
| | | 31 | | 100% | | -24.440 | 1/2+ | |
| | | 32 | | 14.28 d | $\beta^-, \text{no } \gamma$ | -24.305 | 1+ | 0.53 ^{ns} 0.09 ^{ns} 0.24 ^{ns} |
| | | 33 | | 25.3 d | $\beta^-, \text{no } \gamma$ | -26.337 | 1/2+ | |
| | | 34 | | 12.4 s | β^- | -24.55 | 1+ | |
| | | 36 | | 47 s | β^- | -24.94 | (1/2, 3/2)+ | |
| 16 | S | 29 | | 0.19 s | $\beta^+, \beta^+ p$ | -3.16 | 5/2+ | 0.18 ^{ns} |
| | | 30 | | 1.2 s | β^+ | -14.062 | 0+ | |
| | | 31 | | 2.6 s | β^+ | -19.044 | 1/2+ | |
| | | 32 | | 95.02% | | -26.015 | 0+ | |
| | | 33 | | 0.75% | | -26.586 | 3/2+ | 0.53 ^{ns} 0.09 ^{ns} 0.24 ^{ns} |
| | | 34 | | 4.21% | | -29.931 | 0+ | |
| | | 36 | | 87.4 d | $\beta^-, \text{no } \gamma$ | -28.846 | 3/2+ | |

TABLE OF NUCLIDES

| Z | El | A | Nuclide | Abundance or $t_{1/2}$ | Decay Mode | Δ (MeV) | J^π | $\pi_\alpha(b)$ |
|----|----|-----|---------|------------------------------|---|----------------|-------------|--------------------|
| 16 | S | 36 | | 0.017% | | -30.666 | 0+ | |
| | | 37 | | 5.0 m | β^- | -26.908 | 5/2, 7/2- | 0 15 ^{ns} |
| | | 38 | | 170 m | β^- | -26.862 | 0+ | |
| 17 | Cl | 32 | | 298 ms | $\beta^+, \beta^+p \approx 0.007\%$, $\beta^+, \alpha \approx 0.01\%$ | -13.329 | 1+ | |
| | | 33 | | 2.51 s | β^+ | -21.003 | 3/2+ | |
| | | 34 | | 1.526 s | $\beta^+, \text{no } \gamma$ | -24.438 | 0+ | |
| | | 34m | | 32.0 m | $\beta^+ 5.3\%, \text{IT } 47\%$ | -24.292 | 3+ | |
| | | 35 | | 75.77% | | -29.014 | 3/2+ | |
| | | 36 | | 3.00 $\times 10^3$ y | $\beta^- 98.1\%, \text{EC } 1.9\%$, $\beta^+ 0.0017\%, \text{no } \gamma$ | -29.522 | 2+ | 43 |
| | | 37 | | 24.23% | | -31.762 | 3/2+ | <1 ^{ns} |
| | | 38 | | 37.3 m | β^- | -29.798 | 2- | 0.428 ^g |
| | | 38m | | 0.715 s | IT | -29.127 | 5- | 0.005 ^m |
| | | 39 | | 56 m | β^- | -29.803 | 3/2+ | |
| | | 40 | | 1.35 m | β^- | 27.54 | 2- | |
| | | 40 | | 0.10 s ^o | β^- | -27.40 | (1/2, 3/2)+ | |
| | | 41 | | 34 s | β^- | -9.385 | 1/2+ | |
| 18 | Ar | 33 | | 0.18 s | $\beta^+, \beta^+p 34\%$ | -18.379 | 0+ | |
| | | 34 | | 0.844 s | β^+ | -23.049 | 3/2+ | |
| | | 35 | | 1.78 s | β^+ | -30.231 | 0+ | |
| | | 36 | | 0.137% | | -30.948 | 3/2+ | 5 ^{ns} |
| | | 37 | | 35.0 d | EC, no γ | -34.715 | 0+ | |
| | | 38 | | 0.063% | | -33.241 | 7/2- | 0.8 ^{ns} |
| | | 39 | | 269 y | $\beta^-, \text{no } \gamma$ | -35.040 | 0+ | 600 ^{ns} |
| | | 40 | | 99.60% | | -33.068 | 0+ | 0.64 |
| | | 41 | | 1.83 h | β^- | -34.42 | 7/2- | 0.5 ^{ns} |
| | | 42 | | 33 y | $\beta^-, \text{no } \gamma$ | -31.98 | 0+ | |
| | | 43 | | 5.4 m | β^- | -32.271 | 0+ | |
| | | 44 | | 11.9 m | β^- | -17.426 | 2+ | |
| 19 | K | 36 | | 0.34 s | β^+ | -24.799 | 3/2+ | |
| | | 37 | | 1.23 s | β^+ | -28.802 | 3+ | |
| | | 38 | | 7.61 m | β^+ | -28.671 | 0+ | |
| | | 38m | | 0.93 s | $\beta^+, \text{no } \gamma$ | -33.806 | 3/2+ | 2.1 ^{ns} |
| | | 39 | | 93.26% | | -33.535 | 4- | 70 ^{ns} |
| | | 40 | | 0.0117% | $\beta^- 89.3\%, \text{EC } 10.7\%$, $\beta^+ 0.0010\%$ | -35.560 | 3/2+ | 1.46 |
| | | 41 | | 1.28 $\times 10^3$ y | β^+ | -35.023 | 2- | |
| | | 42 | | 6.23% | | -36.589 | 3/2+ | |
| | | 43 | | 12.36 h | β^- | -35.807 | 2- | |
| | | 44 | | 22.3 h | β^- | -36.611 | 3/2+ | |
| | | 45 | | 22.1 m | β^- | -35.420 | (2-) | |
| | | 46 | | 20 m | β^- | -35.698 | 1/2+ | |
| | | 47 | | 115 s | β^- | -32.22 | (2-) | |
| | | 48 | | 17.5 s | β^- | -23.57 s | | |
| | | 49 | | 6.8 s | β^- | -13.164 | 3/2+ | |
| | | 50 | | 82 s ^o | β^- | -22.060 | 0+ | |
| | | 50 | | ≈ 0.3 s ^o | β^- | -27.282 | 3/2+ | |
| 20 | Ca | 37 | | 0.173 s | β^+, β^+p | -34.847 | 0+ | 0.4 ^{ns} |
| | | 38 | | 0.44 s | β^+ | -35.138 | 7/2- | |
| | | 39 | | 0.86 s | $\beta^+, \text{no } \gamma$ | -36.544 | 0+ | 0.7 ^{ns} |
| | | 40 | | 96.948% | | -38.405 | 7/2- | 6 ^{ns} |
| | | 41 | | 1.0 $\times 10^3$ y | EC, no γ | -41.466 | 0+ | 0.88 |
| | | 42 | | 0.647% | | -40.810 | 7/2- | |
| | | 43 | | 0.135% | | -43.138 | 0+ | 0.7 ^{ns} |
| | | 44 | | 2.09% | | -42.343 | 7/2- | |
| | | 45 | | 165 d | β^- | -44.216 | 0+ | 1.1 ^{ns} |
| | | 46 | | 0.0015% | | -41.286 | (3/2)- | |
| | | 47 | | 4.536 d | β^- | -39.572 | 0+ | |
| | | 48 | | 0.187% | | -20.527 | 4- | |
| | | 49 | | 8.72 m | β^- | -28.644 | 7/2- | |
| | | 50 | | 14 s | β^- | -32.121 | 0+ | |
| 21 | Sc | 40 | | 182 ms | β^+, β^+p | -31.503 | 7+ | |
| | | 41 | | 0.596 s | $\beta^+, \text{no } \gamma$ | | | |
| | | 42 | | 682 ms | $\beta^+, \text{no } \gamma$ | | | |
| | | 42m | | 62.0 s | β^+ | | | |

TABLE OF NUCLIDES

| Z | Nuclide El | A | Abundance or $t_{1/2}$ | Decay Mode | A(MeV) | J π | $\sigma_n(b)$ |
|----|---------------|-----|---------------------------|-----------------------------------|----------|---------|--------------------|
| 21 | Sc | 43 | 3.89 h | β^+ +EC | -36.185 | 7/2- | |
| | | 44 | 3.83 h | β^+ 95%, EC 5% | -37.811 | 2+ | |
| | | 44m | 2.44 d | IT 98.61%, EC 1.39% | -37.540 | 6+ | |
| | | 45 | 100% | | -41.066 | 7/2- | 17 ^{ns} |
| | | 45m | 0.31 s | IT | -41.054 | 3/2+ | 9 ^{ns} |
| | | 46 | 83.80 d | β^- | -41.756 | 4+ | 8 ^{ns} |
| | | 46m | 18.7 s | IT | -41.613 | 1- | |
| | | 47 | 3.42 d | β^- | -44.330 | 7/2- | |
| | | 48 | 43.7 h | β^- | -44.498 | 6+ | |
| | | 48 | 3 h? | γ | | | |
| | | 49 | 57.0 m | β^- | -46.555 | (7/2)- | |
| | | 50 | 1.71 m | β^- | -44.539 | (5)+ | |
| | | 50m | 0.35 s | IT | -44.282 | (2)+ | |
| | | 51 | 12.4 s | β^- | -43.220 | (7/2)- | |
| 22 | Ti | 41 | 80 ms | β^+ p | -15.78 | 3/2+ | |
| | | 42 | 0.20 s | β^+ | -25.122 | 0+ | |
| | | 43 | 0.49 s | β^+ , no γ | -29.324 | 0+ | |
| | | 44 | 47 y | EC | -37.546 | 0+ | |
| | | 45 | 3.09 h | β^+ , EC | -39.004 | 7/2- | |
| | | 46 | 8.2% | | -44.123 | 0+ | 0.6 ^{ns} |
| | | 47 | 7.4% | | -44.931 | 5/2- | 1.7 ^{ns} |
| | | 48 | 23.7% | | -48.488 | 0+ | 7.9 ^{ns} |
| | | 49 | 5.4% | | -48.559 | 7/2- | 2.1 ^{ns} |
| | | 50 | 5.2% | | -51.432 | 0+ | 0.179 |
| | | 51 | 5.80 m | β^- | -48.733 | 3/2- | |
| | | 52 | 1.7 m | β^- | -49.469 | 0+ | |
| | | 53 | 33 s | β^- | -46.84 | (3/2)- | |
| 23 | V | 44 | 0.09 s | $[\beta^+]$, β^+ o | -23.85 s | | |
| | | 46 | 0.423 s | β^+ , no γ | -37.071 | 0+ | |
| | | 47 | 32.6 m | β^+ +EC | -42.001 | 3/2- | |
| | | 48 | 15.976 d | EC 50.4%, β^+ 49.6% | -44.473 | 4+ | |
| | | 49 | 330 d | EC, no γ | -47.957 | 7/2- | |
| | | 50 | 0.250% | | -42.219 | 6+ | |
| | | 51 | 99.750% | | -52.199 | 7/2- | 50 |
| | | 52 | 3.76 m | β^- | -51.439 | 3+ | 4.88 |
| | | 53 | 1.6 m | β^- | -51.863 | 7/2- | |
| | | 54 | 43 s | β^- | -49.93 | | |
| 24 | Cr | 45 | 0.05 s | β^+ p | -19.46 | [7/2-] | |
| | | 46 | 0.26 s | β^+ , no γ | -29.461 | 0+ | |
| | | 48 | 21.56 h | EC | -42.818 | 0+ | |
| | | 49 | 41.9 m | β^+ , EC | -45.329 | 5/2- | |
| | | 50 | 4.35% | | -50.258 | 0+ | 15.9 |
| | | 51 | 27.70 d | EC | -51.448 | 7/2- | |
| | | 52 | 63.79% | | -55.415 | 0+ | 0.8 ^{ns} |
| | | 53 | 9.50% | | -55.284 | 3/2- | 18 ^{ns} |
| | | 54 | 2.36% | | -56.931 | 0+ | 0.38 ^{ns} |
| | | 55 | 3.55 m | β^- | -55.106 | 3/2- | |
| | | 56 | 5.9 m | β^- | -55.265 | 0+ | |
| 25 | Mn | 50 | 0.283 s | β^+ , no γ | -42.626 | 0+ | |
| | | 50m | 1.74 m | β^+ | -42.40 | 5+ | |
| | | 51 | 46.2 m | β^+ +EC | -48.240 | 5/2- | |
| | | 52 | 5.59 d | EC 72%, β^+ 28% | -50.704 | 6+ | |
| | | 52m | 21.1 m | β^+ +EC 98.25%, IT 1.75% | -50.326 | 2+ | |
| | | 53 | 3.7 $\times 10^6$ y | EC, no γ | -54.687 | 7/2- | 70 ^{ns} |
| | | 54 | 312 d | EC | -55.554 | 3+ | <10 ^{ns} |
| | | 55 | 100% | | -57.710 | 5/2- | 13.3 |
| | | 56 | 2.579 h | β^- | -56.909 | 3+ | |
| | | 57 | 1.6 m | β^- | -57.487 | 5/2- | |
| | | 58 | 65 s | β^- | -55.802 | 3+ | |
| | | 58 | 3.0 s | β^- , no γ | -55.832 | (0+) | |
| 26 | Fe | 48 | 0.07 s | $[\beta^+]$, β^+ p | -24.47 | | |
| | | 52 | 8.27 h | β^+ 57%, EC 43% | -48.332 | 0+ | |
| | | 53 | 8.51 m | β^+ , EC | -50.944 | 7/2- | |
| | | 53m | 2.53 m | IT | -47.904 | 19/2- | |

TABLE OF NUCLIDES

| Z | Nuclide El A | Abundance or $t_{1/2}$ | Decay Mode | $\Delta(\text{MeV})$ | J π | $\sigma_n(\text{b})$ |
|-------|-----------------|---------------------------|---|----------------------|-----------|----------------------|
| 26 Fe | 54 | 5.8% | | -56.251 | 0+ | 2.2 ^{ns} |
| | 55 | 2.7 y | EC, no γ | -57.479 | 3/2- | |
| | 56 | 91.8% | | -60.604 | 0+ | 2.6 ^{ns} |
| | 57 | 2.15% | | -60.179 | 1/2- | 2.4 ^{ns} |
| | 58 | 0.29% | | -62.152 | 0+ | 1.14 |
| | 59 | 44.6 d | β^- | -60.661 | 3/2- | |
| | 60 | 3×10^3 y | β^- | -61.437 | 0+ | |
| | 61 | 6.0 m | β^- | -59.01 | (3/2)- | |
| | 62 | 69 s | β^- | -58.86 | 0+ | |
| | 63 | 0.26 s | β^+ , no γ | -42.640 | [7/2] | |
| | 63m | 0.25 s | β^+ 99.5%, β^- 0.5% | -39.453 | [19/2-] | |
| | 64 | 193.2 ms | β^+ , no γ | -48.010 | 0+ | |
| 27 Co | 54m | 1.46 m | β^+ | -47.811 | (7+) | |
| | 55 | 17.5 h | β^+ 77%, EC 23% | -54.024 | 7/2- | |
| | 56 | 78.8 d | EC 81%, β^+ 19% | -56.037 | 4+ | |
| | 57 | 271 d | EC | -59.342 | 7/2- | |
| | 58 | 70.8 d | EC 85.00%, β^+ 15.00% | -59.844 | 2+ | 1.9 $\times 10^3$ |
| | 58m | 9.2 h | IT | -59.819 | 5+ | 1.4 $\times 10^3$ |
| | 59 | 100% | | -62.226 | 7/2- | 19 ⁿ |
| | 60 | 5.271 y | β^- | -61.647 | 5+ | 18 ⁿ |
| | 60m | 10.5 m | IT 99.75%, β^- 0.25% | -61.588 | 2+ | 2.0 ^{ns} |
| | 61 | 4.65 h | β^- | -62.897 | 7/2- | 58 ^{ns} |
| | 62(g) | 1.50 m | β^- | -61.430 | (2)+ | |
| | 62(m) | 13.9 m | β^- | -61.408 | (5)+ | |
| | 63 | 27.5 s | β^- | -61.850 | 7/2, 5/2- | |
| | 64 | 0.3 s | β^- | -59.791 | (1+) | |
| | 53 | 0.05 s | [β^+], β^+ p | -29.41 | [7/2-] | |
| | 56 | 6.10 d | EC | -53.902 | 0+ | |
| | 57 | 36.0 h | EC 60%, β^+ 40% | -56.077 | 3/2- | |
| | 58 | 60.3% | | -60.224 | 0+ | 4.6 ^{ns} |
| 28 Ni | 59 | 7.5×10^4 y | EC 99+%, β^+ 1.5×10^{-3} %, no γ | -61.153 | 3/2- | 92 ⁿ |
| | 60 | 26.1% | | -64.470 | 0+ | 2.8 ^{ns} |
| | 61 | 1.13% | | -64.219 | 3/2- | 2 ^{ns} |
| | 62 | 3.59% | | -66.745 | 0+ | 14.2 |
| | 63 | 100 y | β^- , no γ | -65.513 | 1/2 | 23 ^{ns} |
| | 64 | 0.91% | | -67.098 | 0+ | 1.49 |
| | 65 | 2.520 y | β^- | -65.124 | 5/2- | 24 ^{ns} |
| | 66 | 54.8 h | β^- , no γ | -66.021 | 0+ | |
| | 67 | 18 s | β^- | -63.47 | | |
| | 58 | 3.20 s | β^+ | -51.662 | 1+ | |
| | 59 | 82 s | β^+ | -56.352 | 3/2- | |
| | 60 | 23.4 m | β^+ 93%, EC 7% | -58.343 | 2+ | |
| 29 Cu | 61 | 3.41 h | β^+ 62%, EC 38% | -61.981 | 3/2- | |
| | 62 | 9.73 m | β^+ 97.6%, EC 2.2% | -62.796 | 1+ | |
| | 63 | 69.2% | | -65.578 | 3/2- | 4.4 |
| | 64 | 12.70 h | EC 41%, β^+ 19%, β^- 40% | -65.423 | 1+ | |
| | 65 | 30.8% | | -67.262 | 3/2- | 2.17 |
| | 66 | 5.10 m | β^- | -66.257 | 1+ | 140 ^{ns} |
| | 67 | 61.9 h | β^- | -67.305 | 3/2- | |
| | 68 | 31 s | β^- | -65.39 | 1+ | |
| | 68m | 3.8 m | IT 86%, β^- 14% | -64.66 | (6-) | |
| | 69 | 3.0 m | β^- | -65.94 | (3/2)- | |
| | 70(g) | 5 s | β^- | -63.39 | 1+ | |
| | 70(m) | 47 s | β^- | -63.25 | (5-) | |
| 30 Zn | 57 | 0.04 s | [β^+], β^+ p | -32.61 | [7/2-] | |
| | 60 | 2.4 m | β^+ 97%, EC 3% | -54.184 | 0+ | |
| | 61 | 89.1 s | β^+ 99%, EC 1% | -56.58 | 3/2- | |
| | 62 | 9.2 h | EC 93%, β^+ 7% | -61.169 | 0+ | |
| | 63 | 38.1 m | β^+ 93%, EC 7% | -62.211 | 3/2- | |
| | 64 | 48.6% | | -66.001 | 0+ | 0.78 |
| | 65 | 244.1 d | EC 98.54%, β^+ 1.46% | -65.910 | 5/2- | |
| | 66 | 27.2% | | -68.898 | 0+ | 1 ^{ns} |

TABLE OF NUCLIDES

| Z | Nuclide El A | Abundance or $t_{1/2}$ | Decay Mode | Δ (MeV) | J^π | $a_n(b)$ |
|----|-----------------|---------------------------|--|----------------|----------|--|
| 30 | Zn 67 | 4.10% | | -67.880 | 5/2- | 7 ^{ns} |
| | 68 | 18.6% | | -70.006 | 0+ | 0.81 ^g 0.072 ^m |
| | 69 | 56 m | β^- | -68.417 | 1/2- | |
| | 69m | 14.0 h | IT 99+%, β^- 0.033% | -67.978 | 9/2+ | |
| | 70 | 0.62% | | -69.560 | 0+ | 0.09 ^g 0.0082 ^m |
| | 71 | 2.4 m | β^- | -67.324 | 1/2- | |
| | 71m | 3.9 h | β^- | -67.167 | (9/2)+ | |
| | 72 | 46.5 h | β^- | -68.134 | 0+ | |
| | 73 | 24 s | β^- | -65.03 | | |
| | 74 | 95 s | β^- | -65.67 | 0+ | |
| | 75 | 10.2 s | β^- | -62.46 s | | |
| | 76 | 5.7 s | β^- | -62.55 | 0+ | |
| | 77 | 1.4 s | β^- | -58.91 s | | |
| | 79 | 2.6 s ^g | β^-n | | | |
| 31 | Ca 62 | 118 ms | β^- | -51.77 s | (0+) | |
| | 63 | 32 s | β^- | -56.69 | 3/2,5/2- | |
| | 64 | 2.62 m | $\beta^+ + EC$ | -58.836 | 0+ | |
| | 65 | 15.2 m | β^+ 86%, EC 14% | -62.654 | 3/2- | |
| | 66 | 9.4 h | β^+ 56.5%, EC 43.5% | -63.723 | 0+ | |
| | 67 | 78.3 h | EC | -66.878 | 3/2- | |
| | 68 | 68.1 m | β^+ 90%, EC 10% | -67.085 | 1+ | |
| | 69 | 60.1% | | -69.322 | 3/2- | 1.7 |
| | 70 | 21.1 m | β^- 99.8%, EC 0.2% | -68.905 | 1+ | |
| | 71 | 39.9% | | -70.142 | 3/2- | 4.6 |
| | 72 | 14.10 h | β^- | -68.581 | 3- | |
| | 73 | 4.87 h | β^- | -69.73 | (3/2)- | |
| | 74 | 8.1 m | β^- | -68.02 | (4)- | |
| | 74m | 10 s | IT | -67.96 | 1+ | |
| | 75 | 2.10 m | β^- | -68.56 | (3/2-) | |
| | 76 | 27. s | β^- | -66.44 | (3-) | |
| | 77 | 1.3 s | β^- | -66.41 s | | |
| | 78 | 5.1 s | β^- | -63.68 | | |
| | 79 | 3.0 s | β^- | -62.80 | | |
| | 80 | 1.66 s | β^-, β^-n | -59.53 s | | |
| | 81 | 1.2 s | β^-, β^-n | | | |
| | 82 | 0.60 s ^g | β^-, β^-n | | | |
| | 83 | 0.31 s | β^-, β^-n | | | |
| 32 | Ge 64 | 64 s | $\beta^+ + EC$ | -54.43 | 0+ | |
| | 65 | 31 s | $\beta^+ + EC$, ($\beta^+ + EC$)p 0.013% | -56.41 | 3/2,5/2- | |
| | 66 | 2.3 h | EC 73%, β^+ 27% | -61.621 | 0+ | |
| | 67 | 19.0 m | β^+ 96%, EC 4% | -62.45 | (1/2)- | |
| | 68 | 288 d | EC, no γ | -66.972 | 0+ | |
| | 69 | 39.0 h | EC 64%, β^+ 36% | -67.096 | 5/2- | |
| | 70 | 20.5% | | -70.561 | 0+ | 3.2 ^{ns} |
| | 71 | 11.2 d | EC, no γ | -69.906 | 1/2- | |
| | 72 | 27.4% | | -72.583 | 0+ | 1.0 ^{ns} 15 ^{ns} |
| | 73 | 7.6% | | -71.294 | 9/2+ | |
| | 73m | 0.50 s | IT | -71.227 | 1/2- | |
| | 74 | 36.5% | | -73.422 | 0+ | 0.4 ^{ns} 0.16 ^{ns} |
| | 75 | 82.8 m | β^- | -71.856 | 1/2- | |
| | 75m | 48 s | IT 99.97%, β^- 0.03% | -71.716 | 7/2+ | |
| | 76 | 7.6% | | -73.214 | 0+ | 0.10 ^{ns} 0.06 ^{ns} |
| | 77 | 11.30 h | β^- | -71.214 | 7/2(+) | |
| | 77m | 53 s | β^- 80%, IT 20% | -71.055 | 1/2- | |
| | 78 | 1.45 h | β^- | -71.76 | 0+ | |
| | 79 | 19 s ^g | β^- | -69.56 | (1/2)- | |
| | 80 | 29 s | β^- | -69.43 | 0+ | |
| | 81 | 10 s | β^- | -66.34 s | | |
| | 82 | 4.6 s | β^- | -65.99 s | 0+ | |
| | 83 | 1.9 s | β^- | -62.5 s | | |

TABLE OF NUCLIDES

| Z | Nuclide El | A | Abundance or $t_{1/2}$ | Decay Mode | $\Delta(\text{MeV})$ | J π | $\sigma_a(\text{b})$ |
|----|---------------|-----|--------------------------------|---|----------------------|---------|------------------------|
| 32 | Ge | 84 | 1.2 s | β^- | | 0+ | |
| 33 | As | 68 | 2.6 m | β^+ | -58.77 s | | |
| | | 69 | 15 m | β^+ 98%, EC 2% | -63.12 | (5/2)- | |
| | | 70 | 5.3 m | β^+ 84%, EC 16% | -64.339 | 4(+) | |
| | | 71 | 61 h | EC 68%, β^+ 32% | -67.893 | 5/2- | |
| | | 72 | 26.0 h | β^+ 77%, EC 23% | -68.232 | 2- | |
| | | 73 | 80.3 d | EC | -70.949 | 3/2- | |
| | | 74 | 17.78 d | EC 37%, β^+ 31%, β^- 32% | -70.860 | 2- | |
| | | 75 | 1008 | | -73.034 | 3/2- | 4.4 |
| | | 76 | 26.3 h | β^- | -72.291 | 2- | |
| | | 77 | 38.8 h | β^- | -73.916 | 3/2- | |
| | | 78 | 91 m | β^- | -72.74 | (2-) | |
| | | 79 | 9.0 m | β^- | -73.71 | 3/2- | |
| | | 80 | 16 s | β^- | -72.06 | 1(+) | |
| | | 81 | 33 s | β^- | -72.64 | (3/2)- | |
| | | 82 | 14 s | β^- | | (5-) | |
| | | 83 | 19 s | β^- | -70.39 | (1+) | |
| | | 84 | 13 s | β^- | -69.87 | | |
| | | 84 | 0.6 s | β^- | -66.16 s | | |
| | | 84 | 5.3 s | β^- , β^-n 0.1% | -66.16 s | (1-) | |
| | | 85 | 2.03 s | β^- , β^-n 23% | -63.52 s | | |
| | | 86 | 0.9 s | β^- , β^-n \approx 4% | -59.7 s | | |
| | | 87 | 0.6 s | β^- | -56.2 s | | |
| 34 | Se | 66 | 1.6 m | β^+ | -54.17 s | 0+ | |
| | | 69 | 27.4 s | β^+ , β^+p 0.07% | -56.30 | | |
| | | 70 | 41.1 m | $\beta^+ + \text{EC}$ | -61.74 s | 0+ | |
| | | 70m | 4 m? | $\beta^+ + \text{EC}$ | | | |
| | | 71 | 4.9 m | $\beta^+ + \text{EC}$ | -63.46 | (5/2)- | |
| | | 72 | 8.4 d | EC | -67.894 | 0+ | |
| | | 73 | 7.1 h | β^+ \approx 65%, EC \approx 35% | -68.209 | 7/2+ | |
| | | 73m | 41 m | IT 73%, (β^+ , EC) 27% | -68.183 | 1/2- | |
| | | 74 | 0.67 s | | -72.213 | 0+ | 52 |
| | | 75 | 118.5 d | EC | -72.169 | 5/2+ | |
| | | 76 | 9.08 | | -75.259 | 0+ | 64 g 21 μ s |
| | | 77 | 7.68 | | -74.606 | 1/2- | 42 μ s |
| | | 77m | 17.4 s | IT | -74.444 | 7/2+ | |
| | | 78 | 23.58 | | -77.032 | 0+ | 0.4 g+m 0.3 μ s |
| | | 79 | \approx 6.5 $\times 10^4$ y | β^- , no γ | -75.911 | 7/2+ | |
| | | 79m | 3.90 m | IT | -75.815 | 1/2- | |
| | | 80 | 49.88 | | -77.761 | 0+ | 0.6 g 0.07 m |
| | | 81 | 18.5 m | β^- | -76.391 | (1/2)- | |
| | | 81m | 57.3 m | IT 99+%, β^- 0.058% | -76.288 | (7/2)+ | |
| | | 82 | 9.28 1.4×10^{10} y | β^- , β^- | -77.586 | 0+ | 0.04 m 0.006 g |
| | | 83 | 22.5 m | β^- | -75.333 | (9/2)+ | |
| | | 83m | 70 s | β^- | -75.105 | (1/2)- | |
| | | 84 | 3.3 m | β^- | -75.942 | 0+ | |
| | | 85 | 31 s | β^- | -72.57 s | | |
| | | 86 | 19 s? | β^- | | | |
| | | 87 | 16 s | β^- | -70.86 s | 0+ | |
| | | 87 | 5.8 s | β^- , β^-n 0.16% | -66.2 s | | |
| | | 88 | 1.5 s | β^- , β^-n 0.8% | -64.09 s | 0+ | |
| | | 89 | 0.41 s | β^- , β^-n 5% | -59.89 s | | |
| | | 91 | 0.27 s | β^- , β^-n \approx 21% | | | |
| 35 | Br | 70 | 23 s? | β^+p | -51.29 s | | |
| | | 71 | <1 m? | $\beta^+ + \text{EC}$ | -56.86 s | | |
| | | 72 | 1.31 m | β^+ | -58.93 s | (3) | |
| | | 73 | 3.4 m | $\beta^+ + \text{EC}$ | -63.67 | (3/2-) | |
| | | 74 | 25.3 m | $\beta^+ + \text{EC}$ | -65.295 | (0,1-) | |
| | | 74 | 4 m? | β^+ | | | |
| | | 74m | 41 m | $\beta^+ + \text{EC}$ | -65.1 | (4-) | |
| | | 75 | 98 m | β^+ 76%, EC 24% | -69.159 | (3/2-) | |
| | | 76 | 16.1 h | β^+ 57%, EC 43% | -70.303 | 1- | |

TABLE OF NUCLIDES

| Z | Nuclide El A | Abundance or $t_{1/2}$ | Decay Mode | A(MeV) | J^π | $\sigma_n(b)$ |
|----|-----------------|---------------------------|---|----------|-------------|---------------|
| 35 | Br 77 | 57.0 h | EC 99.26%, β^+ 0.74% | -73.242 | 3/2- | |
| | 77m | 4.3 m | IT | -73.136 | 9/2+ | |
| | 78 | 6.46 m | β^+ 92%, EC 8%, β^- 50.01% | -73.458 | 1+ | |
| | 79 | 50.69% ^a | | -76.070 | 3/2- | 10.8 g |
| | 79m | 4.9 s | IT | -75.863 | 9/2+ | 2.4 m |
| | 80 | 17.6 m | β^- 91.7%, EC 5.7%, β^+ 2.6% | -75.891 | 1+ | |
| | 80m | 4.42 h | IT | -75.805 | 5- | |
| | 81 | 49.31% ^a | | -77.976 | 3/2- | 2.7 q+m |
| | 82 | 35.34 h | β^- | -77.498 | 5- | |
| | 82m | 6.1 m | IT 97.6%, β^- 2.4% | -77.452 | 2- | |
| | 83 | 2.39 h | β^- | -79.025 | (3/2)- | |
| | 84 | 31.8 m | β^- | -77.759 | 2- | |
| | 84m | 6.0 m | β^- | -77.46 | (6-) | |
| | 85 | 2.9 m | β^- | -78.67 | 3/2- | |
| | 86 | 56 s | β^- | -75.96 | (2-) | |
| | 86 | 4.5 s ^b | [IT] | | | |
| | 87 | 55.6 s | β^- , β^-n 2.3% | -74.21 s | (3/2-) | |
| | 88 | 16.6 s | β^- , β^-n 6% | -71.09 s | (1-) | |
| | 89 | 4.4 s | β^- , β^-n 13% | -69.09 s | | |
| | 90 | 1.9 s | β^- , β^-n 23% | -65.2 s | | |
| | 91 | 0.54 s | β^- , β^-n 9% | | | |
| | 92 | 0.36 s | β^- , β^-n 16% | -65.7 s | | |
| 36 | Kr 72 | 17 s | β^+ +EC | -53.87 s | 0+ | |
| | 73 | 27 s | β^+ , β^+n 0.7% | -56.98 | | |
| | 74 | 11.5 m | β^+ , EC | -62.02 | 0+ | |
| | 75 | 4.3 m | β^+ +EC | -64.16 s | | |
| | 76 | 14.8 h | EC | -69.10 | 0+ | |
| | 77 | 75 m | β^+ 80%, EC 20% | -70.236 | (5/2+) | |
| | 78 | 0.356% ^a | | -74.150 | 0+ | 5 g |
| | 79 | 35.0 h | EC 93%, β^+ 7% | -74.439 | 1/2- | 0.21 m |
| | 79m | 50 s | IT | -74.309 | 7/2+ | |
| | 80 | 2.27% ^a | | -77.897 | 0+ | 12 g |
| | 81 | 2.1x10 ⁵ y | EC | -77.654 | 7/2+ | 5 m |
| | 81m | 13 s | IT | -77.464 | 1/2- | |
| | 82 | 11.6% ^a | | -80.591 | 0+ | 23 g |
| | 83 | 11.5% ^a | | -79.985 | 9/2+ | 20 m |
| | 83m | 1.83 h | IT | -79.943 | 1/2- | 200 |
| | 84 | 57.0% ^a | | -82.432 | 0+ | 0.09 m |
| | 85 | 10.7 y | β^- | -81.472 | 9/2+ | 0.042 g |
| | 85m | 4.48 h | β^- 79%, IT 21% | -81.167 | 1/2- | 1.7 |
| | 86 | 17.3% ^a | | -83.263 | 0+ | 0.06 m |
| | 87 | 76 m | β^- | -80.707 | (5/2)+ | |
| | 88 | 2.84 h | β^- | -79.689 | 0+ | |
| | 89 | 3.18 m | β^- | -76.79 | | |
| | 90 | 32.3 s | β^- | -75.18 | 0+ | |
| | 91 | 8.6 s | β^- | -71.77 | | |
| | 92 | 1.84 s | β^- , β^-n 0.032% | -69.15 | 0+ | |
| | 93 | 1.29 s | β^- , β^-n 1.9% | -65.6 | | |
| | 94 | 0.20 s | β^- , β^-n 6% | -61.32 s | 0+ | |
| | 95 | 0.78 s | [β^-] | | | |
| 37 | Rb 74 | 65 ms | β^+ , no γ | -51.43 s | (0+) | |
| | 75 | 18 s | β^+ | -57.51 | | |
| | 76 | 39 s | β^+ | -60.61 | | |
| | 77 | 3.9 m | β^+ +EC | -65.11 | (5/2-) | |
| | 78 | 18 m | β^+ +EC | -68.8 | | |
| | 78m | 6 m | β^+ +EC, IT | -68.7 | | |
| | 79 | 23.0 m | β^+ 84%, EC 16% | -70.86 | (3/2, 5/2-) | |
| | 80 | 34 s | β^+ | -72.190 | 1+ | |
| | 81 | 4.56 h | EC 73%, β^+ 27% | -75.392 | 3/2- | |
| | 81m | 32 m | β^+ +EC, IT | -75.307 | 9/2+ | |

TABLE OF NUCLIDES

| Z | El | A | Nuclide | Abundance or $t_{1/2}$ | Decay Mode | $\Delta(\text{MeV})$ | J π | $\sigma_n(b)$ |
|----|----|-------|---------|---------------------------|---|----------------------|---------|--|
| 37 | Rb | 82 | | 1.25 m | β^+ 96%, EC 4% | -76.213 | 1+ | |
| | | 82m | | 6.2 h | EC 74%, β^+ 26% | -76.1 | 5- | |
| | | 83 | | 66.2 d | EC | -76.914 | 5/2- | |
| | | 84 | | 32.9 d | EC 75%, β^+ 22%, β^- 3.0% | -79.752 | 2- | 12 ¹⁰ ₁₀ |
| | | 84m | | 20.5 m | IT | -79.288 | (6+) | |
| | | 85 | | 72.17% | | -82.159 | 5/2- | 0.40 ₉ 0.047 _m |
| | | 86 | | 18.8 d | β^- 99+%, EC 0.005% | -82.736 | 2- | |
| | | 86m | | 1.02 m | IT | -82.182 | 6- | |
| | | 87 | | 27.63% | | -84.596 | 3/2- | |
| | | | | 4.6 $\times 10^{10}$ y | β^- , no γ | | | 0.12 ¹⁰ |
| | | 88 | | 17.8 m | β^- | -82.602 | 2- | 1.0 ¹⁰ |
| | | 89 | | 15.2 m | β^- | -81.717 | (3/2-) | |
| | | 90 | | 153 s | β^- | -79.57 | (1-) | |
| | | 90m | | 258 s | β^- , IT | -79.46 | (4-) | |
| | | 91 | | 56 s | β^- | -77.97 | | |
| | | 92 | | 4.52 s | β^- , β^- n 0.012% | -75.12 | (1-) | |
| | | 93 | | 5.85 s | β^- , β^- n 1.3% | -72.92 | | |
| | | 94 | | 2.72 s | β^- , β^- n 10% | -68.82 | | |
| | | 95 | | 0.36 s | β^- , β^- n 6.4% | -66.55 | | |
| | | 96 | | 0.201 s | β^- , β^- n 13% | -62.77 s | | |
| | | 97 | | 0.170 s | β^- , β^- n 27% | | | |
| | | 98 | | 0.13 s | β^- , β^- n 13% | | | |
| | | 99 | | 76 ms | [β^-] | | | |
| 38 | Sr | 77 | | 9 s | β^+ , β^+ p $\leq 0.25\%$ | -57.96 | | |
| | | 78 | | 31 m | β^+ +EC | -65.5 s | 0+ | |
| | | 79 | | 8.1 m | β^+ +EC | -65.46 s | | |
| | | 79 | | 4 m? | β^+ +EC | | | |
| | | 80 | | 106 m | EC+ β^+ | -70.39 s | 0+ | |
| | | 81 | | 26 m | β^+ $\approx 87\%$, EC $\approx 13\%$ | -71.40 | (1/2-) | |
| | | 82 | | 25.0 d | EC, no γ | -75.999 | 0+ | |
| | | 83 | | 32.4 h | EC 76%, β^+ 24% | -76.664 | 7/2+ | |
| | | 83m | | 5.0 s | IT | -76.405 | 1/2- | |
| | | 84 | | 0.56% | | -80.641 | 0+ | 0.6 _m ¹⁰ 0.3 ₉ |
| | | 85 | | 64.8 d | EC | -81.095 | 9/2+ | |
| | | 85m | | 68 m | IT 87%, EC 13% | -80.856 | 1/2- | |
| | | 86 | | 9.2% | | -84.512 | 0+ | 0.84 _m ¹⁰ |
| | | 87 | | 7.0% | | -84.069 | 9/2+ | |
| | | 87m | | 2.80 h | IT 99.7%, EC 0.3% | -84.480 | 1/2- | |
| | | 88 | | 82.6% | | -87.911 | 0+ | 0.0057 ¹⁰ |
| | | 89 | | 50.5 d | β^- | -86.203 | 5/2+ | 0.42 ¹⁰ |
| | | 90 | | 28.8 y | β^- , no γ | -85.935 | 0+ | 0.8 ¹⁰ |
| | | 91 | | 9.5 h | β^- | -83.666 | 5/2+ | |
| | | 92 | | 2.71 h | β^- | -82.692 | 0+ | |
| | | 93 | | 7.4 m | β^- | -80.28 | | |
| | | 94 | | 75 s | β^- | -78.96 | 0+ | |
| | | 95 | | 24.4 s | β^- | -75.14 | | |
| | | 96 | | 1.1 s | β^- | -73.07 | 0+ | |
| | | 97 | | 0.40 s | β^- | -69.08 s | | |
| | | 98 | | 0.7 s | β^- | -67.38 s | 0+ | |
| | | 99 | | 0.6 s | β^- , β^- n 3% | | | |
| 39 | Y | 81 | | 5 m | β^+ +EC | | | |
| | | 82 | | 12 m? | [β^+] | -67.91 s | | |
| | | 83 | | 7.1 m | β^+ $\approx 95\%$, EC $\approx 5\%$ | -72.36 s | (9/2+) | |
| | | 83 | | 2.85 m | β^+ +EC | -72.36 s | (1/2)- | |
| | | 84 | | 39 m | β^+ +EC | -73.692 | | |
| | | 84 | | 4.6 s | β^+ +EC | | (1+) | |
| | | 86(a) | | 2.7 h | β^+ 55%, EC 45% | -77.855 | (1/2)- | |
| | | 86(m) | | 4.9 h | β^+ 70%, EC 30% | -77.835 | (9/2)+ | |
| | | 86 | | 14.74 h | EC 66%, β^+ 34% | -79.239 | 4- | |
| | | 88m | | 48 m | IT 99.31%, β^+ +EC 0.69% | -79.021 | 8+ | |
| | | 87 | | 80.3 h | EC 99.8%, β^+ 0.2% | -83.007 | 1/2- | |
| | | 87m | | 13 h | IT 98%, EC $\approx 2\%$, β^+ 0.75% | -82.626 | 9/2+ | |

TABLE OF NUCLIDES

| Z | Nuclide El | A | Abundance or $t_{1/2}$ | Decay Mode | Δ (MeV) | $J\pi$ | σ_a (b) |
|----|---------------|-----------------------|---------------------------|--------------------------------------|----------------|--------|----------------------------|
| 39 | Y | 88 | 106.6 d | EC 99+%, β^+ 0.210% | -84.298 | 4- | |
| | 89 | 100% | | | -87.695 | 1/2- | 1.2 0.0010 _m |
| | 89m | 16.1 s | | IT | -86.786 | 9/2+ | |
| | 90 | 64.1 h | | β^- | -86.481 | 2- | <6.5 ^{ns} |
| | 90m | 3.19 h | | IT 99+%, β^- 0.0021% | -85.799 | 7+ | |
| | 91 | 58.5 d | | β^- | -86.350 | 1/2- | 1.4 ^{ns} |
| | 91m | 49.7 m | | IT | -85.794 | 9/2+ | |
| | 92 | 3.54 h | | β^- | -84.822 | 2- | |
| | 93 | 10.2 h | | β^- | -84.227 | 1/2- | |
| | 93m | 0.82 s | | IT | -83.468 | 9/2+ | |
| | 94 | 18.7 m | | β^- | -82.382 | 2- | |
| | 95 | 10.3 m | | β^- | -81.233 | (1/2)- | |
| | 96 | 9.8 s | | β^- | | | |
| | 96 | 6.0 s | | β^- | -78.43 | (0-) | |
| | 97(g) | 3.7 s | | β^- | -76.28 | (1/2-) | |
| | 97(m) | 1.21 s | | β^- 99.3%, IT(?) 0.7% | -75.61 | (9/2)+ | |
| | 98 | 0.6 s | | β^- | -73.19 s | (1+) | |
| | 98 | 2.0 s | | β^- | -73.19 s | | |
| | 99 | 1.4 s | | β^- , β^-n 1% | -71.50 | | |
| | 100 | 0.8 s | | β^- | -67.96 s | | |
| | 102 | 0.9 s? | | [β^-] | -63.36 s | | |
| 40 | Zr | 81 | ~11 m | [β^+] | | 0+ | |
| | 82 | 10 m | | [β^+ +EC] | | | |
| | 83 | ~8 m | | [β^+] | -~65.4 s | | |
| | 83 | 0.7 m | | β^- | -~65.4 s | | |
| | 84 | 5 m | | EC+ β^+ | -71.44 s | 0+ | |
| | 85 | 7.9 m | | β^+ +EC | -73.16 s | | |
| | 85 | 1.4 h? | | [β^+ +EC] | | | |
| | 85m | 10.9 s | | IT, β^+ +EC | -72.87 s | | |
| | 86 | 16.5 h | | EC | -77.94 s | 0+ | |
| | 87 | 1.6 h | | β^+ , EC | -79.43 | (9/2+) | |
| | 87m | 14 s | | IT | -79.09 | (1/2-) | |
| | 88 | 83.4 d | | EC | -83.621 | 0+ | |
| | 89 | 78.4 h | | EC 77.7%, β^+ 22.3% | -84.860 | 9/2+ | |
| | 89m | 4.18 m | | IT 93.6%, EC 4.7%, β^+ 1.5% | -84.272 | 1/2- | |
| | 90 | 51.5% | | | -88.765 | 0+ | 0.03 ^{ns} |
| | 90m | 809 ms | | IT | -86.446 | 5- | |
| | 91 | 11.2% | | | -87.892 | 5/2+ | 1.1 ^{ns} |
| | 92 | 17.1% | | | -88.456 | 0+ | 0.2 ^{ns} |
| | 93 | 1.5x10 ⁶ y | | β^- | -87.117 | 5/2+ | 1 ^{ns} |
| | 94 | 17.4% | | | -87.264 | 0+ | 0.06 |
| | 95 | 64.0 d | | β^- | -85.563 | 5/2+ | |
| | 96 | 2.80% | | | -85.445 | 0+ | 0.020 |
| | 97 | 16.9 h | | β^- | -82.954 | 1/2+ | |
| | 98 | 31 s | | β^- , no γ | -81.292 | 0+ | |
| | 99 | 2.1 s | | β^- | -77.89 | (1/2+) | |
| | 100 | 7.1 s | | β^- | -76.60 | 0+ | |
| | 101 | 2.0 s | | β^- | -73.05 s | | |
| | 102 | 2.9 s | | β^- | -72.36 s | 0+ | |
| 41 | Nb | 86 | 1.4 m | β^+ | -69.34 s | | |
| | 87 | 2.6 m | | β^+ +EC | -74.43 s | (9/2+) | |
| | 87 | 3.9 m | | β^+ +EC | -74.43 s | (1/2-) | |
| | 88 | 7.8 m | | β^+ +EC | -76.42 s | (4-) | |
| | 88 | 14.3 m | | β^+ +EC | -76.42 s | (6+) | |
| | 89 | 2.0 h | | β^+ +EC | -80.621 | (9/2+) | |
| | 89 | 66 m | | EC 74%, β^+ 26% | -80.621 | (1/2-) | |
| | 90 | 14.6 h | | β^+ 53%, EC 47% | -82.654 | 8+ | |
| | 90m | 18.8 s | | IT | -82.529 | 4- | |
| | 91 | long | | [EC] | -86.637 | 9/2+ | |
| | 91m | 62 d | | IT 96.6%, EC 3.4% | -86.532 | 1/2- | |
| | 92 | ~2x10 ¹⁷ y | | EC | -86.448 | 7+ | |
| | 92 | 3.2x10 ⁷ y | | EC | -86.448 | | |
| | 92m | 10.15 d | | EC 99.94%, β^+ 0.06% | -86.313 | 2+ | |
| | 93 | 100% | | | -87.209 | 9/2+ | 1.1 ^{gem} |
| | 93m | 13.6 y | | IT | -87.179 | 1/2- | |

TABLE OF NUCLIDES

| | Nuclide Z El A | Abundance or $t_{1/2}$ | Decay 'Mode' | A(MeV) | J π | $\sigma_n(h)$ |
|-------|-------------------|---------------------------|--|----------|---------|--------------------|
| 41 Nb | 94 | 2.0×10^4 y | β^- | -86.367 | 6+ | $15 \frac{K}{g}$ |
| | 94m | 6.76 m | IT 99.5%, β^- 0.5% | -86.326 | 3+ | $0.59 \frac{K}{g}$ |
| | 96 | 35.0 d | β^- | -86.786 | 9/2+ | |
| | 96m | 87 h | IT 97.5%, β^- 2.5% | -86.552 | 1/2- | <7 ^{ns} |
| | 98 | 23.4 h | β^- | -85.608 | (6)+ | |
| | 97 | 72 m | β^- | -85.612 | 9/2+ | |
| | 97m | 1.0 m | IT | -84.868 | 1/2- | |
| | 98 | 2.9 s | β^- | -83.530 | 1+ | |
| | 98m | 51 m | β^- | -83.446 | (5)+ | |
| | 99 | 15.0 s | β^- | -82.346 | (9/2)+ | |
| | 99m | 2.6 m | β^- , IT ² (weak) | -81.981 | (1/2)- | |
| | 100 | 1.5 s | β^- | -79.96 | | |
| | 100 | 3.1 s | β^- | | | |
| | 101 | 7.0 s | β^- | -78.95 | | |
| | 101 | 1.0 m ² | β^- | | | |
| | 102 | 4.3 s | β^- | -76.36 s | | |
| | 102 | 1.3 s | β^- | -76.36 s | | |
| | 103 | 1.5 s | β^- | -75.41 s | | |
| | 104 | 0.8 s | β^- | -72.65 s | | |
| | 104 | 4.8 s | β^- | | | |
| | 105 | 2 s | [β^-] | -70.14 s | | |
| | 106 | m1 s | β^- | | | |
| 42 Mo | 88 | 27 m ² | β^+ +EC | -72.92 s | | |
| | 88 | 8 m | β^+ +EC | -72.92 s | | |
| | 90 | 5.67 h | EC 75%, β^+ 25% | -80.167 | 0+ | |
| | 91 | 15.49 m | β^+ 94.1%, EC 5.9% | -82.199 | 9/2+ | |
| | 91m | 65 s | (β^+ , EC) 50%, IT 50% | -81.546 | 1/2- | |
| | 92 | 14.8 ^{ns} | β^- | -86.807 | 0+ | $0.3 \frac{K}{g}$ |
| | 93 | 3×10^3 y | EC | -86.803 | 5/2+ | |
| | 93m | 6.9 h | IT 99.88%, EC 0.12% | -84.378 | 21/2+ | |
| | 94 | 9.3 ^{ns} | β^- | -88.412 | 0+ | |
| | 95 | 15.9 ^{ns} | β^- | -87.712 | 5/2+ | $14 \frac{K}{g}$ |
| | 96 | 16.7 ^{ns} | β^- | -88.795 | 0+ | $1 \frac{K}{g}$ |
| | 97 | 9.6 ^{ns} | β^- | -87.544 | 5/2+ | $2 \frac{K}{g}$ |
| | 98 | 24.1 ^{ns} | β^- | -88.115 | 0+ | 0.13 |
| | 99 | 66.02 h | β^- | -85.970 | 1/2+ | |
| | 100 | 9.6 ^{ns} | β^- | -86.189 | 0+ | 0.20 |
| | 101 | 14.6 m | β^- | -83.516 | 1/2+ | |
| | 102 | 11.0 m | β^- | -83.562 | 0+ | |
| | 103 | 60 s | β^- | -80.61 s | | |
| | 104 | 1.0 m | β^- | -81.65 s | 0+ | |
| | 105 | 36 s | β^- | -77.14 s | | |
| | 106 | 9.5 s | β^- | -76.1 s | 0+ | |
| | 107 | m5 s | β^- | | | |
| | 108 | 1.1 s | β^- | -70.9 s | 0+ | |
| 43 Tc | 90 | 50 s | β^+ | -71.3 | (1+) | |
| | 90 | 7.9 s | β^+ | -75.98 | (9/2+) | |
| | 91 | 3.14 m | β^+ +EC | | (1/2)- | |
| | 91 | 3.3 m | β^+ +EC | | (8)+ | |
| | 92 | 4.4 m | β^+ +EC | -78.936 | 9/2+ | |
| | 93 | 2.7 h | EC 87%, β^+ 13% | -83.610 | 9/2+ | |
| | 93m | 43 m | IT 80%, EC 20% | -83.217 | 1/2- | |
| | 94 | 293 m | EC 89%, β^+ 11% | -84.156 | 7+ | |
| | 94m | 52 m | β^+ 72%, EC 28% | -84.081 | (2)+ | |
| | 95 | 20.0 h | EC | -86.013 | 9/2+ | |
| | 95m | 61 d | EC 95.8%, β^+ 0.31%, IT 3.9% | -85.974 | 1/2- | |
| | 96 | 4.3 d | EC | -85.821 | 7+ | |
| | 96m | 52 m | IT 98%, EC 2%, β^+ m0.01% | -85.787 | 4+ | |
| | 97 | 2.6×10^6 y | EC, no γ | -87.224 | 9/2+ | |
| | 97m | 90 d | IT | -87.128 | 1/2- | |
| | 98 | 4.2×10^6 y | β^- | -86.434 | (6)+ | $3 \frac{K}{g}$ |
| | 99 | 2.14×10^5 y | β^- | -87.326 | 9/2+ | 19 |
| | 99m | 6.02 h | IT 99+%, β^- m9x10 ⁻⁵ % | -87.184 | 1/2- | |
| | 100 | 15.8 s | β^- | -86.019 | 1+ | |

TABLE OF NUCLIDES

| Z | Nuclide El A | Abundance or $t_{1/2}$ | Decay Mode | $\Delta(\text{MeV})$ | J^π | $\sigma_n(b)$ |
|----|-----------------|---------------------------|--|----------------------|---------|--|
| 43 | Tc | | | | | |
| | 101 | 14.3 m | β^- | -86.327 | 9/2+ | |
| | 102 | 5.3 s | β^- | -84.60 s | 1+ | |
| | 102m | 4.4 m | β^- 98%, IT 2% | -84.3 s | (5) | |
| | 103 | 50 s | β^- | -84.91 | | |
| | 104 | 18.1 m | β^- | -83.85 | (3) | |
| | 105 | 7.6 m | β^- | -82.54 | | |
| | 106 | 36 s | β^- | -80.03 s | | |
| | 107 | 21.2 s | β^- | -79.51 s | | |
| | 108 | 5.1 s | β^- | -75.8 s | | |
| | 109 | 1.4 s | β^- | -71 s | | |
| | 110 | 0.82 s | β^- | -74.7 s | 0+ | |
| 44 | Ru | | | | | |
| | 92 | 3.7 m | β^+ + EC | -77.31 s | (9/2)+ | |
| | 93 | 60 s | β^+ + EC | -76.58 s | (1/2)- | |
| | 93m | 10.8 s | β^+ + EC 79%, IT 21% | -82.571 | 0+ | |
| | 94 | 52 m | EC | -83.452 | 5/2+ | |
| | 95 | 1.65 h | EC 85%, β^+ 15% | -86.075 | 0+ | 0.25 |
| | 96 | 5.58 | EC | -86.07 | 5/2+ | |
| | 97 | 2.88 d | | -88.226 | 0+ | <8 ⁻¹⁹ |
| | 98 | 1.86% | | -87.620 | 5/2+ | 4 |
| | 99 | 12.28 | | -89.222 | 0+ | 6 |
| | 100 | 12.68 | | -87.552 | 5/2+ | 5 |
| | 101 | 17.08 | | -89.100 | 0+ | 1.3 |
| | 102 | 31.68 | | -87.261 | 5/2+ | |
| | 103 | 39.4 d | β^- | -85.099 | 0+ | 0.47 |
| | 104 | 18.78 | | -85.938 | (3/2)+ | 0.30 |
| | 105 | 4.44 h | β^- | -86.333 | 0+ | 0.12 |
| | 106 | 367 d | β^- , no γ | -83.71 | 0+ | |
| | 107 | 4.7 m | β^- | -83.82 | 0+ | |
| | 108 | 4.5 m | β^- | -80.81 s | | |
| | 109 | 34 s | β^- | -80.81 s | | |
| | 109 | 13 s | β^- | -80.3 s | 0+ | |
| | 110 | 16 s | β^- | | | |
| | 111 | 1.5 s | β^- | | | |
| | 111 | ~1 m? | β^- | | 0+ | |
| | 112 | 0.7 s? | β^- | | | |
| 45 | Rh | | | | | |
| | 94 | 25 s | β^+ | -78.34 | (9/2)+ | |
| | 94 | 80 s | β^+ | -77.80 | (1/2)- | |
| | 95 | 5.0 m | β^+ + EC | -79.633 | (5+) | |
| | 96m | 1.96 m | IT 88%, β^+ + EC 12% | -79.581 | (2+) | |
| | 96 | 9.9 m | β^+ + EC | -82.56 | (9/2)+ | |
| | 96m | 1.51 m | IT 60%, β^+ + EC 40% | -82.30 | (1/2)- | |
| | 97 | 31 m | β^+ , EC | -83.168 | (2+) | |
| | 97m | 44 m | β^+ , EC 95%, IT 5% | -83.162 | (5+) | |
| | 97 | 1 m? | | -85.517 | (1/2)- | |
| | 98(g) | 8.7 m | β^+ , EC | -85.452 | 9/2+ | |
| | 98(m) | 3.5 m | β^+ + EC | -85.592 | 1- | |
| | 99 | 15.0 d | EC 97.4%, β^+ 2.6% | -85.252 | (5+) | |
| | 99m | 4.7 h | EC 90%, β^+ 10% | -87.410 | 1/2- | |
| | 100 | 20.8 h | EC 95%, β^+ 5% | -87.253 | 9/2+ | |
| | 100m | 4.7 m | IT 93%, EC + β^+ 7% | -86.777 | (2-) | |
| | 101 | 3.3 y | EC | -88.024 | 1/2- | 1.34 g 11 m |
| | 101m | 4.34 d | EC 92.8%, IT 7.2% | -87.984 | 7/2+ | |
| | 102 | 2.9 y | EC | -86.952 | 1+ | 40 ⁺¹⁵ _{gmm} |
| | 102m | 206 d | EC 62%, β^+ 14%, β^- 19%, IT 5% | -86.823 | 5+ | 800 ⁺¹⁵ _{gmm} |
| | 103 | 100% | | -87.855 | (7/2)+ | 1.1×10 ⁴ g 5×10 ³ m |
| | 103m | 56.1 m | IT | -87.725 | 1/2- | |
| | 104 | 42.3 s | β^- 99.6%, EC 0.4% | -86.372 | 1+ | |
| | 104m | 4.34 m | IT 99.87%, β^- 0.13% | -86.235 | 4,5,6+ | |
| | 105 | 35.4 h | β^- | -86.86 | (5/2)+ | |
| | 105m | 45 s | IT | -85.02 | 1+ | |
| | 106 | 29.8 s | β^- | | | |
| | 106m | 130 m | β^- | | | |
| | 107 | 21.7 m | β^- | | | |
| | 108 | 16.8 s | β^- | | | |

TABLE OF NUCLIDES

| Z | Nuclide El | A | Abundance or $t_{1/2}$ | Decay Mode | Δ (MeV) | $J\pi$ | $\sigma_a(b)$ |
|----|---------------|------|---------------------------|--|----------------|--------------|---------------------------------|
| 45 | Rh | 108 | 6.0 m | β^- | -85.09 | | |
| | | 109 | 80 s | β^- | -85.11 s | (5/2-, 3/2+) | |
| | | 110 | 3 s | β^- | -82.8 | | |
| | | 111 | 28 s | β^- | -82.93 | | |
| | | 112 | 11 s | $\{\beta^-\}$ | -82.53 s | | |
| | | 113 | 4.6 s | β^- | -80.3 s | | |
| | | 114 | 0.9 s | $\{\beta^-\}$ | | | |
| | | 114 | 1.7 s ² | β^- | | | |
| 46 | Pd | 97 | 3.3 m | $\beta^+ + EC$ | -77.76 s | | |
| | | 98 | 18 m | $EC + \beta^+$ | -81.27 s | 0+ | |
| | | 99 | 21.4 m | β^+, EC | -86.112 | (5/2+) | |
| | | 100 | 3.6 d | EC | -85.230 | 0+ | |
| | | 101 | 8.5 h | EC 93.6%, β^+ 6.4% | -85.428 | (5/2+) | |
| | | 102 | 1.08 π | | -87.925 | 0+ | 5 ¹⁸ |
| | | 103 | 17.0 d | EC | -87.478 | 5/2+ | |
| | | 104 | 11.08 π | | -89.400 | 0+ | |
| | | 105 | 22.2 π | | -88.422 | 5/2+ | |
| | | 106 | 27.3 π | | -89.913 | 0+ | |
| | | 107 | 6.5 $\times 10^6$ y | β^- , no γ | -88.371 | 5/2+ | 0.28 _g |
| | | 107m | 21.3 s | IT | -88.156 | 11/2- | 0.013 _m |
| | | 108 | 26.7 π | | -89.523 | 0+ | 11 _g ¹⁸ |
| | | 109 | 13.43 h | β^- | -87.606 | 5/2+ | 0.19 _m ¹⁸ |
| | | 109m | 4.69 m | IT | -87.417 | 11/2- | |
| | | 110 | 11.08 π | | -88.335 | 0+ | 0.36 _g ¹⁸ |
| | | 111 | 22 m | β^- | -86.03 | (5/2+) | 0.02 _m ¹⁸ |
| | | 111m | 5.5 h | IT 71%, β^- 29% | -85.86 | (11/2-) | |
| | | 112 | 21.1 h | β^- | -86.326 | 0+ | |
| | | 113 | 1.5 m | β^- , no γ | -83.64 s | | |
| | | 114 | 2.4 m | β^- , no γ | -83.76 s | 0+ | |
| | | 115 | 37 s | β^- | | | |
| | | 116 | 14 s | β^- | -80.12 s | 0+ | |
| | | 117 | 5 s | $\{\beta^-\}$ | | | |
| | | 118 | 3.1 s | β^- | -76.21 s | 0+ | |
| 47 | Ag | 99 | 1.8 m ² | $\beta^+ + EC$ | -76.51 s | | |
| | | 100 | 2.3 m | $\beta^+ + EC$ | -77.93 | | |
| | | 101 | 8 m ² | $\beta^+ + EC$ | | | |
| | | 101 | 10.8 m | $\beta^+ + EC$ | -81.33 s | (9/2+) | |
| | | 102 | 13.0 m | $\beta^+ \approx 68\%$, EC $\approx 32\%$ | -82.33 | 5+ | |
| | | 102m | 7.7 m | (β^+ , EC) 51%, IT 49% | -82.32 | 2+ | |
| | | 103 | 1.10 h | EC $\approx 58\%$, β^+ $\approx 42\%$ | -84.80 | 7/2+ | |
| | | 103m | 5.7 s | IT | -84.67 | (1/2)- | |
| | | 104 | 69 m | β^+, EC | -85.150 | 5+ | |
| | | 104m | 33 m | (β^+ , EC) 67%, IT 33% | | 2+ | |
| | | 105 | 41.3 d | EC 99+%, β^+ 9 $\times 10^{-4}\%$ | -87.075 | 1/2- | |
| | | 105m | 7.2 m | IT 99.7%, EC 0.3% | -87.049 | (7/2+) | |
| | | 106 | 24.0 m | (EC, β^+) $\approx 99\%$ | -86.929 | 1+ | |
| | | 106m | 8.5 d | EC | -86.841 | 6+ | |
| | | 107 | 51.8 π | | -88.404 | 1/2- | 37 _g |
| | | 107m | 44.3 s | IT | -88.311 | 7/2+ | 0.3 _m ¹⁸ |
| | | 108 | 2.4 m | β^- 97.7%, EC 2.1%, β^+ 0.24% | -87.602 | 1+ | |
| | | 108m | 127 y | EC + β^+ 91%, IT 9% | -87.492 | 6+ | |
| | | 109 | 48.12 π | | -88.722 | 1/2- | 88 _g |
| | | 109m | 39.8 s | IT | -88.634 | 7/2+ | 4 _m |
| | | 110 | 24.4 s | β^- 99.7%, EC 0.3% | -87.456 | 1+ | |
| | | 110m | 252 d | β^- 98.5%, IT 1.5% | -87.338 | 6+ | 80 _{g+m} |
| | | 111 | 7.45 d | β^- | -88.226 | 1/2- | 3 ¹⁸ |
| | | 111m | 65 s | IT 99.7%, β^- 0.3% | -88.166 | (7/2+) | |
| | | 112 | 3.14 h | β^- | -86.620 | 2(-) | |

TABLE OF NUCLIDES

| Z | Nuclide El A | Abundance or $t_{1/2}$ | Decay Mode | $\Delta(\text{MeV})$ | J^π | $\sigma_n(b)$ |
|-------------------|-------------------|------------------------------|---|----------------------|---------|---|
| 47 | Ag 113 | 1.15 m | β^- | -86.82 | | |
| | 113 | 5.37 h | β^- | -87.040 | 1/2(-) | |
| | 114 | 4.5 s | β^- | -85.16 | 1+ | |
| | 115 | 18 s | β^- | | | |
| | 115 | 20 m | β^- | -84.91 | (1/2-) | |
| | 116 | 2.68 m | β^- | -82.62 s | | |
| | 116m | 10.5 s | β^- $\approx 98\%$, IT $\approx 2\%$ | -82.54 s | | |
| | 117 | 1.21 m | β^- | -82.24 | | |
| | 117 | 5.3 s | β^- | -82.24 | | |
| | 118 | 5.7 s | β^- | -80.21 s | | |
| | 118m | 2.8 s | β^- 59%, IT 41% | -80.08 s | | |
| | 119 | 2.1 s | β^- | -79.31 s | (7/2+) | |
| | 120 | 1.2 s | β^- | -78.0 s | (3+) | |
| | 120m | 0.32 s | β^- $\approx 63\%$, IT $\approx 37\%$ | -77.8 s | (6-) | |
| | 121 | 63 s | β^- | | | |
| | 122 | 1.5 s | β^- | -70.5 s | | |
| | 123 | 0.39 s | β^- , β^-n | | | |
| 48 | Cd 100 | 1.1 m | $\beta^+ + \text{EC}$ | -73.43 s | 0+ | |
| | 101 | 1.2 m | $\beta^+ + \text{EC}$ | -75.53 s | | |
| | 102 | 5.5 m | EC, β^+ | -79.43 s | 0+ | |
| | 103 | 7.3 m | β^+ , EC | -80.60 | | |
| | 104 | 58 m | EC 99.2%, β^+ 0.8% | -83.57 | 0+ | |
| | 105 | 56.0 m | EC, β^+ | -84.336 | 5/2+ | |
| | 106 | 1.258 | | -87.131 | 0+ | 1 ^{ns} |
| | 107 | 6.50 h | EC 99.77%, β^+ 0.23% | -86.987 | 5/2+ | |
| | 108 | 0.698 | | -89.251 | 0+ | 1.2 ^{ns} |
| | 109 | 453 d | EC | -88.540 | 5/2+ | 700 ^{ns} |
| | 110 | 12.58 | | -90.349 | 0+ | 11 ^{ns} 0.10 ^{ns} |
| | 111 | 12.68 | | -89.254 | 1/2+ | 24 ^{ns} |
| | 111m | 48.6 m | IT | -88.858 | 11/2- | |
| | 112 | 24.18 | | -90.578 | 0+ | 2 ^{ns} |
| | 113 | 12.28 | | -89.050 | 1/2+ | 1.98 $\times 10^4$ |
| | 113m | 9 $\times 10^{15}$ y 14 y | β^- , no γ β^- 99.9%, IT 0.1% | -88.787 | 11/2- | |
| | 114 | 20.78 | | -90.020 | 0+ | 0.30 ^{nc} 0.04 ^{nc} |
| | 115 | 53.4 h | β^- | -88.093 | 1/2+ | |
| | 115m | 44.8 d | β^- | -87.920 | 11/2- | |
| | 116 | 7.58 | | -88.718 | 0+ | 0.05 ^{nc} 0.025 ^{nc} |
| 49 | In 117 | 2.4 h | β^- | -86.416 | 1/2+ | |
| | 117m | 3.4 h | β^- | -86.29 | 11/2- | |
| | 118 | 50.3 m | β^- , no γ | -86.707 | 0+ | |
| | 119 | 2.7 m | β^- | -84.23 | 1/2+ | |
| | 119m | 1.9 m | β^- | -84.08 | 11/2- | |
| | 120 | 50.8 s | β^- | -83.981 | 0+ | |
| | 121 | 12.8 s | β^- | -81.3 s | | |
| | 121 | 4.8 s | β^- | -81.3 s | | |
| | 122 | 5.8 s | β^- | -80.0 s | 0+ | |
| | 124 | 0.9 s | β^- | -76.4 s | 0+ | |
| | 104 | 1.5 m | $\beta^+ + \text{EC}$ | -75.57 s | | |
| | 105 | 5.1 m | $\beta^+ + \text{EC}$ | -79.34 s | | |
| | 106m | 55 s ^p | IT ^p | | | |
| | 108 | 5.3 m | $\beta^+ + \text{EC}$ | -80.586 | (3) | |
| | 108 | 6.3 m | $\beta^+ + \text{EC}$ | | | |
| | 107 | 32.4 m | EC 65%, β^+ 35% | -83.50 | 9/2+ | |
| | 107m | 50 s | IT | -82.82 | 1/2- | |
| | 108 | 40 m | EC, β^+ | -84.10 | 3+ | |
| | 108 | 58 m | EC, β^+ | -84.13 | (5,6+) | |
| | 109 | 4.2 h | EC 94%, β^+ 6% | -86.524 | 9/2+ | |
| 108m ₁ | 108m ₁ | 1.3 m | IT | -86.874 | 1/2- | |
| | 108m ₂ | 0.21 s | IT | -84.41 | (19/2+) | |
| | 110 | 4.9 h | EC | | 7+ | |
| | 110 | 89 m | β^+ , EC | -86.409 | 2+ | |
| | 111 | 2.83 d | EC | -88.405 | 9/2+ | |

TABLE OF NUCLIDES

| Z | El | Nuclide A | Abundance or $t_{1/2}$ | Decay Mode | Δ (MeV) | J π | σ_n (b) |
|----|----|-------------------|---------------------------------|---|----------------|---------|----------------------------|
| 49 | In | 111m | 7.6 m | IT | -87.869 | 1/2- | |
| | | 112 | 14.4 m | β^- 44%, EC 34%, β^+ 22% | -88.000 | 1+ | |
| | | 112m | 20.9 m | IT | -87.845 | 4+ | |
| | | 113 | 4.33% | - | -89.372 | 9/2+ | 5_m |
| | | 113m | 99.5 m | IT | -88.980 | 1/2- | 3_g |
| | | 114 | 71.9 s | β^- 98.1%, EC 1.9%, β^+ 0.004% | -88.576 | 1+ | |
| | | 114m | 49.51 d | IT 96.7%, EC 3.3% | -88.386 | 5+ | |
| | | 115 | 95.7% 5.1x10 ¹⁴ y | β^- , no γ | -89.541 | 9/2+ | 91_m 70_m 41_g |
| | | 115m | 4.49 h | IT 95%, β^- 5% | -89.205 | 1/2- | |
| | | 116 | 14.10 s | β^- | -88.253 | 1+ | |
| | | 116m ₁ | 54.1 m | β^- | -88.126 | 5+ | |
| | | 116m ₂ | 2.16 s | IT | -87.963 | 8- | |
| | | 117 | 42 m | β^- | -88.944 | 9/2+ | |
| | | 117m | 1.93 h | β^- 53%, IT 47% | -88.629 | 1/2- | |
| | | 118 | 5.0 s | β^- | -87.45 | 1+ | |
| | | 118 | 4.4 m | β^- | -87.37 | (5)+ | |
| | | 118 | 8.5 s | IT 98.5%, β^- 1.5% | -87.23 | (8)- | |
| | | 119 | 2.1 m | β^- | -87.730 | 9/2+ | |
| | | 119m | 18.0 m | β^- 95%, IT 5% | -87.419 | 1/2- | |
| | | 120 | 44 s | β^- | -85.8 | (5)+ | |
| | | 120 | 3.0 s | β^- | -85.5 | 1+ | |
| | | 121 | 30.0 s | β^- | -85.842 | 9/2+ | |
| | | 121m | 3.8 m | β^- 98.8%, IT 1.2% | -85.528 | 1/2- | |
| | | 122 | 9.2 s | β^- | -83.4 | (1+) | |
| | | 122 | 1.5 s | β^- | -83.5 | (9/2)+ | |
| | | 123(g) | 6.0 s | β^- | -83.44 | (1/2)- | |
| | | 123(m) | 46 s | β^- | -83.12 | (2+) | |
| | | 124 | 2.4 s | β^- | -81.10 | (9/2)+ | |
| | | 124 | 3.2 s | β^- | -80.50 | | |
| | | 125 | 2.32 s | β^- | -77.90 | | |
| | | 126 | 1.53 s | β^- | -77.36 | | |
| | | 127 | 1.3 s | β^- | -77.36 | | |
| | | 127 | 3.7 s | β^- , β^-n | -73.12 | | |
| | | 128 | 12 s? | β^- , β^-n | -70.08 s | | |
| | | 129 | 2.5 s | β^- , β^-n | -69.8 s | (9/2+) | |
| | | 129 | 0.99 s | β^- , β^-n | -65 s | | |
| | | 130 | 0.58 s | β^- , β^-n | -76.99 s | 0+ | |
| | | 131 | 0.29 s | β^- , β^-n | -78.40 s | 0+ | |
| | | 132 | 0.12 s | β^- , β^-n | -81.90 s | 7/2+ | |
| 50 | Sn | 106 | 1.9 m | EC+ β^+ | -82.62 s | 0+ | |
| | | 107 | 2.90 m | β^+ +EC | -85.834 | 0+ | |
| | | 108 | 10.5 m | EC | -85.941 | 7/2+ | |
| | | 109 | 18.0 m | β^+ , EC | -88.658 | 0+ | 0.4_m 0.3_m |
| | | 109 | 1.5 m? | ? | -88.332 | 1/2+ | |
| | | 110 | 4.1 h | EC | -88.253 | 7/2+ | |
| | | 111 | 35 m | EC 71%, β^+ 29% | -90.560 | 0+ | |
| | | 112 | 1.01% | - | -90.035 | 1/2+ | |
| | | 113 | 115.1 d | EC | -91.526 | 0+ | 50_m |
| | | 113m | 21 m | IT 91%, EC 9% | -90.399 | 1/2+ | 3_m |
| | | 114 | 0.67% | - | -90.084 | 11/2- | |
| | | 115 | 0.33% | - | -91.654 | 0+ | 0.06_m 2 |
| | | 116 | 14.8% | - | -90.067 | 1/2+ | |
| | | 117 | 7.75% | - | -89.977 | 11/2- | |
| | | 117m | 14.0 d | IT | -91.102 | 0+ | 0.16_g 0.001_m |
| | | 118 | 24.3% | - | | | |
| | | 119 | 8.6% | - | | | |
| | | 119m | ~250 d | IT | | | |
| | | 120 | 32.4% | - | | | |

TABLE OF NUCLIDES

| Z | El | A | Nuclide | Abundance or $t_{1/2}$ | Decay Mode | $\Delta(\text{MeV})$ | J^π | $\sigma_n(b)$ |
|----|----|-------------------|-------------------|---------------------------|--|----------------------|---------|-------------------|
| 50 | Sn | 121 | 121 | 27.1 h | β^- , no γ | -89.202 | 3/2+ | |
| | | 121m | 121m | 55 y | β^- | -89.196 | (11/2)- | |
| | | 122 | 122 | 4.56% | | -89.946 | 0+ | 0.15 m 0.001 g |
| | | 123 | 123 | 129 d | β^- | -87.821 | 11/2- | |
| | | 123m | 123m | 40.1 m | β^- | -87.796 | (3/2)+ | |
| | | 124 | 124 | 5.64% | | -88.240 | 0+ | 0.13 m 0.005 g |
| | | 126 | 126 | 9.62 d | β^- | -85.903 | 11/2- | |
| | | 126m | 126m | 9.5 m | β^- | -85.876 | 3/2+ | |
| | | 128 | 128 | $\approx 1 \times 10^8$ y | β^- | -86.024 | 0+ | |
| | | 127 | 127 | 2.1 h | β^- | -83.79 | (11/2)- | |
| | | 127m | 127m | 4.1 m | β^- | -83.78 | (3/2)+ | |
| | | 128 | 128 | 59.3 m | β^- | -83.44 | 0+ | |
| | | 129 | 129 | 2.2 m | β^- | -80.64 | (3/2)+ | |
| | | 129m | 129m | 7.5 m | β^- | -80.60 | (11/2)- | |
| | | 130 | 130 | 3.7 m | β^- | -80.38 | 0+ | |
| | | 130m | 130m | 1.7 m | β^- | -80.38 | (7-) | |
| | | 131 | 131 | 63 s | β^- | -77.48 s | (3/2)+ | |
| | | 132 | 132 | 40 s | β^- | -76.60 | 0+ | |
| | | 133 | 133 | 1.47 s | β^- , β^-n | -71.5 | | |
| | | 134 | 134 | 1.04 s | β^- , $\beta^-n \approx 17\%$ | | 0+ | |
| 51 | Sb | 108 | 108 | 7.0 s | β^+ | -72.40 s | (3+) | |
| | | 108 | 108 | 18.3 s | β^+ +EC | -76.12 s | | |
| | | 110 | 110 | 23 s | β^+ $\approx 92\%$, EC $\approx 6\%$ | -76.75 | (3)+ | |
| | | 111 | 111 | 75 s | β^+ , EC | -81.47 | (5/2)+ | |
| | | 112 | 112 | 54 s | β^+ , EC | -81.63 | (3+) | |
| | | 113 | 113 | 6.7 m | EC, β^+ | -84.443 | (5/2)+ | |
| | | 114 | 114 | 3.5 m | β^+ , EC | -84.14 | (3)+ | |
| | | 114 | 114 | 8 m | ? | | | |
| | | 115 | 115 | 31.8 m | EC 67%, β^+ 33% | -87.005 | 5/2+ | |
| | | 116 | 116 | 16 m | EC 72%, β^+ 28% | -86.93 | 3+ | |
| | | 116m | 116m | 60.4 m | EC 81%, β^+ 19% | -86.32 | 8- | |
| | | 117 | 117 | 2.80 h | EC 97.5%, β^+ 2.5% | -88.654 | 5/2+ | |
| | | 118 | 118 | 3.5 m | EC, β^+ | -87.967 | 1+ | |
| | | 118 | 118 | 0.87 s | ? | | | |
| | | 118m | 118m | 5.00 h | EC 99.84%, β^+ 0.16% | -87.747 | 8- | |
| | | 119 | 119 | 38.0 h | EC | -89.483 | 5/2+ | |
| | | 120 | 120 | 15.8 m | EC 56%, β^+ 44% | -88.421 | 1+ | |
| | | 120 | 120 | 5.76 d | EC | | 8- | |
| | | 121 | 121 | 57.3% | | -89.588 | 5/2+ | 6.1 g 0.06 m |
| | | 122 | 122 | 2.68 d | β^- 97.0%, EC 3.0%, β^- 0.0063% | -88.323 | 2- | |
| | | 122m | 122m | 4.2 m | IT | -88.160 | (8-) | |
| | | 123 | 123 | 42.7% | | -89.218 | 7/2+ | |
| | | 124 | 124 | 60.20 d | β^- | -87.613 | 3- | |
| | | 124m ₁ | 124m ₁ | 93 s | IT 80%, β^- 20% | -87.603 | (5)+ | |
| | | 124m ₂ | 124m ₂ | 20.2 m | IT | -87.578 | | |
| | | 125 | 125 | 2.7 y | β^- | -86.252 | 7/2+ | |
| | | 126 | 126 | 12.4 d | β^- | -86.402 | (8-) | |
| | | 126m | 126m | 19.0 m | β^- 86%, IT 14% | -86.384 | (5)+ | |
| | | 127 | 127 | 3.9 d | β^- | -86.704 | 7/2+ | |
| | | 128(g) | 128(g) | 9.1 h | β^- | -86.475 | 8- | |
| | | 128(m) | 128(m) | 10.0 m | β^- 96.4%, IT 3.6% | -84.73 | 5+ | |
| | | 129 | 129 | 4.4 h | β^- | -84.630 | 7/2+ | |
| | | 130 | 130 | 40 m | β^- | -82.38 | (8-) | |
| | | 130 | 130 | 6.5 m | β^- | | (4,5)+ | |
| | | 131 | 131 | 23.03 m | β^- | -82.10 s | (7/2+) | |
| | | 132 | 132 | 2.8 m | β^- | -79.68 | (4+) | |
| | | 133 | 133 | 4.2 m | β^- | | (8-) | |
| | | 133 | 133 | 2.7 m | β^- | -78.98 | | |
| | | 134 | 134 | 10.4 s | β^- , β^-n 0.09% | -73.87 s | | |
| | | 134 | 134 | 0.8 s | β^- , no γ | -73.87 s | | |
| | | 136 | 136 | 1.70 s | β^- , β^-n 20% | -70.44 s | (7/2+) | |
| | | 138 | 138 | 0.82 s | β^- , β^-n 32% | | | |
| 52 | Te | 107 | 107 | 2.1 s | α | | | |

TABLE OF NUCLIDES

| Z | El | A | Abundance or $t_{1/2}$ | Decay Mode | Δ (MeV) | J π | σ_n (b) |
|----|----|------|---------------------------|---|----------------|---------|----------------------------------|
| 52 | Te | 108 | 5.3 s | $\alpha, (\beta^+ + EC), (\beta^+ + EC)p$ | -65.32 s | 0+ | |
| | | 109 | 4.7 s | $(\beta^+ + EC), (\beta^+ + EC)p, \alpha$ | -67.47 s | | |
| | | 111 | 19 s | $\beta^+ + EC, (\beta^+ + EC)p$ | -74.10 s | | |
| | | 113 | 2.0 m | $\beta^+ + EC$ | -76.96 | | |
| | | 114 | 17 m | EC + β^+ | -81.46 s | 0+ | |
| | | 115 | 6.0 m | $\beta^+ \approx 75\%, EC \approx 25\%$ | -82.58 | (7/2+) | |
| | | 115 | 7.5 m | $\beta^+ + EC$ | | (1/2+) | |
| | | 116 | 2.50 h | EC, β^+ | -85.37 | 0+ | |
| | | 117 | 62 m | EC 70%, β^+ 30% | -85.164 | 1/2+ | |
| | | 118 | 6.00 d | EC, no γ | -87.671 | 0+ | |
| | | 119 | 16.05 h | EC 97.2%, β^+ 2.8% | -87.189 | 1/2+ | |
| | | 119m | 4.68 d | EC | -86.89 | 11/2- | |
| | | 120 | 0.091 s | | -89.404 | 0+ | 2.0 ¹⁸ _g |
| | | 121 | 16.8 d | EC | -88.486 | 1/2+ | 0.3 ¹⁸ _m |
| | | 121m | 154 d | IT 90%, EC 10%, β^+ 0.002% | -86.192 | 11/2- | |
| | | 122 | 2.5 s | | -90.304 | 0+ | 3 ¹⁸ _m |
| | | 123 | 0.88 s | | -89.166 | 1/2+ | 400 ¹⁸ |
| | | 123m | 119.7 d | IT | -86.918 | 11/2- | |
| | | 124 | 4.6 s | | -90.518 | 0+ | 7 ¹⁸ _g |
| | | 125 | 7.0 s | | -89.019 | 1/2+ | 0.05 ¹⁸ _m |
| | | 125m | 58 d | IT | -88.874 | 11/2- | 1.6 ¹⁸ |
| | | 126 | 18.7 s | | -90.066 | 0+ | 0.9 ¹⁸ _g |
| | | 127 | 9.4 h | β^- | -88.285 | 3/2+ | 0.13 ¹⁸ _m |
| | | 127m | 109 d | IT 97.6%, β^- 2.4% | -88.197 | 11/2- | |
| | | 128 | 51.7 s | $\beta^- \beta^-$ | -88.992 | 0+ | 0.20 _g |
| | | 128 | 1.5 $\times 10^{24}$ y | $\beta^- \beta^-$ | | | 0.016 _m |
| | | 129 | 69 m | β^- | -87.007 | 3/2+ | |
| | | 129m | 33.5 d | IT 63%, β^- 37% | -86.901 | 11/2- | |
| | | 130 | 34.5 s | $\beta^- \beta^-$ | -87.348 | 0+ | 0.2 ¹⁸ _g |
| | | 130 | 2 $\times 10^{21}$ y | $\beta^- \beta^-$ | | | 0.03 ¹⁸ _m |
| | | 131 | 25.0 m | β^- | -85.201 | 3/2+ | |
| | | 131m | 30 h | β^- 78%, IT 22% | -85.019 | 11/2- | |
| | | 132 | 78 h | β^- | -85.213 | 0+ | |
| | | 133 | 12.4 m | β^- | -82.93 | (3/2+) | |
| | | 133m | 55.4 m | β^- 83%, IT 17% | -82.60 | (11/2-) | |
| | | 134 | 42 m | β^- | -82.67 s | 0+ | |
| | | 135 | 19.2 s | β^- | -77.60 | 0+ | |
| | | 136 | 17.5 s | $\beta^-, \beta^- n$ 0.7% | -74.83 s | | |
| | | 137 | 4 s | $\beta^-, \beta^- n$ 2.5% | | | |
| | | 138 | 1.4 s | $\beta^-, \beta^- n$ 6% | | | |
| 53 | I | 115 | 1.3 m | $\beta^+ + EC$ | -76.78 s | 0+ | |
| | | 116 | 2.9 s | $\beta^+ + EC$ | -77.61 | 1+ | |
| | | 117 | 2.2 m | EC 54%, β^+ 46% | -80.85 | | |
| | | 118 | 14.3 m | β^+ 54%, EC 46% | -80.60 | (2-) | |
| | | 118m | 8.5 m | β^+, EC, IT | -80.50 | | |
| | | 119 | 19.3 m | β^+ 51%, EC 49% | -83.82 | | |
| | | 120 | 1.35 h | EC 54%, β^+ 46% | -83.789 | 2- | |
| | | 120m | 53 m | β^+, EC | -82.06 | | |
| | | 121 | 2.12 h | EC 94%, β^+ 6% | -86.12 | 5/2+ | |
| | | 122 | 3.6 m | β^+ 77%, EC 23% | -86.16 | 1+ | |
| | | 123 | 13.0 h | | -87.97 | 5/2+ | |
| | | 124 | 4.2 d | EC 75%, β^+ 25% | -87.361 | 2- | |
| | | 125 | 60.2 d | EC | -88.841 | 5/2+ | 900 ¹⁸ |
| | | 126 | 13.0 d | EC 53%, β^+ 1.0%, β^- 46% | -87.911 | 2- | 6 $\times 10^{17}$ ¹⁸ |
| | | 127 | 100 s | | -88.980 | 5/2+ | 6.1 |
| | | 128 | 24.99 m | β^- 94%, EC 6%, β^+ 0.003% | -87.734 | 1+ | |
| | | 129 | 1.6 $\times 10^7$ y | β^- | -88.505 | 7/2+ | 18 _g |

TABLE OF NUCLIDES

| Z | El | Nuclide A | Abundance or $t_{1/2}$ | Decay Mode | A(MeV) | J π | $\sigma_A(b)$ |
|----|----|-----------|------------------------|---|----------|---------|---|
| 53 | I | 130 | 12.36 h | β^- | -86.897 | 5+ | 18 ^m |
| | | 130m | 9.2 m | IT 85%, β^- 17% | -86.849 | 2+ | |
| | | 131 | 8.040 d | β^- | -87.451 | 7/2+ | 0.7 ^{gem} |
| | | 132 | 2.28 h | β^- | -85.706 | 4+ | |
| | | 132m | 83 m | IT 86%, β^- 14% | -85.59 | (8-) | |
| | | 133 | 20.9 h | β^- | -85.902 | 7/2+ | |
| | | 133m | 9 s | IT | -84.268 | (19/2-) | |
| | | 134 | 57.6 m | β^- | -83.97 | (4)+ | |
| | | 134m | 3.5 m | IT 98%, β^- 2% | -83.65 | (8-) | |
| | | 135 | 6.61 h | β^- | -83.796 | 7/2+ | |
| | | 136 | 46 s | β^- | | (5,6-) | |
| | | 136 | 83 s | β^- | -79.43 | (2-) | |
| | | 137 | 24.5 s | β^- , β^-n 6% | -76.72 | | |
| | | 138 | 6.5 s | β^- , β^-n 5% | -71.85 s | (2,3-) | |
| | | 139 | 2.3 s | β^- , β^-n 10% | -68.8 s | | |
| | | 140 | 0.8 s | β^- , β^-n 14% | | | |
| | | 141 | 0.5 s | $[\beta^-]$, β^-n ~60% | | | |
| 54 | Xe | 113 | 2.8 s | $[\beta^+ + EC]$, $(\beta^+ + EC)p$ | -71.86 s | | |
| | | 115 | 18 s | β^+ , EC , $(\beta^+ + EC)p$ 0.3% | -68.87 s | | |
| | | 116 | 57 s | $\beta^+ + EC$ | -73.27 | 0+ | |
| | | 117 | 61 s | EC 65%, β^+ 35%, (EC + β^+)p 0.003% | -74.48 s | | |
| | | 118 | 6 m | EC 86%, β^+ 14% | -77.30 s | 0+ | |
| | | 119 | 6 m | EC 82%, β^+ 18% | -78.83 | | |
| | | 120 | 40 m | EC 97%, β^+ 3% | -81.84 | 0+ | |
| | | 121 | 39 m | EC 92%, β^+ 8% | -82.33 | | |
| | | 122 | 20.1 h | EC | -85.16 s | 0+ | |
| | | 123 | 2.06 h | EC 87%, β^+ 13% | -85.29 | (1/2+) | |
| | | 124 | 0.096% | | -87.45 | 0+ | 100 _g 20 _m |
| | | 125 | 17 h | EC 99.7%, β^+ 0.3% | -87.11 | (1/2)+ | |
| | | 125m | 57 s | IT | -86.86 | (9/2-) | |
| | | 126 | 0.090% | | -89.162 | 0+ | 3 _g 0.4 _m |
| | | 127 | 36.41 d | EC | -88.316 | (1/2+) | |
| | | 127m | 69 s | IT | -88.019 | (9/2-) | |
| | | 128 | 1.92% | | -89.861 | 0+ | 0.4 _m <8 _g |
| | | 129 | 26.4% | | -88.698 | 1/2+ | 20 ^m |
| | | 129m | 8.89 d | IT | -88.461 | 11/2- | |
| | | 130 | 4.1% | | -89.881 | 0+ | 0.4 _m <26 _g |
| | | 131 | 21.2% | | -88.421 | 3/2+ | 90 ^m |
| | | 131m | 11.77 d | IT | -88.257 | 11/2- | |
| | | 132 | 26.9% | | -89.286 | 0+ | 0.4 _g 0.03 _m |
| | | 133 | 5.25 d | β^- | -87.662 | 3/2+ | 190 ^g |
| | | 133m | 2.19 d | IT | -87.429 | 11/2- | |
| | | 134 | 10.4% | | -88.125 | 0+ | 0.25 _g 0.003 _m |
| | | 134m | 0.29 s | IT | -86.160 | (7-) | |
| | | 135 | 9.10 h | β^- | -86.506 | 3/2+ | |
| | | 135m | 15.6 m | IT 99+%, β^- 0.004% | -85.979 | 11/2- | 2.6x10 ⁶ |
| | | 136 | 0.5% | | -86.425 | 0+ | 0.16 |
| | | 137 | 3.82 m | β^- | -82.215 | (7/2)- | |
| | | 138 | 14.1 m | β^- | -80.15 | 0+ | |
| | | 139 | 39.7 s | β^- | -75.75 | (7/2-) | |
| | | 140 | 14 s | β^- | -73.18 | 0+ | |
| | | 141 | 1.73 s | β^- , β^-n 0.05% | -69.00 | | |
| | | 142 | 1.2 s | β^- , β^-n 0.41% | -66.05 | 0+ | |
| | | 143 | 0.30 s | β^- | | | |
| | | 143 | 0.96 s | β^- | | | |
| | | 144 | 1.2 s | β^- | | 0+ | |
| | | 146 | 0.9 s | β^- | | | |
| 58 | Cs | 118 | 3.9 s | $\beta^+ + EC$, $(\beta^+ + EC)p$ 0.3% | -62.63 s | | |

TABLE OF NUCLIDES

| Z | Nuclide El A | Abundance or $t_{1/2}$ | Decay Mode | $\Delta(\text{MeV})$ | $J\pi$ | $\sigma_n(b)$ |
|----|-----------------|---------------------------|---|----------------------|---------|-----------------------|
| 55 | Cs 117 | 8 s | $\beta^+ + \text{EC}$ | -66.85 s | | |
| | 118 | 16 s | $\beta^+ + \text{EC}$, $(\beta^+ + \text{EC})p$ 0.04%, $(\beta^+ + \text{EC})n$ 0.0024% | -67.89 s | | |
| | 119 | 38 s | $\beta^+ + \text{EC}$ | -72.53 s | | |
| | 120 | 60 s | $\beta^+ + \text{EC}$, $(\beta^+ + \text{EC})n$ $2.0 \times 10^{-5}\%$, $(\beta^+ + \text{EC})p$ $7 \times 10^{-6}\%$ | -73.4 | | |
| | 121 | 126 s | $\beta^+ + \text{EC}$ | -77.13 s | | |
| | 122 | 4.5 m | $\beta^+ + \text{EC}$ | | | |
| | 122 | 21 s | $\beta^+ + \text{EC}$ | -78.01 s | (2,3+) | |
| | 122 | 0.4 s | γ | | | |
| | 123 | 5.9 m | $\beta^+ + \text{EC}$ | -81.19 | (1/2+) | |
| | 123m | 1.6 s | IT | | | |
| | 124 | 31 s | $\beta^+ \approx 92\%$, EC $\approx 8\%$ | -81.53 | (1+) | |
| | 125 | 45 m | EC 61%, β^+ 39% | -84.04 | 1/2+ | |
| | 126 | 1.64 m | β^+ 82%, EC 18% | -84.33 | 1+ | |
| | 127 | 6.2 h | EC 96.5%, β^+ 3.5% | -86.226 | 1/2+ | |
| | 128 | 3.6 m | β^+ 61%, EC 39% | -85.935 | 1+ | |
| | 129 | 32.3 h | EC 99+%, β^+ 0.0030% | -87.493 | 1/2+ | |
| | 130 | 29.9 m | (EC, β^+) 98.4%, β^- 1.6% | -86.863 | 1+ | |
| | 131 | 9.688 d | EC, no γ | -88.066 | 5/2+ | |
| | 132 | 6.47 d | EC 96.5%, β^+ 1.5%, β^- 2.0% | -87.175 | 2(-) | |
| | 133 | 1022 μ | | -88.089 | 7/2+ | 27 μ 2.5 μ |
| | 134 | 2.062 y | β^- 99+%, EC $3 \times 10^{-4}\%$ | -86.909 | 4+ | 140 μ 9 μ |
| | 134m | 2.90 n | IT | -86.770 | 8- | |
| | 135 | 3×10^6 y | β^- , no γ | -87.665 | 7/2+ | |
| | 135m | 53 m | IT | -86.038 | (19/2-) | |
| | 136 | 13.1 d | β^- | -86.358 | 5+ | |
| | 136m | 19 s | IT | | | |
| | 137 | 30,17 y | β^- | -86.560 | 7/2+ | 0.11 μ 9 μ |
| | 138 | 32.2 m | β^- | -82.98 | 3- | |
| | 138m | 2.9 m | IT 75%, β^- 25% | -82.90 | (6-) | |
| | 139 | 9.5 m | β^- | -80.63 | (7/2+) | |
| | 140 | 65 s | β^- | -77.24 | 1,2- | |
| | 141 | 24.9 s | β^- , β^-n 0.05% | -75.00 | | |
| | 142 | 1.69 s | β^- , β^-n 0.28% | -70.95 | | |
| | 143 | 1.78 s | β^- , β^-n 1.7% | -68.36 s | | |
| | 144 | 1.00 s | β^- , β^-n 3.0% | -63.93 s | | |
| | 145 | 0.58 s | β^- , β^-n 12% | -61.72 s | | |
| | 146 | 0.34 s | β^- , β^-n 14% | | | |
| 56 | Ba 117 | 1.9 s | $[\beta^+ + \text{EC}], (\beta^+ + \text{EC})p$ | | | |
| | 119 | 5.3 s | $(\beta^+ + \text{EC})p$ | -64.53 s | | |
| | 120 | 32 s | $\beta^+ + \text{EC}$ | -68.8 s | 0+ | |
| | 121 | 30 s | $\beta^+ + \text{EC}$, $(\beta^+ + \text{EC})p$ 0.02% | -70.55 s | | |
| | 122 | 2.0 m | $\beta^+ + \text{EC}$ | -74.26 s | 0+ | |
| | 122 | ≈ 4 s | $[\beta^+ + \text{EC}]$ | | | |
| | 123 | 2.7 m | $\beta^+ + \text{EC}$ | -75.69 s | | |
| | 124 | 11 m | EC + β^+ | -78.75 s | 0+ | |
| | 125 | 3.5 m | $\beta^+ + \text{EC}$ | -79.53 | | |
| | 125 | 8 m | $\beta^+ + \text{EC}$ | | | |
| | 126 | 100 m | EC + β^+ | -82.56 s | 0+ | |
| | 127 | 13 m | $\beta^+ \approx 51\%$, EC $\approx 49\%$ | -82.78 | (1/2+) | |
| | 127 | 18 m | $\beta^+ + \text{EC}$ | | | |
| | 128 | 2.43 d | EC | -85.482 | 0+ | |
| | 128 | 2.2 h | EC, β^+ | -85.046 | 1/2+ | |
| | 129m | 2.1 h | EC + β^+ | -84.769 | (11/2)- | |
| | 130 | 0.106 μ | | -87.303 | 0+ | 8 μ 2.5 μ |
| | 131 | 12.0 d | EC | -86.726 | 1/2+ | |
| | 131m | 14.6 m | IT | -86.538 | 9/2- | |

TABLE OF NUCLIDES

| Z | Nuclide El A | Abundance or $t_{1/2}$ | Decay Mode | $\Delta(\text{MeV})$ | $J\pi$ | $\sigma_n(b)$ |
|----|-----------------|---------------------------|-----------------------------|----------------------|---------|--|
| 56 | Ba 132 | 0.101% | | -88.453 | 0+ | $7^{+}_{\frac{1}{2}}$ $0.6^{+}_{-0.2}$ |
| | 133 | 10.7 y | EC | -87.569 | 1/2+ | |
| | 133m | 38.9 h | IT 99+%, EC 0.011% | -87.281 | 11/2- | |
| | 134 | 2.42% | | -88.968 | 0+ | $0.16^{+0.04}_{-0.02}$ $5^{+}_{\frac{1}{2}}$ $0.014^{+0.003}_{-0.002}$ |
| | 135 | 6.59% | | -87.870 | 3/2+ | |
| | 135m | 28.7 h | IT | -87.602 | 11/2- | |
| | 136 | 7.85% | | -88.906 | 0+ | $0.011^{+0.003}_{-0.002}$ |
| | 136m | 0.31 s | IT | -86.876 | 7- | |
| | 137 | 11.2% | | -87.733 | 3/2+ | |
| | 137m | 2.551 m | IT | -87.071 | 11/2- | |
| | 138 | 71.7% | | -88.273 | 0+ | $0.4^{+0.1}_{-0.1}$ |
| | 139 | 82.9 m | β^{-} | -84.925 | (7/2)- | |
| | 140 | 12.79 d | β^{-} | -83.285 | 0+ | $6^{+}_{\frac{1}{2}}$ 1.6 |
| | 141 | 18.2 m | β^{-} | -79.98 | | |
| | 142 | 10.6 m | β^{-} | -77.82 | 0+ | |
| | 143 | 13.5 s | β^{-} | -74.01 s | | |
| | 144 | 11.9 s | β^{-} | -72.03 s | 0+ | |
| | 145 | 5 s | β^{-} | -67.82 s | | |
| | 146 | 1.7 s | β^{-} | -65.56 s | 0+ | |
| | 148 | 0.5 s | β^{-} | | 0+ | |
| 57 | La 125 | <1 m? | ? | | | |
| | 126 | 1.0 m | β^{+} +EC | | | |
| | 127 | 3.8 m | β^{+} +EC | -77.78 s | | |
| | 128 | 4.6 m | β^{+} +EC | -78.68 s | | |
| | 129 | 1.0 m | β^{+} +EC | -81.05 s | (3/2+) | |
| | 129m | 0.56 s | IT | -80.88 s | (11/2-) | |
| | 130 | 8.7 m | β^{+} , EC | -81.69 s | (3+) | |
| | 131 | 61 m | EC 76%, β^{+} 24% | -83.77 | 3/2+ | |
| | 132 | 4.8 h | β^{+} , EC | -83.74 | 2- | |
| | 132m | 24.3 m | IT 76%, EC+ β^{+} 24% | -83.55 | 6- | |
| | 133 | 3.91 h | EC, β^{+} | -85.57 s | 5/2+ | |
| | 134 | 6.67 m | β^{+} 62%, EC 38% | -85.268 | 1+ | |
| | 135 | 19.4 h | EC 99+%, β^{+} 0.009% | -86.670 | 5/2+ | |
| | 136 | 9.87 m | EC 64%, β^{+} 36% | -86.04 | 1+ | |
| | 137 | 6×10^4 y | EC, no γ | -87.13 s | 7/2+ | |
| | 138 | 0.008% | EC 68%, β^{+} 32% | -86.524 | 5+ | 57 |
| | | 1.1×10^{11} y | | | | |
| | 139 | 99.911% | | -87.231 | 7/2+ | 9.2 |
| | 140 | 40.3 h | β^{-} | -84.320 | 3- | 2.7% |
| | 141 | 3.90 h | β^{-} | -83.008 | | |
| | 142 | 9.3 m | β^{-} | -80.018 | 2- | |
| | 143 | 14.0 m | β^{-} | -78.31 | | |
| | 144 | 40 s | β^{-} | -74.93 s | | |
| | 145 | 30 s | β^{-} | -72.92 s | | |
| | 146 | 11 s | β^{-} | -69.46 s | | |
| | 148 | 1.3 s | β^{-} | -63.99 s | | |
| 58 | Ce 128 | ~6 m | [EC+ β^{+}] | | 0+ | |
| | 129 | 3.5 m | β^{+} +EC | | | |
| | 130 | 25 m | EC+ β^{+} | | 0+ | |
| | 131 | 5 m | EC+ β^{+} | -79.47 s | | |
| | 131 | 10 m | EC 89%, β^{+} 11% | -79.47 s | | |
| | 132 | 3.5 h | EC | -82.34 s | 0+ | |
| | 133 | 97 m | EC+ β^{+} | -82.17 s | 1/2(+) | |
| | 133 | 5.4 h | EC, β^{+} | -82.17 s | 9/2- | |
| | 134 | 76 h | EC | -84.77 s | 0+ | |
| | 135 | 17.8 h | EC 99%, β^{+} 1% | -84.55 | 1/2(+) | |
| | 136m | 20 s | IT | -84.10 | (11/2-) | |
| | 136 | 0.190% | | -86.50 | 0+ | $6^{+}_{\frac{1}{2}}$ $1.0^{+0.2}_{-0.1}$ |
| | 137 | 9.0 h | EC 99+%, β^{+} 0.014% | -85.91 s | 3/2+ | |

TABLE OF NUCLIDES

| Z | Nuclide El | A | Abundance or $t_{1/2}$ | Decay Mode | Δ (MeV) | J π | $\sigma_n(b)$ |
|----|---------------|------|----------------------------|--|----------------|---------|---|
| 58 | Ce | 137m | 34.4 h | IT 99.2%, EC 0.8% | -85.66 s | 11/2- | |
| | | 138 | 0.2548 | | -87.565 | 0+ | 1.3 [±] 0.015 [±] _m |
| | | 139 | 137.2 d | EC | -86.966 | 3/2+ | |
| | | 139m | 56 s | IT | -86.212 | 11/2- | |
| | | 140 | 0.58 | | -88.081 | 0+ | 0.56 [±] 29 [±] |
| | | 141 | 32.5 d | β^- | -85.438 | 7/2- | 0.95 6 [±] 10 |
| | | 142 | 11.18 | | -84.535 | 0+ | |
| | | 143 | 33.0 h | β^- | -81.610 | 5/2- | |
| | | 144 | 284 d | β^- | -80.431 | 0+ | |
| | | 145 | 3.0 m | β^- | -77.12 | | |
| | | 146 | 14 m | β^- | -75.76 | 0+ | |
| | | 147 | 56 s | β^- | -72.24 s | | |
| | | 148 | 48 s | β^- | -70.81 s | 0+ | |
| | | 149 | 5.0 s | β^- | -67.47 s | | |
| | | 150 | 4 s | β^- | -65.3 s | 0+ | |
| | | 151 | 1.0 s | β^- | -62.68 s | | |
| 59 | Pr | 121 | 1 s | $[\beta^+ + EC]_{\gamma}, (\beta^+ + EC)p$ | | | |
| | | 129 | 24 s | $\beta^+ + EC$ | | | |
| | | 130 | 28 s | $\beta^+ + EC$ | | | |
| | | 132 | 1.6 m | $\beta^+ + EC$ | -75.34 s | | |
| | | 133 | 6.5 m | $\beta^+ + EC$ | -77.97 s | 5/2(+) | |
| | | 134 | 17 m | $\beta^+ + EC$ | -78.47 s | 2+ | |
| | | 134 | ≈ 11 m | $\beta^+ + EC$ | -78.47 s | | |
| | | 135 | 25 m | EC $\approx 75\%$, $\beta^+ \approx 25\%$ | -80.99 | 3/2(+) | |
| | | 136 | 13.1 m | $\beta^+ + EC$ | -81.40 | 2+ | |
| | | 137 | 1.28 h | EC 75%, $\beta^+ 25\%$ | -83.21 s | 5/2+ | |
| | | 138 | 1.4 m | $\beta^+ + EC$ | -83.128 | 1+ | |
| | | 138m | 2.1 h | EC 77%, $\beta^+ 23\%$ | -82.765 | 7- | |
| | | 139 | 4.4 h | EC 92%, $\beta^+ 8\%$ | -84.854 | 5/2+ | |
| | | 139 | ≈ 6 m ² | ? | | | |
| | | 140 | 3.39 m | EC 51%, $\beta^+ 49\%$ | -84.693 | 1+ | |
| | | 141 | 1028 | | -86.018 | 5/2+ | 8 _g 3.9 _m |
| | | 142 | 19.2 h | $\beta^- 99\%$, EC 0.015% | -83.790 | 2- | 20 [±] |
| | | 142m | 14.6 m | IT | -83.706 | 5- | |
| | | 142 | 1.6 m ² | ? | | | |
| | | 143 | 13.58 d | β^- | -83.065 | 7/2+ | 90 _{g,m} |
| | | 144 | 17.3 m | β^- | -80.750 | 0- | |
| | | 144m | 7.2 m | IT 99.96%, $\beta^- 0.04\%$ | -80.691 | 3- | |
| | | 145 | 5.98 h | β^- | -79.625 | (7/2+) | |
| | | 146 | 24.0 m | β^- | -76.84 | (1,2-) | |
| | | 147 | 13 m | β^- | -75.44 | | |
| | | 148 | 2.30 m | β^- | -72.61 | (3) | |
| | | 149 | 2.3 m | β^- | -71.57 | (5/2+) | |
| | | 150 | 6.2 s | β^- | -68.0 | | |
| | | 150 | 30 s ² | β^- | | | |
| | | 151 | 4 s | β^- | -67.44 s | | |
| 60 | Nd | 129 | 6 s | $[\beta^+ + EC]_{\gamma}, (\beta^+ + EC)p$ | | | |
| | | 130 | 28 s | $\beta^+ + EC$ | | 0+ | |
| | | 132 | 1.8 m | $\beta^+ + EC$ | | 0+ | |
| | | 133 | 1.2 m | $\beta^+ + EC$ | | | |
| | | 134 | 8 m | EC + β^+ | | 0+ | |
| | | 135 | 12 m | $\beta^+ + EC$ | -76.29 s | 9/2(-) | |
| | | 135 | 5.5 m | $[\beta^+ + EC]$ | -76.29 s | | |
| | | 136 | 50.6 m | EC 94%, $\beta^+ 6\%$ | -79.19 | 0+ | |
| | | 137 | 36 m | $\beta^+ + EC$ | -79.41 s | 1/2+ | |
| | | 137m | 1.6 s | IT | -78.89 s | 11/2- | |
| | | 137 | ≈ 22 m | ? | | | |
| | | 138 | 5.1 h | EC | -82.03 s | 0+ | |
| | | 138 | 30 m | EC 74.4%, $\beta^+ 25.6\%$ | -82.05 | 3/2+ | |
| | | 138m | 5.5 h | EC 87%, $\beta^+ 11\%$ | -81.82 | 11/2- | |
| | | 138m | 5.5 h | IT 12% | | | |
| | | 140 | 3.37 d | EC, no γ | -84.22 | 0+ | |
| | | 141 | 2.5 h | EC 97.3%, $\beta^+ 2.7\%$ | -84.203 | 3/2+ | |
| | | 141m | 61 s | IT 99.97%, EC + $\beta^+ 0.03\%$ | -83.446 | 11/2- | |

TABLE OF NUCLIDES

| Z | El | A | Abundance or $t_{1/2}$ | Decay Mode | Δ (MeV) | J^π | $\sigma_n(b)$ |
|----|----|------|--|--|----------------|---------|------------------------------------|
| 80 | Nd | 142 | 27.2% | | -85.949 | 0+ | 19 ^{rn} |
| | | 143 | 12.2% | | -84.000 | 7/2- | 320 |
| | | 144 | 2.1 $\times 10^{15}$ y | α | -83.746 | 0+ | 4 ^{rn} |
| | | 145 | 0.3% | | -81.430 | 7/2- | 41 |
| | | 146 | 17.2% | | -80.923 | 0+ | 1.3 |
| | | 147 | 11.0 d | β^- | -78.144 | 5/2- | 440 ^{rn} |
| | | 148 | 5.7% | | -77.407 | 0+ | 2.5 |
| | | 149 | 1.73 h | β^- | -74.374 | 5/2- | |
| | | 150 | 5.6% | | -73.682 | 0+ | 1.2 |
| | | 151 | 12.4 m | β^- | -70.945 | (3/2+) | |
| | | 152 | 11.4 m | β^- | -70.146 | 0+ | |
| | | 154 | 40 s | β^- | | 0+ | |
| 81 | Pm | 132 | 4 s | β^+ +EC | | | |
| | | 133 | 12 s | β^+ +EC | | | |
| | | 134 | 24 s | β^+ +EC | | | |
| | | 135 | 0.9 m | β^+ +EC | | (11/2-) | |
| | | 136 | 107 s | β^+ +EC | -71.36 s | (5+) | |
| | | 137 | 2.4 m | β^+ +EC | -74.21 s | (11/2-) | |
| | | 138 | 3.5 m | β^+ +EC | -75.03 s | (3+) | |
| | | 139 | 4.15 m | β^+ +EC | -77.60 | (5/2)+ | |
| | | 140 | 9.2 s | β^+ +EC | -78.18 | 1+ | |
| | | 140m | 5.9 m | EC 58%, β^+ 42% | -77.78 | (7-) | |
| | | 141 | 20.9 m | β^+ 57%, EC 43% | -80.47 | 5/2+ | |
| | | 142 | 40.5 s | β^+ 69%, EC 31% | -81.06 | 1+ | |
| | | 143 | 265 d | EC | -82.959 | 5/2+ | |
| | | 144 | 349 d | EC | -81.416 | 5- | |
| | | 145 | 17.7 y | EC 99+%, α 2.8 $\times 10^{-7}$ % | -81.270 | 5/2+ | |
| | | 146 | 5.5 y | EC 63%, β^- 37% | -79.442 | 3- | 8 $\times 10^{13}$ s |
| | | 147 | 2.6234 y | β^- | -79.040 | 7/2+ | 97 ^g 85 ^m |
| | | 148 | 5.37 d | β^- | -76.870 | 1- | <3 $\times 10^{13}$ s |
| | | 148m | 41.3 d | β^- 95%, IT 5% | -76.733 | 6- | 1.06 $\times 10^4$ |
| | | 149 | 53.1 h | β^- | -76.063 | 7/2+ | 1.4 $\times 10^{13}$ s |
| | | 150 | 2.68 h | β^- | -73.55 | (1-) | |
| | | 151 | 28.4 h | β^- | -73.386 | 5/2+ | <700 ^{rn} |
| | | 152 | 4.1 m | β^- | -71.29 | (1+) | |
| | | 152 | 7.5 m | β^- | | (4) | |
| | | 152 | 15 m | β^- | | (26) | |
| | | 153 | 5.4 m | β^- | -70.76 | (5/2-) | |
| | | 154 | 1.7 m | β^- | -68.45 | (0,1) | |
| | | 154 | 2.7 m | β^- | | (3,4) | |
| 82 | Sm | 133 | 32.0 s | β^+ +EC, (β^+ +EC)p | | | |
| | | 134 | 12 s | β^+ +EC | | 0+ | |
| | | 136 | 10 s | β^+ +EC, (β^+ +EC)p | | | |
| | | 137 | 44 s | β^+ +EC | | | |
| | | 138 | 3.0 m | β^+ +EC | | 0+ | |
| | | 139 | 2.5 m | β^+ +EC | -72.40 | | |
| | | 139m | 10 s | IT 93.7%, β^+ +EC 6.3% | -71.94 | (11/2)- | |
| | | 140 | 14.8 m | EC, β^+ | -75.48 s | 0+ | |
| | | 141 | 10.2 m | EC 53%, β^+ 47% | -75.91 | 1/2+ | |
| | | 141m | 22.5 m | (β^+ , EC) 99.69%, IT 0.31% | -75.73 | 11/2- | |
| | | 142 | 72.49 m | EC 90%, β^+ 10% | -78.978 | 0+ | |
| | | 143 | 8.03 m | EC 54%, β^+ 46% | -79.511 | 3/2+ | |
| | | 143m | 66 s | IT 99.80%, β^+ +EC 0.20% | -78.757 | 11/2- | |
| | | 144 | 1.1% | | -81.964 | 0+ | 0.7 ^{rn} |
| | | 145 | 340 d | EC | -80.656 | 7/2- | 110 ^{rn} |
| 83 | Bi | 146 | <2 $\times 10^{-12}$ % 1.03 $\times 10^8$ y | α | -80.984 | 0+ | |
| | | 147 | 15.1% | α | -79.265 | 7/2- | 60 |
| | | 148 | 11.1% | α | -79.335 | 0+ | 4.7 |
| | | 149 | 8 $\times 10^{15}$ y | α | -77.135 | 7/2- | 4.2 $\times 10^4$ |
| | | 150 | 1.1% | α | -77.049 | 0+ | 104 |

TABLE OF NUCLIDES

| Z | Nuclide El A | Abundance or $t_{1/2}$ | Decay Mode | Δ (MeV) | J^π | $\sigma_n(b)$ |
|----|-------------------|------------------------------|--|----------------|---------------|---|
| 62 | Sm 151 | 90 y | β^- | -74.574 | 5/2- | 1.5×10^{-4} m |
| | 152 | 26.6% ^a | | -74.761 | 0+ | 204 |
| | 153 | 46.8 h | β^- | -72.557 | 3/2+ | |
| | 154 | 27.6% ^a | | -72.454 | 0+ | 5 |
| | 155 | 22.4 m | β^- | -70.196 | 3/2- | |
| | 156 | 9.4 h | β^- | -69.368 | 0+ | |
| | 157 | 8.0 m | β^- | -66.86 | | |
| 63 | Eu 130 | 1.5 s | β^+ | | | |
| | 130 | 35 s | β^+ | | | |
| | 130 | 22 s | β^+ +EC | | | |
| | 140 | 1.3 s | β^+ , EC | | | |
| | 140 | 420 s | β^+ +EC | | | |
| | 141 | 40 s | β^+ , EC | -69.88 | (5/2+) | |
| | 141m | 3.3 s | β^+ +EC 67%, IT 33% | -69.78 | (11/2-) | |
| | 142 | 2.4 s | β^+ , EC | -71.48 s | 1+ | |
| | 142 | 1.22 m | β^+ , EC | -71.48 s | (7-) | |
| | 143 | 2.61 m | β^+ \approx 72%, EC \approx 28% | -74.41 | (5/2)+ | |
| | 144 | 10.2 s | β^+ \approx 80%, EC \approx 20% | -75.636 | 1+ | |
| | 145 | 5.93 d | EC 98%, β^+ 2% | -77.936 | 5/2+ | |
| | 146 | 4.62 d | EC 96.1%, β^+ 3.9% | -77.111 | 4- | |
| | 146 | 38 h ^a | ? | | | |
| | 147 | 22 d | EC 99.5%, β^+ 0.5%, α 0.002% | -77.535 | 5/2+ | |
| | 148 | 54 d | EC 99.8%, β^+ 0.2%, α 9×10^{-7} % | -76.235 | 5- | |
| | 149 | 93.1 d | EC | -76.439 | 5/2+ | |
| | 150 | 36 y | EC | | (4,5-) | |
| | 150 | 12.6 h | β^- 89%, EC 10.6%, β^+ \approx 0.6% | -74.756 | 0(-) | |
| | 151 | 47.9% ^a | | -74.650 | 5/2+ | 5.8×10^3 g 3.2×10^3 m 4 m |
| | 152 | 13 y | EC 73.0%, β^+ 0.019%, β^- 27.0% | -72.884 | 3- | |
| | 152m ₁ | 9.3 h | β^+ 76%, EC 24%, β^+ 0.011% | -72.836 | 0- | < 3 m |
| | 152m ₂ | 96 m | IT | -72.736 | 8- | |
| | 153 | 52.7% ^a | | -73.363 | 5/2+ | 380 g |
| | 154 | 8.5 y | β^- 99.98%, EC 0.02% | -71.726 | 3- | |
| | 154m | 46 m | IT | -71.57 | (8-) | |
| | 155 | 4.9 y | β^- | -71.825 | 5/2+ | 4.0×10^3 |
| | 156 | 15 d | β^- | -70.083 | 0+ | |
| | 157 | 15.13 h | β^- | -69.465 | (5/2+) | |
| | 158 | 45.9 m | β^- | -67.24 | (1-) | |
| | 159 | 18.1 m | β^- | -65.93 | (5/2+) | |
| | 160 | 0.8 m | β^- | -63.54 s | (0-) | |
| | 160 | \approx 2.5 m ^a | β^- | | | |
| 64 | Gd 143 | 1.83 m | β^+ +EC | -68.51 s | (11/2, 13/2-) | |
| | 143 | 39 s ^a | ? | | | |
| | 144 | 4.5 m | β^+ +EC | -71.94 s | 0+ | |
| | 145 | 22 m | β^+ , EC | -72.94 s | 1/2+ | |
| | 145m | 85 s | IT 95.3%, β^+ +EC 4.7% | -72.18 s | 11/2- | |
| | 146 | 48.3 d | EC 99.93%, β^+ 0.07% | -75.361 | 0+ | |
| | 146 | 7 h ^a | α , EC | | | |
| | 147 | 38.1 h | EC 99.74%, β^+ 0.26% | -75.207 | 7/2- | |
| | 148 | 98 y | α | -76.260 | 0+ | |
| | 149 | 9.3 d | EC 99+%, α 5×10^{-6} % | -75.131 | 7/2- | |
| | 150 | 1.8×10^4 y | α | -75.765 | 0+ | |
| | 151 | 120 d | EC 99+%, α $\approx 8 \times 10^{-7}$ % | -74.168 | 7/2- | |
| | 152 | 0.20% ^a | | | | |
| | 152 | 1.1×10^{14} y | α | -74.703 | 0+ | 1.1×10^3 |
| | 153 | 241.6 d | EC | -73.119 | 3/2- | |
| | 154 | 2.7% ^a | | -73.704 | 0+ | 90 |
| | 155 | 14.8% ^a | | -72.071 | 3/2- | 6.1×10^4 |
| | 156 | 20.6% ^a | | -72.536 | 0+ | 2 |
| | 157 | 15.7% ^a | | -70.825 | 3/2- | 2.55×10^3 |
| | 158 | 24.8% ^a | | -70.691 | 0+ | 2.4 |
| | 159 | 18.6 h | β^- | -68.562 | 3/2- | |

TABLE OF NUCLIDES

| Z | El | Nuclide A | Abundance or $t_{1/2}$ | Decay Mode | A(MeV) | $J\pi$ | $\sigma_a(b)$ |
|----|----|-------------------|---------------------------|--|----------|-------------|--|
| 64 | Cd | 160 | 21.8% | | -67.943 | 0+ | 0.77 |
| | | 161 | 3.7 m | β^- | -65.507 | 5/2- | 4×10^{14} |
| | | 162 | 9 m | β^- | -64.36 | 0+ | |
| 65 | Tb | 146 | 23 s | $\beta^+ + EC$ | -67.26 s | (4-) | |
| | | 147 | 1.6 h | EC 95%, β^+ 5% | -70.51 s | 5/2+ | |
| | | 147 | 1.9 m | EC, β^+ | -70.51 s | 11/2- | |
| | | 148 | 2.2 m | EC + β^+ | | (9+) | |
| | | 148 | 60 m | EC 80%, β^+ 20% | -70.64 | 2- | |
| | | 149 | 4.15 h | EC 79%, β^+ 4.0%, α 17% | -71.434 | (3/2, 5/2+) | |
| | | 149m | 4.2 m | (EC, β^+) 99+%, α 0.020% | -71.394 | (11/2-) | |
| | | 150 | 3.3 h | EC 90%, β^+ 10%, α 50.05% | -71.098 | (2)- | |
| | | 150 | 6.0 m | EC + β^+ | | (8, 9+) | |
| | | 151 | 17.6 h | EC 99%, β^+ 1%, α 0.009% | -71.608 | 1/2(+) | |
| | | 152 | 17.5 h | EC 87%, β^+ 13% | -70.853 | 2- | |
| | | 152m | 4.2 m | IT 78%, EC 22% | -70.351 | (8+) | |
| | | 153 | 2.30 d | EC 99+%, β^+ 0.04% | -71.329 | 5/2+ | |
| | | 154 | 21 h | EC 98%, β^+ 2% | -70.24 | 0(+) | |
| | | 154m ₁ | 9 h | EC + β^+ 78%, IT 22% | | 3(-) | |
| | | 154m ₂ | 23 h | EC 98%, IT 2% | | (7, 8-) | |
| | | 155 | 5.3 d | EC | -71.256 | 3/2+ | |
| | | 156 | 5.3 d | EC | -70.098 | 3- | |
| | | 156m | 5.0 h | IT, EC, β^+ 0.02%, β^+ (weak) | -70.010 | (0)+ | |
| | | 156 | 24 h | IT | | | |
| | | 157 | 150 y | EC | -70.767 | 3/2+ | |
| | | 158 | 150 y | EC 82%, β^+ 18% | -69.475 | 3- | |
| | | 158m | 10.5 s | IT | -69.365 | 0- | |
| | | 159 | 100% | | -69.536 | 3/2+ | 23 |
| | | 160 | 72.1 d | β^- | -67.840 | 3- | 500 ^m |
| | | 161 | 6.90 d | β^- | -67.466 | 3/2+ | |
| | | 162 | 7.7 m | β^- | -65.76 | (1)- | |
| | | 163 | 19.5 m | β^- | -64.68 | 3/2+ | |
| | | 164 | 3.0 m | β^- | -62.11 | (5+) | |
| 66 | Dy | 147m | 59 s | IT, EC ^o | -63.46 s | | |
| | | 148 | 3.1 m | EC + β^+ | -67.77 s | 0+ | |
| | | 149 | 4.1 m | $\beta^+ + EC$ | -67.53 s | (7/2-) | |
| | | 150 | 7.17 m | (EC, β^+) 69%, α 31% | -69.14 s | 0+ | |
| | | 151 | 17 m | EC + β^+ 94%, α 6% | -68.601 | 7/2- | |
| | | 152 | 2.37 h | EC 99.91%, α 0.09% | -70.116 | 0+ | |
| | | 153 | 6.3 h | (EC, β^+) 99+%, α 0.010% | -69.155 | 7/2(-) | |
| | | 154 | $\approx 1 \times 10^7$ y | α | -70.392 | 0+ | |
| | | 155 | 10.0 h | EC 97%, β^+ 3% | -69.157 | 3/2- | |
| | | 156 | 0.057% | | -70.527 | 0+ | 33 ^m |
| | | 157 | 8.1 h | EC | -69.425 | 3/2- | |
| | | 158 | 0.100% | | -70.410 | 0+ | 70 ^m |
| | | 159 | 144.4 d | EC | -69.171 | 3/2- | |
| | | 160 | 2.3% | | -69.674 | 0+ | 60 |
| | | 161 | 15.0% | | -68.056 | 5/2+ | 570 |
| | | 162 | 25.5% | | -68.181 | 0+ | 160 |
| | | 163 | 24.9% | | -66.382 | 5/2- | 130 |
| | | 164 | 26.1% | | -65.967 | 0+ | 1.8×10^{13} m 900 ^g |
| | | 165 | 2.33 h | β^- | -63.611 | 7/2+ | 4.0×10^{13} m |
| | | 165m | 1.26 m | IT 97.8%, β^- 2.2% | -63.503 | 1/2- | 2.1×10^{13} m |
| | | 166 | 81.5 h | β^- | -62.583 | 0+ | |
| | | 167 | 6.2 m | β^- | -59.97 | (1/2-) | |
| 67 | Ho | 150 | 40 s | $\beta^+ + EC$ | -62.04 s | (8, 9+) | |
| | | 151 | 47 s | $\beta^+ + EC$ 90%, α 10% | -63.44 s | | |
| | | 151 | 35.6 s | $\beta^+ + EC$ 80%, α 20% | -63.44 s | | |
| | | 152 | 52 s | $\beta^+ + EC$ 94%, α 6% | | (9+) | |
| | | 152 | 2.4 m | $\beta^+ + EC$ 98.3%, α 1.7% | -63.71 | (3+) | |

TABLE OF NUCLIDES

| Z | Nuclide El A | Abundance or $t_{1/2}$ | Decay Mode | Δ (MeV) | J π | σ_n (b) |
|----|----------------------|---------------------------|---|----------------|---------|---------------------------------------|
| 87 | Ho 153 | 2.0 m | EC+ β^+ 99.96%, α 0.04% | | | |
| | 153 | 9.3 m | EC+ β^+ 99.9%, α 0.1% | -64.954 | | |
| | 153 | 27 m ^o | α | | | |
| | 154 | 12 m | β^+ +EC 99+%, α 0.017% | -64.635 | 1 | |
| | 154 | 3.2 m | EC+ β^+ 99+%, α <0.002% | | | |
| | 155 | 49 m | EC, β^+ , α | -66.055 | 5/2 | |
| | 156 | 56 m | β^+ +EC, IT | | 1 | |
| | 156 | 2 m | β^+ +EC | -65.43 s | (5+) | |
| | 156 | 7.4 m ^o | β^+ +EC | | | |
| | 157 | 12.6 m | β^+ , EC | -66.89 | 7/2- | |
| | 158 | 11.5 m | EC, β^+ | -66.433 | 5+ | |
| | 158m ₁ | 27 m | IT 65%, EC+ β^+ 35% | -66.366 | 2- | |
| | 158(m ₂) | 21 m | EC+ β^+ | | (9+) | |
| | 159 | 33 m | EC | -67.318 | 7/2- | |
| | 159m | 8.3 s | IT | -67.112 | 1/2+ | |
| | 160 | 25.6 m | EC 99+%, β^+ \approx 0.4% | -66.388 | 5+ | |
| | 160m | 5.02 h | IT 65%, (EC, β^+) 35% | -66.328 | 2- | |
| | 160 | 3 s | ? | | 1+ | |
| | 160 | 7 m | ? | | (9+) | |
| | 160 | \approx 1 h | ? | | | |
| | 161 | 2.46 h | EC | -67.203 | 7/2- | |
| | 161m | 6.7 s | IT | -66.992 | 1/2+ | |
| | 162 | 15 m | EC 95%, β^+ 5% | -66.047 | 1+ | |
| | 162m | 68 m | IT 61%, EC+ β^+ 39% | -66.94 | 6- | |
| | 163 | \approx 33 y | EC, no γ | -66.379 | 7/2- | |
| | 163m | 1.09 s | IT | -66.081 | 1/2+ | |
| | 164 | 29.0 m | EC 58%, β^+ 42% | -64.937 | 1+ | |
| | 164m | 37 m | IT | -64.797 | 6(-) | |
| | 165 | 100% | | -64.896 | 7/2- | 62 s J π |
| | 166 | 26.80 h | β^+ | -63.067 | 0- | |
| | 166m | 1.2×10^3 y | β^+ | -63.062 | (7-) | |
| | 167 | 3.1 h | β^+ | -62.316 | (7/2-) | |
| | 168 | 3.0 m | β^+ | -60.27 | 3+ | |
| | 168 | 4.6 m | β^+ | -58.793 | (7/2-) | |
| | 170 | 43 s | β^+ | -56.10 | | |
| | 170 | 2.8 m | β^+ | -56.09 | | |
| 88 | Er 151 | 23 s | β^+ +EC | -58.20 s | | |
| | 152 | 10 s | α \approx 90%, EC+ β^+ \approx 10% | -60.41 s | 0+ | |
| | 153 | 36 s | EC+ β^+ \approx 62%, α \approx 38% | -60.31 s | | |
| | 154 | 3.8 m | EC+ β^+ 99.5%, α 0.5% | -62.44 s | 0+ | |
| | 155 | 5 m | EC+ β^+ 99+%, α \approx 0.02% | -62.057 | | |
| | 156 | 20 m | EC+ β^+ | -63.93 s | 0+ | |
| | 157 | 24 m | β^+ , EC | -63.09 s | 3/2- | |
| | 158 | 2.4 h | EC, β^+ | -65.03 s | 0+ | |
| | 159 | 36 m | EC, β^+ | -64.39 | 3/2- | |
| | 160 | 28.6 h | EC, no γ | -66.052 | 0+ | |
| | 161 | 3.24 h | EC 99.96%, β^+ 0.04% | -65.197 | 3/2- | |
| | 162 | 0.14% | | -66.335 | 0+ | 19 |
| | 163 | 75.1 m | EC 99+%, β^+ 0.004% | -65.168 | 5/2- | |
| | 164 | 1.56% | | -65.940 | 0+ | 13 |
| | 166 | 10.4 h | EC, no γ | -64.518 | 5/2- | |
| | 168 | 33.4% | | -64.921 | 0+ | 15 s ^a 5 s ^b |
| | 167 | 22.9% | | -63.286 | 7/2+ | 650 ^a |
| | 167m | 2.26 s | IT | -63.078 | 1/2- | |
| | 168 | 27.1% | | -62.985 | 0+ | 2.0 |
| | 169 | 9.40 d | β^+ | -60.917 | 1/2- | |
| | 170 | 14.9% | | -60.104 | 0+ | 5.7 |
| | 171 | 7.52 h | β^+ | -57.714 | 5/2- | 300 ^a |
| | 172 | 49.5 h | β^+ | -56.491 | 0+ | |
| | 173 | 1.4 m | β^+ | -53.73 | (7/2-) | |
| | 173 | 12 m | β^+ | | | |
| 89 | Tm 163 | 1.6 s | α | -53.87 s | | |
| | 164 | 5 s | α | -54.53 s | | |
| | 164 | 3.0 s | α | -54.53 s | | |

TABLE OF NUCLIDES

| Z | El | A | Abundance or $t_{1/2}$ | Decay Mode | $\Delta(\text{MeV})$ | J^π | $\sigma_n(b)$ |
|----|----|-------------------|---------------------------|--|----------------------|---------|---------------|
| 69 | Tm | 156 | 39 s | α | -56.45 s | | |
| | | 156 | 80 s | $\alpha, \beta^+ + \text{EC}$ | -56.94 s | | |
| | | 156 | 19 s | α | -56.94 s | | |
| | | 157 | 3.6 m | $\text{EC} + \beta^+$ | -58.49 s | | |
| | | 158 | 4.0 m | $\beta^+ + \text{EC}$ | -58.43 s | | |
| | | 159 | 9.0 m | EC, β^+ | -60.19 s | 5/2(+) | |
| | | 160 | 9.2 m | $\text{EC } 85\%, \beta^+ 15\%$ | -60.13 | 1- | |
| | | 161 | 30 m | EC, β^+ | -61.68 s | 7/2(+) | |
| | | 161 | 7 m? | γ | | | |
| | | 162 | 22 m | $\text{EC } 93\%, \beta^+ 7\%$ | -61.54 | 1- | |
| | | 162m | 24 s | IT 90%, $\text{EC} + \beta^+ 10\%$ | | (5+) | |
| | | 163 | 1.8 h | $\text{EC } 99.8\%, \beta^+ 0.2\%$ | -62.99 | 1/2+ | |
| | | 163m | 11 m | IT ² , EC^2 | | | |
| | | 164 | 2.0 m | $\text{EC } 61\%, \beta^+ 39\%$ | -61.976 | 1+ | |
| | | 164m | 5.1 m | IT $\approx 80\%$, $\text{EC} + \beta^+ \approx 20\%$ | | 6(-) | |
| | | 165 | 30.06 h | $\text{EC } 99 + \%, \beta^+ 0.007\%$ | -62.924 | 1/2+ | |
| | | 166 | 7.7 h | $\text{EC } 98\%, \beta^+ 2\%$ | -61.874 | 2+ | |
| | | 167 | 9.25 d | EC | -62.537 | 1/2+ | |
| | | 168 | 93.1 d | $\text{EC } \approx 98\%, \beta^+ \approx 2\%$ | -61.306 | 3(+) | |
| | | 169 | 100% | | -61.269 | 1/2+ | |
| | | 170 | 126.6 d | $\beta^- 99 + \%, \text{EC } 0.144\%$ | -59.791 | 1- | |
| | | 171 | 1.92 y | β^- | -59.205 | 1/2+ | |
| | | 172 | 63.6 h | β^- | -57.380 | 2- | |
| | | 173 | 8.2 h | β^- | -56.226 | (1/2+;) | |
| | | 174 | 5.4 m | β^- | -53.85 | (4-) | |
| | | 175 | 15 m | β^- | -52.29 | (1/2+) | |
| | | 176 | 1.9 m | β^- | -49.59 s | (4+) | |
| | | 176 | 1.5 m? | β^- | | | |
| 70 | Yb | 154 | 0.39 s | α | -50.05 s | 0+ | |
| | | 155 | 1.6 s | α | -50.45 s | | |
| | | 156 | 24 s | α | -53.06 s | 0+ | |
| | | 157 | 34 s | α | -53.27 s | | |
| | | 158 | 1.1 m | $\text{EC} + \beta^+$ | -55.53 s | 0+ | |
| | | 160 | 4.8 m | $\text{EC} + \beta^+$ | -57.55 s | 0+ | |
| | | 161 | 4.2 m | $\beta^+ + \text{EC}$ | -57.40 s | | |
| | | 162 | 18.9 m | $\text{EC } \approx 98\%, \beta^+ \approx 2\%$ | -59.34 s | 0+ | |
| | | 163 | 11.0 m | $\text{EC} + \beta^+$ | -59.62 | (3/2-) | |
| | | 164 | 76 m | EC | -60.86 s | 0+ | |
| | | 165 | 10 m | EC, β^+ | -60.161 | (5/2)- | |
| | | 166 | 56.7 h | EC | -61.582 | 0+ | |
| | | 167 | 17.5 m | $\text{EC } 99.6\%, \beta^+ 0.4\%$ | -60.583 | 5/2- | |
| | | 168 | 0.135 s | | -61.565 | 0+ | |
| | | 169 | 32.0 d | EC | 60.361 | 7/2+ | |
| | | 169m | 46 s | IT | -80.337 | 1/2- | |
| | | 170 | 3.1 s | | -60.759 | 0+ | |
| | | 171 | 14.4 s | | -59.302 | 1/2- | |
| | | 172 | 21.5 s | | -59.250 | 0+ | |
| | | 173 | 16.2 s | | -57.546 | 5/2- | |
| | | 174 | 31.6 s | | -56.940 | 0+ | |
| | | 175 | 4.19 d | β^- | -54.691 | 7/2- | |
| | | 176 | 12.6 s | | -53.490 | 0+ | |
| | | 176m | 11.7 s | IT | -52.439 | (8-) | |
| | | 177 | 1.9 h | β^- | -50.986 | 9/2+ | |
| | | 177m | 6.4 s | IT | -50.655 | 1/2- | |
| | | 178 | 74 m | β^- | -49.66 | 0+ | |
| 71 | Lu | 155 | 0.07 s | α | -42.60 s | | |
| | | 156 | 0.23 s | α | -43.81 s | | |
| | | 156 | ≈ 0.5 s | α | -43.81 s | | |
| | | 162 | 1.4 m? | $\beta^+ + \text{EC}$ | -52.34 s | | |
| | | 164 | 5.17 m | $\beta^+ + \text{EC}$ | -54.58 s | | |
| | | 165 | 11.8 m | $\text{EC} + \beta^+$ | -56.16 s | 1/2 | |
| | | 166 | 2.6 m | EC, β^+ | -56.10 | (6-) | |
| | | 166m ₁ | 1.4 m | $\text{EC} + \beta^+ 58\%, \text{IT } 42\%$ | -56.07 | (3-) | |
| | | 166m ₂ | 2.1 m | $\text{EC} + \beta^+ > 80\%$ | -56.06 | (0-) | |
| | | 167 | 52 m | $\text{EC } 98.2\%, \beta^+ 1.8\%$ | -57.45 | 7/2+ | |
| | | 168 | 5.5 m | EC, β^+ | -57.10 | (6-) | |
| | | 168m | 6.7 m | $\text{EC } \approx 88\%, \beta^+ \approx 12\%$ | -56.88 | 3+ | |
| | | 169 | 34.1 h | $\text{EC } 99.3\%, \beta^+ 0.7\%$ | -57.881 | 7/2+ | |
| | | 169m | 2.7 m | IT | -57.852 | 1/2- | |

TABLE OF NUCLIDES

| Z | Nuclide El A | Abundance or $t_{1/2}$ | Decay Mode | Δ (MeV) | J^π | σ_n (b) |
|----|-------------------|---------------------------|---|----------------|----------|----------------------|
| 71 | Lu 170 | 2.02 d | EC, β^+ | -57.319 | 0+ | |
| | 170m | 0.7 s | IT | -57.226 | 4- | |
| | 171 | 8.25 d | EC 99+%, β^+ $\approx 0.005\%$ | -57.021 | 4- | |
| | 171m | 79 s | IT | -57.750 | 7/2+ | |
| | 172 | 6.70 d | EC | -56.726 | 1/2- | |
| | 172m | 5.7 m | IT | -56.684 | 4- | |
| | 173 | 1.37 y | EC | -56.871 | 1- | |
| | 174 | 3.3 y | EC 99+%, β^+ 0.025% | -55.562 | 7/2+ | |
| | 174m | 142 d | IT 99.3%, EC 0.7% | -55.391 | (1-) | |
| | 175 | 97.39% | | -55.159 | (6-) | |
| | 175 | | | | 7/2+ | 16 m |
| | 176 | 2.61% | β^- | -53.381 | 7- | 10 g |
| | 176m | 3.6 $\times 10^{10}$ y | β^- | | | 2.0 $\times 10^3$ g |
| | 177 | 3.68 h | β^- | -53.254 | 1- | 7 m |
| | 177m | 6.71 d | β^- | -52.382 | 7/2+ | |
| | 178 | 160.5 d | β^- 78%, IT 22% | -51.412 | 23/2- | |
| | 178m | 28.4 m | β^- | -50.30 | 1+ | |
| | 178m | 23 m | β^- | -50.00 | (9)- | |
| | 178 | 5 m? | β^- | | | |
| | 178 | 4.6 h | β^- | -49.11 | (7/2+) | |
| | 180 | 5.7 m | β^- | -46.68 | | |
| 72 | Hf 157 | 0.12 s | α | -38.96 s | | |
| | 158 | 3.0 s | α | -42.22 s | 0+ | |
| | 159 | 5.6 s | α | -42.80 s | | |
| | 160 | ≈ 12 s | α | -45.75 s | 0+ | |
| | 161 | 17 s | α | -46.13 s | | |
| | 166 | 6.8 m | EC+ β^+ | -53.46 s | 0+ | |
| | 167 | 2.05 m | EC, β^+ | -53.15 s | (5/2-) | |
| | 168 | 25.9 m | EC $\approx 98\%$, β^+ $\approx 2\%$ | -55.10 s | 0+ | |
| | 169 | 3.3 m | EC 86%, β^+ 14% | -54.53 | (5/2-) | |
| | 170 | 16.0 h | EC | -56.12 s | 0+ | |
| | 171 | 12.1 h | EC+ β^+ | -55.30 s | 7/2+ | |
| | 172 | 1.87 y | EC | -56.33 s | 0+ | |
| | 173 | 24.0 h | EC | -55.27 s | 1/2- | |
| | 174 | 0.16% | α | -55.830 | 0+ | 400 |
| | 175 | 2.0 $\times 10^{15}$ y | α | -54.548 | 5/2- | |
| | 176 | 70 d | EC | -54.567 | 0+ | |
| | 176 | 5.2% | | | | 30 g |
| | 177 | 18.6% | | -52.879 | 7/2- | 390 g |
| | 177 | | | | | 1.0 m |
| | 177m ₁ | 1.1 s | IT | -51.564 | 23/2+ | 2 $\times 10^{-7}$ g |
| | 177m ₂ | 51 m | IT | -50.139 | 37/2- | |
| 73 | 178 | 27.1% | | -52.434 | 0+ | 50 m |
| | 178m ₁ | 4.0 s | IT | -51.287 | 8- | 40 g |
| | 178m ₂ | 31 y | IT | -49.987 | 16+ | |
| | 179 | 13.7% | | -50.462 | 9/2+ | 50 g |
| | 179m ₁ | 18.7 s | IT | -50.087 | 1/2- | 0.4 m |
| | 179m ₂ | 25.1 d | IT | -49.356 | 25/2- | |
| | 180 | 35.2% | | -49.779 | 0+ | 14 |
| | 180m | 5.5 h | IT | -48.637 | 8- | |
| | 181 | 42.4 d | β^- | -47.403 | 1/2- | 30 g |
| | 182 | 9 $\times 10^8$ y | β^- | -45.99 | 0+ | |
| | 182m | 62 m | β^- 54%, IT 46% | -44.82 | (8-) | |
| | 183 | 64 m | β^- | -43.269 | (3/2-) | |
| | 184 | 4.12 h | β^- | -41.48 | 0+ | |
| | 186 | 32 s | β^+ +EC | -46.10 s | | |
| | 187 | 3 m | β^+ +EC | -47.95 s | | |
| | 188 | 2.4 m | β^+ +EC | -48.40 s | (2-, 3+) | |
| | 189 | 5 m | EC+ β^+ | -50.03 s | (3+) | |
| | 170 | 6.8 m | β^+ , EC | -50.12 s | | |
| | 171 | 24 m | EC+ β^+ | -51.60 s | | |
| | 171 | 2.0 m? | ? | | | |
| | 171 | 6.3 m? | ? | | | |

TABLE OF NUCLIDES

| Z | Nuclide El A | Abundance or $t_{1/2}$ | Decay Mode | Δ (MeV) | $J\pi$ | $\sigma_a(b)$ |
|----|-------------------|---------------------------|--|----------------|---------|--|
| 73 | Ta 172 | 37 m | EC $\approx 85\%$, β^+ $\approx 15\%$ | -51.41 s | (3-) | |
| | 173 | 3.6 h | EC, β^+ | -52.37 s | (5/2-) | |
| | 174 | 1.1 h | EC, β^+ | -51.98 | (3+) | |
| | 175 | 10.5 n | EC, β^+ | -52.35 s | 7/2+ | |
| | 176 | 0.1 h | EC 99.3%, β^+ 0.7% | -51.47 | (1-) | |
| | 177 | 56.6 h | EC 99+%, β^+ 2.9 $\times 10^{-4}\%$ | -51.721 | 7/2+ | |
| | 178 | 9.3 m | EC 98.9%, β^+ 1.1% | -50.52 | 1+ | |
| | 178 | 2.4 h | EC | | (7-) | |
| | 179 | 1.7 y | EC, no γ | -50.347 | (7/2+) | |
| | 180(g) | 2.0123 $\times 10^3$ y | | | (8+) | 700 |
| | 180(m) | 8.1 h | EC 87%, β^+ 13% | -48.914 | 1 | |
| | 181 | 99.9877% | | -48.425 | 7/2+ | $^{21}_{0.010^{+0.002}}_{8.2 \times 10^3}$ |
| | 182 | 115 d | β^- | -46.417 | 3- | |
| | 182m ₁ | 0.26 s | IT | -46.400 | 5+ | |
| | 182m ₂ | 15.8 m | IT | -45.897 | 10- | |
| | 183 | 5.1 d | β^- | -45.279 | 7/2+ | |
| | 184 | 8.7 h | β^- | -42.821 | (5-) | |
| | 185 | 49 m | β^- | -41.360 | (7/2+) | |
| | 186 | 10.5 m | β^- | -38.60 | (3-) | |
| 74 | W 160 | ≤ 0.2 s? | α | | 0+ | |
| | 162 | < 0.25 s | α | -34.13 s | 0+ | |
| | 163 | 2.5 s | α , (β^+ +EC)? | -35.31 s | | |
| | 164 | 6 s | α | -38.04 s | 0+ | |
| | 165 | 5.1 s | α | -38.67 s | | |
| | 166 | 16 s | α | -41.48 s | 0+ | |
| | 170 | 4 m | EC+ β^+ | -46.92 s | 0+ | |
| | 171 | 9 m | EC+ β^+ | -46.90 s | | |
| | 172 | 6.7 m | EC, β^+ | -48.81 s | 0+ | |
| | 173 | 16 m | EC+ β^+ | -48.47 s | | |
| | 174 | 29 m | EC | -50.08 s | 0+ | |
| | 175 | 34 m | EC+ β^+ | -49.45 s | (1/2-) | |
| | 176 | 2.3 h | EC | -50.57 s | 0+ | |
| | 177 | 135 m | EC+ β^+ | -49.72 s | (1/2-) | |
| | 178 | 21.5 d | EC, no γ | -50.43 | 0+ | |
| | 179 | 38 m | EC | -49.283 | (7/2-) | |
| | 179m | 6.4 m | IT 99.69%, EC 0.31% | -49.061 | (1/2-) | |
| | 180 | 0.13 $\times 10^3$ y | | -49.624 | 0+ | $\approx 10^{-24}$ |
| | 181 | 121 d | EC | -48.237 | 9/2+ | |
| | 182 | 26.3 $\times 10^3$ y | | -48.228 | 0+ | $^{21}_{10.1^{+0.007}}_{m}$ |
| | 183 | 14.3 $\times 10^3$ y | | -46.347 | 1/2- | |
| 75 | Re 183m | 5.3 s | IT | -46.038 | (11/2)+ | |
| | 184 | 30.7 $\times 10^3$ y | | -45.687 | 0+ | $^{1.8}_{0.007^{+0.002}}_{m}$ |
| | 185 | 75.1 d | β^- | -43.370 | 3/2- | |
| | 185m | 1.66 m | IT | -43.173 | 11/2+ | |
| | 186 | 20.6 $\times 10^3$ y | | -42.498 | 0+ | 38 |
| | 187 | 23.9 h | β^- | -39.893 | 3/2- | 70 |
| | 188 | 69.4 d | β^- | -38.657 | 0+ | |
| | 189 | 11.5 m | β^- | -35.47 | | |
| | 190 | 30 m | β^- | -34.22 | 0+ | |
| | 170 | 0.0 s | β^+ +EC | -38.92 s | | |
| | 172 | 30 s | β^+ +EC | -41.51 s | | |
| | 174 | 2.3 m | β^+ +EC | -43.58 s | | |
| 75 | Re 175 | 4.6 m | EC+ β^+ | -45.15 s | | |
| | 176 | 5.2 m | EC+ β^+ | -44.97 s | | |
| | 177 | 14 m | EC+ β^+ | -46.12 s | (5/2-) | |
| | 178 | 13.2 m | EC 99%, β^+ 11% | -45.77 | (3) | |
| | 179 | 19.7 m | EC 99.1%, β^+ 0.9% | -46.59 | (5/2+) | |
| | 180 | 2.4 m | EC 92%, β^+ 8% | -45.829 | (1)- | |
| | 181 | 20 h | EC | -46.44 s | 5/2+ | |
| | 182 | 64 h | EC | -45.43 s | 7+, 6+ | |
| | 182 | 12.7 h | EC 99.8%, β^+ 0.2% | -45.43 s | 2+ | |
| | 183 | 71 d | EC | -45.791 | (5/2)+ | |
| | 184 | 38 d | EC | -44.191 | 3- | |
| | 184m | 169 d | IT 75%, EC 25% | -44.003 | 8+ | |
| | 184 | 2.2 d? | ? | | | |

TABLE OF NUCLIDES

| Z | El | A | Abundance or $t_{1/2}$ | Decay Mode | $\Delta(\text{MeV})$ | $J\pi$ | $a_n(b)$ |
|----|----|------|---------------------------|---|----------------------|--------|---------------------------------|
| 75 | Re | 185 | 37.40% | | -43.802 | 5/2+ | 110 _a |
| | | 186 | 90.6 h | β^- 92.2%, EC 7.8% | -41.910 | 1- | 0.3 _m |
| | | 186m | 2×10^5 y | IT | -41.76 | [8+] | |
| | | 187 | 62.60% | | | | 74 _g |
| | | | 4×10^{10} y | β^- , no γ | -41.205 | 5/2+ | 1.0 _m |
| | | 188 | 16.9 h | β^- | -39.006 | 1- | |
| | | 188m | 18.7 m | IT | -38.834 | (6)- | |
| | | 189 | 24.3 h | β^- | -37.970 | (5/2+) | |
| | | 189 | 4.3 d | β^- | | | |
| | | 190 | 3.1 m | β^- | -35.52 | (2-) | |
| | | 190m | 3.2 h | β^- \approx 51%, IT \approx 49% | -35.30 | (6-) | |
| | | 191 | 9.8 m | β^- | -34.343 | | |
| | | 192 | 16 s | β^- | -31.9 s | | |
| 76 | Os | 189 | 3.0 s | α | -30.55 s | | |
| | | 170 | 7.1 s | α | -33.53 s | 0+ | |
| | | 171 | 8 s | α | -34.16 s | | |
| | | 172 | 19 s | EC+ β^+ 99+%, α 40.3% | -36.84 s | 0+ | |
| | | 173 | 16 s | β^+ +EC 99.98%, α 0.02% | -37.41 s | | |
| | | 174 | 45 s | EC+ β^+ 99.98%, α 0.02% | -39.62 s | 0+ | |
| | | 175 | 1.4 m | [EC+ β^+] | -39.71 s | | |
| | | 176 | 3.6 m | EC+ β^+ | -41.81 s | 0+ | |
| | | 177 | 4 m | EC+ β^+ | -41.62 s | | |
| | | 178 | 5.0 m | EC+ β^+ | -43.35 s | 0+ | |
| | | 179 | 7 m | EC+ β^+ | -42.89 s | | |
| | | 180 | 22 m | EC | -44.22 s | 0+ | |
| | | 181 | 105 m | EC+ β^+ | -43.41 s | (1/2-) | |
| | | 181 | 2.7 m | EC, β^+ | -44.58 s | (7/2-) | |
| | | 182 | 22.0 h | EC | -43.49 s | 0+ | |
| | | 183 | 13 h | EC 99.91%, β^+ 0.09% | -43.32 s | 9/2+ | |
| | | 183m | 9.9 h | EC 89%, IT 11% | -44.233 | 1/2- | |
| | | 184 | 0.010% | EC | -42.787 | 1/2- | |
| | | 185 | 93.6 d | EC | -42.987 | 0+ | 3 \times 10 ³ |
| | | 186 | 1.6% | α | -41.208 | 1/2- | 80 |
| | | 187 | 2×10^{15} y | | -41.125 | 0+ | 330 |
| | | 188 | 1.3% | | -38.978 | 3/2- | 20 _g |
| | | 189 | 16.1% | | -38.947 | 9/2- | 2.6 \times 10 ⁻⁴ m |
| | | 189m | 5.7 h | IT | -38.699 | 0+ | 9 _m |
| | | 190 | 26.4% | | -36.994 | 10- | 4 _g |
| | | 190m | 9.9 m | IT | -36.388 | 9/2- | |
| | | 191 | 15.4 d | β^- | -36.314 | 3/2- | |
| | | 191m | 13.1 h | IT | -35.875 | 0+ | 2.0 |
| | | 192 | 41.0% | | -33.860 | (10-) | |
| | | 192m | 6.1 s | IT | -33.387 | (3/2-) | 1.5 \times 10 ³ m |
| | | 193 | 30.6 h | β^- | -32.417 | 0+ | |
| | | 194 | 6.0 y | β^- | -29.69 | | |
| | | 195 | 6.5 m | β^- | | | |
| | | 196 | 35.0 m | β^- | | | |
| 77 | Ir | 171 | 1.0 s | α | -26.18 s | 0+ | |
| | | 172 | 1.7 s | α | -27.32 s | | |
| | | 173 | 3.0 s | α | -29.91 s | | |
| | | 174 | 4 s | α | -30.89 s | | |
| | | 175 | 4 s | α | -33.16 s | | |
| | | 176 | 8 s | α | -33.84 s | | |
| | | 177 | 21 s | α | -35.82 s | | |
| | | 178 | 12 s | β^+ +EC | -36.27 s | | |
| | | 179 | 4 m | EC+ β^+ | -37.89 s | | |
| | | 180 | 1.5 m | EC+ β^+ | -37.93 s | | |
| | | 181 | 5 m | EC+ β^+ | -39.34 s | | |
| | | 182 | 15 m | EC+ β^+ | -38.98 s | | |
| | | 183 | 0.9 h | EC+ β^+ | -40.09 s | (9/2-) | |
| | | 184 | 3.0 h | EC, β^+ | -39.51 | 5 | |

TABLE OF NUCLIDES

| Z | El | Nuclide A | Abundance or $t_{1/2}$ | Decay Mode | A(MeV) | $J\pi$ | $\sigma_n(b)$ |
|----|----|-------------------|--------------------------------|--|----------|----------|--|
| 77 | Ir | 185 | 14 h | EC+ β^+ | -40.29 s | 5/2(-) | |
| | | 186 | 16 h | EC 98%, β^+ 2% | -39.156 | 5(+) | |
| | | 186 | 1.7 h | EC, β^+ | | (2-) | |
| | | 187 | 10.5 h | EC | -39.71 s | 3/2+ | |
| | | 188 | 41.5 h | EC 99.6%, β^+ 0.4% | -38.323 | 2- | |
| | | 189 | 13.1 d | EC | -38.48 s | 3/2+ | |
| | | 190 | 11.8 d | EC | -36.70 | (4+) | |
| | | 190m ₁ | 1.2 h | IT | -36.67 | (7+) | |
| | | 190m ₂ | 3.2 h | EC 95%, IT 5% | -36.52 | (11-) | |
| | | 191 | 37.38 | | -36.698 | 3/2+ | 540 g 400 m ₁ |
| | | 191m | 4.9 s | IT | -36.527 | 11/2- | 0.10 m ₂ |
| | | 192 | 74.2 d | β^- 95.4%, EC 4.6% | -34.826 | 4(-) | 1.0x10 ³ m ₂ |
| | | 192m ₁ | 1.45 m | IT 99+%, β^- 0.017% | -34.768 | 1(+) | |
| | | 192m ₂ | 241 y | IT | -34.685 | 9(+) | |
| | | 193 | 62.78 | | -34.519 | 3/2+ | 110 g |
| | | 193m | 10.6 d | IT | -34.439 | 11/2- | 0.05 m |
| | | 194 | 19.2 h | β^- | -32.514 | 1- | |
| | | 194m | 0.47 y | β^- | | (11) | |
| | | 195 | 2.5 h | β^- | -31.692 | (3/2+) | |
| | | 195m | 3.8 h | β^- | -31.57 | (11/2-) | |
| | | 196 | 52 s | β^- | -29.44 | (0, 1-) | |
| | | 196m | 1.40 h | β^- | -29.01 | (10, 11) | |
| | | 197 | 9.8 m | β^- | -28.43 | | |
| | | 198 | 8 s | β^- | -25.52 | | |
| 78 | Pt | 173 | 51 s | α | -21.79 s | | |
| | | 174 | 0.7 s | α ~80% | -24.93 s | 0+ | |
| | | 175 | 2.4 s | α ~75% | -25.64 s | | |
| | | 176 | 6.3 s | α 42% | -28.54 s | 0+ | |
| | | 177 | 7 s | α 9% | -29.35 s | | |
| | | 178 | 21 s | α 7% | -31.63 s | 0+ | |
| | | 179 | 33 s | α 0.27% | -32.01 s | 1/2 | |
| | | 180 | 52 s | α ~0.3% | -34.12 s | 0+ | |
| | | 181 | 51 s | α ~0.06% | -34.06 s | | |
| | | 182 | 2.6 m | EC+ β^+ 99+%, α ~0.02% | -35.98 s | 0+ | |
| | | 183 | 7 m | EC+ β^+ 99+%, α ~0.0013% | -35.63 s | | |
| | | 184 | 17.3 m | EC+ β^+ 99+%, α ~0.001% | -37.21 s | 0+ | |
| | | 184 | 42 m ² | EC | | | |
| | | 185 | 71 m | EC+ β^+ | -36.49 s | | |
| | | 185 | 33 m | EC+ β^+ | -36.49 s | | |
| | | 186 | 2.0 h | EC 99+%, α ~1.4x10 ⁻⁴ % | -37.83 s | 0+ | |
| | | 187 | 2.35 h | EC+ β^+ | -36.81 s | 3/2 | |
| | | 188 | 10.2 d | EC 99+%, α 3x10 ⁻⁵ % | -37.788 | 0+ | |
| | | 189 | 10.9 h | EC, β^+ | -36.57 s | 3/2- | |
| | | 190 | 0.0138 6x10 ¹¹ y | α | -37.318 | 0+ | 800 |
| | | 191 | 2.9 d | EC | -35.698 | 3/2- | |
| | | 192 | 0.728 | | -36.283 | 0+ | 10 g ^{pm} 2 g ² |
| | | 193 | 50 y | EC, no γ | -34.458 | (1/2)- | |
| | | 193m | 4.3 d | IT | -34.308 | (13/2)+ | |
| | | 194 | 32.98 | | -34.765 | 0+ | ~1 g ² g |
| | | 195 | 33.88 | | -32.802 | 1/2- | 0.09 g ² g |
| | | 195m | 4.02 d | IT | -32.543 | 13/2+ | 27 g |
| | | 196 | 25.38 | | -32.652 | 0+ | 0.7 g ² g |
| | | 197 | 18.3 h | β^- | -30.431 | 1/2- | 0.05 g ² m |
| | | 197m | 94 m | IT 97%, β^- 3% | -30.032 | 13/2+ | |
| | | 198 | 7.28 | | -29.921 | 0+ | 3.7 g 0.027 m |

TABLE OF NUCLIDES

| Z | Nuclide El A | Abundance or $t_{1/2}$ | Decay Mode | Δ (MeV) | J π | $\sigma_n(b)$ |
|----|-------------------|---------------------------|---|----------------|---------|--------------------|
| 78 | Pt 199 | 30.8 m | β^- | -27.420 | (5/2-) | $\approx 15^{+10}$ |
| | 199m | 14 s | IT | -26.996 | (13/2+) | |
| | 200 | 12.6 h | β^- | -26.60 s | 0+ | |
| | 201 | 2.5 m | β^- | -23.74 | | |
| 79 | Au 175 | ≈ 0.14 s | α | -17.16 s | | |
| | 176 | 1.2 s | α | -18.40 s | | |
| | 177 | 1.3 s | α | -21.19 s | | |
| | 178 | 2.6 s | α | -22.41 s | | |
| | 179 | 7.5 s | α | -24.75 s | | |
| | 181 | 11 s | α 1.1% | -27.64 s | | |
| | 182 | 21 s | $\beta^+ + \text{EC } 99\% \alpha$ $\alpha^0 \approx 0.04\%$ | -28.18 s | | |
| | 183 | 42 s | α 0.30% | -30.01 s | | |
| | 184 | 53 s | $\beta^+ + \text{EC } 99\% \alpha$ 0.022% | -30.22 s | | |
| | 185 | 4.3 m | $\text{EC} + \beta^+ 99.91\%$ α 0.09% | -31.73 s | | |
| | 186 | 6.8 m | $\text{EC} + \beta^+$ | -31.73 s | | |
| | 186 | 11 m | $\text{EC} + \beta^+$ | -31.69 s | 3 | |
| | 186 | 52 m | $\text{EC} + \beta^+$ | -31.69 s | | |
| | 187 | 8 m | $\text{EC} + \beta^+, \alpha^0$ | -32.87 s | 1/2 | |
| | 188 | 8.8 m | $\text{EC} + \beta^+$ | -32.49 s | 1 | |
| | 189 | 28.7 m | $\text{EC} + \beta^+$ | -33.41 s | 1/2+ | |
| | 189m | 4.6 m | $\text{EC} + \beta^+, \text{IT}^0$ | -33.16 s | 11/2- | |
| | 190 | 43 m | $\text{EC } 98\%, \beta^+ 2\%$ | 32.876 | 1- | |
| | 191 | 3.2 h | EC | -33.87 | 3/2+ | |
| | 191m | 0.9 s | IT | -33.60 | (11/2-) | |
| | 192 | 5.0 h | $\text{EC } \approx 99\%, \beta^+ \approx 1\%$ | -32.768 | 1 | |
| | 193 | 17.5 h | $\text{EC}, \beta^+, \alpha$ | -33.36 s | 3/2+ | |
| | 193m | 3.9 s | IT 99.97%, EC 0.03% | -33.07 s | 11/2- | |
| | 194 | 39.5 h | $\text{EC } \approx 97\%, \beta^+ \approx 3\%$ | -32.256 | 1- | |
| | 195 | 183 d | EC | -32.572 | 3/2+ | |
| | 195m | 30.6 s | IT | -32.253 | 11/2- | |
| | 196 | 6.18 d | $\text{EC } 93.0\%, \beta^+ 5 \times 10^{-5}\%$ $\beta^- 7.0\%$ | -31.162 | 2- | |
| | 196m ₁ | 8.2 s | IT | -31.077 | 5+ | |
| | 196m ₂ | 9.7 h | IT | -30.567 | 12- | |
| | 197 | 1003 ^a | | -31.150 | 3/2+ | 98.8 |
| | 197m | 7.7 s | IT | -30.741 | 11/2- | |
| | 198 | 2.696 d | β^- | -29.591 | 2- | 2.5 $\times 10^4$ |
| | 198m | 2.30 d | IT | -28.779 | (12-) | |
| | 199 | 3.14 d | β^- | -29.104 | 3/2+ | $\approx 30^{+10}$ |
| | 200 | 48.4 m | β^- | -27.30 | 1(-) | |
| | 200m | 18.7 h | $\beta^- \approx 84\%, \text{IT } \approx 16\%$ | -26.3 | 12(-) | |
| | 201 | 26 m | β^- | -26.40 | (3/2+) | |
| | 202 | 29 s | β^- | -23.06 | (1-) | |
| | 203 | 53 s | β^- | -22.98 s | | |
| | 204 | 4 s ⁰ | β^- | | | |
| | 204 | 40 s | β^- | | | |
| 80 | Hg 177 | ≈ 0.2 s | α | -12.65 s | | |
| | 178 | 0.5 s | $\alpha \approx 84\%, [\text{EC} + \beta^+] \approx 16\%$ | -15.93 s | 0+ | |
| | 179 | 1.09 s | $\alpha \approx 53\%, [\text{EC} + \beta^+] \approx 47\%$ ($\text{EC} + \beta^+$)p | -16.80 s | | |
| | 179 | 3.5 s ⁰ | μ | -16.80 s | | |
| | 180 | 2.9 s | α | -19.86 s | 0+ | |
| | 180 | 5.9 s ⁰ | α | | | |
| | 181 | 3.6 s | $\beta^+ + \text{EC } 74\%, \alpha 26\%$ ($\beta^+ + \text{EC}$)p 0.014%, ($\beta^+ + \text{EC}$) α 9 $\times 10^{-4}\%$ | -20.79 s | 1/2(-) | |
| | 182 | 11 s | $\text{EC} + \beta^+ 91\%, \alpha 9\%$ | -23.21 s | 0+ | |
| | 183 | 8.8 s | $\text{EC } 61\%, \beta^+ 27\%$ $\alpha 12\%$ ($\text{EC} + \beta^+$)p 3 $\times 10^{-4}\%$ | -25.69 s | 1/2 | |
| | 184 | 30.6 s | $\text{EC} + \beta^+ 98.7\%, \alpha 1.3\%$ | -26.04 s | 0+ | |
| | 185(g) | 48 s | $\text{EC} + \beta^+ \approx 95\%, \alpha \approx 5\%$ | -26.14 s | 1/2- | |
| | 186(m) | 17 s | α, IT^0 | | | |
| | 186 | 155 s | β^- | | | |
| | 188 | 1.4 m | $\text{EC } 96\%, \beta^+ 4\%$ $\alpha 0.016\%$ | -28.35 s | 0+ | |

TABLE OF NUCLIDES

| Z | El | A | Nuclide | Abundance or $t_{1/2}$ | Decay Mode | Δ (MeV) | J^π | $\sigma_n(b)$ |
|----|----|------|---------|---------------------------|--|----------------|---------|---------------------------------------|
| 80 | Hg | 187 | | 1.6 m | $EC+\beta^+, \alpha > 2.5 \times 10^{-6}\%$ | -28.06 s | | |
| | | 187 | | 2.4 m | $EC+\beta^+, \alpha > 1.2 \times 10^{-6}\%$ | -28.06 s | | |
| | | 187 | | 3.0 m | $EC+\beta^+, \alpha$ | | | |
| | | 188 | | 3.3 m | $EC+\beta^+, \alpha$ | -29.88 s | 0+ | |
| | | 189 | | 8.7 m | $EC+\beta^+$ | -29.21 s | (13/2+) | |
| | | 189 | | 7.5 m | $EC+\beta^+$ | -29.21 s | 3/2- | |
| | | 190 | | 20 m | EC | -30.96 | 0+ | |
| | | 191 | | ≈ 49 m | $EC+\beta^+$ | -30.48 | (3/2-) | |
| | | 191m | | 51 m | $EC+\beta^+$ | -30.34 | (13/2+) | |
| | | 192 | | 4.9 h | EC | -31.97 s | 0+ | |
| | | 193 | | 4 h | EC, β^+, α | -31.02 s | 3/2- | |
| | | 193m | | 11 h | EC 92%, β^+ 0.34%, IT 8% | -30.88 s | 13/2+ | |
| | | 194 | | 260 y | EC, no γ | -32.206 | 0+ | |
| | | 194 | | 0.40 s | α | | | |
| | | 195 | | 10 h | EC | -31.05 | 1/2- | |
| | | 195m | | 41 h | EC 50%, IT 50% | -30.87 | 13/2+ | |
| | | 196 | | 0.158 s | | -31.846 | 0+ | $3.0 \times 10^{3 \pm 1} \frac{b}{e}$ |
| | | 197 | | 64.1 h | EC | -30.735 | 1/2- | |
| | | 197m | | 23.8 h | IT 93%, EC 7% | -30.436 | 13/2+ | |
| | | 198 | | 10.02 s | | -30.964 | 0+ | 0.018 μ |
| | | 199 | | 16.82 s | | -29.557 | 1/2- | 2×10^3 |
| | | 199m | | 42.6 m | IT | -29.025 | 13/2+ | |
| | | 200 | | 2.1, 1.8 s | | -29.514 | 0+ | <60 |
| | | 201 | | 1.1, 2.8 s | | -27.672 | 3/2- | <60 |
| | | 202 | | 29.68 s | | -27.356 | 0+ | 5.0 |
| | | 203 | | 46.8 d | β^- | -25.277 | 5/2- | |
| | | 204 | | 6.92 s | | -24.703 | 0+ | 0.4 μ |
| | | 205 | | 5.2 m | β^- | -22.299 | 1/2- | |
| | | 206 | | 8.1 m | β^- | -20.955 | 0+ | |
| 81 | Tl | 184 | | 11 s | $\beta^+ + EC$ 98%, α 2% | -16.90 s | | |
| | | 185m | | 1.7 s | α, IT | -18.66 s | (9/2-) | |
| | | 185 | | 28 s | (β^+, EC) 99+%, $\alpha? \approx 0.006\%$ | -19.86 s | | |
| | | 186m | | 3 s | IT | -19.49 s | | |
| | | 187m | | 16 s | α, IT | -21.60 s | (9/2-) | |
| | | 188 | | 71 s | β^+, EC | -22.29 s | (7) | |
| | | 189 | | 1.4 m | $\beta^+ + EC$ | -24.02 s | | |
| | | 189 | | 2.3 m | $\beta^+ + EC$ | -24.02 s | | |
| | | 190 | | 2.6 m | β^+, EC | -24.16 | (2-) | |
| | | 190 | | 3.7 m | β^+, EC | -24.16 | (7+) | |
| | | 191 | | 5.2 m | EC 98%, β^+ 2% | -25.67 | | |
| | | 192 | | 10.8 m | $EC+\beta^+$ | -25.59 s | (7+) | |
| | | 192 | | 10.6 m | $EC+\beta^+$ | -25.59 s | (2-) | |
| | | 193 | | 22 m | EC 296%, β^+ $\leq 4\%$ | -27.02 s | 1/2+ | |
| | | 193m | | 2.1 m | IT | | (9/2-) | |
| | | 194 | | 33.0 m | $EC+\beta^+$ | -26.81 s | 2- | |
| | | 194m | | 32.8 m | $EC+\beta^+$ | -26.51 s | (7+) | |
| | | 195 | | 1.16 h | EC 99.3%, β^+ 0.7% | -27.85 | 1/2+ | |
| | | 195m | | 3.6 s | IT | -27.37 | 9/2- | |
| | | 196 | | 1.84 h | $EC+\beta^+$ | -27.35 s | 2(-) | |
| | | 196m | | 1.41 h | $EC+\beta^+$ 96.2%, IT 3.8% | -26.95 s | (7+) | |
| | | 197 | | 2.64 h | EC 99.5%, β^+ 0.5% | -26.33 s | 1/2+ | |
| | | 197m | | 0.54 h | IT | -27.72 s | 9/2- | |
| | | 198 | | 5.3 h | EC 99.3%, β^+ $\approx 0.7\%$ | -27.50 | 2- | |
| | | 198m | | 1.87 h | $EC+\beta^+$ 56%, IT 44% | -26.96 | 7+ | |
| | | 199 | | 7.4 h | EC | -26.08 | 1/2+ | |
| | | 200 | | 26.1 h | EC 99.65%, β^+ 0.35% | -27.060 | 2- | |
| | | 201 | | 73 h | EC | -27.185 | 1/2+ | |
| | | 202 | | 12.2 d | EC | -25.988 | 2- | |
| | | 203 | | 29.58 s | | -25.789 | 1/2+ | 10 |
| | | 204 | | 3.77 y | β^- 97.4%, EC 2.6% | -24.353 | 2- | 22 μ |
| | | 205 | | 70.58 s | | -23.837 | 1/2+ | 0.10 μ |
| | | 206 | | 4.20 m | β^- | -22.269 | 0- | |
| | | 206m | | 3.6 m | IT | -19.626 | (12-) | |
| | | 207 | | 4.77 m | β^- | -21.041 | 1/2+ | |
| | | 207m | | 1.3 s | IT | -19.700 | 11/2- | |

TABLE OF NUCLIDES

| Z | Nuclide El | A | Abundance or $t_{1/2}$ | Decay Mode | Δ (MeV) | J^π | σ_n (b) |
|----|---------------|-------------------|---------------------------|---|----------------|---------|----------------------|
| 81 | Tl | 206 | 3.053 m | β^- | -16.768 | (5+) | |
| | | 209 | 2.2 m | β^- | -13.650 | (1/2+) | |
| | | 210 | 1.30 m | β^- , β^-n $\approx 0.007\%$ | -9.251 | | |
| 82 | Pb | 185 | ≈ 2 s | α | -11.74 s | | |
| | | 186 | 8 s | α $\approx 2.4\%$ | -14.33 s | 0+ | |
| | | 187 | 17 s | α $\approx 2.0\%$ | -14.94 s | | |
| | | 188 | 25 s | EC+ β^+ 97%, α 3% | -17.50 s | 0+ | |
| | | 189 | 51 s | EC+ β^+ 99+%, α $\approx 0.4\%$ | -17.86 s | | |
| | | 190 | 1.2 m | EC+ β^+ 99.6%, α 0.2% | -20.22 s | 0+ | |
| | | 191 | 1.3 m | EC+ β^+ 99+%, α 0.013% | -20.23 s | | |
| | | 192 | 2.3 m | EC+ β^+ 99+%, α 0.007% | -22.29 s | | |
| | | 193 | 5.8 m | EC+ β^+ | -22.07 s | (13/2+) | |
| | | 194 | 11 m | EC+ β^+ | -23.81 s | 0+ | |
| | | 195 | 16.4 m | EC+ β^+ | -23.55 s | (13/2+) | |
| | | 196 | 37 m | EC | -25.15 s | 0+ | |
| | | 197 | γ | EC+ β^+ | -24.63 s | (3/2-) | |
| | | 197m | 42 m | EC+ β^+ 81%, IT 19% | -24.31 s | (13/2+) | |
| | | 198 | 2.4 h | EC | -25.90 s | 0+ | |
| | | 199 | 1.5 h | EC $\approx 98.6\%$, β^+ $\approx 1.4\%$ | -25.28 | 5/2- | |
| | | 199m | 12.2 m | IT 93%, EC+ β^+ 7% | -24.86 | 13/2+ | |
| | | 200 | 21.5 h | EC | -26.16 s | 0+ | |
| | | 201 | 9.4 h | EC 99+%, β^+ $\approx 0.034\%$ | -25.327 | 5/2- | |
| | | 201m | 61 s | IT | -24.699 | 13/2+ | |
| | | 202 | $\approx 3 \times 10^5$ y | EC, no γ | -25.942 | 0+ | |
| | | 202m | 3.62 h | IT 90.5%, EC 9.5% | -23.772 | 9- | |
| | | 203 | 52.0 h | EC | -24.794 | 5/2- | |
| | | 203m ₁ | 6.1 s | IT | -23.969 | 13/2+ | |
| | | 203m ₂ | 0.48 s | IT | -21.844 | 29/2- | |
| | | 204 | 1.428 $\frac{1}{2}$ | | -25.117 | 0+ | 0.7 |
| | | 204m | 66.9 m | IT | -22.932 | 9- | |
| | | 205 | 1.4 $\times 10^7$ y | EC, no γ | -23.777 | 5/2- | 3.8 ^m |
| | | 206 | 24.1 $\frac{1}{2}$ | | -23.795 | 0+ | 0.03 ^m |
| | | 207 | 22.1 $\frac{1}{2}$ | | -22.463 | 1/2- | 0.71 |
| | | 207m | 0.81 s | IT | -20.830 | 13/2+ | |
| | | 208 | 52.3 $\frac{1}{2}$ | | -21.759 | 0+ | 5.0 $\times 10^{-4}$ |
| | | 209 | 3.25 h | β^- , no γ | -17.624 | 9/2+ | |
| | | 210 | 22.3 y | β^- 99+%, α $1.7 \times 10^{-6}\%$ | -14.738 | 0+ | 0.5 |
| | | 211 | 36.1 m | β^- | -20.61 s | (9/2+) | |
| | | 212 | 10.64 h | β^- | -7.562 | 0+ | |
| | | 213 | 10.2 m | β^- | -3.14 s | | |
| | | 214 | 26.8 m | β^- | -0.185 | 0+ | |
| 83 | Bi | 189 | <1.5 s | α | -9.87 s | | |
| | | 190 | 5.4 s | α $\approx 90\%$ | -10.85 s | | |
| | | 191 | 13 s | α $\approx 40\%$ | -13.05 s | | |
| | | 191m | ≈ 20 s | α | | | |
| | | 192 | 42 s | α $\approx 20\%$ | -13.67 s | | |
| | | 193 | 64 s | α $\approx 60\%$ | -15.56 s | | |
| | | 193m | 3.5 s | α $\approx 25\%$ | | | |
| | | 194 | 1.7 m | β^+ +EC 99+%, α <0.2% | -15.98 | (10-) | |
| | | 195 | 2.8 m | α <0.2% | -17.68 | | |
| | | 195m | 90 s | α 4% | | | |
| | | 196 | 4.5 m | β^+ +EC | -17.76 s | | |
| | | 197(m) | 8 m | β^+ +EC 99.89%, α 0.11% | | | |
| | | 198 | 11.8 m | EC+ β^+ | -19.30 s | (7+) | |
| | | 198m | 7.7 s | IT | -19.05 s | (10-) | |
| | | 199(g) | 27 m | EC | -20.61 s | 9/2- | |
| | | 199(m) | 24.7 m | α | -20.00 s | | |
| | | 200 | 36 m | EC, β^+ (weak) | -20.46 s | 7(+) | |
| | | 200m | 0.40 s | IT | -20.03 s | 10(-) | |
| | | 201 | 1.8 h | EC+ β^+ | -21.41 s | 9/2- | |
| | | 201m | 59 m | EC+ β^+ , IT, α $\approx 0.02\%$ | -20.56 s | (1/2+) | |
| | | 202 | 1.7 h | EC 99.5%, β^+ 0.5% | -21.04 s | 5(+) | |
| | | 203 | 11.8 h | EC $\approx 99.7\%$, β^+ $\approx 0.3\%$ | -21.60 | 9/2- | |
| | | 204 | 11.2 h | EC | -20.82 s | 6+ | |
| | | 205 | 15.3 d | EC 99.90%, β^+ 0.10% | -21.070 | 9/2- | |
| | | 206 | 6.243 d | EC, β^+ ? $8 \times 10^{-6}\%$ | -20.033 | 6+ | |
| | | 207 | 38 y | EC 99+%, β^+ 0.012% | -20.058 | 9/2- | |
| | | 208 | 3.68 $\times 10^5$ y | EC | -18.879 | (5)+ | |

TABLE OF NUCLIDES

| Z | Nuclide El A | Abundance or $t_{1/2}$ | Decay Mode | $\Delta(\text{MeV})$ | J^π | $\sigma_a(b)$ |
|----|-------------------|---------------------------|---|----------------------|---------|--|
| 83 | Bi 209 | 100% | | -18.268 | 9/2- | 0.019 ¹⁸ 0.014 ¹⁸ 0.050 ¹⁸ |
| | 210 | 5.01 d | β^- 99+%, α 1.3 $\times 10^{-6}$ % | -14.801 | 1- | |
| | 210m | 3.0 $\times 10^6$ s | α | -14.530 | 9- | |
| | 211 | 2.15 m | α 99.72%, β^- 0.28% | -11.865 | (9/2)- | |
| | 212 | 60.60 m | β^- 64.0%, $\beta^- \alpha$ 0.014%, α 36.0% | -8.135 | 1(-) | |
| | 212m ₁ | 25 m | α 593%, β^- $\geq 7\%$ | -7.88 | [9-] | |
| | 212m ₂ | 9 m | β^- $\leq 100\%$ | | [15-] | |
| | 213 | 45.6 m | β^- 97.6%, α 2.2% | -5.243 | (9/2-) | |
| | 214 | 19.7 m | β^- 99+%, $\beta^- \alpha$ 0.0031%, α 0.021% | -1.209 | (1-) | |
| | 215 | 7 m | β^- | 1.71 | | |
| 84 | Po 193 | ≤ 1 s | α | -8.31 s | | |
| | 194 | 0.6 s | α | -10.81 s | 0+ | |
| | 195(g) | 4.5 s | α | -11.06 s | | |
| | 195(m) | 2.0 s | α | | | |
| | 196 | 5 s | α | -13.21 s | 0+ | |
| | 197 | 56 s | α 90% | -13.23 s | | |
| | 197m | 26 s | α | | | |
| | 198 | 1.78 m | α 70%, EC+ β^+ 30% | -15.07 s | 0+ | |
| | 199 | 5.2 m | EC+ β^+ 88%, α 12% | -15.05 s | (3/2-) | |
| | 199m | 4.2 m | EC+ β^+ 61%, α 39% | | (13/2+) | |
| | 200 | 11.4 m | EC+ β^+ 86%, α 14% | -16.74 s | 0+ | |
| | 201 | 15.2 m | EC+ β^+ 98.4%, α 1.6% | -16.41 s | 3/2(-) | |
| | 201m | 8.9 m | IT 53%, EC+ β^+ 44%, α 2.9% | -15.98 s | (13/2+) | |
| | 202 | 44 m | EC+ β^+ 98.0%, α 2.0% | -17.78 s | 0+ | |
| | 203 | 33 m | EC+ β^+ 99.89%, α 0.11% | -17.36 | 5/2- | |
| | 203m | 1.2 m | IT 96%, EC+ β^+ 4% | -16.72 | (13/2+) | |
| | 204 | 3.57 h | EC 99.4%, α 0.6% | -18.25 s | 0+ | |
| | 205 | 1.80 h | EC+ β^+ 99.5%, α 0.5% | -17.576 | 5/2- | |
| | 206 | 8.0 d | EC 94.5%, β^+ 5.5% | -18.190 | 0+ | |
| | 207 | 5.7 h | EC 99.5%, β^+ 0.5%, α 0.008% | -17.150 | 5/2- | |
| | 207m | 2.8 s | IT | -15.766 | 19/2- | |
| | 208 | 2.90 y | α 99+%, EC 0.0018% | -17.475 | 0+ | |
| | 209 | 102 y | α 99.74%, EC 0.26% | -16.373 | 1/2- | |
| | 210 | 138.38 d | α | -15.963 | 0+ | <0.03 ¹⁸ <5 $\times 10^{-2}$ ¹⁸ <0.002 ¹⁸ |
| | 211 | 0.516 s | α | -12.444 | (9/2+) | |
| | 211m | 25 s | α | -10.982 | (25/2+) | |
| | 212 | 0.30 μ s | α | -10.381 | 0+ | |
| | 212m | 45 s | α | -7.476 | [16+] | |
| | 213 | 4 μ s | α | -6.663 | 9/2+ | |
| | 214 | 164 μ s | α | -4.479 | 0+ | |
| | 215 | 1.78 ms | α 99+%, β^- 2.3 $\times 10^{-6}$ % | -0.540 | (9/2)+ | |
| | 216 | 0.15 s | α | 1.769 | 0+ | |
| | 217 | <10 s | α | 5.96 s | | |
| | 218 | 3.05 m | α 99+%, β^- 0.018% | 8.355 | 0+ | |
| 85 | At 195 | 0.3 s | α | -4.05 s | | |
| | 197 | 0.4 s | α | -6.03 s | | |
| | 198 | 4.9 s | α | -6.67 | | |
| | 198m | 1.5 s | α | | | |
| | 199 | 7.2 s | α | -8.47 | | |
| | 200(g) | 42 s | α 53%, EC+ β^+ 47% | -8.67 s | | |
| | 200(m) | 4.3 s | α | | | |
| | 201 | 1.5 m | α 71%, EC+ β^+ 29% | -10.52 s | | |
| | 202 | 3.0 m | EC+ β^+ 85%, α 15% | -10.52 s | | |
| | 203 | 7.3 m | EC+ β^+ 69%, α 31% | -11.97 s | | |
| | 204 | 9.1 m | EC+ β^+ 95.6%, α 4.4% | -11.97 s | (5+) | |
| | 205 | 26 m | EC 87%, β^+ 3%, α 10% | -12.96 s | 9/2- | |
| | 206 | 31 m | EC 82%, β^+ 17%, α 1.0% | -12.73 s | (5+) | |

TABLE OF NUCLIDES

| | Nuclide | Abundance | Decay | $\Delta(\text{MeV})$ | J^π | $\sigma_n(b)$ |
|----|---------|-----------|---------------------|---|----------|--------------------|
| Z | El | A | or $t_{1/2}$ | Mode | | |
| 85 | At | 207 | 1.8 h | $EC+\beta^+$ $\approx 90\%$, $\alpha \approx 10\%$ | -13.31 | 9/2- |
| | | 208 | 1.63 h | $EC+\beta^+$ 99.4%, α 0.6% | -12.64 s | (6+) |
| | | 209 | 5.4 h | EC 95.9%, α 4.1% | -12.880 | 9/2- |
| | | 210 | 8.3 h | $EC+\beta^+$ 99.82%, α 0.18% | -11.976 | 5+ |
| | | 211 | 7.21 h | EC 58.1%, α 41.9% | -11.653 | 9/2- |
| | | 212 | 0.315 s | α | -8.625 | |
| | | 212m | 0.12 s | α | -8.403 | |
| | | 213 | 0.11 μ s | α , no γ | -6.589 | 9/2- |
| | | 214 | ≈ 2 μ s | α | -3.389 | |
| | | 215 | 0.10 ms | α | -1.262 | (9/2)- |
| | | 216 | 0.30 ms | α | 2.237 | 1(-) |
| | | 217 | 32.3 ms | α 99+%, β^- 0.012% | 4.382 | (9/2-) |
| | | 218 | ≈ 2 s | α 99.9%, β^- 0.1% | 8.099 | |
| | | 219 | 0.9 m | α $\approx 97\%$, β^- $\approx 3\%$ | 10.53 | |
| 86 | Rn | 200 | 1 s | α | -3.74 s | 0+ |
| | | 201(g) | 7.0 s | α | -3.95 s | |
| | | 201(m) | 3.8 s | α | | |
| | | <202 | <1 s? | α | | |
| | | 202 | 9.9 s | α >70% | -5.88 s | 0+ |
| | | 203 | 45 s | α 65%, $EC+\beta^+$ 35% | -6.00 s | |
| | | 203m | 28 s | α | -5.95 s | |
| | | 204 | 75 s | α $\approx 72\%$, $EC+\beta^+$ $\approx 28\%$ | -7.77 s | 0+ |
| | | 205 | 170 s | $EC+\beta^+$ 77%, α 23% | -7.60 s | |
| | | 206 | 5.7 m | α 64%, $EC+\beta^+$ 36% | -8.97 s | 0+ |
| | | 207 | 9.3 m | $EC+\beta^+$ 77%, α 23% | -8.69 | 5/2- |
| | | 208 | 24 m | α 52%, $EC+\beta^+$ 48% | -9.56 s | 0+ |
| | | 209 | 29 m | EC 80%, β^+ 3%, α 17% | -8.994 | 5/2- |
| | | 210 | 2.4 h | α 96%, EC 4% | -9.608 | 0+ |
| | | 211 | 14.6 h | $EC+\beta^+$ 74%, α 26% | -8.761 | 1/2- |
| | | 212 | 23 m | α | -8.666 | 0+ |
| | | 213 | 25.0 ms | α | -5.706 | (9/2+) |
| | | 214 | 0.27 μ s | α | -4.328 | 0+ |
| | | 215 | 2.3 μ s | α , no γ | -1.179 | (9/2+) |
| | | 216 | 45 μ s | α | 0.245 | 0+ |
| | | 217 | 0.54 ms | α | 3.649 | 9/2+ |
| | | 218 | 35 ms | α | 5.212 | 0+ |
| | | 219 | 3.96 s | α | 8.831 | (5/2)+ |
| | | 220 | 55.6 s | α | 10.599 | 0+ |
| 87 | Fr | 221 | 25 m | β^- $\approx 80\%$, α $\approx 20\%$ | 14.38 s | <0.2 ^{ns} |
| | | 222 | 3.8235 d | α | 16.370 | 0+ |
| | | 223 | 43 m | β^- | | 0.73 ^{ns} |
| | | 224 | 1.8 h | β^- | 22.26 s | 0+ |
| | | 225 | 4.5 m | β^- | 27.59 s | |
| | | 226 | 6.0 m | β^- | | 0+ |
| | | 203 | 0.7 s | α , β^+ + EC | 1.23 | |
| | | 204 | 2.1 s | α | 0.92 s | |
| | | 205 | 3.7 s | α | -1.04 s | |
| | | 206 | 16.0 s | α 85%, $EC+\beta^+$ 15% | -1.18 s | |
| | | 207 | 14.8 s | α 93%, $EC+\beta^+$ 7% | -2.65 s | (9/2-) |
| | | 208 | 58.0 s | α 74%, $EC+\beta^+$ 26% | -2.77 s | |
| | | 209 | 50.0 s | α 89%, $EC+\beta^+$ 11% | -3.76 s | 9/2- |
| | | 210 | 3.2 m | α , $EC+\beta^+$ | -3.64 s | |
| | | 211 | 3.1 m | α , $EC+\beta^+$ | -4.22 s | |
| | | 212 | 19.3 m | $EC+\beta^+$ 56%, α 44% | -3.69 s | |
| | | 213 | 34.7 s | α 99.45%, EC 0.55% | -3.556 | (9/2-) |
| | | 214 | 5.0 ms | α | -0.965 | 1(-) |
| | | 214m | 3.4 ms | α | -0.843 | 9(-) |
| | | 215 | 0.12 μ s | α , no γ | 0.309 | 9/2- |
| | | 216 | 0.70 μ s | α , no γ | 2.975 | |
| | | 217 | 22 μ s | α , no γ | 4.307 | 9/2- |
| | | 218 | ≈ 0.7 ms | α | 7.050 | |
| | | 219 | 0.020 s | α | 8.617 | (9/2)- |
| | | 220 | 27.4 s | α 99.65%, β^- 0.35% | 11.470 | |
| | | 221 | 4.8 m | α | 13.265 | (5/2-) |
| | | 222 | 14.4 m | β^- 99+%, α 0.01-0.1% | 16.338 | |
| | | 223 | 21.8 m | β^- 99+%, α $\approx 0.005\%$ | 18.382 | (3/2) |
| | | 224 | 2.7 m | β^- | 21.71 s | |
| | | 225 | 3.9 m | β^- | 23.79 s | |
| | | 226 | 48 s | β^- | 27.46 | |

TABLE OF NUCLIDES

| Z | El | Nuclide A | Abundance or $t_{1/2}$ | Decay Mode | $\Delta(\text{MeV})$ | $J\pi$ | $\sigma_n(b)$ |
|----|----|-----------|---------------------------|--|----------------------|----------------|-------------------|
| 87 | Fr | 227 | 2.4 m | β^- | 29.58 | | |
| | | 228 | 39 s | β^- | | | |
| | | 229 | 0.8 m | β^- | | | |
| 88 | Ra | 206 | 0.4 s | $\alpha, (EC+\beta^+)^?$ | 3.96 s | 0+ | |
| | | 207 | 1.3 s | $\alpha, (EC+\beta^+)^?$ | 3.70 s | | |
| | | 208 | 1.5 s | α | 1.93 s | 0+ | |
| | | 209 | 4.7 s | α | 1.97 s | | |
| | | 210 | 3.7 s | α | 0.61 s | 0+ | |
| | | 211 | 14 s | $\alpha, (EC+\beta^+)^?$ | 0.78 | (5/2-) | |
| | | 212 | 13.0 s | $\alpha, (EC+\beta^+)^?$ | -0.11 s | 0+ | |
| | | 213 | 2.7 m | α 80%, EC + β^+ 20% | 0.290 | (1/2-) | |
| | | 213m | 2.1 ms | IT \approx 99%, α \approx 1% | 0.060 | (17/2-, 13/2+) | |
| | | 214 | 2.46 s | α 99%, EC 0.059% | 0.090 | 0+ | |
| | | 215 | 1.6 ms | α | 2.531 | | |
| | | 216 | 0.18 μ s | α | 3.285 | 0+ | |
| | | 217 | 1.6 μ s | α | 5.881 | | |
| | | 218 | 14 μ s | α | 6.644 | 0+ | |
| | | 219 | 10 ms | α | 9.377 | | |
| | | 220 | 23 ms | α | 10.263 | 0+ | |
| | | 221 | 30 s | α | 12.957 | | |
| | | 222 | 38 s | α | 14.312 | 0+ | |
| | | 223 | 11.435 d | α | 17.235 | 1/2+ | ^{134}Fe |
| | | 224 | 3.66 d | α | 18.813 | 0+ | ^{12}Fe |
| | | 225 | 14.8 d | β^- | 21.987 | (3/2)+ | |
| | | 226 | 1.60×10^3 y | α | 23.666 | 0+ | 8 |
| | | 227 | 42.2 m | β^- | 27.185 | (3/2+) | |
| | | 228 | 5.76 y | β^- | 28.941 | 0+ | ^{36}Fe |
| | | 229 | 4.0 m | β^- | 32.72 s | | |
| | | 230 | 93 m | β^- | 34.56 s | 0+ | |
| 89 | Ac | 209 | 0.10 s | α | 9.12 s | | |
| | | 210 | 0.35 s | α | 8.86 s | | |
| | | 211 | 0.25 s | $\alpha, EC+\beta^+$ | 7.40 s | | |
| | | 212 | 0.93 s | α | 7.18 s | | |
| | | 213 | 0.80 s | $\alpha, \text{no } \gamma$ | 6.17 s | (9/2-) | |
| | | 214 | 8.2 s | α \approx 86%, EC \leq 14% | 6.14 s | | |
| | | 215 | 0.17 s | α 99.91%, EC + β^+ 0.09% | 5.95 | | |
| | | 216 | \approx 0.33 ms | α | 7.98 s | | |
| | | 216m | 0.33 ms | α | 8.02 s | | |
| | | 217 | 0.11 μ s | $\alpha, \text{no } \gamma$ | 8.701 | (9/2-) | |
| | | 218 | 0.27 μ s | $\alpha, \text{no } \gamma$ | 10.837 | (9/2-) | |
| | | 219 | 7 μ s | $\alpha, \text{no } \gamma$ | 11.560 | | |
| | | 220 | 26 ms | α | 13.747 | | |
| | | 221 | 52 ms | α | 14.518 | | |
| | | 222 | 5 s | α | 16.617 | | |
| | | 222m | 66 s | α \approx 90%, IT $<$ 10%, EC \approx 1% | | | |
| | | 223 | 2.2 m | α 99%, EC 1% | 17.825 | (5/2-) | |
| | | 224 | 2.3 h | EC \approx 90%, α \approx 10% | 20.219 | | |
| | | 225 | 10.0 d | α | 21.626 | (3/2-) | |
| | | 226 | 29 h | β^- 83%, EC 17%, α 0.006% | 24.301 | (1-) | |
| | | 227 | 21.773 y | β^- 98.62%, α 1.38% | 25.850 | 3/2- | 900 Fe |
| | | 228 | 6.13 h | β^- | 28.895 | (3+) | |
| | | 229 | 62.7 m | β^- | 30.72 | (3/2+) | |
| | | 230 | 122 s | β^- | 33.76 s | | |
| | | 231 | 7.5 m | β^- | 35.91 | (1/2+) | |
| | | 232 | 35 s | [β^-] | 39.15 s | | |
| 90 | Th | 215 | 1.2 s | α | 10.87 | (1/2-) | |
| | | 216 | 0.028 s | α | 10.39 s | 0+ | |
| | | 217 | 0.25 ms | α | 12.141 | | |
| | | 218 | 0.10 μ s | α | 12.362 | 0+ | |
| | | 219 | 1.05 μ s | α | 14.470 | | |
| | | 220 | 10 μ s | α | 14.663 | 0+ | |
| | | 221 | 1.7 ms | α | 16.934 | | |
| | | 222 | 2.8 ms | α | 17.197 | 0+ | |
| | | 223 | 0.66 s | α | 19.256 | | |
| | | 224 | 1.04 s | α | 19.993 | 0+ | |

TABLE OF NUCLIDES

| Z | Nuclide El A | Abundance or $t_{1/2}$ | Decay Mode | Δ (MeV) | J π | σ_a (b) |
|----|-----------------|----------------------------------|--|-----------------|---------|------------------------------|
| 90 | Th 225 | 8.0 m | α \approx 90%, EC \approx 10% | 22.303 | (3/2+) | |
| | 226 | 30.9 m | α | 23.189 | 0+ | |
| | 227 | 18.718 d | α | 25.806 | 3/2+ | 200 14 |
| | 228 | 1.9131 y | α | 26.758 | 0+ | 100 14 |
| | 229 | 7.3 $\times 10^4$ y | α | 29.581 | 5/2+ | 30, |
| | 230 | 8.0 $\times 10^4$ y | α | 30.861 | 0+ | 40 |
| | 231 | 25.52 h | β^- | 33.812 | 5/2+ | |
| | 232 | 100% 1.41 $\times 10^{10}$ y | α | 35.447 | 0+ | 7.4 |
| | 233 | 22.3 m | β^- | 38.732 | 1/2+ | 1.4 $\times 10^{-3}$ 14 |
| | 234 | 24.10 d | β^- | 40.612 | 0+ | 2.0 |
| | 235 | 6.9 m | β^- | 44.15 s | | |
| | 236 | 37 m | β^- | 46.64 s | 0+ | |
| 91 | Pa 216 | 0.20 s | α | | | |
| | 217 | \approx 10 ms | α | | | |
| | 222 | 5.7 ms | α | 21.959 | | |
| | 223 | 6 ms | α | 22.330 | | |
| | 224 | 0.9 s | α | 23.798 | | |
| | 225 | 1.8 s | α | 24.320 | | |
| | 226 | 1.8 m | α 74%, EC 26% | 26.029 | | |
| | 227 | 38.3 m | α \approx 85%, EC \approx 15% | 26.832 | (5/2-) | |
| | 228 | 22 h | EC \approx 98%, α \approx 2% | 28.870 | 3+ | |
| | 229 | 1.4 d | EC 99.75%, α 0.25% | 29.687 | (5/2+) | |
| | 230 | 17.7 d | EC 90%, β^- 10%, α 0.0032% | 32.166 | (2-) | 1.5 $\times 10^{-3}$ 14 |
| | 231 | 3.28 $\times 10^4$ y | α | 33.423 | 3/2- | 800 14 |
| | 232 | 1.31 d | β^- | 35.934 | (2-) | 700 14 |
| | | | | | | 20 m |
| | 233 | 27.0 d | β^- | 37.487 | 3/2- | 19 q |
| | 234 | 6.75 h | β^- | 40.349 | 4(+) | <5 $\times 10^{-3}$ 14 |
| | 234m | 1.175 m | β^- 99.87%, IT 0.13% | \approx 40.43 | (0-) | <500 14 |
| | 235 | 24.2 m | β^- | 42.32 | (3/2-) | |
| 92 | U 236 | 9.1 m | β^- | 45.54 | (1-) | |
| | 237 | 8.7 m | β^- | 47.64 | (1/2+) | |
| | 238 | 2.3 m | β^- | 51.27 | (3-) | |
| | 226 | 0.5 s | α | 27.186 | 0+ | |
| | 227 | 1.1 m | α | 28.88 s | | |
| | 228 | 9.1 m | α \geq 95%, EC \leq 5% | 29.221 | 0+ | |
| | 229 | 58 m | EC \approx 80%, α \approx 20% | 31.201 | (3/2+) | |
| | 230 | 20.8 d | α | 31.607 | 0+ | 23 14 |
| | 231 | 4.2 d | EC 99+%, α 0.0055% | 33.78 | (5/2) | \approx 300 14 |
| | 232 | 72 y | α | 34.597 | 0+ | 74 |
| | | | | | | 76, |
| | 233 | 1.592 $\times 10^5$ y | α | 36.915 | 5/2+ | 530, |
| | | | | | | 46, |
| | 234 | 0.0054% 2.45 $\times 10^5$ y | α | 38.143 | 0+ | 100 q+m |
| | 235 | 0.720% 7.038 $\times 10^8$ y | α | 40.916 | 7/2- | 580, |
| | 235m | 26 m | IT | 40.316 | 1/2+ | 98 |
| | 235f | 20 ns | SF | | | |
| | 236 | 2.342 $\times 10^7$ y | α | 42.442 | 0+ | 5.1 |
| | 236f | 0.12 μ s | SF | 44.79 | | |
| | 237 | 6.75 d | β^- | 45.389 | 1/2+ | 400 |
| | 238 | 99.275% 4.468 $\times 10^9$ y | α | 47.307 | 0+ | 2.7 |
| | 238f | 0.19 μ s | IT \approx 96%, SF \approx 4% | 49.866 | (0+) | |
| | 239 | 23.5 m | β^- | 50.572 | 5/2+ | 22 14 |
| | 240 | 14.1 h | β^- | 52.712 | 0+ | 15 14 |
| 93 | Np 229 | 4.0 m | α \geq 50%, EC \leq 50% | 33.758 | | |
| | 230 | 4.6 m | α 99+%, EC+ β^- \leq 0.97% | 35.232 | | |
| | 231 | 48.8 m | EC <99%, α >1% | 35.626 | (5/2) | |

TABLE OF NUCLIDES

| Z | El | Nuclide A | Abundance or $t_{1/2}$ | Decay Mode | Δ (MeV) | $J\pi$ | $\sigma_n(b)$ |
|----|----|-------------------|---------------------------|--|----------------|--------|--|
| 93 | Np | 232 | 14.7 m | EC | 37.29 s | | |
| | | 233 | 36.2 m | EC 99+%, α 0.001% | 38.01 s | (5/2+) | |
| | | 234 | 4.4 d | EC 99.95%, β^- 0.05% | 39.951 | (0+) | $1.0 \times 10^{-3} \text{ }^2\text{p}$ |
| | | 235 | 396 d | EC 99+%, α 0.0016% | 41.040 | 5/2+ | $160 \text{ }^2\text{p}$ |
| | | 236 | 1.1×10^5 y | EC 91%, β^- 9% | | (6-) | $3 \times 10^3 \text{ }^2\text{p}$ |
| | | 236 | 22.5 h | EC 50%, β^- 50% | 43.426 | 1(-) | |
| | | 237 | 2.14×10^6 y | α | 44.869 | 5/2+ | 180 |
| | | 237f | 45 ns | SF | 47.57 | | |
| | | 238 | 2.117 d | β^- | 47.453 | 2+ | $2.1 \times 10^{-3} \text{ }^2\text{p}$ |
| | | | | | | | $32 \text{ }^2\text{p}$ |
| | | | | | | | $\approx 20 \text{ }^2\text{p}$ |
| | | 239 | 2.35 d | β^- | 49.306 | 5/2+ | |
| | | 240 | 67 m | β^- | 52.21 | (5+) | |
| | | 240m | 7.5 m | β^- 99.89%, IT 0.11% | | 1(-) | |
| | | 241 | 16.0 m | β^- | 54.31 | | |
| 94 | Pu | 232 | 34 m | EC 80%, α 20% | 38.362 | 0+ | |
| | | 233 | 20.9 m | EC 99.86%, α 0.12% | 40.042 | | |
| | | 234 | 8.8 h | EC 94%, α 6% | 40.342 | 0+ | |
| | | 235 | 25.6 m | EC 99+%, α 0.003% | 42.16 | (5/2+) | |
| | | 235f | 30 ns | SF | 43.86 | | |
| | | 236 | 2.85 y | α | 42.889 | 0+ | $150 \text{ }^2\text{p}$ |
| | | 236f ₁ | 0.03 ns | SF | | | |
| | | 236f ₂ | 0.03 μ s | SF | 46.39 | | |
| | | 237 | 45.4 d | EC 99+%, α 0.0033% | 45.087 | 7/2- | $2.1 \times 10^{-3} \text{ }^2\text{p}$ |
| | | 237m | 0.18 s | IT | 45.233 | 1/2+ | |
| | | 237f ₁ | 0.11 μ s | SF | 47.39 | | |
| | | 237f ₂ | 1.1 μ s | SF | 47.69 | | |
| | | 238 | 67.74 y | α | 46.161 | 0+ | $500 \text{ }^2\text{p}$ |
| | | | | | | | $17 \text{ }^2\text{p}$ |
| | | 238f ₁ | 0.6 ns | SF | 48.56 | | |
| | | 238f ₂ | 6 ns | SF | 49.86 | | $742 \text{ }^2\text{p}$ |
| | | 239 | 2.41×10^4 y | α | 48.585 | 1/2+ | 271 |
| | | 239f ₁ | 8 μ s | SF | 50.79 | | |
| | | 239f ₂ | 0.01 μ s ² | SF | | | |
| | | 240 | 6.57×10^3 y | α | 50.123 | 0+ | 290 |
| | | 240f | 3.8 ns | SF | 52.52 | (0+) | |
| 95 | Am | 241 | 14.4 y | β^- 99+%, α 0.0024% | 52.953 | 5/2+ | $1.01 \times 10^{-3} \text{ }^2\text{p}$ |
| | | 241f ₁ | 24 μ s | SF | 54.95 | | |
| | | 241f ₂ | 30 ns? | SF | | | |
| | | 242 | 3.76×10^3 y | α | 54.715 | 0+ | 19 |
| | | | | | | | $< 0.2 \text{ }^2\text{p}$ |
| | | 242f ₁ | 4 ns | SF | | | |
| | | 242f ₂ | 28 ns | SF | | | |
| | | 243 | 4.956 h | β^- | 57.752 | 7/2+ | $200 \text{ }^2\text{p}$ |
| | | | | | | | $100 \text{ }^2\text{p}$ |
| | | 243f | 0.05 μ s | SF | 59.55 | | |
| | | 244 | 8.1×10^3 y | α | 59.803 | 0+ | 1.7 |
| | | 244f | 0.4 ns | SF | | | |
| | | 245 | 10.5 h | β^- | 63.157 | (9/2-) | |
| | | 246 | 10.85 d | β^- | 65.29 | 0+ | 150 |
| | | | | | | | |
| | | 232 | 1.4 mf | [EC+ β^+], [EC+ β^+] ⁺ SF | | | |
| | | 234 | 2.6 m | [EC+ β^+], [EC+ β^+] ⁺ SF | 44.46 s | | |
| | | 236f | ? | SF | | | |
| | | 238f | ? | SF | | | |
| | | 237 | 1.22 h | EC 99+%, α 0.025% | 46.64 s | 5/2(-) | |
| | | 237f | 5 ns | SF | 48.74 s | | |
| | | 238 | 1.63 h | EC 99+%, α $1.0 \times 10^{-4}\%$ | 48.417 | 1+ | |
| | | 238f | 35 μ s | SF | 50.72 | | |
| | | 239 | 11.9 h | EC 99+%, α 0.010% | 49.369 | 5/2- | |
| | | 239f | 0.16 μ s | SF | 51.89 | | |
| | | 240 | 50.8 h | EC 99+%, α $1.9 \times 10^{-4}\%$ | 51.443 | (3-) | |
| | | 240f | 0.9 ns | SF | 54.04 | | |

TABLE OF NUCLIDES

| Z | Nuclide El A | Abundance or $t_{1/2}$ | Decay Mode | Δ (MeV) | $J\pi$ | $\sigma_n(b)$ |
|----|----------------------|---------------------------|--|----------------|--------|---|
| 95 | Am 241 | 433 y | α | 52.932 | 5/2- | 562 _g 62 _m 3.2, |
| | 241f | 1.5 μ s | SF | 55.13 | | |
| | 242 | 16.01 h | β^- 82.7%, EC 17.3% | 55.463 | 1- | 2.1 $\times 10^3$ _f |
| | 242m | 152 y | IT 99.52%, α 0.48% | 55.511 | 5- | 7.4 $\times 10^3$ _f |
| | 242f | 14.0 ms | SF | 57.76 | | 1.6 $\times 10^3$ _g |
| | 243 | 7.37 $\times 10^3$ y | α | 57.170 | 5/2- | 80 _g 6 _m 9 |
| | 243f | 5 μ s | SF | 59.17 | | |
| | 244 | 10.1 h | β^- | 59.877 | (6-) | 2.2 $\times 10^3$ _f |
| | 244m | 26 m | β^- 99+%, EC 0.036% | 59.948 | (1-) | 1.6 $\times 10^3$ _f |
| | 244f | 1.1 ms | SF | 61.48 | | |
| | 245 | 2.05 h | β^- | 61.897 | (5/2)+ | |
| | 245f | 0.6 μ s | SF | | | |
| | 246 | 39 m | β^- | | (7-) | |
| | 246 | 25.0 m | β^- | 64.92 | (2-) | |
| | 246f | 0.07 ms | SF | | | |
| | 247 | 24 m | β^- | 67.13 s | (5/2) | |
| 96 | Cm 238 | 2.3 h | EC <90%, α >10% | 49.398 | 0+ | |
| | 239 | 2.9 h | EC | 51.09 s | | |
| | 240 | 27 d | α | 51.712 | 0+ | |
| | 240f | 10 ps | SF | | | |
| | 241 | 32.8 d | EC 99.0%, α 1.0% | 53.696 | 1/2+ | |
| | 241f | 15 ns | SF | 55.70 | | |
| | 242 | 162.8 d | α | 54.802 | 0+ | 20 <5 _f |
| | 242f ₁ | 0.04 ns | SF | | | |
| | 242f ₂ | 0.2 μ s | SF | 57.60 | | |
| | 243 | 28.5 y | α 99.74%, EC 0.26% | 57.177 | 5/2+ | 1.0 $\times 10^3$ _f 610 _f 130 |
| | 243f | 0.04 μ s | SF | 58.68 | | |
| | 244 | 18.11 y | α | 58.450 | 0+ | 14 1.0 _f |
| | 244(f ₁) | <5 ps ^a | [SF] | | | |
| | 244(f ₂) | >100 ns | SF | 61.45 | | |
| | 245 | 8.5 $\times 10^3$ y | α | 61.001 | 7/2+ | 2.0 $\times 10^3$ _f 350 |
| | 245f | 13 ns | SF | 62.70 | | |
| | 246 | 4.7 $\times 10^3$ y | α | 62.615 | 0+ | 1.3 0.2 _f |
| | 247 | 1.6 $\times 10^7$ y | α | 65.530 | 9/2- | 100 _f 60 |
| | 248 | 3.5 $\times 10^3$ y | α 91.74%, SF 8.26% | 67.389 | 0+ | 4 _m 0.3 _f |
| 97 | 249 | 65 m | β^- | 70.748 | 1/2+ | 2 _g |
| | 250 | $\leq 1.1 \times 10^6$ y | SF | 72.986 | 0+ | ≈ 80 _g |
| | 251 | 16.8 m | β^- | 76.67 s | (1/2+) | |
| | Bk 240 | 5 m | EC+ β^+ , (EC+ β^+)SF 0.001% | 55.71 s | | |
| | 242 | 7 m | EC | 57.80 s | | |
| | 242f ₁ | 0.6 μ s | SF | | | |
| | 242f ₂ | 10 ns | SF | | | |
| | 243 | 4.5 h | EC 99.85%, α 0.15% | 58.685 | (3/2-) | |
| | 243f | 5 ns | SF | 60.88 | | |
| | 244 | 4.4 h | EC 99+%, α 0.006% | 60.646 | | |
| | 244f | 0.8 μ s | SF | | | |
| | 245 | 4.90 d | EC 99.88%, α 0.12% | 61.811 | 3/2- | |
| | 245f | 2 ns | SF | | | |
| | 246 | 1.80 d | EC | 64.02 s | (2-) | |
| | 247 | 1.4 $\times 10^3$ y | α | 65.484 | (3/2-) | |

TABLE OF NUCLIDES

| Z | El | A | Nuclide | Abundance or $t_{1/2}$ | Decay Mode | $Q(\text{MeV})$ | J^π | $\sigma_n(b)$ |
|-----|----|------|---------|----------------------------|---|-----------------|---------|----------------------------------|
| 97 | Bk | 248 | | 23.5 h | β^- 70%, EC 30% | 67.99 s | (1-) | |
| | | 248 | | >9 y | α | 67.99 s | (6+) | |
| | | 249 | | 0.88 y | β^- 99+%, α 0.0015% | 69.846 | 7/2+ | $1.0 \times 10^{25} \text{ }^a$ |
| | | 250 | | 3.22 h | β^- | 72.950 | 2- | $1.0 \times 10^{25} \text{ }^a$ |
| | | 251 | | 56 m | β^- | 75.25 s | (3/2-) | |
| 98 | Cf | 240 | | 1.1 m | α | 58.03 s | 0+ | |
| | | 241 | | 4 m | α | 59.19 s | | |
| | | 242 | | 3.5 m | α | 59.332 | 0+ | |
| | | 243 | | 11 m | [EC] $\approx 86\%$, $\alpha \approx 14\%$ | 60.91 s | | |
| | | 244 | | 19 m | α | 61.465 | | |
| | | 245 | | 44 m | [C] $\approx 70\%$, $\alpha \approx 30\%$ | 63.377 | 0+ | |
| | | 246 | | 35.7 h | α | 64.096 | 0+ | |
| | | 246f | | 0.05 μs | SF | | | |
| | | 247 | | 3.15 h | EC 99.96%, α 0.04% | 66.15 s | (7/2+) | |
| | | 248 | | 333 d | α | 67.243 | 0+ | |
| | | 249 | | 351 y | α | 69.722 | 9/2- | $1.63 \times 10^{25} \text{ }^a$ |
| | | | | | | | | 480 μc |
| | | 250 | | 13.1 y | α | 71.170 | 0+ | $2.0 \times 10^{25} \text{ }^a$ |
| | | | | | | | | <350 μc |
| | | 251 | | 9.0×10^2 y | α | 74.127 | 1/2+ | $4 \times 10^{25} \text{ }^a$ |
| | | | | | | | | $2.9 \times 10^{25} \text{ }^a$ |
| | | 252 | | 2.64 y | α 96.91%, SF 3.09% | 76.031 | 0+ | 32 μc |
| | | 253 | | 17.8 d | β^- 99.69%, α 0.31% | 79.299 | (7/2+) | $1.3 \times 10^{25} \text{ }^a$ |
| | | 254 | | 60.5 d | SF 99.69%, α 0.31% | 81.342 | 0+ | 100 μc |
| | | 255 | | ≈ 2 h ² | [β^-] | | | |
| | | 256 | | 12 m | SF | | 0+ | |
| 99 | Es | 243 | | 21 s | α | 64.80 s | | |
| | | 244 | | 37 s | EC+ β^- 96%, α 4% | 65.97 s | | |
| | | 245 | | 1.3 m | EC 60%, α 40% | 66.38 s | | |
| | | 246 | | 7.7 m | EC+ β^- 90%, α 10% | 67.93 s | | |
| | | 247 | | 4.7 m | EC $\approx 93\%$, $\alpha \approx 7\%$ | 68.550 | | |
| | | 248 | | 28 m | EC $\approx 99.7\%$, $\alpha \approx 0.3\%$ | 70.22 s | | |
| | | 249 | | 1.70 h | EC 99.4%, α 0.6% | 71.116 | (7/2+) | |
| | | 250 | | 8.6 h | EC | 73.17 s | (6+) | |
| | | 250 | | 2.1 h | EC | 73.17 s | (1-) | |
| | | 251 | | 3.3 h | EC 99.5%, α 0.5% | 74.507 | (3/2-) | |
| | | 252 | | 472 d | α 78%, EC 22% | 77.15 s | (5-) | |
| | | | | | | | | 160 μc |
| | | 253 | | 20.47 d | α | 79.012 | 7/2+ | <3 μc |
| | | | | | | | | <60 μc |
| | | 254 | | 276 d | α | 81.992 | (7+) | $2.8 \times 10^{25} \text{ }^a$ |
| | | 254m | | 39.3 h | β^- 99.59%, α 0.33%, EC 0.08% | 82.070 | 2+ | $1.8 \times 10^{25} \text{ }^a$ |
| | | 255 | | 38.3 d | β^- 92.0%, α 8.0%, SF 0.004% | 84.12 s | (7/2+) | 65 μc |
| | | 256 | | 7.6 h | β^- | 87.26 s | (7,8) | |
| | | 256 | | 22 m | β^- | 87.26 s | | |
| 100 | Fm | 242 | | 0.8 ms ² | SF | | 0+ | |
| | | 244 | | 3.3 ms | SF | 68.77 s | 0+ | |
| | | 245 | | 4 s | α | 70.02 s | | |
| | | 246 | | 1.2 s | α 92%, SF 8% | 70.131 | 0+ | |
| | | 247 | | 9 s | α | 71.54 s | | |
| | | 247 | | 35 s | α $\approx 50\%$, EC $\approx 50\%$ | 71.54 s | | |
| | | 248 | | 36 s | α 99.9%, SF 0.1% | 71.891 | 0+ | |
| | | 249 | | 3 m | α | 73.50 s | | |
| | | 250 | | 30 m | α , EC? | 74.069 | 0+ | |
| | | 250m | | 1.8 s | IT | | | |
| | | 251 | | 5.3 h | EC 98.2%, α 1.8% | 76.00 s | (9/2-) | |
| | | 252 | | 25.4 h | α | 76.822 | 0+ | |
| | | 253 | | 3.0 d | EC 88%, α 12% | 79.346 | 1/2+ | |
| | | 254 | | 3,240 h | α 99+%, SF 0.0590% | 80.899 | 0+ | |
| | | 256 | | 20.1 h | α | 83.793 | 7/2+ | $3.3 \times 10^{25} \text{ }^a$ |

TABLE OF NUCLIDES

| Z | Nuclide El A | Abundance or $t_{1/2}$ | Decay Mode | $\Delta(\text{MeV})$ | J^π | $\sigma_n(\text{b})$ |
|-----|-----------------|---------------------------|--|----------------------|---------|---|
| 100 | Fm 256 | 2.63 h | SF 91.9%, α 8.1% | 85.481 | 0+ | |
| | 257 | 100.5 d | α 99.79%, SF 0.21% | 88.588 | (9/2+) | $6 \times 10^3 \frac{\text{K}}{\text{e}}$ $3.0 \times 10^3 \rho$ |
| | 258 | 0.4 ms | SF | | 0+ | |
| | 259 | 1.5 s | SF | | | |
| | 248 | 7 s | EC + β^+ 80%, α 20% | 77.00 s | | |
| | 249 | 24 s | EC + β^+ 580%, α $\geq 20\%$ | 77.26 s | | |
| | 250 | 0.9 m | EC + β^+ 94%, α 6% | 78.60 s | | |
| | 251 | 4.0 m | EC 290%, α $\leq 10\%$ | 79.03 s | | |
| | 252 | 2 m | EC + β^+ | 80.50 s | | |
| | 254 | 10 m | EC | 83.39 s | | |
| 101 | Md 254 | 28 m | EC | 83.39 s | | |
| | 255 | 27 m | EC 92%, α 8% | 84.843 | (7/2-) | |
| | 256 | 75 m | EC 90.1%, α 9.9% | 87.42 s | | |
| | 257 | 5.0 h | EC 90%, α 10% | 89.04 s | (7/2-) | |
| | 258 | 56 d | α | 91.82 s | | |
| | 258 | 43 m | EC(?) | 91.82 s | | |
| | 259 | 1.6 h | SF | | | |
| | 250 | 0.25 ms? | SF | | 0+ | |
| | 251 | 0.8 s | α | | | |
| | 252 | 2.3 s | α 73%, SF 27% | 82.867 | 0+ | |
| 102 | 253 | 1.7 m | α | 84.33 s | | |
| | 254 | 55 s | α | 84.729 | 0+ | |
| | 254m | 0.28 s | IT | | | |
| | 255 | 3.1 m | α 62%, EC 38% | 86.87 s | (1/2+) | |
| | 256 | 3.2 s | α $\approx 99.7\%$, SF $\approx 0.3\%$ | 87.801 | 0+ | |
| | 257 | 26 s | α | 90.223 | | |
| | 258 | 1.2 ms | SF | 91.52 s | 0+ | |
| | 259 | 58 m | α $\approx 78\%$, EC $\approx 22\%$ | 94.012 | | |
| | 255 | 22 s | α | 90.25 s | | |
| | 256 | 27 s | α | 91.82 s | | |
| 103 | 257 | 0.65 s | α | 92.97 s | | |
| | 258 | 4.3 s | α | 94.82 s | | |
| | 259 | 5 s | α | 95.97 s | | |
| | 260 | 3.0 m | α | 98.14 s | | |
| | 253 | 1.8 s? | SF $\approx 50\%$ (?) | | | |
| | 254 | 0.5 ms? | SF | | 0+ | |
| | 255 | 2 s? | SF $\approx 50\%$ | | | |
| 104 | 256 | ≈ 5 ms? | SF | | 0+ | |
| | 257 | 5 s | α | 95.95 s | | |
| | 258 | 11 ms? | SF | 96.55 s | 0+ | |
| | 259 | 3 s | α | 98.50 s | | |
| | 260 | 0.08 s? | SF | 99.23 s | 0+ | |
| | 261 | 1.1 m | α | 101.25 s | | |
| | 255 | ≈ 1.2 s? | SF $\approx 20\%$ | | | |
| 105 | 257 | 5 s? | SF $\approx 20\%$ | | | |
| | 260 | 1.5 s | α 90%, SF 10% | 103.65 s | | |
| | 261 | 2 s | α $\approx 75\%$, SF $\approx 25\%$ | 104.46 s | | |
| | 262 | 0.7 m | α $\approx 40\%$ | 106.04 s | | |
| | 259 | 4 to 10 ms? | SF $\approx 70\%$ (?) | | | |
| 106 | 263 | 0.9 s | α | | | |
| | 261 | 1 to 2 ms? | SF $\approx 20\%$ | | | |

APPENDIX N

Chart of the Nuclides

On the following pages the *Karlsruher Nuklidkarte* (by W. Seelmann-Eggebert, G. Pfennig and H. Münzel) is reproduced by the kind permission of Prof. Seelmann-Eggebert. The chart shows Z on the ordinate and N on the abscissa. The axes are thus interchanged when compared with Fig. 3.1 (but same as for Fig. 3.8). In the original chart colors are used to make it easy to distinguish between different decay modes.

The following abbreviations and symbols are used:

| | |
|--|--|
| μ s, ms, s | Mikrosekunde, Millisekunde, Sekunde microsecond, millisecond, second |
| m, h, d, a | Minute, Stunde, Tag, Jahr minute, hour, day, year |
| lv | Isomerenübergang isomeric transition |
| β^+ | Spontaneffaltung spontaneous fission |
| e^- | Konvergenzelektronen conversion electrons |
| β^- | Zerfall durch Positronen-Emission decay by positron emission |
| β^- , β^- oder α -Emission nach einem β^- -Übergang | β^- , β^- oder α -Emission nach einem β^- -Übergang |
| (n), (p), (n) | n, p or e emission following β^- decay |

| | |
|---------------------|--|
| M , B | Nuklid zerfällt in den metastabilen und/oder Grundzustand des Tochternuklids nuclide decays to the metastable and/or ground state of the daughter nuclide |
| σ , σ | Spalt- und (n, γ)-Querschnitt für thermische Neutronen [3] fission- and (n, γ)-cross section for thermal neutrons [3] |

Element

| | |
|---------------|---|
| Cd | symbol of the element |
| 112,40 | atomic weight |
| σ 2450 | absorption cross section for thermal neutrons [3] |

Unstable Nuclides

| | |
|---------------------|---|
| Ge 81 | symbol of the element, number of nucleons |
| 10,1 s | half-life |
| β^- 5,3, -5,8 | β^- -energies in MeV, γ -energies in keV |
| γ 330 188 | |

symbol of the element, number of nucleons

half-life

β^- -energies in MeV, γ -energies in keV

0,2% fission yield for ^{235}U fission with thermal neutrons [3]

Stable Nuclide

| | |
|---|---|
| Fe 56 | symbol of the element, number of nucleons |
| 2,19% | isotopic abundance (atom %) |
| (β^+ , γ) cross sections for the formation of ^{56}Fe and of ^{57}Fe [3] | |

symbol of the element, number of nucleons

isotopic abundance (atom %)

(β^+ , γ) cross sections for the formation of ^{56}Fe and of ^{57}Fe [3]

Nuclide with Metastable State

| | |
|--------------|---|
| Sr 85 | symbol of the element, number of nucleons |
| 87,7 m | left part: metastable state |
| γ 217 | right part: ground state |
| γ 161 | |

symbol of the element, number of nucleons

left hand side: metastable state

right hand side: ground state

left part: metastable state

right part: ground state

energy of the isomeric transition (keV)

(n, γ) cross section [3]

| | |
|-------------------|---|
| Am 240 | symbol of the element, number of nucleons |
| 50,8 h | left hand side: spontaneous fission former $T < 0,1$ s |
| α 5,328 | right hand side: decay data of the ground state, " α " indicates that the daughter ^{236}Pu is formed |
| γ 595, 598 | to at least 95% and ^{236}Pu to at most 5% |
| γ | |

left hand side: spontaneous fission former $T < 0,1$ s

right hand side: decay data of the ground state, " α " indicates that the daughter ^{236}Pu is formed to at least 95% and ^{236}Pu to at most 5%

Primordial Nuclide

| | |
|-----------------------|---|
| Fr 100 | symbol of the element, number of nucleons |
| $6,1 \cdot 10^{10}$ a | isotopic abundance (atom %) |
| α 3,17 | |
| σ 180 | |

symbol of the element, number of nucleons

isotopic abundance (atom %)

| | | | | | | | | | | | | |
|---|--------------------------|---------------------------------|---------------------------------|---------------------------------|---------------------------------|---------------------------------|---------------------------------|---------------------------------|---------------------------------|---------------------------------|---------------------------------|---------------------------------|
| 8 | O 15.8994 +0.00070 | O13 50.0 m +0.0 m +0.0 | O14 70.89 m +0.15 m | O15 203 m +0.1 m | O16 271 m +0.2 m +0.2 | O17 13.8 m +0.1 m +0.1 | O18 271 m +0.2 m +0.2 | O19 13.8 m +0.1 m +0.1 | O20 271 m +0.2 m +0.2 | O21 13.8 m +0.1 m +0.1 | O22 271 m +0.2 m +0.2 | O23 13.8 m +0.1 m +0.1 |
| 7 | N 14.0087 +0.00070 | N12 10.0 m +0.1 m +0.1 | N13 6.0 m +0.1 m +0.1 | N14 10.0 m +0.1 m +0.1 | N15 6.0 m +0.1 m +0.1 | N16 10.0 m +0.1 m +0.1 | N17 6.0 m +0.1 m +0.1 | N18 10.0 m +0.1 m +0.1 | N19 6.0 m +0.1 m +0.1 | N20 10.0 m +0.1 m +0.1 | N21 6.0 m +0.1 m +0.1 | N22 10.0 m +0.1 m +0.1 |
| 6 | C 12.01 +0.00070 | C10 10.0 m +0.1 m +0.1 | C11 20.3 m +0.1 m +0.1 | C12 10.0 m +0.1 m +0.1 | C13 20.3 m +0.1 m +0.1 | C14 10.0 m +0.1 m +0.1 | C15 20.3 m +0.1 m +0.1 | C16 10.0 m +0.1 m +0.1 | C17 20.3 m +0.1 m +0.1 | C18 10.0 m +0.1 m +0.1 | C19 20.3 m +0.1 m +0.1 | C20 10.0 m +0.1 m +0.1 |
| 5 | B 10.01 +0.00070 | B10 10.0 m +0.1 m +0.1 | B11 20.3 m +0.1 m +0.1 | B12 10.0 m +0.1 m +0.1 | B13 20.3 m +0.1 m +0.1 | B14 10.0 m +0.1 m +0.1 | B15 20.3 m +0.1 m +0.1 | B16 10.0 m +0.1 m +0.1 | B17 20.3 m +0.1 m +0.1 | B18 10.0 m +0.1 m +0.1 | B19 20.3 m +0.1 m +0.1 | B20 10.0 m +0.1 m +0.1 |
| 4 | L 10.01 +0.00070 | L10 10.0 m +0.1 m +0.1 | L11 20.3 m +0.1 m +0.1 | L12 10.0 m +0.1 m +0.1 | L13 20.3 m +0.1 m +0.1 | L14 10.0 m +0.1 m +0.1 | L15 20.3 m +0.1 m +0.1 | L16 10.0 m +0.1 m +0.1 | L17 20.3 m +0.1 m +0.1 | L18 10.0 m +0.1 m +0.1 | L19 20.3 m +0.1 m +0.1 | L20 10.0 m +0.1 m +0.1 |
| 3 | H 10.01 +0.00070 | H10 10.0 m +0.1 m +0.1 | H11 20.3 m +0.1 m +0.1 | H12 10.0 m +0.1 m +0.1 | H13 20.3 m +0.1 m +0.1 | H14 10.0 m +0.1 m +0.1 | H15 20.3 m +0.1 m +0.1 | H16 10.0 m +0.1 m +0.1 | H17 20.3 m +0.1 m +0.1 | H18 10.0 m +0.1 m +0.1 | H19 20.3 m +0.1 m +0.1 | H20 10.0 m +0.1 m +0.1 |
| 2 | N 10.01 +0.00070 | N10 10.0 m +0.1 m +0.1 | N11 20.3 m +0.1 m +0.1 | N12 10.0 m +0.1 m +0.1 | N13 20.3 m +0.1 m +0.1 | N14 10.0 m +0.1 m +0.1 | N15 20.3 m +0.1 m +0.1 | N16 10.0 m +0.1 m +0.1 | N17 20.3 m +0.1 m +0.1 | N18 10.0 m +0.1 m +0.1 | N19 20.3 m +0.1 m +0.1 | N20 10.0 m +0.1 m +0.1 |
| 1 | O 10.01 +0.00070 | O10 10.0 m +0.1 m +0.1 | O11 20.3 m +0.1 m +0.1 | O12 10.0 m +0.1 m +0.1 | O13 20.3 m +0.1 m +0.1 | O14 10.0 m +0.1 m +0.1 | O15 20.3 m +0.1 m +0.1 | O16 10.0 m +0.1 m +0.1 | O17 20.3 m +0.1 m +0.1 | O18 10.0 m +0.1 m +0.1 | O19 20.3 m +0.1 m +0.1 | O20 10.0 m +0.1 m +0.1 |

KARLSRUHER NUKLIDKARTE

4. Auflage 1974

CHART OF THE NUCLIDES - TABLEAU DES NUCLÉIDES - TABLA DE NUCLEOS

W. Seelmann-Eggebert, G. Pfennig, H. Münzel
Kernforschungszentrum Karlsruhe
Institut für Radiochemie

Gesellschaft für Kernforschung mbH, Karlsruhe
Alle Rechte vorbehalten - All rights reserved
Tous droits réservés - Todos los derechos están reservados

Zu beziehen von:
For sale by:
En venta chez:
Puede adquirirse en:

Gertsch u. Sohn Verlag
8 München 34, Barer Str. 32
ISBN 3 87253 064 4

Gedruckt von:
Imprimé par:
Impreso por:

Ernst Klett Druckerei
7 Stuttgart 1

| | | |
|----|--|-----------------------------------|
| 18 | Ar 39.948 133 ms P 320 0.076 | Ar 33 133 ms P 320 0.076 |
| | Cl 35.453 133 ms P 320 0.076 | Cl 32 133 ms P 320 0.076 |
| 17 | S 32.06 133 ms P 320 0.076 | S 30 133 ms P 320 0.076 |
| | P 30.97376 133 ms P 320 0.076 | P 28 133 ms P 320 0.076 |
| 16 | Si 28.086 133 ms P 320 0.076 | Si 26 133 ms P 320 0.076 |
| | Al 23 133 ms P 320 0.076 | Al 25 133 ms P 320 0.076 |
| 15 | Mg 20.7 133 ms P 320 0.076 | Mg 22 133 ms P 320 0.076 |
| | Na 20 133 ms P 320 0.076 | Na 22 133 ms P 320 0.076 |
| 14 | Ne 16 133 ms P 320 0.076 | Ne 18 133 ms P 320 0.076 |
| | F 17 133 ms P 320 0.076 | F 19 133 ms P 320 0.076 |
| 13 | O 16 133 ms P 320 0.076 | O 18 133 ms P 320 0.076 |
| | N 14 133 ms P 320 0.076 | N 16 133 ms P 320 0.076 |
| 12 | C 12 133 ms P 320 0.076 | C 14 133 ms P 320 0.076 |
| | B 10 133 ms P 320 0.076 | B 12 133 ms P 320 0.076 |
| 11 | Li 6 133 ms P 320 0.076 | Li 8 133 ms P 320 0.076 |
| | He 4 133 ms P 320 0.076 | He 6 133 ms P 320 0.076 |
| 10 | H 1 133 ms P 320 0.076 | H 3 133 ms P 320 0.076 |
| | | |
| 9 | | |
| | | |

[illegible]

[illegible]

| | | | | | | | | | | | | | | | | | | | | | | | | | | | | | | | | | | | | | | | | | | | | | | | | | | | | | | | | | | | | | | | | | | | | | | | | | | | | | | | | | | | | | | | | | | | | | | | | | | | | | | | | | | | | | | | | | | | | | | | | | | | | | | | | | | | | | | | | | | | | | | | | | | | | | | | | | | | | | | | | | | | | | | | | | | | | | | | | | | | | | | | | | | | | | | | | | | | | | | | | | | | | | | | | | | | | | | | | | | | | | | | | | | | | | | | | | | | | | | | | | | | | | | | | | | | | | | | | | | | | | | | | | | | | | | | | | | | | | | | | | | | | | | | | | | | | | | | | | | | | | | | | | | | | | | | | | | | | | | | | | | | | | | | | | | | | | | | | | | | | | | | | | | | | | | | | | | | | | | | | | | | | | | | | | | | | | | | | | | | | | | | | | | | | | | | | | | | | | | | | | | | | | | | | | | | | | | | | | | | | | | | | | | | | | | | | | | | | | | | | | | | | | | | | | | | | | | | | | | | | | | | | | | | | | | | | | | | | | | | | | | | | | | | | | | | | | | | | | |
|-----|-----|-----|-----|-----|-----|-----|-----|-----|-----|-----|-----|-----|-----|-----|-----|-----|-----|-----|-----|-----|-----|-----|-----|-----|-----|-----|-----|-----|-----|-----|-----|-----|-----|-----|-----|-----|-----|-----|-----|-----|-----|-----|-----|-----|-----|-----|-----|-----|-----|-----|-----|-----|-----|-----|-----|-----|-----|-----|-----|-----|-----|-----|-----|-----|-----|-----|-----|-----|-----|-----|-----|-----|-----|-----|-----|-----|-----|-----|-----|-----|-----|-----|-----|-----|-----|-----|-----|-----|-----|-----|-----|-----|-----|-----|-----|-----|-----|-----|-----|-----|-----|-----|-----|-----|-----|-----|-----|-----|-----|-----|-----|-----|-----|-----|-----|-----|-----|-----|-----|-----|-----|-----|-----|-----|-----|-----|-----|-----|-----|-----|-----|-----|-----|-----|-----|-----|-----|-----|-----|-----|-----|-----|-----|-----|-----|-----|-----|-----|-----|-----|-----|-----|-----|-----|-----|-----|-----|-----|-----|-----|-----|-----|-----|-----|-----|-----|-----|-----|-----|-----|-----|-----|-----|-----|-----|-----|-----|-----|-----|-----|-----|-----|-----|-----|-----|-----|-----|-----|-----|-----|-----|-----|-----|-----|-----|-----|-----|-----|-----|-----|-----|-----|-----|-----|-----|-----|-----|-----|-----|-----|-----|-----|-----|-----|-----|-----|-----|-----|-----|-----|-----|-----|-----|-----|-----|-----|-----|-----|-----|-----|-----|-----|-----|-----|-----|-----|-----|-----|-----|-----|-----|-----|-----|-----|-----|-----|-----|-----|-----|-----|-----|-----|-----|-----|-----|-----|-----|-----|-----|-----|-----|-----|-----|-----|-----|-----|-----|-----|-----|-----|-----|-----|-----|-----|-----|-----|-----|-----|-----|-----|-----|-----|-----|-----|-----|-----|-----|-----|-----|-----|-----|-----|-----|-----|-----|-----|-----|-----|-----|-----|-----|-----|-----|-----|-----|-----|-----|-----|-----|-----|-----|-----|-----|-----|-----|-----|-----|-----|-----|-----|-----|-----|-----|-----|-----|-----|-----|-----|-----|-----|-----|-----|-----|-----|-----|-----|-----|-----|-----|-----|-----|-----|-----|-----|-----|-----|-----|-----|-----|-----|-----|-----|-----|-----|-----|-----|-----|-----|-----|-----|-----|-----|-----|-----|-----|-----|-----|-----|-----|-----|-----|-----|-----|-----|-----|-----|-----|-----|-----|-----|-----|-----|-----|-----|-----|-----|-----|-----|-----|-----|-----|-----|-----|-----|-----|-----|-----|-----|-----|-----|-----|-----|-----|-----|-----|-----|-----|-----|-----|-----|-----|-----|-----|-----|-----|-----|-----|-----|-----|-----|-----|-----|-----|-----|-----|-----|-----|-----|-----|-----|-----|-----|-----|-----|-----|-----|-----|-----|-----|-----|-----|-----|-----|-----|-----|-----|-----|-----|-----|-----|-----|-----|-----|-----|-----|-----|-----|-----|-----|-----|-----|-----|-----|-----|-----|-----|-----|-----|-----|-----|-----|-----|-----|-----|-----|-----|-----|-----|-----|-----|-----|-----|-----|-----|-----|-----|-----|-----|-----|-----|-----|-----|-----|-----|-----|-----|------|
| 503 | 504 | 505 | 506 | 507 | 508 | 509 | 510 | 511 | 512 | 513 | 514 | 515 | 516 | 517 | 518 | 519 | 520 | 521 | 522 | 523 | 524 | 525 | 526 | 527 | 528 | 529 | 530 | 531 | 532 | 533 | 534 | 535 | 536 | 537 | 538 | 539 | 540 | 541 | 542 | 543 | 544 | 545 | 546 | 547 | 548 | 549 | 550 | 551 | 552 | 553 | 554 | 555 | 556 | 557 | 558 | 559 | 560 | 561 | 562 | 563 | 564 | 565 | 566 | 567 | 568 | 569 | 570 | 571 | 572 | 573 | 574 | 575 | 576 | 577 | 578 | 579 | 580 | 581 | 582 | 583 | 584 | 585 | 586 | 587 | 588 | 589 | 590 | 591 | 592 | 593 | 594 | 595 | 596 | 597 | 598 | 599 | 600 | 601 | 602 | 603 | 604 | 605 | 606 | 607 | 608 | 609 | 610 | 611 | 612 | 613 | 614 | 615 | 616 | 617 | 618 | 619 | 620 | 621 | 622 | 623 | 624 | 625 | 626 | 627 | 628 | 629 | 630 | 631 | 632 | 633 | 634 | 635 | 636 | 637 | 638 | 639 | 640 | 641 | 642 | 643 | 644 | 645 | 646 | 647 | 648 | 649 | 650 | 651 | 652 | 653 | 654 | 655 | 656 | 657 | 658 | 659 | 660 | 661 | 662 | 663 | 664 | 665 | 666 | 667 | 668 | 669 | 670 | 671 | 672 | 673 | 674 | 675 | 676 | 677 | 678 | 679 | 680 | 681 | 682 | 683 | 684 | 685 | 686 | 687 | 688 | 689 | 690 | 691 | 692 | 693 | 694 | 695 | 696 | 697 | 698 | 699 | 700 | 701 | 702 | 703 | 704 | 705 | 706 | 707 | 708 | 709 | 710 | 711 | 712 | 713 | 714 | 715 | 716 | 717 | 718 | 719 | 720 | 721 | 722 | 723 | 724 | 725 | 726 | 727 | 728 | 729 | 730 | 731 | 732 | 733 | 734 | 735 | 736 | 737 | 738 | 739 | 740 | 741 | 742 | 743 | 744 | 745 | 746 | 747 | 748 | 749 | 750 | 751 | 752 | 753 | 754 | 755 | 756 | 757 | 758 | 759 | 760 | 761 | 762 | 763 | 764 | 765 | 766 | 767 | 768 | 769 | 770 | 771 | 772 | 773 | 774 | 775 | 776 | 777 | 778 | 779 | 780 | 781 | 782 | 783 | 784 | 785 | 786 | 787 | 788 | 789 | 790 | 791 | 792 | 793 | 794 | 795 | 796 | 797 | 798 | 799 | 800 | 801 | 802 | 803 | 804 | 805 | 806 | 807 | 808 | 809 | 810 | 811 | 812 | 813 | 814 | 815 | 816 | 817 | 818 | 819 | 820 | 821 | 822 | 823 | 824 | 825 | 826 | 827 | 828 | 829 | 830 | 831 | 832 | 833 | 834 | 835 | 836 | 837 | 838 | 839 | 840 | 841 | 842 | 843 | 844 | 845 | 846 | 847 | 848 | 849 | 850 | 851 | 852 | 853 | 854 | 855 | 856 | 857 | 858 | 859 | 860 | 861 | 862 | 863 | 864 | 865 | 866 | 867 | 868 | 869 | 870 | 871 | 872 | 873 | 874 | 875 | 876 | 877 | 878 | 879 | 880 | 881 | 882 | 883 | 884 | 885 | 886 | 887 | 888 | 889 | 890 | 891 | 892 | 893 | 894 | 895 | 896 | 897 | 898 | 899 | 900 | 901 | 902 | 903 | 904 | 905 | 906 | 907 | 908 | 909 | 910 | 911 | 912 | 913 | 914 | 915 | 916 | 917 | 918 | 919 | 920 | 921 | 922 | 923 | 924 | 925 | 926 | 927 | 928 | 929 | 930 | 931 | 932 | 933 | 934 | 935 | 936 | 937 | 938 | 939 | 940 | 941 | 942 | 943 | 944 | 945 | 946 | 947 | 948 | 949 | 950 | 951 | 952 | 953 | 954 | 955 | 956 | 957 | 958 | 959 | 960 | 961 | 962 | 963 | 964 | 965 | 966 | 967 | 968 | 969 | 970 | 971 | 972 | 973 | 974 | 975 | 976 | 977 | 978 | 979 | 980 | 981 | 982 | 983 | 984 | 985 | 986 | 987 | 988 | 989 | 990 | 991 | 992 | 993 | 994 | 995 | 996 | 997 | 998 | 999 | 1000 |
|-----|-----|-----|-----|-----|-----|-----|-----|-----|-----|-----|-----|-----|-----|-----|-----|-----|-----|-----|-----|-----|-----|-----|-----|-----|-----|-----|-----|-----|-----|-----|-----|-----|-----|-----|-----|-----|-----|-----|-----|-----|-----|-----|-----|-----|-----|-----|-----|-----|-----|-----|-----|-----|-----|-----|-----|-----|-----|-----|-----|-----|-----|-----|-----|-----|-----|-----|-----|-----|-----|-----|-----|-----|-----|-----|-----|-----|-----|-----|-----|-----|-----|-----|-----|-----|-----|-----|-----|-----|-----|-----|-----|-----|-----|-----|-----|-----|-----|-----|-----|-----|-----|-----|-----|-----|-----|-----|-----|-----|-----|-----|-----|-----|-----|-----|-----|-----|-----|-----|-----|-----|-----|-----|-----|-----|-----|-----|-----|-----|-----|-----|-----|-----|-----|-----|-----|-----|-----|-----|-----|-----|-----|-----|-----|-----|-----|-----|-----|-----|-----|-----|-----|-----|-----|-----|-----|-----|-----|-----|-----|-----|-----|-----|-----|-----|-----|-----|-----|-----|-----|-----|-----|-----|-----|-----|-----|-----|-----|-----|-----|-----|-----|-----|-----|-----|-----|-----|-----|-----|-----|-----|-----|-----|-----|-----|-----|-----|-----|-----|-----|-----|-----|-----|-----|-----|-----|-----|-----|-----|-----|-----|-----|-----|-----|-----|-----|-----|-----|-----|-----|-----|-----|-----|-----|-----|-----|-----|-----|-----|-----|-----|-----|-----|-----|-----|-----|-----|-----|-----|-----|-----|-----|-----|-----|-----|-----|-----|-----|-----|-----|-----|-----|-----|-----|-----|-----|-----|-----|-----|-----|-----|-----|-----|-----|-----|-----|-----|-----|-----|-----|-----|-----|-----|-----|-----|-----|-----|-----|-----|-----|-----|-----|-----|-----|-----|-----|-----|-----|-----|-----|-----|-----|-----|-----|-----|-----|-----|-----|-----|-----|-----|-----|-----|-----|-----|-----|-----|-----|-----|-----|-----|-----|-----|-----|-----|-----|-----|-----|-----|-----|-----|-----|-----|-----|-----|-----|-----|-----|-----|-----|-----|-----|-----|-----|-----|-----|-----|-----|-----|-----|-----|-----|-----|-----|-----|-----|-----|-----|-----|-----|-----|-----|-----|-----|-----|-----|-----|-----|-----|-----|-----|-----|-----|-----|-----|-----|-----|-----|-----|-----|-----|-----|-----|-----|-----|-----|-----|-----|-----|-----|-----|-----|-----|-----|-----|-----|-----|-----|-----|-----|-----|-----|-----|-----|-----|-----|-----|-----|-----|-----|-----|-----|-----|-----|-----|-----|-----|-----|-----|-----|-----|-----|-----|-----|-----|-----|-----|-----|-----|-----|-----|-----|-----|-----|-----|-----|-----|-----|-----|-----|-----|-----|-----|-----|-----|-----|-----|-----|-----|-----|-----|-----|-----|-----|-----|-----|-----|-----|-----|-----|-----|-----|-----|-----|-----|-----|-----|-----|-----|-----|-----|-----|-----|-----|-----|-----|-----|-----|-----|-----|-----|-----|-----|-----|-----|-----|-----|-----|-----|-----|-----|-----|-----|-----|-----|-----|-----|-----|-----|-----|-----|-----|-----|-----|-----|-----|-----|------|

[illegible]

| | | | | | | | | |
|----|--------|--------|-------|-------|-------|-------|-------|-------|
| 74 | W 1724 | W 1815 | W 182 | W 183 | W 184 | W 170 | W 171 | W 172 |
| | 1724 | 1815 | 182 | 183 | 184 | 170 | 171 | 172 |
| 73 | W 173 | W 1816 | W 187 | W 188 | W 189 | W 175 | W 176 | W 177 |
| | 173 | 1816 | 187 | 188 | 189 | 175 | 176 | 177 |
| 72 | W 174 | W 182 | W 190 | W 191 | W 192 | W 178 | W 179 | W 180 |
| | 174 | 182 | 190 | 191 | 192 | 178 | 179 | 180 |
| 71 | W 175 | W 183 | W 193 | W 194 | W 195 | W 181 | W 182 | W 183 |
| | 175 | 183 | 193 | 194 | 195 | 181 | 182 | 183 |
| 70 | W 176 | W 184 | W 196 | W 197 | W 198 | W 184 | W 185 | W 186 |
| | 176 | 184 | 196 | 197 | 198 | 184 | 185 | 186 |
| 69 | W 177 | W 185 | W 199 | W 200 | W 201 | W 187 | W 188 | W 189 |
| | 177 | 185 | 199 | 200 | 201 | 187 | 188 | 189 |
| 68 | W 178 | W 186 | W 202 | W 203 | W 204 | W 190 | W 191 | W 192 |
| | 178 | 186 | 202 | 203 | 204 | 190 | 191 | 192 |
| 67 | W 179 | W 187 | W 205 | W 206 | W 207 | W 193 | W 194 | W 195 |
| | 179 | 187 | 205 | 206 | 207 | 193 | 194 | 195 |
| 66 | W 180 | W 188 | W 208 | W 209 | W 210 | W 196 | W 197 | W 198 |
| | 180 | 188 | 208 | 209 | 210 | 196 | 197 | 198 |
| 65 | W 181 | W 189 | W 211 | W 212 | W 213 | W 199 | W 200 | W 201 |
| | 181 | 189 | 211 | 212 | 213 | 199 | 200 | 201 |
| 64 | W 182 | W 190 | W 214 | W 215 | W 216 | W 202 | W 203 | W 204 |
| | 182 | 190 | 214 | 215 | 216 | 202 | 203 | 204 |
| 63 | W 183 | W 191 | W 217 | W 218 | W 219 | W 205 | W 206 | W 207 |
| | 183 | 191 | 217 | 218 | 219 | 205 | 206 | 207 |
| 62 | W 184 | W 192 | W 220 | W 221 | W 222 | W 208 | W 209 | W 210 |
| | 184 | 192 | 220 | 221 | 222 | 208 | 209 | 210 |
| 61 | W 185 | W 193 | W 223 | W 224 | W 225 | W 211 | W 212 | W 213 |
| | 185 | 193 | 223 | 224 | 225 | 211 | 212 | 213 |
| 60 | W 186 | W 194 | W 226 | W 227 | W 228 | W 214 | W 215 | W 216 |
| | 186 | 194 | 226 | 227 | 228 | 214 | 215 | 216 |
| 59 | W 187 | W 195 | W 229 | W 230 | W 231 | W 217 | W 218 | W 219 |
| | 187 | 195 | 229 | 230 | 231 | 217 | 218 | 219 |
| 58 | W 188 | W 196 | W 232 | W 233 | W 234 | W 220 | W 221 | W 222 |
| | 188 | 196 | 232 | 233 | 234 | 220 | 221 | 222 |
| 57 | W 189 | W 197 | W 235 | W 236 | W 237 | W 223 | W 224 | W 225 |
| | 189 | 197 | 235 | 236 | 237 | 223 | 224 | 225 |
| 56 | W 190 | W 198 | W 238 | W 239 | W 240 | W 226 | W 227 | W 228 |
| | 190 | 198 | 238 | 239 | 240 | 226 | 227 | 228 |
| 55 | W 191 | W 199 | W 241 | W 242 | W 243 | W 229 | W 230 | W 231 |
| | 191 | 199 | 241 | 242 | 243 | 229 | 230 | 231 |
| 54 | W 192 | W 200 | W 244 | W 245 | W 246 | W 232 | W 233 | W 234 |
| | 192 | 200 | 244 | 245 | 246 | 232 | 233 | 234 |
| 53 | W 193 | W 201 | W 247 | W 248 | W 249 | W 235 | W 236 | W 237 |
| | 193 | 201 | 247 | 248 | 249 | 235 | 236 | 237 |
| 52 | W 194 | W 202 | W 250 | W 251 | W 252 | W 238 | W 239 | W 240 |
| | 194 | 202 | 250 | 251 | 252 | 238 | 239 | 240 |
| 51 | W 195 | W 203 | W 253 | W 254 | W 255 | W 241 | W 242 | W 243 |
| | 195 | 203 | 253 | 254 | 255 | 241 | 242 | 243 |
| 50 | W 196 | W 204 | W 256 | W 257 | W 258 | W 244 | W 245 | W 246 |
| | 196 | 204 | 256 | 257 | 258 | 244 | 245 | 246 |
| 49 | W 197 | W 205 | W 259 | W 260 | W 261 | W 247 | W 248 | W 249 |
| | 197 | 205 | 259 | 260 | 261 | 247 | 248 | 249 |
| 48 | W 198 | W 206 | W 262 | W 263 | W 264 | W 250 | W 251 | W 252 |
| | 198 | 206 | 262 | 263 | 264 | 250 | 251 | 252 |
| 47 | W 199 | W 207 | W 265 | W 266 | W 267 | W 253 | W 254 | W 255 |
| | 199 | 207 | 265 | 266 | 267 | 253 | 254 | 255 |
| 46 | W 200 | W 208 | W 268 | W 269 | W 270 | W 256 | W 257 | W 258 |
| | 200 | 208 | 268 | 269 | 270 | 256 | 257 | 258 |
| 45 | W 201 | W 209 | W 271 | W 272 | W 273 | W 259 | W 260 | W 261 |
| | 201 | 209 | 271 | 272 | 273 | 259 | 260 | 261 |
| 44 | W 202 | W 210 | W 274 | W 275 | W 276 | W 262 | W 263 | W 264 |
| | 202 | 210 | 274 | 275 | 276 | 262 | 263 | 264 |
| 43 | W 203 | W 211 | W 277 | W 278 | W 279 | W 265 | W 266 | W 267 |
| | 203 | 211 | 277 | 278 | 279 | 265 | 266 | 267 |
| 42 | W 204 | W 212 | W 280 | W 281 | W 282 | W 268 | W 269 | W 270 |
| | 204 | 212 | 280 | 281 | 282 | 268 | 269 | 270 |
| 41 | W 205 | W 213 | W 283 | W 284 | W 285 | W 271 | W 272 | W 273 |
| | 205 | 213 | 283 | 284 | 285 | 271 | 272 | 273 |
| 40 | W 206 | W 214 | W 286 | W 287 | W 288 | W 274 | W 275 | W 276 |
| | 206 | 214 | 286 | 287 | 288 | 274 | 275 | 276 |
| 39 | W 207 | W 215 | W 289 | W 290 | W 291 | W 277 | W 278 | W 279 |
| | 207 | 215 | 289 | 290 | 291 | 277 | 278 | 279 |
| 38 | W 208 | W 216 | W 292 | W 293 | W 294 | W 280 | W 281 | W 282 |
| | 208 | 216 | 292 | 293 | 294 | 280 | 281 | 282 |
| 37 | W 209 | W 217 | W 295 | W 296 | W 297 | W 283 | W 284 | W 285 |
| | 209 | 217 | 295 | 296 | 297 | 283 | 284 | 285 |
| 36 | W 210 | W 218 | W 298 | W 299 | W 300 | W 286 | W 287 | W 288 |
| | 210 | 218 | 298 | 299 | 300 | 286 | 287 | 288 |
| 35 | W 211 | W 219 | W 301 | W 302 | W 303 | W 289 | W 290 | W 291 |
| | 211 | 219 | 301 | 302 | 303 | 289 | 290 | 291 |
| 34 | W 212 | W 220 | W 304 | W 305 | W 306 | W 292 | W 293 | W 294 |
| | 212 | 220 | 304 | 305 | 306 | 292 | 293 | 294 |
| 33 | W 213 | W 221 | W 307 | W 308 | W 309 | W 295 | W 296 | W 297 |
| | 213 | 221 | 307 | 308 | 309 | 295 | 296 | 297 |
| 32 | W 214 | W 222 | W 310 | W 311 | W 312 | W 298 | W 299 | W 300 |
| | 214 | 222 | 310 | 311 | 312 | 298 | 299 | 300 |
| 31 | W 215 | W 223 | W 313 | W 314 | W 315 | W 301 | W 302 | W 303 |
| | 215 | 223 | 313 | 314 | 315 | 301 | 302 | 303 |
| 30 | W 216 | W 224 | W 316 | W 317 | W 318 | W 304 | W 305 | W 306 |
| | 216 | 224 | 316 | 317 | 318 | 304 | 305 | 306 |
| 29 | W 217 | W 225 | W 319 | W 320 | W 321 | W 307 | W 308 | W 309 |
| | 217 | 225 | 319 | 320 | 321 | 307 | 308 | 309 |
| 28 | W 218 | W 226 | W 322 | W 323 | W 324 | W 310 | W 311 | W 312 |
| | 218 | 226 | 322 | 323 | 324 | 310 | 311 | 312 |
| 27 | W 219 | W 227 | W 325 | W 326 | W 327 | W 313 | W 314 | W 315 |
| | 219 | 227 | 325 | 326 | 327 | 313 | 314 | 315 |
| 26 | W 220 | W 228 | W 328 | W 329 | W 330 | W 316 | W 317 | W 318 |
| | 220 | 228 | 328 | 329 | 330 | 316 | 317 | 318 |
| 25 | W 221 | W 229 | W 331 | W 332 | W 333 | W 319 | W 320 | W 321 |
| | 221 | 229 | 331 | 332 | 333 | 319 | 320 | 321 |
| 24 | W 222 | W 230 | W 334 | W 335 | W 336 | W 322 | W 323 | W 324 |
| | 222 | 230 | 334 | 335 | 336 | 322 | 323 | 324 |
| 23 | W 223 | W 231 | W 337 | W 338 | W 339 | W 325 | W 326 | W 327 |
| | 223 | 231 | 337 | 338 | 339 | 325 | 326 | 327 |
| 22 | W 224 | W 232 | W 340 | W 341 | W 342 | W 328 | W 329 | W 330 |
| | 224 | 232 | 340 | 341 | 342 | 328 | 329 | 330 |
| 21 | W 225 | W 233 | W 343 | W 344 | W 345 | W 331 | W 332 | W 333 |
| | 225 | 233 | 343 | 344 | 345 | 331 | 332 | 333 |
| 20 | W 226 | W 234 | W 346 | W 347 | W 348 | W 334 | W 335 | W 336 |
| | 226 | 234 | 346 | 347 | 348 | 334 | 335 | 336 |
| 19 | W 227 | W 235 | W 349 | W 350 | W 351 | W 337 | W 338 | W 339 |
| | 227 | 235 | 349 | 350 | 351 | 337 | 338 | 339 |
| 18 | W 228 | W 236 | W 352 | W 353 | W 354 | W 340 | W 341 | W 342 |
| | 228 | 236 | 352 | 353 | 354 | 340 | 341 | 342 |
| 17 | W 229 | W 237 | W 355 | W 356 | W 357 | W 343 | W 344 | W 345 |
| | 229 | 237 | 355 | 356 | 357 | 343 | 344 | 345 |
| 16 | W 230 | W 238 | W 358 | W 359 | W 360 | W 346 | W 347 | W 348 |
| | 230 | 238 | 358 | 359 | 360 | 346 | 347 | 348 |
| 15 | W 231 | W 239 | W 361 | W 362 | W 363 | W 349 | W 350 | W 351 |
| | 231 | 239 | 361 | 362 | 363 | 349 | 350 | 351 |
| 14 | W 232 | W 240 | W 364 | W 365 | W 366 | W 352 | W 353 | W 354 |
| | 232 | 240 | 364 | 365 | 366 | 352 | 353 | 354 |
| 13 | W 233 | W 241 | W 367 | W 368 | W 369 | W 355 | W 356 | W 357 |
| | 233 | 241 | 367 | 368 | 369 | 355 | 356 | 357 |
| 12 | W 234 | W 242 | W 370 | W 371 | W 372 | W 358 | W 359 | W 360 |
| | 234 | 242 | 370 | 371 | 372 | 358 | 359 | 360 |
| 11 | W 235 | W 243 | W 373 | W 374 | W 375 | W 361 | W 362 | W 363 |
| | 235 | 243 | 373 | 374 | 375 | 361 | 362 | 363 |
| 10 | W 236 | W 244 | W 376 | W 377 | W 378 | W 364 | W 365 | W 366 |
| | 236 | 244 | 376 | 377 | 378 | 364 | 365 | 366 |
| 9 | W 237 | W 245 | W 379 | W 380 | W 381 | W 367 | W 368 | W 369 |
| | 237 | 245 | 379 | 380 | 381 | 367 | 368 | 369 |
| 8 | W 238 | W 246 | W 382 | W 383 | W 384 | W 370 | W 371 | W 372 |
| | 238 | 246 | 382 | 383 | 384 | 370 | 371 | 372 |
| 7 | W 239 | W 247 | W 385 | W 386 | W 387 | W 373 | W 374 | W 375 |
| | 239 | 247 | 385 | 386 | 387 | 373 | 374 | 375 |
| 6 | W 240 | W 248 | W 388 | W 389 | W 390 | W 376 | W 377 | W 378 |
| | 240 | 248 | 388 | 389 | 390 | 376 | 377 | 378 |
| 5 | W 241 | W 249 | W 391 | W 392 | W 393 | W 379 | W 380 | W 381 |
| | 241 | 249 | 391 | 392 | 393 | 379 | 380 | 381 |
| 4 | W 242 | W 250 | W 394 | W 395 | W 396 | W 382 | W 383 | W 384 |
| | 242 | 250 | 394 | 395 | 396 | 382 | 383 | 384 |
| 3 | W 243 | W 251 | W 397 | W 398 | W 399 | W 385 | W 386 | W 387 |
| | 243 | 251 | 397 | 398 | 399 | 385 | 386 | 387 |
| 2 | W 244 | W 252 | W 400 | W 401 | W 402 | W 388 | W 389 | W 390 |
| | 244 | 252 | 400 | 401 | 402 | 388 | 389 | 390 |
| 1 | W 245 | W 253 | W 403 | W 404 | W 405 | W 391 | W 392 | W 393 |
| | 245 | 253 | 403 | 404 | 405 | 391 | 392 | 393 |

| | | | | | | | | | |
|----|--|--|--|--|--|--|--|--|--|
| 86 | | | | | | | | | |
| 85 | | | | | | | | | |
| 84 | | | | | | | | | |
| 83 | | | | | | | | | |
| 82 | | | | | | | | | |
| 81 | | | | | | | | | |
| 80 | | | | | | | | | |
| 79 | | | | | | | | | |
| 78 | | | | | | | | | |
| 77 | | | | | | | | | |
| 76 | | | | | | | | | |
| 75 | | | | | | | | | |
| 74 | | | | | | | | | |
| 73 | | | | | | | | | |
| 72 | | | | | | | | | |
| 71 | | | | | | | | | |
| 70 | | | | | | | | | |
| 69 | | | | | | | | | |
| 68 | | | | | | | | | |
| 67 | | | | | | | | | |
| 66 | | | | | | | | | |
| 65 | | | | | | | | | |
| 64 | | | | | | | | | |
| 63 | | | | | | | | | |
| 62 | | | | | | | | | |
| 61 | | | | | | | | | |
| 60 | | | | | | | | | |
| 59 | | | | | | | | | |
| 58 | | | | | | | | | |
| 57 | | | | | | | | | |
| 56 | | | | | | | | | |
| 55 | | | | | | | | | |
| 54 | | | | | | | | | |
| 53 | | | | | | | | | |
| 52 | | | | | | | | | |
| 51 | | | | | | | | | |
| 50 | | | | | | | | | |
| 49 | | | | | | | | | |
| 48 | | | | | | | | | |
| 47 | | | | | | | | | |
| 46 | | | | | | | | | |
| 45 | | | | | | | | | |
| 44 | | | | | | | | | |
| 43 | | | | | | | | | |
| 42 | | | | | | | | | |
| 41 | | | | | | | | | |
| 40 | | | | | | | | | |
| 39 | | | | | | | | | |
| 38 | | | | | | | | | |
| 37 | | | | | | | | | |
| 36 | | | | | | | | | |
| 35 | | | | | | | | | |
| 34 | | | | | | | | | |
| 33 | | | | | | | | | |
| 32 | | | | | | | | | |
| 31 | | | | | | | | | |
| 30 | | | | | | | | | |
| 29 | | | | | | | | | |
| 28 | | | | | | | | | |
| 27 | | | | | | | | | |
| 26 | | | | | | | | | |
| 25 | | | | | | | | | |
| 24 | | | | | | | | | |
| 23 | | | | | | | | | |
| 22 | | | | | | | | | |
| 21 | | | | | | | | | |
| 20 | | | | | | | | | |
| 19 | | | | | | | | | |
| 18 | | | | | | | | | |
| 17 | | | | | | | | | |
| 16 | | | | | | | | | |
| 15 | | | | | | | | | |
| 14 | | | | | | | | | |
| 13 | | | | | | | | | |
| 12 | | | | | | | | | |
| 11 | | | | | | | | | |
| 10 | | | | | | | | | |
| 9 | | | | | | | | | |
| 8 | | | | | | | | | |
| 7 | | | | | | | | | |
| 6 | | | | | | | | | |
| 5 | | | | | | | | | |
| 4 | | | | | | | | | |
| 3 | | | | | | | | | |
| 2 | | | | | | | | | |
| 1 | | | | | | | | | |

| | | | | | | | | | | | | | | | | | | | |
|--|--|--|--|--|--|--|--|--|--|--|--|--|--|--|--|--|--|--|--|
| | | | | | | | | | | | | | | | | | | | |
| | | | | | | | | | | | | | | | | | | | |
| | | | | | | | | | | | | | | | | | | | |
| | | | | | | | | | | | | | | | | | | | |
| | | | | | | | | | | | | | | | | | | | |
| | | | | | | | | | | | | | | | | | | | |
| | | | | | | | | | | | | | | | | | | | |
| | | | | | | | | | | | | | | | | | | | |
| | | | | | | | | | | | | | | | | | | | |
| | | | | | | | | | | | | | | | | | | | |
| | | | | | | | | | | | | | | | | | | | |
| | | | | | | | | | | | | | | | | | | | |
| | | | | | | | | | | | | | | | | | | | |
| | | | | | | | | | | | | | | | | | | | |
| | | | | | | | | | | | | | | | | | | | |
| | | | | | | | | | | | | | | | | | | | |
| | | | | | | | | | | | | | | | | | | | |
| | | | | | | | | | | | | | | | | | | | |
| | | | | | | | | | | | | | | | | | | | |
| | | | | | | | | | | | | | | | | | | | |
| | | | | | | | | | | | | | | | | | | | |
| | | | | | | | | | | | | | | | | | | | |
| | | | | | | | | | | | | | | | | | | | |
| | | | | | | | | | | | | | | | | | | | |
| | | | | | | | | | | | | | | | | | | | |
| | | | | | | | | | | | | | | | | | | | |
| | | | | | | | | | | | | | | | | | | | |
| | | | | | | | | | | | | | | | | | | | |
| | | | | | | | | | | | | | | | | | | | |
| | | | | | | | | | | | | | | | | | | | |
| | | | | | | | | | | | | | | | | | | | |
| | | | | | | | | | | | | | | | | | | | |
| | | | | | | | | | | | | | | | | | | | |
| | | | | | | | | | | | | | | | | | | | |
| | | | | | | | | | | | | | | | | | | | |
| | | | | | | | | | | | | | | | | | | | |
| | | | | | | | | | | | | | | | | | | | |
| | | | | | | | | | | | | | | | | | | | |
| | | | | | | | | | | | | | | | | | | | |
| | | | | | | | | | | | | | | | | | | | |
| | | | | | | | | | | | | | | | | | | | |
| | | | | | | | | | | | | | | | | | | | |
| | | | | | | | | | | | | | | | | | | | |
| | | | | | | | | | | | | | | | | | | | |
| | | | | | | | | | | | | | | | | | | | |
| | | | | | | | | | | | | | | | | | | | |
| | | | | | | | | | | | | | | | | | | | |
| | | | | | | | | | | | | | | | | | | | |
| | | | | | | | | | | | | | | | | | | | |
| | | | | | | | | | | | | | | | | | | | |
| | | | | | | | | | | | | | | | | | | | |
| | | | | | | | | | | | | | | | | | | | |
| | | | | | | | | | | | | | | | | | | | |
| | | | | | | | | | | | | | | | | | | | |
| | | | | | | | | | | | | | | | | | | | |
| | | | | | | | | | | | | | | | | | | | |
| | | | | | | | | | | | | | | | | | | | |
| | | | | | | | | | | | | | | | | | | | |
| | | | | | | | | | | | | | | | | | | | |
| | | | | | | | | | | | | | | | | | | | |
| | | | | | | | | | | | | | | | | | | | |
| | | | | | | | | | | | | | | | | | | | |
| | | | | | | | | | | | | | | | | | | | |
| | | | | | | | | | | | | | | | | | | | |
| | | | | | | | | | | | | | | | | | | | |
| | | | | | | | | | | | | | | | | | | | |
| | | | | | | | | | | | | | | | | | | | |
| | | | | | | | | | | | | | | | | | | | |
| | | | | | | | | | | | | | | | | | | | |
| | | | | | | | | | | | | | | | | | | | |
| | | | | | | | | | | | | | | | | | | | |
| | | | | | | | | | | | | | | | | | | | |
| | | | | | | | | | | | | | | | | | | | |
| | | | | | | | | | | | | | | | | | | | |
| | | | | | | | | | | | | | | | | | | | |
| | | | | | | | | | | | | | | | | | | | |
| | | | | | | | | | | | | | | | | | | | |
| | | | | | | | | | | | | | | | | | | | |
| | | | | | | | | | | | | | | | | | | | |
| | | | | | | | | | | | | | | | | | | | |
| | | | | | | | | | | | | | | | | | | | |
| | | | | | | | | | | | | | | | | | | | |
| | | | | | | | | | | | | | | | | | | | |
| | | | | | | | | | | | | | | | | | | | |
| | | | | | | | | | | | | | | | | | | | |
| | | | | | | | | | | | | | | | | | | | |
| | | | | | | | | | | | | | | | | | | | |
| | | | | | | | | | | | | | | | | | | | |
| | | | | | | | | | | | | | | | | | | | |
| | | | | | | | | | | | | | | | | | | | |
| | | | | | | | | | | | | | | | | | | | |
| | | | | | | | | | | | | | | | | | | | |
| | | | | | | | | | | | | | | | | | | | |
| | | | | | | | | | | | | | | | | | | | |
| | | | | | | | | | | | | | | | | | | | |
| | | | | | | | | | | | | | | | | | | | |
| | | | | | | | | | | | | | | | | | | | |
| | | | | | | | | | | | | | | | | | | | |
| | | | | | | | | | | | | | | | | | | | |
| | | | | | | | | | | | | | | | | | | | |
| | | | | | | | | | | | | | | | | | | | |
| | | | | | | | | | | | | | | | | | | | |
| | | | | | | | | | | | | | | | | | | | |
| | | | | | | | | | | | | | | | | | | | |
| | | | | | | | | | | | | | | | | | | | |
| | | | | | | | | | | | | | | | | | | | |
| | | | | | | | | | | | | | | | | | | | |
| | | | | | | | | | | | | | | | | | | | |
| | | | | | | | | | | | | | | | | | | | |
| | | | | | | | | | | | | | | | | | | | |
| | | | | | | | | | | | | | | | | | | | |
| | | | | | | | | | | | | | | | | | | | |
| | | | | | | | | | | | | | | | | | | | |
| | | | | | | | | | | | | | | | | | | | |
| | | | | | | | | | | | | | | | | | | | |
| | | | | | | | | | | | | | | | | | | | |
| | | | | | | | | | | | | | | | | | | | |
| | | | | | | | | | | | | | | | | | | | |
| | | | | | | | | | | | | | | | | | | | |
| | | | | | | | | | | | | | | | | | | | |
| | | | | | | | | | | | | | | | | | | | |
| | | | | | | | | | | | | | | | | | | | |
| | | | | | | | | | | | | | | | | | | | |
| | | | | | | | | | | | | | | | | | | | |
| | | | | | | | | | | | | | | | | | | | |
| | | | | | | | | | | | | | | | | | | | |
| | | | | | | | | | | | | | | | | | | | |
| | | | | | | | | | | | | | | | | | | | |
| | | | | | | | | | | | | | | | | | | | |
| | | | | | | | | | | | | | | | | | | | |
| | | | | | | | | | | | | | | | | | | | |
| | | | | | | | | | | | | | | | | | | | |
| | | | | | | | | | | | | | | | | | | | |
| | | | | | | | | | | | | | | | | | | | |
| | | | | | | | | | | | | | | | | | | | |
| | | | | | | | | | | | | | | | | | | | |
| | | | | | | | | | | | | | | | | | | | |
| | | | | | | | | | | | | | | | | | | | |
| | | | | | | | | | | | | | | | | | | | |
| | | | | | | | | | | | | | | | | | | | |
| | | | | | | | | | | | | | | | | | | | |
| | | | | | | | | | | | | | | | | | | | |
| | | | | | | | | | | | | | | | | | | | |
| | | | | | | | | | | | | | | | | | | | |
| | | | | | | | | | | | | | | | | | | | |
| | | | | | | | | | | | | | | | | | | | |
| | | | | | | | | | | | | | | | | | | | |
| | | | | | | | | | | | | | | | | | | | |
| | | | | | | | | | | | | | | | | | | | |
| | | | | | | | | | | | | | | | | | | | |
| | | | | | | | | | | | | | | | | | | | |
| | | | | | | | | | | | | | | | | | | | |
| | | | | | | | | | | | | | | | | | | | |
| | | | | | | | | | | | | | | | | | | | |
| | | | | | | | | | | | | | | | | | | | |
| | | | | | | | | | | | | | | | | | | | |
| | | | | | | | | | | | | | | | | | | | |
| | | | | | | | | | | | | | | | | | | | |
| | | | | | | | | | | | | | | | | | | | |
| | | | | | | | | | | | | | | | | | | | |
| | | | | | | | | | | | | | | | | | | | |
| | | | | | | | | | | | | | | | | | | | |
| | | | | | | | | | | | | | | | | | | | |
| | | | | | | | | | | | | | | | | | | | |
| | | | | | | | | | | | | | | | | | | | |
| | | | | | | | | | | | | | | | | | | | |
| | | | | | | | | | | | | | | | | | | | |
| | | | | | | | | | | | | | | | | | | | |
| | | | | | | | | | | | | | | | | | | | |
| | | | | | | | | | | | | | | | | | | | |
| | | | | | | | | | | | | | | | | | | | |
| | | | | | | | | | | | | | | | | | | | |
| | | | | | | | | | | | | | | | | | | | |
| | | | | | | | | | | | | | | | | | | | |
| | | | | | | | | | | | | | | | | | | | |
| | | | | | | | | | | | | | | | | | | | |
| | | | | | | | | | | | | | | | | | | | |
| | | | | | | | | | | | | | | | | | | | |
| | | | | | | | | | | | | | | | | | | | |
| | | | | | | | | | | | | | | | | | | | |
| | | | | | | | | | | | | | | | | | | | |
| | | | | | | | | | | | | | | | | | | | |
| | | | | | | | | | | | | | | | | | | | |
| | | | | | | | | | | | | | | | | | | | |
| | | | | | | | | | | | | | | | | | | | |
| | | | | | | | | | | | | | | | | | | | |
| | | | | | | | | | | | | | | | | | | | |
| | | | | | | | | | | | | | | | | | | | |
| | | | | | | | | | | | | | | | | | | | |
| | | | | | | | | | | | | | | | | | | | |
| | | | | | | | | | | | | | | | | | | | |
| | | | | | | | | | | | | | | | | | | | |
| | | | | | | | | | | | | | | | | | | | |
| | | | | | | | | | | | | | | | | | | | |
| | | | | | | | | | | | | | | | | | | | |
| | | | | | | | | | | | | | | | | | | | |
| | | | | | | | | | | | | | | | | | | | |
| | | | | | | | | | | | | | | | | | | | |
| | | | | | | | | | | | | | | | | | | | |
| | | | | | | | | | | | | | | | | | | | |
| | | | | | | | | | | | | | | | | | | | |
| | | | | | | | | | | | | | | | | | | | |
| | | | | | | | | | | | | | | | | | | | |
| | | | | | | | | | | | | | | | | | | | |
| | | | | | | | | | | | | | | | | | | | |
| | | | | | | | | | | | | | | | | | | | |
| | | | | | | | | | | | | | | | | | | | |
| | | | | | | | | | | | | | | | | | | | |
| | | | | | | | | | | | | | | | | | | | |
| | | | | | | | | | | | | | | | | | | | |
| | | | | | | | | | | | | | | | | | | | |
| | | | | | | | | | | | | | | | | | | | |
| | | | | | | | | | | | | | | | | | | | |
| | | | | | | | | | | | | | | | | | | | |
| | | | | | | | | | | | | | | | | | | | |
| | | | | | | | | | | | | | | | | | | | |
| | | | | | | | | | | | | | | | | | | | |
| | | | | | | | | | | | | | | | | | | | |
| | | | | | | | | | | | | | | | | | | | |
| | | | | | | | | | | | | | | | | | | | |
| | | | | | | | | | | | | | | | | | | | |
| | | | | | | | | | | | | | | | | | | | |
| | | | | | | | | | | | | | | | | | | | |
| | | | | | | | | | | | | | | | | | | | |
| | | | | | | | | | | | | | | | | | | | |
| | | | | | | | | | | | | | | | | | | | |
| | | | | | | | | | | | | | | | | | | | |
| | | | | | | | | | | | | | | | | | | | |
| | | | | | | | | | | | | | | | | | | | |
| | | | | | | | | | | | | | | | | | | | |
| | | | | | | | | | | | | | | | | | | | |
| | | | | | | | | | | | | | | | | | | | |

[illegible]

[illegible]

[illegible]

Bibliotheca Alexandrina



0636582

ISBN 9957-05-091-5 (ردمك)